



Universidad del Azuay

Facultad de Ciencia y Tecnología

Escuela de Ingeniería Civil

Diseño y elaboración de un prototipo para trampa de grasa,
aplicable al sector comercial de la ciudad de Cuenca

Autores:

Jonnathan Fabián Torres Vázquez
David Francisco Tosi Murillo

Director: Ing. Josué Bernardo Larriva Vásquez

Cuenca, Ecuador
2019

Dedicatoria

Dedico este trabajo a Dios, por brindarme esta hermosa experiencia llamada vida. A mis padres, Oswaldo y Yolanda, quienes inculcaron en mi valores, y son mi apoyo en cada decisión. A mis hermanos, Karina y Oswaldo, quienes me enseñan el significado de trabajo duro y honesto. A mis sobrinas, quienes me enseñan el valor de la imaginación. A Bruno, un integrante más de la familia, artífice de alegría en el momento menos esperado.

Jonnathan Torres Vázquez

Dedicatoria

Este presente trabajo lo dedico a mi familia, la cual me ha apoyado en toda esta etapa. Gracias a ustedes estoy aquí en la culminación de mi carrera, a mi papa, Carlos y a todos mis hermanos por estar todo el tiempo dando apoyo en todo momento y en toda circunstancia y permitirme llegar a cumplir todas mis metas. Esto es de ustedes y para ustedes.

David Tosi Murillo

Indice de Contenido

Dedicatoria	I
Indice de Figuras	IV
Indice de Tablas	V
Resumen	VI
Abstract	VII
Introducción	1
Problemática	1
Motivación	1
Pregunta de investigación	1
Objetivo general	1
Objetivos específicos	1
Alcance	2
Estado del Arte y Marco Teórico	2
Estado del Arte	2
Marco Teórico	3
1 Métodos para separar grasa y aceite del agua residual	5
1.1 Teoría de la flotación	5
1.2 ¿Qué es una emulsión?	7
1.2.1 Ruptura de las emulsiones	8
1.3 Flotación mediante aire disuelto (DAF)	8
1.3.1 Solubilidad del aire en el agua	9
1.3.2 Efecto del tamaño de la burbuja	10
1.3.3 Solubilidad del aire en el agua	11
1.3.4 Parámetro A/S	11
1.3.5 Forma del tanque	13
1.3.6 Aditivos químicos	15
1.3.7 Tiempo de retención	15
1.4 Flotación por dispersión de aire (IAF)	15
1.4.1 Rendimiento del IAF	18
1.4.2 Unidades <i>IAF</i> de celdas múltiples	21
1.4.3 <i>IAF</i> como parte de una unidad de tratamiento en una fábrica de papel	21
1.5 Boquilla de aire de flotación	23
1.5.1 Desarrollo del equipo.	23
1.5.2 Rendimiento del <i>Nozzle Air Flotation</i>	24
1.6 Flotación <i>Jet</i> y Flotación centrífuga	24
1.6.1 Flotación <i>Jet</i>	24
1.6.2 Flotación centrífuga	25
1.7 Separación por gravedad	27
1.8 Separador API	28
1.8.1 Diseño	29

1.8.2	Consideraciones de diseño	32
1.8.3	Conclusiones	33
1.9	Flotación mediante aire por cavitación	33
1.10	Columna de flotación	34
1.11	Corrugated Plate Interceptor (CPI)	36
1.11.1	Diseño	38
1.11.2	Conclusiones	41
1.12	Parallel Plate Interceptors (PPI)	41
1.12.1	Diseño	43
1.12.2	Parámetros de diseño	44
1.13	Conclusiones	44
2	Modelamiento de la trampa de grasa	45
2.1	Filosofía de uso de FLOW-3D	46
2.1.1	Respuesta a las preguntas	46
2.2	Diseño de la trampa de grasa	47
2.2.1	Dimensionamiento del tanque	47
2.3	Modelamiento de los tanques en Flow-3D	49
2.3.1	<i>Flux surface</i> y marcadores	49
2.3.2	Modelo 1 (P_2)	50
2.3.3	Modelo 2 (P_3)	51
2.3.4	Modelo 3 (P_4)	52
2.3.5	Modelo 4 (P_5)	53
2.3.6	Modelo 5 (Pared Inclinada 1)	54
2.3.7	Modelo 6 (Pared Inclinada 2)	55
2.3.8	Modelo 7 (Pared Inclinada 3)	56
2.3.9	Modelo 8 (Pared Inclinada 4)	57
2.3.10	Modelo 9 (Pared Inclinada 5)	58
2.3.11	Modelo 10 (Pared Inclinada 6)	59
2.3.12	Modelo 11 (Pared Inclinada 7)	60
2.4	Resultados	61
2.4.1	Prueba del modelo 10 (Pared inclinada 6), para un caudal de 1.16 L/s	65
2.5	Conclusión	66
3	Funcionamiento del prototipo	67
3.1	Industria láctea	67
3.1.1	Parámetros presentes en el modelo ya construido de la industria láctea	67
3.1.2	Parámetros para la propuesta de diseño de la industria láctea	68
3.1.3	Comparación de parámetros	68
3.2	Industria cárnica	70
3.2.1	Parámetros presentes en el modelo ya construido de la industria cárnica	70
3.2.2	Parámetros para propuesta de diseño de la industria cárnica	70
3.3	Conclusión	71
4	Conclusiones	73

Referencias	74
Anexos	79
A Resultados numéricos de cada modelo (Tablas)	79

Indice de Figuras

1.1	Esquema de un sistema de flotación mediante disolución de aire sin recirculación.	8
1.2	Esquema de un sistema de flotación mediante disolución de aire con recirculación.	9
1.3	Velocidad de elevación de las burbujas de aire (calculado por la ley de Stokes) como función del tamaño de las burbujas	11
1.4	Correlación típica del parámetro A/S en función de SS, en el efluente	12
1.5	Efecto de la carga superficial sobre la calidad del efluente	15
1.6	Unidad de flotación por dispersión de aire.	17
1.7	Características hidráulicas de una unidad IAF	18
1.8	Uso de un análisis cinético para ilustrar el efecto de los aditivos químicos en el rendimiento de un sistema IAF	20
1.9	Unidad IAF	22
1.10	Aspiración de aire en fluido en el centro de concentración	24
1.11	Curva de energía/densidad para <i>Nozzle Air Flotation</i> . Define el régimen para una operación óptima.	25
1.12	Sistema BAF.	26
1.13	Vista transversal del tanque usado en el experimento.	27
1.14	Esquema de una separador API	29
1.15	Densidades relativas de hidrocarburos	31
1.16	Sistema de flotación por cavitación de aire	34
1.17	columna de flotación	35
1.18	Separador de placas corrugadas (CPI)	36
1.19	Separación Agua-Aceite por medio de la placas corrugadas (CPI)	38
1.20	Esquema de una separador PPI	42
1.21	Diagrama detallado del separador PPI	43
2.1	Producción de leche condensada	48
2.2	Producción de leche en polvo.	48
2.3	Modelo Base 1	49
2.4	Modelo Base 2	49
2.5	Marcadores	50
2.6	<i>Flux surface</i>	50
2.7	Modelo 1 (P_2)	50
2.8	Velocidades promedio	51
2.9	Velocidades puntuales	51
2.10	Modelo 2 (P_3)	51
2.11	Velocidades promedio	52
2.12	Velocidades puntuales	52
2.13	Modelo 3 (P_4)	52
2.14	Velocidades promedio	53
2.15	Velocidades puntuales	53
2.16	Modelo 4 (P_5)	53
2.17	Velocidades promedio	54
2.18	Velocidades puntuales	54
2.19	Modelo 5 (Pared Inclinada 1)	54
2.20	Velocidades promedio	55

2.21	Velocidades puntuales	55
2.22	Modelo 6 (Pared Inclinada 2)	55
2.23	Velocidades promedio	56
2.24	Velocidades puntuales	56
2.25	Modelo 7 (Pared Inclinada 3)	56
2.26	Velocidades promedio	57
2.27	Velocidades puntuales	57
2.28	Modelo 8 (Pared Inclinada 4)	57
2.29	Velocidades promedio	58
2.30	Velocidades puntuales	58
2.31	Modelo 9 (Pared Inclinada 5)	58
2.32	Velocidades promedio	59
2.33	Velocidades puntuales	59
2.34	Modelo 10 (Pared Inclinada 6)	59
2.35	Velocidades promedio	60
2.36	Velocidades puntuales	60
2.37	Modelo 11 (Pared Inclinada 7)	60
2.38	Velocidades promedio	61
2.39	Velocidades puntuales	61
2.40	Variación de la velocidad en el <i>flux surface</i> 1	62
2.41	Variación de la velocidad en el <i>flux surface</i> 2	62
2.42	Variación de la velocidad en el <i>flux surface</i> 3	63
2.43	Variación de la velocidad en el punto 1	63
2.44	Variación de la velocidad en el punto 2	64
2.45	Variación de la velocidad en el punto 3	64
2.46	Variación de la velocidad en el punto 4	65
2.47	Geometría modelo 10	65
2.48	Geometría modelo 10 (Dimensiones de los pozos)	65
2.49	Velocidades en los <i>flux surface</i>	66
2.50	Velocidades puntuales	66
3.1	Industria láctea.	67
3.2	Modelo propuesto para industria láctea.	68
3.3	Velocidades en <i>flux surface</i>	69
3.4	Velocidades puntuales.	69
3.5	Velocidades puntuales en el interior del tanque.	69
3.6	Industria cárnica.	70
3.7	Modelo propuesto para industria cárnica.	71
3.8	Velocidades en <i>flux surface</i>	71
3.9	Velocidades puntuales.	72

Indice de Tablas

1.1	Viscosidad y densidad del agua	6
1.2	Solubilidad de saturación del aire en agua a una atmósfera	10
1.3	Valores de A/S para diferentes presiones de operación, a 20°C . .	13
1.4	Densidad del aire a 1 atm	14
1.5	Presión de vapor del agua	14
1.6	Parámetros según diferentes autores	16
1.7	Rendimiento del IAF en un prototipo a escala	19
1.8	Efecto de diferentes presiones proporcionadas por la boquilla. . .	26
1.9	Volumen de la zona de circulación en diferentes ubicaciones . .	28
1.10	Valores recomendados para F_2	30
A.1	Producción de leche condensada	79
A.2	Producción de leche en polvo	80
A.3	Modelo 1 (P2) FS ₁ PI ₂	81
A.4	Modelo 1 (P2) FS ₂ PI ₂	82
A.5	Modelo 1 (P2) FS ₃ PI ₂	83
A.6	Modelo 1 (P2) PUNTO1P2	84
A.7	Modelo 1 (P2) PUNTO2P2	85
A.8	Modelo 1 (P2) PUNTO3P2	86
A.9	Modelo 1 (P2) PUNTO4P2	87
A.10	Modelo 2 (P3) FS ₁ P3	88
A.11	Modelo 2 (P3) FS ₂ P3	89
A.12	Modelo 2 (P3) FS ₃ P3	90
A.13	Modelo 2 (P3) PUNTO1P3	91
A.14	Modelo 2 (P3) PUNTO2P3	92
A.15	Modelo 2 (P3) PUNTO3P3	93
A.16	Modelo 2 (P3) PUNTO4P3	94
A.17	Modelo 3 (P4) FS ₁ P4	95
A.18	Modelo 3 (P4) FS ₂ P4	96
A.19	Modelo 3 (P4) FS ₃ P4	97
A.20	Modelo 3 (P4) PUNTO1P4	98
A.21	Modelo 3 (P4) PUNTO2P4	99
A.22	Modelo 3 (P4) PUNTO3P4	100
A.23	Modelo 3 (P4) PUNTO4P4	101
A.24	Modelo 4 (P5) FS ₁ P5	102
A.25	Modelo 4 (P5) FS ₂ P5	103
A.26	Modelo 4 (P5) FS ₃ P5	104
A.27	Modelo 4 (P5) PUNTO1P5	105
A.28	Modelo 4 (P5) PUNTO2P5	106
A.29	Modelo 4 (P5) PUNTO3P5	107
A.30	Modelo 4 (P5) PUNTO4P5	108
A.31	Modelo 5 (PARED INCLINADA 1) FS ₁ PI ₁	109
A.32	Modelo 5 (PARED INCLINADA 1) FS ₂ PI ₁	110
A.33	Modelo 5 (PARED INCLINADA 1) FS ₃ PI ₁	111
A.34	Modelo 5 (PARED INCLINADA 1) PUNTO1PI ₁	112
A.35	Modelo 5 (PARED INCLINADA 1) PUNTO2PI ₁	113
A.36	Modelo 5 (PARED INCLINADA 1) PUNTO3PI ₁	114

A.37	Modelo 5 (PARED INCLINADA 1) PUNTO4PI1	115
A.38	Modelo 6 (PARED INCLINADA 2) FS1PI2	116
A.39	Modelo 6 (PARED INCLINADA 2) FS2PI2	117
A.40	Modelo 6 (PARED INCLINADA 2) FS3PI2	118
A.41	Modelo 6 (PARED INCLINADA 2) PUNTO1PI2	119
A.42	Modelo 6 (PARED INCLINADA 2) PUNTO2PI2	120
A.43	Modelo 6 (PARED INCLINADA 2) PUNTO3PI2	121
A.44	Modelo 6 (PARED INCLINADA 2) PUNTO4PI2	122
A.45	Modelo 7 (PARED INCLINADA 3) FS1PI3	123
A.46	Modelo 7 (PARED INCLINADA 3) FS2PI3	124
A.47	Modelo 7 (PARED INCLINADA 3) FS3PI3	125
A.48	Modelo 7 (PARED INCLINADA 3) PUNTO1PI3	126
A.49	Modelo 7 (PARED INCLINADA 3) PUNTO2PI3	127
A.50	Modelo 7 (PARED INCLINADA 3) PUNTO3PI3	128
A.51	Modelo 7 (PARED INCLINADA 3) PUNTO4PI3	129
A.52	Modelo 8 (PARED INCLINADA 4) FS1PI4	130
A.53	Modelo 8 (PARED INCLINADA 4) FS2PI4	131
A.54	Modelo 8 (PARED INCLINADA 4) FS3PI4	132
A.55	Modelo 8 (PARED INCLINADA 4) PUNTO1PI4	133
A.56	Modelo 8 (PARED INCLINADA 4) PUNTO2PI4	134
A.57	Modelo 8 (PARED INCLINADA 4) PUNTO3PI4	135
A.58	Modelo 8 (PARED INCLINADA 4) PUNTO4PI4	136
A.59	Modelo 9 (PARED INCLINADA 5) FS1PI5	137
A.60	Modelo 9 (PARED INCLINADA 5) FS2PI5	138
A.61	Modelo 9 (PARED INCLINADA 5) FS3PI5	139
A.62	Modelo 9 (PARED INCLINADA 5) PUNTO1PI5	140
A.63	Modelo 9 (PARED INCLINADA 5) PUNTO2PI5	141
A.64	Modelo 9 (PARED INCLINADA 5) PUNTO3PI5	142
A.65	Modelo 9 (PARED INCLINADA 5) PUNTO4PI5	143
A.66	Modelo 10 (PARED INCLINADA 6) FS1PI6	144
A.67	Modelo 10 (PARED INCLINADA 6) FS2PI6	145
A.68	Modelo 10 (PARED INCLINADA 6) FS3PI6	146
A.69	Modelo 10 (PARED INCLINADA 6) PUNTO1PI6	147
A.70	Modelo 10 (PARED INCLINADA 6) PUNTO2PI6	148
A.71	Modelo 10 (PARED INCLINADA 6) PUNTO3PI6	149
A.72	Modelo 10 (PARED INCLINADA 6) PUNTO4PI6	150
A.73	Modelo 11 (PARED INCLINADA 7) FS1PI7	151
A.74	Modelo 11 (PARED INCLINADA 7) FS2PI7	152
A.75	Modelo 11 (PARED INCLINADA 7) FS3PI7	153
A.76	Modelo 11 (PARED INCLINADA 7) PUNTO1PI7	154
A.77	Modelo 11 (PARED INCLINADA 7) PUNTO2PI7	155
A.78	Modelo 11 (PARED INCLINADA 7) PUNTO3PI7	156
A.79	Modelo 11 (PARED INCLINADA 7) PUNTO4PI7	157
A.80	Industria Cárnea con parámetros recomendados FS INICIAL . .	158
A.81	Industria Cárnea con parámetros recomendados FS FINAL . .	159
A.82	Industria Cárnea con parámetros recomendados FS MEDIO . .	160
A.83	Industria Cárnea con parámetros recomendados PUNTO1 EUROPEA NP	161

A.84	Industria Cárnia con parámetros recomendados PUNTO2 EUROPEA NP	162
A.85	Industria Cárnia con parámetros recomendados PUNTO3 EUROPEA NP	163
A.86	Industria Cárnia con parámetros recomendados PUNTO4 EUROPEA NP	164
A.87	Resultados (Modelo Construido) de la Industria Cárnia FS1 EUROPEA	165
A.88	Resultados (Modelo Construido) de la Industria Cárnia FS2 EUROPEA	166
A.89	Resultados (Modelo Construido) de la Industria Cárnia FS3 EUROPEA	167
A.90	Resultados (Modelo Construido) de la Industria Cárnia PUNTO1 EUROPEA	168
A.91	Resultados (Modelo Construido) de la Industria Cárnia PUNTO2 EUROPEA	169
A.92	Resultados (Modelo Construido) de la Industria Cárnia PUNTO3 EUROPEA	170
A.93	Resultados (Modelo Construido) de la Industria Cárnia PUNTO4 EUROPEA	171
A.94	Resultados (Modelo Construido) de la Industria Láctea FS1 PARMALAT	172
A.95	Resultados (Modelo Construido) de la Industria Láctea FS2 PARMALAT	173
A.96	Resultados (Modelo Construido) de la Industria Láctea FS3 PARMALAT	174
A.97	Resultados (Modelo Construido) de la Industria Láctea P INTERNO1	175
A.98	Resultados de la Industria Láctea con parámetros recomendados P INTERNO1NP	176
A.99	Resultados (Modelo Construido) de la Industria Láctea P INTERNO2	177
A.100	Resultados de la Industria Láctea con parámetros recomendados P INTERNO2NP	178
A.101	Resultados (Modelo Construido) de la Industria Láctea P INTERNO3	179
A.102	Resultados de la Industria Láctea con parámetros recomendados P INTERNO3NP	180
A.103	Resultados (Modelo Construido) de la Industria Láctea P INTERNO4	181
A.104	Resultados de la Industria Láctea con parámetros recomendados P INTERNO4NP	182
A.105	Resultados (Modelo Construido) de la Industria Láctea PUNTO1 PARMALAT	183
A.106	Resultados (Modelo Construido) de la Industria Láctea PUNTO2 PARMALAT	184
A.107	Resultados (Modelo Construido) de la Industria Láctea PUNTO3 PARMALAT	185

A.108 Resultados (Modelo Construido) de la Industria Láctea PUNTO4 PARMALAT	186
--	-----

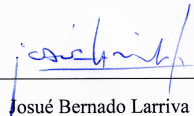
Resumen

“DISEÑO Y ELABORACION DE UN PROTOTIPO COMPACTO PARA TRAMPA DE GRASA APPLICABLE AL SECTOR COMERCIAL DE LA CIUDAD DE CUENCA”

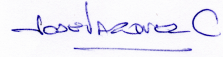
RESUMEN

Para el diseño de un prototipo para trampa de grasa para la ciudad de Cuenca se realizó varias simulaciones en programa Flow-3D, con el fin de buscar el modelo más óptimo para la remoción de grasas y aceites. Una vez encontrado el modelo óptimo, se procedió a evaluar su funcionamiento respecto a modelos ya construidos. A partir de estas comparaciones se llegó a la conclusión que los parámetros recomendados, en el trabajo de investigación, brindan mejores condiciones para una adecuada remoción de grasas y aceites del agua residual. El método seleccionado para su modelación fue el que consideramos más eficiente, tanto al momento de su construcción como mantenimiento.

Palabras Clave: flotación, modelación, métodos, trampa, grasa, aceite, remoción.


José Bernardo Larriva Vásquez.

Director del Trabajo de Titulación


José Fernando Vázquez Calero

Director de escuela


David Francisco Tosi Murillo

Autores


Jonnathan Fabián Torres Vázquez

Abstract

“DESIGN AND DEVELOPMENT OF A COMPACT PROTOTYPE FOR A GREASE TRAP APPLICABLE TO THE COMMERCIAL SECTOR OF CUENCA”

ABSTRACT

Several simulations were carried out in the Flow-3D program for the design of a prototype grease trap for the city of Cuenca in order to find the optimal model for the removal of greases and oils. Once the optimal model was found, its performance was evaluated with respect to previously constructed models. From these comparisons, it was concluded that the parameters recommended in the research work provide better conditions for an adequate removal of fats and oils from wastewater. The method selected for its modeling was considered the most efficient, both at the time of its construction and maintenance.

Keywords: flotation, modeling, methods, trap, grease, oil, removal.



Josué Bernardo Larriva Vásquez.

Thesis Director



José Fernando Vázquez Calero

Faculty Director



David Francisco Tosi Murillo

Authors



Jonnathan Fabián Torres Vázquez



Translated by
Ing. Paúl Arpi



Introducción

Problemática

La sociedad va creciendo en una forma exponencial, expandiéndose a los alrededores de las ciudades, necesitando cada vez más recursos hídricos, ya sea para su consumo, agricultura o elaboración de productos en forma masiva. Cualquiera sea su uso, el agua es contaminada siendo necesario un tratamiento el cual elimine todos los contaminantes existentes. Los aceites, ya sean vegetales o hidrocarburos contaminan el agua. El crecimiento de la sociedad implica más consumo de recursos, aumentando el consumo y la fabricación de aceites; los cuales, indirectamente llegan al sistema de tratamiento.

La presencia de aceites y grasas en el agua residual a menudo causan problemas en los tratamientos biológicos (Nisola et al., 2009). Esto se debe a la formación de capas de lípidos alrededor de los flocs, por lo tanto la transferencia de oxígeno a la biomasa disminuye (Becker et al., 1999; Dueholm, Andreasen, y Nielsen, 2001). Además, esta condición genera un ambiente favorable para el crecimiento de *nocardia amarae*, la cual es señalada por causar *foaming* en sistemas de lodos activados (Becker et al., 1999; Madoni, Davoli, y Gibin, 2000). Otro de los problemas es la percepción de malos olores, producto de la formación de aldehídos, cetonas y alcoholes.

Otro gran problema causado por las grasas y aceites es su acumulación en los sistemas sanitarios de la ciudad. Su presencia en colectores, bombas, pozos y otras obras o accesorios hidráulicos pueden obstruir el agua residual. Causando eventualmente reflujo a las instalaciones servidas por sus respectivos colectores (Mattsson, Hedström, Viklander, y Blecken, 2014).

Motivación

El consumo de aceites, cualquiera sea su origen, llega a nuestro sistema de alcantarillado conduciéndolo a la planta de tratamiento existente. La empresa ETAPA EP está generando un programa de control de efluentes industriales; es ahí donde surge la motivación para la realización de este trabajo. Se buscará realizar un prototipo viable y acorde a las necesidades de los sectores industriales de la ciudad de Cuenca. Este es un proyecto que no solo ayudará ciertas industrias de la ciudad a cumplir con la normativa vigente, sino que también ayudará a disminuir el impacto ambiental que tienen los aceites y las grasas en el ambiente.

Pregunta de investigación

¿Un análisis detallado de las trampas de grasa podría conducir a un diseño más eficiente?

Objetivo general

Determinar la mejor configuración para un dispositivo de trampas de grasa para la ciudad de Cuenca.

Objetivos específicos

- Analizar los diferentes métodos de separación de trampas de grasa y optar por el más aplicable en la ciudad de Cuenca.
- Modelar una trampa de grasa acorde a las necesidades de la industria de la ciudad de Cuenca.
- Evaluar la configuración de la trampa de grasa respecto a otros modelos.

Alcance

La investigación realizada brinda información preliminar de distintos métodos para separar grasa y aceite del agua. Todos los métodos presentados aquí tienen su uso dependiendo de las características del influente; el caudal que descarga la industria; la normativa que dicte la carga de grasa y aceite en el efluente, y por supuesto el costo de operación y mantenimiento. Se prestará especial atención en tres métodos, los cuales, por sus características son los más aplicables en el sector industrial de Cuenca. Por lo tanto, este proyecto brindará información a las industrias de como se puede separar la grasa y aceite del agua.

Estado del Arte y Marco Teórico

Estado del arte

Para el diseño de un modelo físico de trampa de grasa se consultaron varias fuentes, entre las cuales están: artículos, páginas web, libros y patentes.

En España, Madrid, se realizó un estudio de tratamiento de aguas residuales titulado “Diseño de una planta de tratamiento de aguas residuales urbanas para poblaciones entre 20 y 25 mil habitantes”, tesis elaborada por Domínguez Ollero (2015), en el cual estiman los caudales de aguas servidas. Con una carga de 80 mg/l, las cuales se asemejan a los valores de las industrias. Este proyecto tiene el fin de eliminar grasas, aceites y materias flotantes, y así evitar posibles interferencias en el tratamiento posterior, tales como:

- La falla de los decantadores en los cuales se forma una capa superficial que dificulta la sedimentación.
- Las reacciones biológicas no hacen efecto ya que no tiene la correcta aireación a causa de la grasa disminuyendo el coeficiente de transparencia.
- Perturban en el proceso de desinfección.
- El DQO incrementó de un 20 a 30 % por las grasas contenidas en las aguas.

En estos tratamientos lo más importante es la eliminación de sustancias insolubles con métodos físicos. El desengrasador de aguas residuales del estudio tiene unas medidas aproximadas de 4m de ancho, 12m de longitud, con una altura de 3m, estas medidas incluyen un desarenador. La estructura de la planta de tratamiento contiene una bomba de extracción de arenas, en el fondo del desengrasador, la cual impulsa una mezcla de arena y agua. Por otro lado, existe un canal de recolección de grasas y partículas flotantes las cuales se evalúan en un recolector.

En Estados Unidos se encontró un paper titulado “Cell Immobilized FOG-Trap System for Fat, Oil, and Grease Removal from Restaurant Wastewater” (Nisola et al., 2009). Se utilizaron bacterias productoras de células lipasa inmovilizadas en trampas de grasa. Durante un ensayo de 16 días, a escala de laboratorio, entre el sistema con lipasa y el convencional no se observaron significativas diferencias en la remoción de grasa y aceite; esto cuando las grasas y aceites en el influente eran menores a 1000 mg/L. Sin embargo, la trampa típica mostró menor eficiencia cuando la concentración de grasa y aceite fue mayor o igual a 5000 mg/L. Por otro lado, la trampa de grasa con lipasa mostraron una concentración, de grasa y aceite, en el efluente de 100 mg/L; esto incluso cuando la concentración en el influente era de 10 000 mg/L. Posteriormente realizaron un experimento de 30 días, a escala real. El sistema donde se usó la lipasa, mostró una efectividad de remoción del $92,7 \pm 9,06\%$ respecto a un $74,6 \pm 27,3\%$ del sistema convencional. Similarmente, las trampas con lipasa mostraron una remoción del $85,9 \pm 11,99\%$ del DQO respecto a un $60,4 \pm 31,26\%$ del sistema convencional.

En Ecuador en el cantón Playas, provincia del Guayas, se realizó el estudio y construcción de una trampa de grasa, por parte de (Hidroplayas EP), para uso de la comunidad, el cual se encuentra entre las líneas de desagüe y los puntos generadores de aguas servidas. Este tiene una función de recolectar grasas y aceites usados los cuales, evitan que ingresen a las plantas de tratamiento retrasando el flujo procedente del sistema de alcantarillado. En este estudio se realizó la presentación de 3 modelos de trampas de grasa; los cuales están dirigidos a pequeña y mediana industria. El modelo más pequeño está dirigido a restaurantes o similares con una venta diaria aproximada de 100 platos, el cual tiene unas medidas aproximadas de 1.2m de largo por 0.50m de ancho y 0.50 m de profundidad; el segundo modelo dirigido a restaurantes o similares con una venta aproximada de 200 platos, cuyas medidas son de 1.5m de largo por 0.60m de ancho y 0.60m de profundidad; el último modelo está dirigido a las lavadoras de automotores las cuales no constan con un modelo de saneamiento, siendo sus medidas de 2m de largo por 0.80m de ancho y 1 m de profundidad.

Marco Teórico

Flotación natural: Proceso mediante el cual el fluido con densidad más baja se eleva hacia la superficie (Smets, 2009).

Flotación por inducción de aire: Proceso mediante el cual burbujas de

aire se adhieren a las moléculas, acelerando su ascensión a la superficie (Smets, 2009).

Grasas y Aceite: "El término grasas y aceites es comúnmente usado para hacer referencia a: grasas, aceites, ceras y otros componentes relacionados. Aceite y grasas son similares químicamente; son una combinación de alcohol o glicerol con ácidos grasos. Los gliceroles de los ácidos grasos que son líquidos a temperaturas ordinarias son llamados aceites y los que son sólidos son llamados grasas."(Metcalf y Eddy, 1979)

Efluente: Agua residual que ha pasado por un proceso de tratamiento. (Rodríguez Fernández-Alba et al., 2006)

Influente: Agua residual que está entrando a un proceso de tratamiento.(Rodríguez Fernández-Alba et al., 2006)

Aguas residuales: Agua usada proveniente de casas, negocios, ciudades y agricultura.(Metcalf y Eddy, 1979)

Caudal: Cantidad de un fluido, por unidad de tiempo, que circula por una sección.(Chow, Maidment, Mays, Saldarriaga, et al., 1994)

Aguas residuales industriales: Aguas residuales donde predominan los residuos industriales. (Metcalf y Eddy, 1979)

Caudales de diseño: Cantidad de agua sobre tiempo para la cual va a estar una infraestructura hidráulica.(Metcalf y Eddy, 1979)

Periodo de diseño: Tiempo en el cual va a estar operativo una infraestructura (Metcalf y Eddy, 1979)

1. Métodos para separar grasa y aceite del agua residual

Existen una gran cantidad de métodos para separar grasa y aceite del agua residual. Su selección dependerá de las condiciones de la mezcla. Jameel, Muyubi, Karim, Alam, et al. (2011) menciona que gotas alrededor de 50 μm han sido removidas con éxito por equipamientos de bajo costo como: separadores *API*, *Corrugated Plate Interceptors (CPI)* y *Parallel Plate Interceptors (PPI)*. Por otro lado Jameel et al. (2011) dicen que gotas menores a 50 μm fueron removidas exitosamente mediante *Disolved Air Flotation (DAF)* y *Packed Beds*. El método común para separar grasa y aceite del agua residual es la flotación. Según Rubio, Souza, y Smith (2002) las técnicas convencionales de flotación son: Electro-flotación, flotación por dispersión de aire (IAF), por sus siglas en inglés, flotación mediante aire disuelto (DAF), por sus siglas en inglés. Además Rubio et al. (2002) señalan como técnicas emergentes de flotación a: *Nozzle Flotation (NF)*, *Column Flotation (CF)*, *Centrifugal Flotation (CF)*, *Jet Flotation*, *Cavitation Air Flotation (CAF)*.

Cabe recalcar que este proyecto informará de métodos de separación físicos; pero no hay que olvidar la existencia de mecanismos en donde la biología o la química toman el protagonismo.

Para empezar con la descripción de cada uno de los métodos hay que entender primero la teoría de la flotación.

1.1. Teoría de la flotación

Existen dos tipos de flotación, flotación natural y flotación por medio de aire. En la primera las partículas mas livianas que el agua se elevan hacia la superficie para ser removidas; en la segunda, las partículas que son mas pesadas que el agua se elevan hacia la superficie por medio de burbujas de aire que se adhieren a ellas. Bennett y Peters (1988) menciona que la flotación consiste en cuatro pasos básicos, los cuales son:

1. Generación de burbujas en el agua residual.
2. Contacto entre las burbujas de aire y las gotas de aceite suspendidas en el agua.
3. Adhesión de las gotas de aceite con las burbujas del gas.
4. Elevación de la combinación aire-aceite a la superficie, donde el aceite es removido.

¿Cuándo una partícula flota?

Al momento de depositarse una partícula en un fluido en reposo, esta se acelera hasta que hasta que la resistencia de fricción o arrastre del fluido iguala a la fuerza impulsora que actúa sobre la partícula (Maskew Fair,

Alexander Okun, y Charles Geyer, 1966). De aquí en adelante la partícula empieza a asentarse o elevarse, dependiendo de su peso específico.

La fuerza impulsora es igual al peso efectivo de la partícula dentro del fluido,

$$F_I = (\rho_s - \rho)gV \quad (1.1)$$

donde F_I es la fuerza impulsora, g la gravedad, V el volumen de la partícula, ρ_s y ρ son, respectivamente la densidad de la partícula y del fluido.

F_D , fuerza de arrastre del fluido, está en función de la viscosidad dinámica μ , de la densidad del fluido ρ , de la velocidad v y de un diámetro d representativo. Para que el diámetro sea representativo este debe reflejar primero la orientación de la partícula en relación con su dirección de movimiento, y segundo, la superficie relativa que la partícula presenta en contacto con el fluido (Maskew Fair et al., 1966).

La fuerza de arrastre F_D , quedaría representada de la siguiente manera:

$$F_D = v^2 d^2 \rho \phi(v \frac{d\rho}{\mu}) = v^2 d^2 \rho \phi(\mathbf{R}) \quad (1.2)$$

en donde \mathbf{R} es el número de Reynolds, cuyos valores se muestran en la siguiente tabla:

Temperatura °C	Densidad γ, ρ (gramos/cm ³)	Viscosidad absoluta, μ, cp	Viscosidad cinemática, ν, cs	Temperatura °F
0	0.99987	1.7921	1.7923	32.0
2	0.99997	1.674	1.6741	35.6
4	1.00000	1.5676	1.5676	39.2
6	0.99997	1.4726	1.4726	42.8
8	0.99988	1.3872	1.3874	46.4
10	0.99973	1.3097	1.3101	50.0
12	0.99952	1.239	1.2396	53.6
14	0.99927	1.1748	1.1757	57.2
16	0.99897	1.1156	1.1168	60.8
18	0.99862	1.0603	1.0618	64.4
20	0.99823	1.0087	1.0105	68.0
22	0.99780	0.9608	0.9629	71.6
24	0.99733	0.9161	0.9186	75.2
26	0.99681	0.8746	0.8774	78.8
28	0.99626	0.8363	0.8394	82.4
30	0.99568	0.8004	0.8039	86.0

Tabla 1.1: Viscosidad y densidad del agua

Fuente: (Maskew Fair et al., 1966)

Combinando las ecuaciones 1.2 y 1.1 se establece una relación general de elevación o asentamiento de las partículas discretas.

$$\nu_s = [(2g/C_D)[(\rho_s - \rho)/\rho](V/A_C)]^{1/2} \quad (1.3)$$

Siendo más precisos

$$\nu_s \approx [(4/3)(C_D)(S_S - 1)d]^{1/2} \quad (1.4)$$

S_S , es el peso específico de la partícula y $d = (3/2)V/A_C = 6V/A$, A es el área superficial de la partícula.

C_D es cercano a 0.4 cuando Reynolds se encuentra desde 10^3 a 10^4 , se obtiene (Maskew Fair et al., 1966).

$$v_s \approx [3,3g(S_S - 1)d]^{1/2} \quad (1.5)$$

Cuando $R < 0.5$, $C_D = 24/R$ la ecuación 1.4 toma la siguiente forma (Maskew Fair et al., 1966):

$$v_s \approx (g/18)[(S_S - 1)/\nu]^d \quad (1.6)$$

La ecuación 1.6 es la ley de Stokes; ν es la viscosidad cinemática.

Como se puede apreciar en las diferentes ecuaciones, entre ellas la 1.6 y 1.4, el término S_S determina si el resultado de la ecuación es positivo o negativo. Cuando el resultado es positivo, la partícula se asienta; por el contrario, si el resultado es negativo, la partícula asciende.

Otro aspecto clave para entender como se separan grasas y aceites del agua, es la emulsión.

1.2. ¿Qué es una emulsión?

Se llama emulsión cuando dos líquidos inmiscibles se encuentran dispersos; uno de ellos forma gotas de pequeño tamaño (de 0.1 a 100 micras), a este se le denomina fase dispersa o interna, al otro, fase continua o externa (Muñoz, Alfaro, y Zapata, 2007). Fernández Arteaga et al. (2006) describe a la fase continua como aquella a través de la cual se puede acceder desde cualquier punto a otro, sin abandonarla. Por otra parte explica que para ir de un punto a otro en la fase dispersa hay que atravesar porciones de la fase continua. Muñoz et al. (2007) indica que en la práctica se necesita un tercer componente, un emulsionante. Esta sustancia facilita la formación de la emulsión disminuyendo la tensión interfacial entre la fase acuosa y la fase oleosa. La leche, mayonesa, manta, mantequilla, margarina, son ejemplos de emulsiones.

Como ejemplo de la fase dispersa de las emulsiones se puede nombrar: hidrocarburos, o grasas y aceites procedentes de materias primas. Por otro lado la fase externa rara vez consiste en agua pura, lo normal es encontrarse con productos de naturaleza hidrófila. Sales, ácidos, azúcares, proteínas, son ejemplos de componentes solubles en medios acuosos (Muñoz et al., 2007).

Un gran número de propiedades de las emulsiones, como estabilidad y viscosidad dependen del tamaño de la gota y su distribución en el medio acuoso. El tamaño de la gota va desde los 10 nm hasta casi 1000 μm ; pero lo normal es que estén entre 1 y 100 μm .

Fernández Arteaga et al. (2006) resumen a las emulsiones de la siguiente manera: son dispersiones de un líquido en otro en forma de gotas, son inestables térmicamente; dependiendo de el método de preparación adquirirán diferentes propiedades; en la gran mayoría de los casos no son transparentes.

1.2.1. Ruptura de las emulsiones

Gotas mayores a un 1 mm rompen la emulsión de manera espontánea. Para la ruptura es necesario que se produzca coalescencia, es decir, que se junten gotas para formar gotas de mayor tamaño, de esta manera se rompe la tensión interfacial que mantiene a la gota en la fase continua.

Una emulsión adquiere estabilidad cuando la viscosidad del líquido aumenta; este aumento restringe la movilidad de la fase dispersa (Muñoz et al., 2007). Por lo tanto una de las maneras de romper la emulsión es elevando la temperatura.

1.3. Flotación mediante aire disuelto (DAF)

Este método consiste en almacenar agua residual en un tanque de presurización; una vez presurizada el agua residual ésta pasa a un tanque de flotación, el cual se encuentra a presión atmosférica, donde se retirarán la grasas y los aceites por medio de palas mecánicas.

El proceso es el siguiente. El afluente es presurizado mediante bomba, a presiones de 275-483 KPa, 40-70 psi; todo el afluente se retiene, en un tanque a presión para permitir la disolución de aire; una vez que el aire se ha disuelto en el agua residual por medio de una válvula reductora de presión, ésta ingresa al tanque de flotación (Romero Rojas, 2000). Es aquí donde el aire se desprende del agua, ya que el tanque está a presión atmosférica; las burbujas de aire suben hacia la superficie acarreando con ellas partículas de aceite y grasa.

Otra manera en la que se puede llevar a cabo este proceso es reciclando el caudal, parte del efluente del tanque de flotación es reciclado, presurizado y saturado con aire, el agua reciclada presurizada pasa por un tanque donde se le somete a una presión superior a la atmosférica; para posteriormente ser introducida al tanque de flotación (Zabel, 1992); en el tanque de flotación las burbujas de aire ascenderán llevando con ellas las partículas de grasa y aceite.

1.3.1. Solubilidad del aire en el agua

"La clave para la flotación mediante aire disuelto es la disolución de aire a presión y la reducción de la misma para formar burbujas." (Bennett y Peters, 1988). La cantidad de gas en una solución obedece a la ley de Henry:

$$p = Hc \quad (1.7)$$

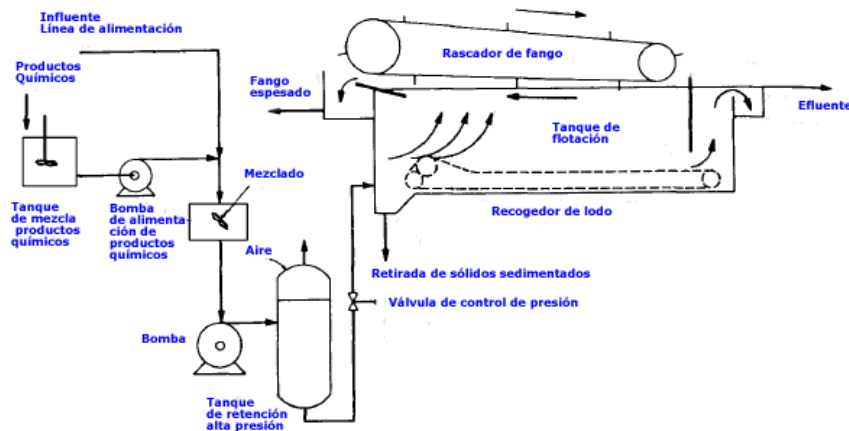


Figura 1.1: Esquema de un sistema de flotación mediante disolución de aire sin recirculación.

Fuente: (Zabel, 1992)

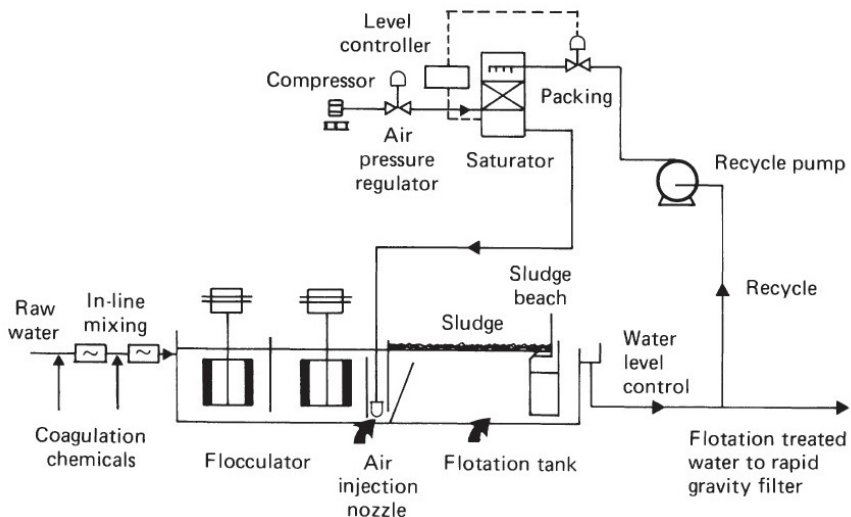


Figura 1.2: Esquema de un sistema de flotación mediante disolución de aire con recirculación.

Fuente: (Romero Rojas, 2000)

Siendo p la presión parcial del gas, c la concentración del gas disuelto y H la constante de Henry.

La solubilidad de los gases depende de la concentración de sólidos disueltos y la temperatura. Por ejemplo, la solubilidad del aire es reducida en un 45 % en agua destilada, esto cuando la temperatura se eleva de 0 a 30°C. La solubilidad del oxígeno se reduce en un 19 % cuando la salinidad aumenta de 0 a 20000 mg/l (Bennett y Peters, 1988).

La cantidad de gas teórica, que se liberará de la solución cuando la presión es reducida a 1 atm se determina de la siguiente manera:

$$C' = C \left(\frac{P' - P_V}{760 - P_V} \right) \quad (1.8)$$

Donde C' es la solubilidad del aire en agua, a la presión absoluta P' , (mL

aire)/(L de agua). P' presión absoluta del aire, mm de Hg. C , solubilidad del aire en agua, a presión de una atmósfera, (mL aire)/(L de agua). Los valores se muestran en la tabla 1.2. P_V , presión de vapor del agua, mm de Hg.

Temperaturas °C	Solubilidad, C mL aire/L de agua
0	29.2
5	25.7
10	22.8
15	20.6
20	18.7
25	17.1
30	15.7

Tabla 1.2: Solubilidad de saturación del aire en agua a una atmósfera.

Fuente: (Romero Rojas, 2000)

La mayoría; pero no todo el aire disuelto se precipitará fuera del tanque de flotación (Bratby y Marais, 1975).

Como expresa Bennett y Peters (1988); los sistemas de disolución no son 100 % efectivos. Por ello la ecuación 1.8 debe ser modificada influyendo el factor de eficiencia, f .

Al reducir la presión a presión atmosférica 1.8; esto se cuantifica a por la diferencia de solubilidad calculada según la siguiente ecuación (Romero Rojas, 2000).

$$C_T - C_L = C \left[\frac{f(P_T - P_V) - (P_L - P_V)}{760 - P_V} \right] \quad (1.9)$$

Siendo C_T , solubilidad de saturación del aire, a la presión del tanque, mL/L. C_L , solubilidad de saturación del aire, a la presión local atmosférica, mL aire/L. P_T , presión de peración del tanque, mm de Hg. P_L , presión local atmosférica, mm de Hg. C , solubilidad de saturación del aire a una atmósfera de presión, mL aire/L de agua. P_V , presión de vapor del agua a la temperatura del ensayo, mm de Hg. f , fracción de saturación alcanzada en el tanque de presurización, generalmente 0.5 a 0.8 (Romero Rojas, 2000).

El aire, normalmente, ha sido el elegido. También CO_2 , NO_2 y CH_4 han sido probados. Conway, Nelson, y Young (1981) encontró que usando mayor solubilidad, podía mejorar la eficiencia del tratamiento.

Flotación y coagulación deben hacerse antes de introducir aire al agua, con el fin de lograr una adecuada clarificación del agua (Zabel, 1992).

1.3.2. Efecto del tamaño de la burbuja

Con el objetivo de alcanzar una máxima aglomeración entre la fase sólida y el gas, es necesario que el gas se eleve hacia la superficie bajo condiciones de régimen laminar. Esto, con el fin de evitar desprendimientos en los flocs (Zabel, 1992). Así mismo Zabel (1992) menciona que el tamaño máximo de las burbujas de aire bajo régimen laminar es de $130\mu\text{m}$.

Así mismo, para saber a qué velocidad se va a elevar la burbuja de aire se puede usar la ecuación 1.6. Esto solo cuando el tamaño de la burbuja es menor a $130\mu\text{m}$.

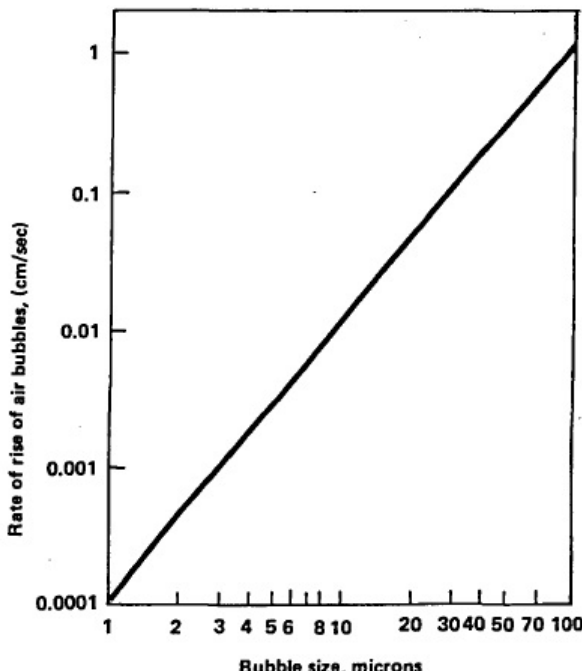


Figura 1.3: Velocidad de elevación de las burbujas de aire (calculado por la ley de Stokes) como función del tamaño de las burbujas

Fuente: (Bennett y Peters, 1988)

1.3.3. Solubilidad del aire en el agua

Mientras más pequeñas son las burbujas, más cantidad de ellas abrá por unidad de área. La presencia de más burbujas incrementarán las probabilidades de que estas se adhieran al floc; pero mientras más pequeñas sean estas, más tardarán en llegar a la superficie; mientras más tarden en llegar a la superficie, más grande será el tanque.

La cantidad de burbujas y su tamaño formadas en un volumen de agua son función del sistema físico y la cantidad de químicos presentes en el agua (Bennett y Peters, 1988). Katz et al. (1960) reportó que mientras la tensión superficial disminuye, burbujas mas pequeñas y en mayor cantidad son formadas.

1.3.4. Parámetro A/S

La relación entre el aire utilizado y los sólidos es algo fundamental en los sistemas de flotación.

$$A/S = \frac{\frac{kg}{d} \text{ de aire liberado por despresurización}}{\frac{kg}{d} \text{ de sólidos en el efluente}} \quad (1.10)$$

Esta relación, ecuación 1.10, permitirá lograr un grado de clarificación deseado. Este valor varía de acuerdo al tipo de suspensión. Se puede determinar mediante celdas de flotación en laboratorio, o con los datos de plantas piloto. Además, se ha establecido una correlación entre los sólidos en suspensión (mg/L) y el parámetro A/S (Ramalho, 1990). Utilizando de divisor, la concentración de

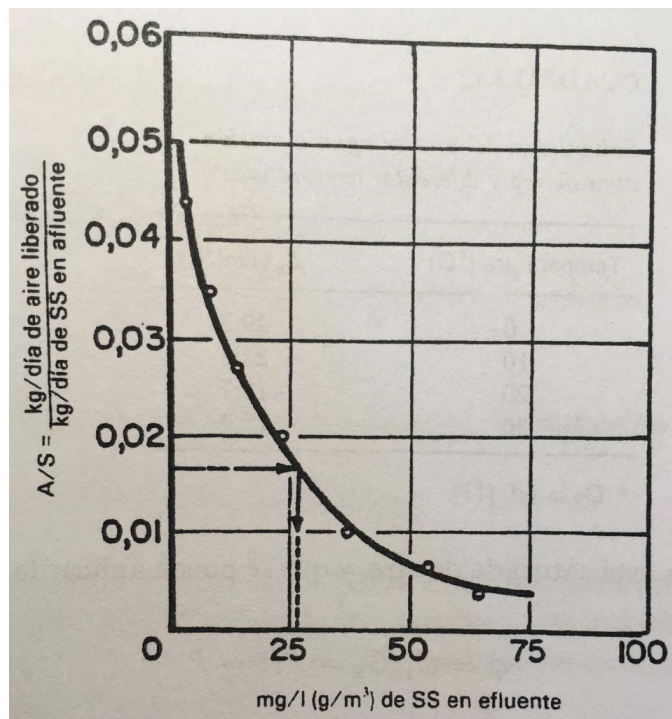


Figura 1.4: Correlación típica del parámetro A/S en función de SS, en el efluente

Fuente: (Ramalho, 1990)

sólidos suspendidos (S_O , mg de sólidos/L de líquido), en la ecuación 1.9, se obtiene la relación adimensional A/S.

$$A/S = \frac{Cd[f(P_T - P_V) - (P_L - P_V)]}{S_O(760 - P_V)} \quad (1.11)$$

Donde, A/S es la relación adimensional aire/sólidos. "d", densidad del aire a las condiciones del problema, mg/mL, cuadro 1.4. S_O , concentración de sólidos suspendidos del afluente, mg/L. C, solubilidad de saturación del aire a una atmósfera, mL/L. P_T , presión absoluta de operación, mm de Hg. P_L , presión local atmosférica, mm de Hg. P_V , presión de vapor del agua a la temperatura de operación, mm de Hg, tabla 1.5. "f", fracción de aire disuelto, a la presión P_T ,

usualmente 0.5

Se han calculado diferentes valores de A/S, mediante la ecuación 1.11, para diferentes presiones de operación y para un f=0.5, a una presión barométrica de 560 mm de Hg.

Presión manométrica suministrada por el compresor, PT							
Sólidos suspendidos	40	50	60	70	80	90	100
So	276	345	414	483	552	621	690
mg/L	2.068	2.585	3.102	3.619	4.136	4.653	5.17
	psi						mm Hg
1000		0.017	0.023	0.029	0.034	0.040	0.046
900		0.019	0.025	0.032	0.038	0.045	0.051
800		0.021	0.029	0.036	0.043	0.050	0.057
700		0.024	0.033	0.041	0.049	0.057	0.066
600		0.028	0.038	0.048	0.057	0.067	0.076
500		0.034	0.046	0.057	0.069	0.080	0.092
400		0.043	0.057	0.071	0.086	0.100	0.115
300		0.057	0.076	0.095	0.114	0.134	0.153
200		0.085	0.114	0.143	0.172	0.201	0.229
100		0.170	0.226	0.286	0.343	0.401	0.459
							0.517

Tabla 1.3: Valores de A/S para diferentes presiones de operación, a 20°C

Fuente: (Romero Rojas, 2000)

Cuando se va a elaborar un sistema con recirculación, la ecuación 1.11 se convierte en:

$$A/S = \frac{CdQ - r[f(P_T - P_V) - (P_L - P_V)]}{S_O Q(760 - P_V)} \quad (1.12)$$

Donde Q_R es el caudal recirculado presurizado, L/s. Q , el caudal afluente al sistema de flotación.

S_O es un valor fijo. Liberando mayor aire en la despresurización, se aumenta la relación A/S. Obteniendo así un efluente de mayor calidad.

"La densidad de aire en mg/L a la temperatura T, °C, a la presión H en cm de Hg, se puede calcular por" (Romero Rojas, 2000):

$$d = \frac{1,293}{1 + 0,00367T} \left(\frac{H}{76} \right) \quad (1.13)$$

El diseño de las unidades de flotación se ve influenciado por la concentración de sólidos, cantidad de aire, velocidad de crecimiento de las partículas y tasa de alimentación.

Según Romero Rojas (2000) en estudios de plantas piloto, las cuales contenían aguas residuales crudas, se usó relaciones A/S de 0.01 a 0.020. En plantas que contenían aguas domésticas e industriales, se utilizaron valores de 0.03 a 0.05.

Temperatura °C	Densidad, mg/mL	Temperatura °C	Presión de vapor kPa	Presión de vapor mm Hg
0	1.293	0	0.61	4.6
2	1.284	2	0.71	5.3
4	1.274	4	0.82	6.2
5	1.270	5	0.87	6.5
6	1.265	6	0.94	7.1
8	1.256	8	1.09	8.2
10	1.247	10	1.23	9.2
12	1.224	12	1.42	10.7
14	1.230	14	1.61	12.1
15	1.226	15	1.7	12.8
16	1.221	16	1.81	13.6
18	1.213	18	2.02	15.2
20	1.205	20	2.34	17.6
22	1.196	22	2.66	20.0
24	1.188	24	3.02	22.7
25	1.184	25	3.17	23.8
26	1.180	26	3.38	25.4
28	1.173	28	3.71	27.8
30	1.165	30	4.24	31.8
35	1.146	40	7.38	55.4
40	1.127	50	12.33	92.5
50	1.093	60	19.92	149.4
60	1.060	70	31.16	233.7
70	1.029	80	47.34	355.1
80	1.000	90	70.1	525.8
90	0.972	100	101.33	760.0
100	0.946			

Tabla 1.4: Densidad del aire a 1 atm

Fuente: (Romero Rojas, 2000)

Tabla 1.5: Presión de vapor del agua

Fuente: (Romero Rojas, 2000)

1.3.5. Forma del tanque

Existen dos formas básicas, rectangular y circular. Infilco Degremont Inc indica que en general el diseño circular debe ser elegido, siempre y cuando el espacio lo permita.

Según Bennett y Peters (1988) las ventajas del diseño circular incluyen.

- Economía en la construcción.
- Baja velocidad en toda la zona de flotación.
- El limpiador en pivote reduce los requerimientos de mantenimiento y lubricación.
- Se pueden agregar raspadores en el fondo, con un pequeño incremento en el costo.

Así mismo muestra las ventajas de los tanques rectangulares.

- Se conserva más espacio en el sitio donde se sitúe.
- Se puede estandarizar las piezas que lo conforman.
- La parte inferior de la tolva elimina la necesidad de un raspador inferior.

1.3.6. Aditivos químicos

La mayoría de los sistemas de flotación con incorporación de aire usan aditivos químicos. Desde los inicios de los sistemas de flotación por aire la importancia de los químicos para romper emulsiones y formar floes fue reconocida. Biesinger, Vining, y Shell (1974) provó la eficiencia de este sistema (con reciclaje) en una planta de empacado de carne, con y sin el uso de químicos. Sin el uso de químicos se removió un 73 % de grasa y aceite; mientras que con el uso de químicos (alumbre) se incrementó la remoción a un 86 %.

Hart (1970) experimentó el uso de aditivos. Se alcanzó un 65 % de remoción de grasas y aceites, sin el uso de aditivos; mientras que con el uso de aditivos se alcanzó una remoción del 79 %.

1.3.7. Tiempo de retención

En la tabla 1.6 se puede notar que el tiempo de retención está entre 10 y 60 min. Murakami y Robe (1975) reportó que el tiempo óptimo de residencia es de 7 min, basándose en maximizar la remoción de DQO.

Adams, Ford, y Eckenfelder (1981) demostró la importancia de la carga superficial. Graficó la concentración de FOG contra la carga superficial. En la figura 1.5 se puede apreciar como existe un punto en la curva, en el cual existe un gran cambio de pendiente.

1.4. Flotación por dispersión de aire (IAF)

La flotación por disperción de aire se empezó a usar para tratamiento de aguas residuales alrededor del año 1970, antes de eso solo se había usado en la industria minera (Murakami y Robe, 1975). Es un proceso usado para la remoción de aceites emulsionados y sólidos suspendidos en aguas residuales. En este sistema las burbujas son formadas mediante la introducción del gas directamente en la fase líquida, mediante un impulsor giratorio. Burbujas de alrededor de $1000 \mu\text{m}$ son formadas. El impulsor actúa como una bomba, forzando al líquido a través de las aperturas del dispersor, creando un vacío en el tubo vertical. El vacío lleva aire al tubo vertical, mezclándose con el líquido (Metcalf y Eddy, 1979). La mezcla líquido-gas viaja a través del dispersador, causando un gas con burbujas muy pequeñas (Metcalf y Eddy, 1979). Posteriormente las burbujas se adhieren a las partículas de grasa y aceite. Se elevan hacia la superficie para posteriormente ser removidas por palas

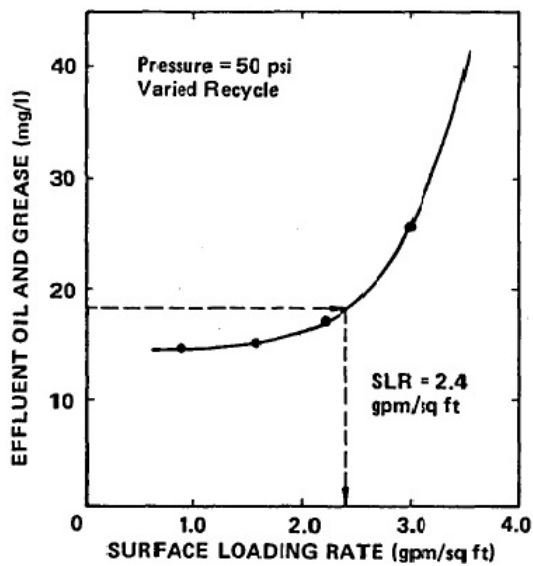


Figura 1.5: Efecto de la carga superficial sobre la calidad del efluente

Fuente: (Bennett y Peters, 1988)

mecánicas.

El equipamiento necesario para desarrollar flotación por aire disuelto es simple; pero su mecánica de fluidos no. La forma y dimensiones de la turbina se han determinado mediante ensayos de prueba y error en pequeños modelos a escala (Sylvester, Byeseda, et al., 1980).

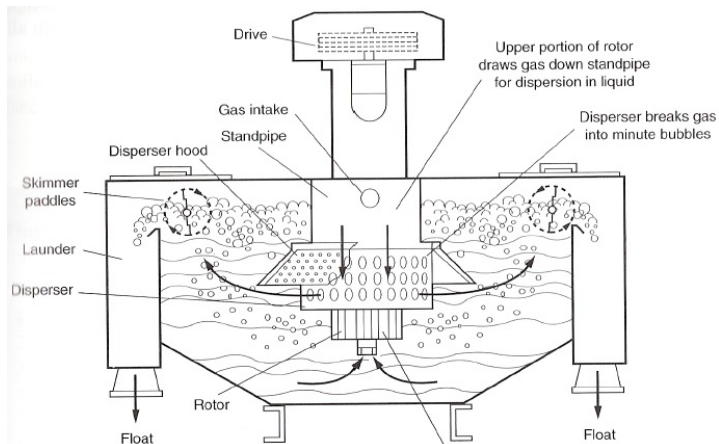


Figura 1.6: Unidad de flotación por dispersión de aire.

Fuente: (EIMCO)

Metcalf y Eddy (1979) menciona ventajas y desventajas de la flotación por dispersión de aire. Entre las ventajas tenemos:

- Son pequeños en relación a otros equipos.
- Menor costo.
- Capacidad de remover relativamente aceite libre y partículas en suspención.

Presión de aire en el tanque de saturación (lb/in ²)		
Tiempo de retención (min)	Tanque de flotación	Tanque de presurización
(De Renzo, 1981)	20–60	0.5–3.0
(Beychock, 1967)	15–20	2
(of Refining, 1969a)	10–40	1–2
Carga hidráulica (gal/min/ft ²)		
(Adams et al., 1981)		1–4
(Beychock, 1967)		3–0
(of Refining, 1969a)		2–2.5
Requerimiento de aire (SCF/100gal)		
(Beychock, 1967)		0.25–5.5
(of Refining, 1969a)		0.5–1.0

Tabla 1.6: Parámetros según diferentes autores

Fuente: (Bennett y Peters, 1988)

Las desventajas son que nombra Metcalf y Eddy (1979) son:

- Más necesidad de energía en comparación con el sistema de presurizado.
- El rendimiento depende de un control hidráulico estricto.
- En cuanto a la floculación, funciona bajo parámetros mas estrictos.
- La cantidad de nata que se retira de la superficie es significativamente mayor que el sistema de flotación mediante aire disuelto.

V. Degner y Winter (1979) describe al DAF como un proceso relativamente estático, con un alto tiempo de retención, usando relativamente pequeñas cantidades de gas. Por otro lado, el IAF es un proceso con menor tiempo de retención , menos estático que el DAF, usando altas cantidades de gas.

La principal diferencia es el mecanismo que se usa para introducir aire (Wang, 2006), (Krofta y Wang, 1999), (Bennett y Peters, 1988). Wang, Shammas, Selke, y Aulenbach (2010) hace un listado de las diferencias entre DAF Y IAF:

- En los sistemas DAF el aire primero es sometido a una presión mayor a la atmosférica, después sale en forma de burbujas pequeñas a presión atmosférica. En los sistemas DAF, los rotadores de alta velocidad producen mayor cantidad de aire, produciendo burbujas mucho más grandes que las burbujas de los sistemas DAF.
- El IAF tiene un corto tiempo de retención (5 min o menos), lo que conlleva a un menor tamaño de la equipación (V. Degner, 1976).
- Unidades comerciales de IAF utilizan el principio de multicelda para sus diseños. Esto con el fin de evitar cortocircuitos, mientras se permite mas de una oportunidad de remover los contaminantes.

- En DAF los aditivos químicos son añadidos con el fin de flocular el aceite y los sólidos suspendidos, así las burbujas pueden adherirse de una manera más fácil al floc y elevarse hacia la superficie. En IAF, los químicos son añadidos con el fin de disminuir la cantidad de aire.
- En los sistemas DAF, los químicos son incorporados y mezclados en un tanque que precede al tanque de flotación. Por el contrario, en los sistemas IAF, los químicos son introducidos justo antes de la primera boquilla expulsora de aire. Esta boquilla provoca la energía necesaria para que el aditivo se mezcle.

V. Degner (1976) describió las características hidráulicas, figura 1.7, de las unidades IAF de la siguiente manera: " Las unidades de flotación por dispersión de aire consiste en dos flujos (gas y líquido) juntos con tres distintas regiones, cada una de las cuales es importante para alcanzar una adecuada depuración del agua residual. Si la celda de flotación ingiere aire naturalmente, es decir, el aire no se suministra a la celda a través de un compresor externo, el aire entrará en el líquido por la parte alta, en vez de la parte baja del vaso de flotación (*Path A*). Al mismo tiempo, el líquido circula desde la región inferior del vaso (*Path B*) reuniéndose y mezclándose con el aire ingerido a través de la porción superior del recipiente en la zona de mezcla de dos fases *Region 1*." V. Degner (1976) describe dos zonas adicionales:

La zona de flotación (*Region 2*). Está generalmente arriba de la zona de mezcla, a través de la cual las burbujas que llevan las partículas contaminantes pueden elevarse sin una perturbación física excesiva, la cual podría causar que la partícula contaminante se separe de la burbuja de aire y por consiguiente no se eleve a la superficie para ser retirada.

La zona de desnataje (*Region 3*). En zona se debe proporcionar un patrón de flujo a la superficie para barrer la nata cargada de contaminantes.

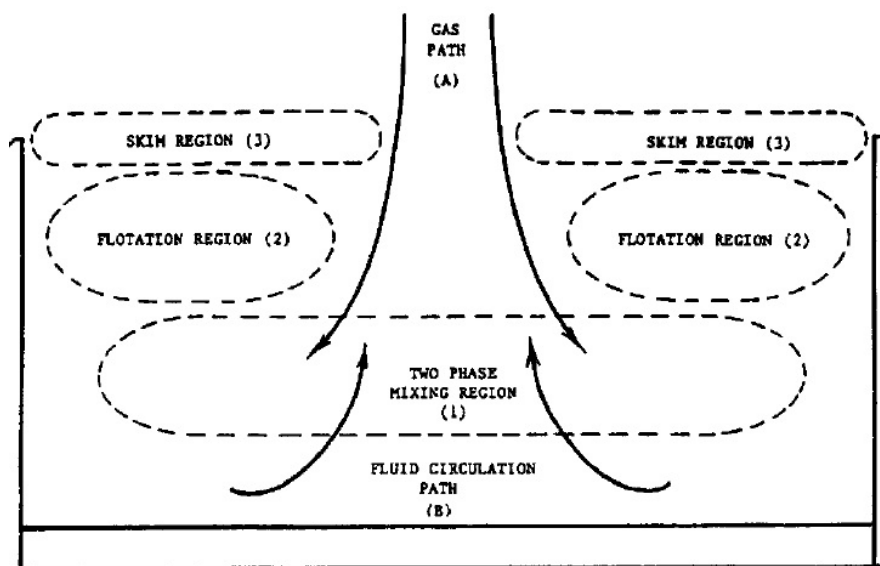


Figura 1.7: Características hidráulicas de una unidad IAF

Fuente: (Bennett y Peters, 1988)

1.4.1. Rendimiento del IAF

Aditivo químico	Concentración (mg/L)	Ph	Influyente COD (mg/L)	COD removal (%)	Influyente aceite (mg/L)	Aceite (%)	Influyente sulfuros (mg/L)	Sulfuros remoción (%)
Agua cruda	-	9	1	-	222	-	318	-
Ninguno	0	9	1.06	23	58	48	238	25
Polielectrolito	25	9	1.171	15	42	62	256	20
Polielectrolito	6	9	988	28	41	63	256	20
Polielectrolito	12.5	9	868	37	41	63	-	-
Polielectrolito	12.5	9	892	35	44	60	223	30

Tabla 1.7: Rendimiento del IAF en un prototipo a escala

Fuente: (Bennett y Peters, 1988)

Adams et al. (1981) desarrolló un modelo a escala y obtuvo algunos resultados mostrados en la tabla 1.7.

Van Ham, Behie, y Svrcek (1983) estudió este sistema de flotación experimentando con columnas de 10 cm de diámetro y 150 cm de alto. Se descubrió que su rendimiento es altamente afectado por la forma de distribuir el aire. Las variables que fueron investigadas fueron: platos porosos; platos de un solo agujero; o platos de varios agujeros; la concentración inicial de aceite(30 - 600 mg/L); la distribución de las gotas de aceite (1.0 - 30 μm); el surfactante a usar y la velocidad del gas.

Las conclusiones a las que llegó Van Ham et al. (1983) fueron las siguientes:

- Los datos experimentales de la columna de flotación siguen un modelo cinético de primer orden.
- La manera en la cual se introduce aire afecta en gran magnitud el rendimiento del sistema.
- Distribuidores agujeros múltiples dieron mejores resultados que los porosos o distribuidores de un solo agujero.
- La adición de hasta 4 por ciento en peso de cloruro de sodio dió como resultado un mejor rendimiento de la columna.
- En condiciones óptimas con un distribuidor de aire de agujeros múltiples, era posible operar la columna de flotación de manera que las concentraciones finales de aceite fueran muy bajas.

Sylvester et al. (1980) estudió la separación del aceite, estabilizado con sulfonato de petróleo, de soluciones de sal muera mediante flotación por dispersión de aire. Se investigó los efectos de la concentración de aceite, tiempo de residencia, cantidad de aire, tamaño de la burbuja, dimensión de la gota de aceite, temperatura, concentración del cloruro de sodio y del plieléctrico caótico. Según el estudio, la gota de aceite; el tamaño de la burbuja; tiempo de residencia, y concentración del polieléctrico caótico fueron las variables más

significativas en el rendimiento del *IAF*. Se observó que solo gotas mayores a $2\mu\text{m}$ fueron significativamente removidas; por lo contrario gotas más pequeñas fueron generadas por el rotor inyector de aire. Además, el polieléctrico caótico mejoró el rendimiento de la flotación ya que incrementó el número de grandes gotas de aceite. Este experimento también mostró que el mecanismo para la eliminación de gotas pequeñas de aceite se dió por parte de burbujas de 0.2 a 0.7 mm.

El estudio de Sylvester et al. (1980) arrojó las siguientes conclusiones:

- Solo burbujas superiores a $2\mu\text{m}$ mostraron una remoción significativa.
- Gotas menores a $2\mu\text{m}$ fueron creadas por la fuerza cortante producida por la inducción de aire.
- Para el *IAF* de etapas múltiples la mayoría de las gotas fueron removidas en la primera etapa.
- El tamaño de las gotas de aceite y el de las burbujas de aire hacen que varíe la calidad de la remoción.
- Un rango de temperaturas entre 17 y 32°C no tuvieron un efecto significativo en la remoción.
- En el rango práctico de operaciones el caudal de aire no fue importante al momento de alterar la calidad de la remoción.
- El polímero caótico incrementó la eliminación del aceite, ya que aumentó el tamaño de las gotas en el tanque de flotación.
- Para burbujas de diámetro entre 0.2 a 0.7 mm y gotas de 1 a $15\mu\text{m}$ de diámetro el mecanismo de remoción fue la captura hidrodinámica.

Burkhardt (1983) por su parte, investigó la importancia relativa de las variables en un sistema *IAF*. Pasó agua residual de una celda *IAF* a través de un espectrofotómetro y midió la absorbancia (debido a la concentración de aceite) como una función del tiempo, figura 1.8. Los datos que recaudó se adaptaban a un modelo de primer orden:

$$\frac{\partial C}{\partial t} = -KC \quad (1.14)$$

Donde t , es el tiempo de tratamiento en el sistema. K , la constante de velocidad y C , la concentración del contaminante (aceite). La extensión de la ecuación 1.14 de una simple estación a una de cuatro, secuencial de igual volumen de operación responde a la siguiente ecuación (Bennett y Peters, 1988):

$$\frac{C_4}{C_0} = \left(\frac{1}{1 + Kt} \right)^4 \quad (1.15)$$

Donde, C_4 es la concentración del contaminante a la salida de la celda 4, C_0 , la concentración del influente, K , la constante de velocidad y t , el tiempo de residencia total en el sistema *IAF*.

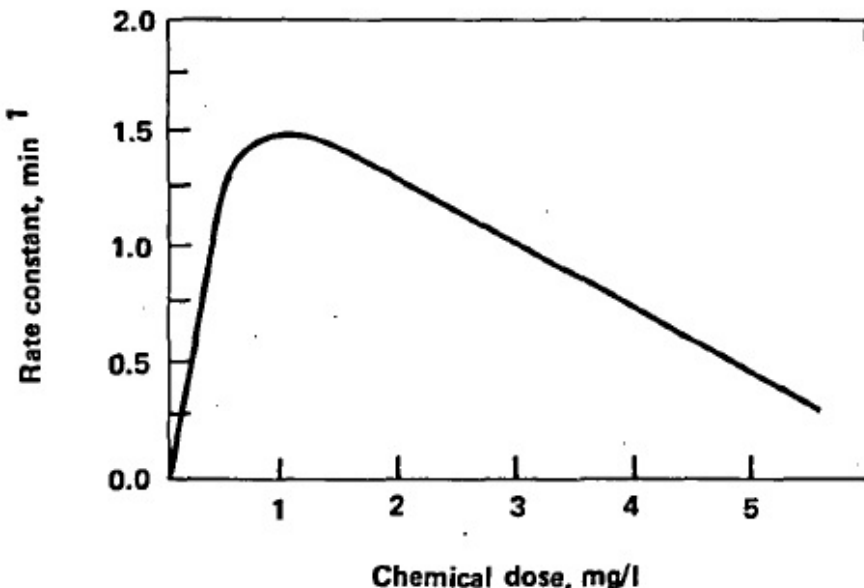


Figura 1.8: Uso de un análisis cinético para ilustrar el efecto de los aditivos químicos en el rendimiento de un sistema IAF

Fuente: (Bennett y Peters, 1988)

La figura 1.8 muestra que hay un punto óptimo de la cantidad de aditivo químico; después de ese punto la cantidad del aditivo disminuye el rendimiento del sistema.

1.4.2. Unidades *IAF* de celdas múltiples

Las investigaciones de Ellis, Fischer, et al. (1973) han convencido que una unidad multiceldas es mas versátil y confiable que las unidades que solo constan de una celda. Al estar cada celda conectada, cada celda mejora la calidad procedente de la celda anterior, por lo tanto una unidad tendrá varias oportunidades de mejorar la calidad del agua residual. Al contrario, un sistema de una sola unidad solo tendrá una oportunidad de mejorar la calidad del agua residual; por lo tanto, si no se presentan las condiciones óptimas el resultado de la depuración del agua será deficiente (Bennett y Peters, 1988). Una prueba comparó un sistema de una celda única versus un sistema de varias celdas. El efluente del sistema multicelda mostró una concentración de 2 a 10 mg/L versus una concentración de 10 a 21 mg/L del sistema de una celda.

1.4.3. *IAF* como parte de una unidad de tratamiento en una fábrica de papel

Las unidades IAF usan el principio en el cual la extracción de espuma es proporcional al área superficial y no al volumen del tanque de flotación. Por ello, para este caso en específico, se usó una superficie larga y un fondo de 80 cm. Grandes cantidades de espuma se producen en un tanque de bajo costo (Wood y Sci., 2002). La unidad IAF para este proyecto fue específicamente diseñada para remover tinta de agua residual mediante la producción artificial de espuma. La tinta es atrapada por la espuma; por lo tanto al extraer la espuma se extrae la tinta

(Somasundaran, Zhang, Krishnakumar, y Slepets, 1999). Según Zhao, Deng, y Zhu (2004), Drellich, Nalaskowski, Gosiewska, Beach, y Miller (2000), Drellich, Pletka, et al. (2001) y Pirttinen y Stenius (2000) el destintado por flotación tiene tres ventajas notables:

- El desprendimiento de las partículas de la tinta de las fibras.
- Una adhesión efectiva de las partículas de tinta con las burbujas de aire.
- La eliminación de espuma y tinta de las unidades de flotación.

De acuerdo a J. Borchardt (1992), J. K. Borchardt (1997), Drellich, Zahn, Miller, y Borchardt (2001) y Shammas, Wang, y Selke (2010) los surfactantes pueden afectar de una manera positiva o negativa los tres procesos anteriormente mencionados. Para Beneventi y Carre (2000), J. Borchardt (1994) y Rao y Stenius (1998) desempeñan la siguiente función:

- Como dispersante para separar las partículas de tinta de la superficie de la fibra y prevenir que se asienten las partículas separadas en las fibras.
- Como colector para aglomerar desde partículas pequeñas a grandes y cambiar la superficie de las partículas de hidrófilas a hidrófobas.
- Como generador de una capa de espuma en la parte superior; para posteriormente ser eliminada.

La figuras 1.9 muestra una unidad IAF con 40 pies de diámetro.

Shammas et al. (2010) presenta otro caso donde se usa una unidad *IAF*. El lugar es una planta de tratamiento de papel reciclado en Italia. De igual manera que en la fábrica anterior; la unidad *IAF* producía grandes cantidades de espuma. La extracción era proporcional a la superficie y no al fondo del tanque, siendo el fondo del tanque 80 cm.

La unidad *IAF* fue equipada con múltiples inyectores para así crear finas burbujas de espuma. Una bomba alimenta el segundo círculo interno con la espuma del círculo externo. Las boquillas ayudan a formar un movimiento circular en el tanque. El movimiento puede ser regulado ajustando el caudal que circula, la cantidad de aire y la dirección de las boquillas. Lo que ha sido limpiado es descargado al centro, al fondo de la unidad *IAF*. Si se desea se puede volver a recircular el agua residual, cuantas veces se deseé (Shammas et al., 2010).

Además Shammas et al. (2010) menciona que la construcción se hizo usando acero inoxidable, a un bajo costo de fabricación. El tanque es abierto, permite el fácil acceso, observación del proceso y limpieza. La espuma es aspirada y pasada a un ciclón. Aire aspirado por la aspiradora de espuma mantiene la instalación limpia. El tiempo de retención es pequeño, de 5 a 10 min, esto debido a que el tanque es largo y posee un volumen pequeño.

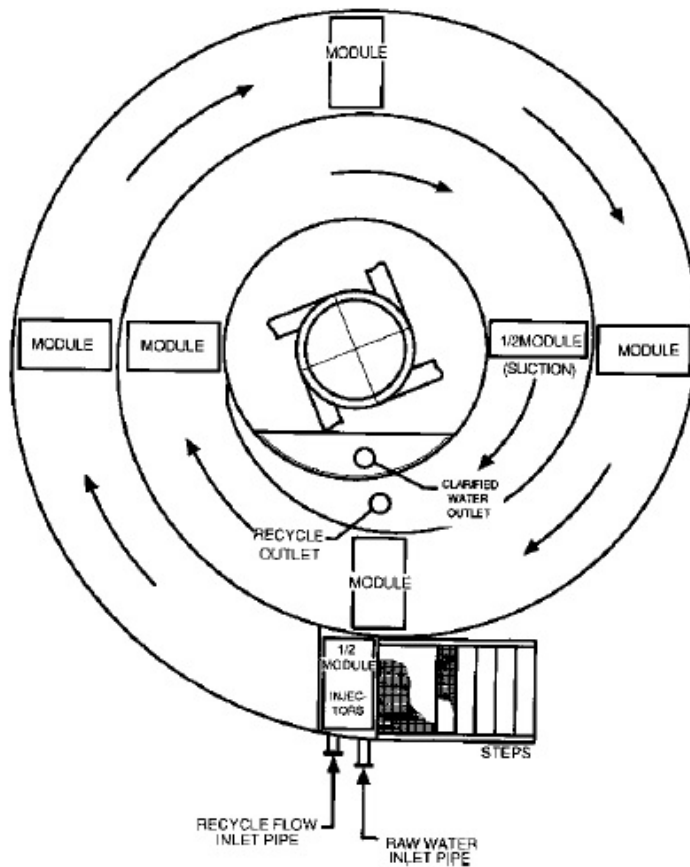


Figura 1.9: Unidad IAF

Fuente: (Shammas et al., 2010)

1.5. Boquilla de aire de flotación

Esta técnica, *Nozzle Air Flotation*, por su nombre en inglés; puede ser vista como una innovación en el campo de la flotación por dispersión de aire (*IAF*) (Bennett y Peters, 1988). Las burbujas producidas son de 400–800 μm (Gopalratnam, Bennett, y Peters, 1988). Como su nombre lo indica es una boquilla que inyecta aire, cuyas patentes fueron otorgadas a V. R. Degner y Colbert (1978). Según Bennett y Peters (1988) hay cuatro aspectos únicos de esta técnica:

- El dispositivo de inyección utiliza como boquilla de aspiración de gas un extractor, figura 1.10, para extraer aire en aguas residuales tratadas con reciclaje, desarrollando verdaderamente una mezcla de dos fases de aire y agua que posteriormente se descarga en el recipiente de flotación.
- El éxito de la operación de este sistema depende si se encuentra en un régimen de la curva, figura 1.11, en el cual la densidad de energía del efluente (definida como la energía cinética de la descarga del líquido igual a $1/2mv^2/g$) dividida para el volumen del tanque es graficada en contra de la densidad del efluente en la mezcla.
- Más de una celda de flotación es usada, usualmente cuatro, cada una con un tiempo de residencia de un minuto aproximadamente. El agua residual

pasa de celda en celda por debajo de una barrera que divide una celda de otra.

- Una contrapresión de 0.5 a 1.0 oz mantiene una manta de gas entre el nivel del líquido y la cubierta a prueba de gas que elimina los olores y permitiría tratar cualquier gas residual en un dispositivo de contaminación del aire, reduciendo así las emisiones atmosféricas de hidrocarburos

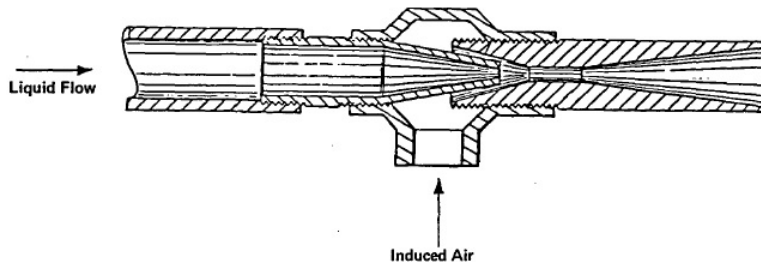


Figura 1.10: Aspiración de aire en fluido en el centro de concentración

Fuente: (Bennett y Peters, 1988)

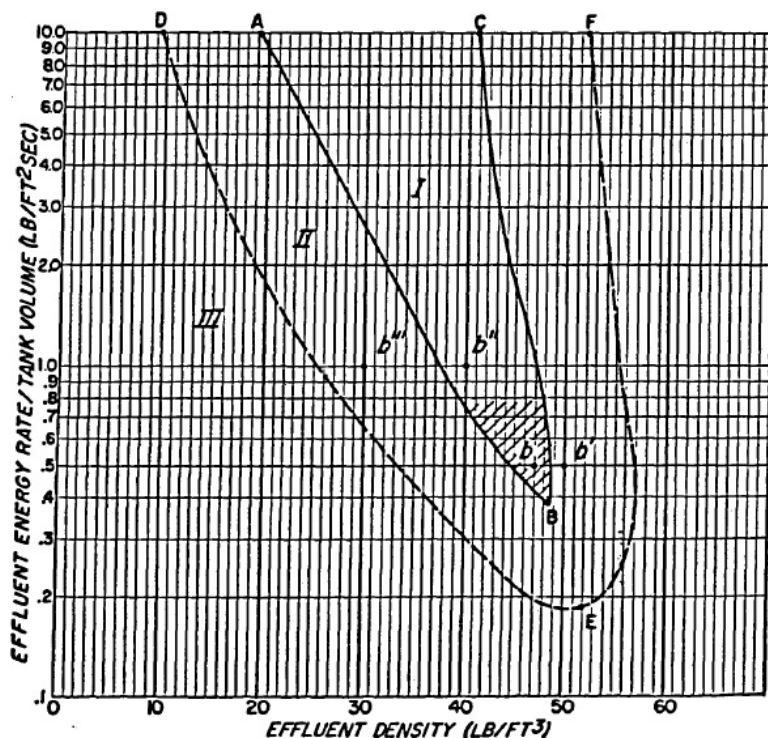


Figura 1.11: Curva de energía/densidad para *Nozzle Air Flotation*. Define el régimen para una operación óptima.

Fuente: (Bennett y Peters, 1988)

1.5.1. Desarrollo del equipo.

Wemco, empresa dedicada al desarrollo de tecnología para el tratamiento de aguas residuales, ha desarrollado un sistema basado en los principios discutidos

anteriormente. En la figura , se muestra una sola celda de flotación, la cual es usada para ensayos a escala en laboratorio (Bennett y Peters, 1988). Wemco, asegura que el sistema *Nozzle Air Flotation* tiene grandes ventajas respecto al sistema convencional *IAF*, ventajas tales como:

- Mejor necesidad de energía puesto que se necesita solo de una bomba para mezclar y proveer de aire.
- Eliminación de las celdas de flotación externas, ya que los floculantes se mezclan en la primera celda de flotación.
- Requiere menos mantenimiento. Además poseen más tiempo de vida, debido a que no posee piezas de alta velocidad que se desgasten.

1.5.2. Rendimiento del *Nozzle Air Flotation*

J. Steiner, Bennett, Mohler, y Clere (1978) y Hobe (1978) estudiaron este método en clarificación y aguas residuales de conservas de atún, respectivamente. Cardile y Fronczak (1982) son los únicos autores que proporcionan datos sobre un sistema en operación. David y Vose (1977) notaron que Chevron prefiere el sistema *IAF* y posee una gran cantidad de unidades en funcionamiento en sus refinerías en Norte América, lamentablemente no brindaron información. J. L. Steiner (1977) estudió el rendimiento del *Nozzle Air Flotation* en el tratamiento de aguas residuales provenientes de los separadores API. Los parámetros que variaron fueron los siguientes: concentración de polímero, el porcentaje de reciclaje (varió como resultado de una tasa de inducción de aire variable) y el tiempo de residencia total. Un 77% fue el mejor resultado que se obtuvo de la remoción de grasa y aceite; este porcentaje se obtuvo cuando la tasa de reciclaje fue la más alta, tabla 1.8.

	Presión de la boquilla (lb/in ²)		
	10	7.5	5
Caudal reciclado (gal/min)	28	24	20
Tasa de inducción de aire (ft³/min)	1.67	1.08	0.5
Tiempo de residencia (min)	1.4	1.55	1.8
Aceite (mg/L)			
Influyente	36	54	41
Efluente	9	12	8
Reomoción (%)	75	78	80
Solidos Suspendidos (mg/L)			
Influyente	64	60	57
Efluente	15	17	17
Reomoción (%)	77	72	70

Tabla 1.8: Efecto de diferentes presiones proporcionadas por la boquilla.

Fuente:(Wang et al., 2010)

Hobe (1978) brinda pocos detalles experimentales. Su estudio estuvo más enfocado en la necesidad de químicos, comparando el grado de eliminación con y sin químicos. Cuando el influente tuvo 1045 mg/L de grasa y aceite se obtuvo una remoción del 85%, usando 25 mg/L de polímeros; sin aditivo, la eliminación fue de un 67%. Los sobrenadantes estuvieron entre 25 a 30 % de grasas y aceites, 30 a 35 % de sólidos totales y 3 a 8 % de proteínas totales.

1.6. Flotación *Jet* y Flotación centrífuga

1.6.1. Flotación *Jet*

Según G. Jameson y Manlapig (1991) estas celdas de separación poseen un gran potencial para separar sólidos de líquidos y líquidos de líquidos. Sus grandes ventajas son: costo moderado; alto rendimiento y alta eficiencia (Clayton, Jameson, y Manlapig, 1991). Además, al tener partes móviles, sus costos de operación y mantenimiento son bajos. Las celdas jet consisten de una zona de aireación contacto (la bajada), una zona de separación de partículas o agregados de burbujas (el área de pulpa adecuada del tanque) y una zona de limpieza o formación de espuma (la zona adecuada del tanque).

Las burbujas formadas en este equipo son de tamaño medio, entre 100 y 600 μm de diámetro (G. Jameson y Manlapig, 1991). Inicialmente su uso se daba solo en la industria minera; pero recientes avances han permitido que su uso se extienda al tratamiento de aguas residuales (G. J. Jameson et al., 2004).

1.6.2. Flotación centrífuga

Mediante un hidrociclón o un cilindro simple se desarrolla un campo centrífugo, el mismo que sirve de separador (Rubio et al., 2002). La aereación se produce inyectando aire, por medio de limitaciones de flujo, como mezcladores estáticos o boquillas. Jordan y Susko (1992) asegura que las medidas de las burbujas producidas por este mecanismo van desde 100 a 1000 μm de diámetro.

Se puede clasificar como una unidad de flotación centrífuga al hidrociclón rociado con aire, ASH, por sus siglas en inglés (Ye, Gopalakrishnan, Pacquet, y Miller, 1988). El sistema consiste en expulsar aire a través de una pared de tubo poroso, este aire se corta en numerosas burbujas por el flujo de remolino de alta velocidad de la fase acuosa (Rubio et al., 2002).

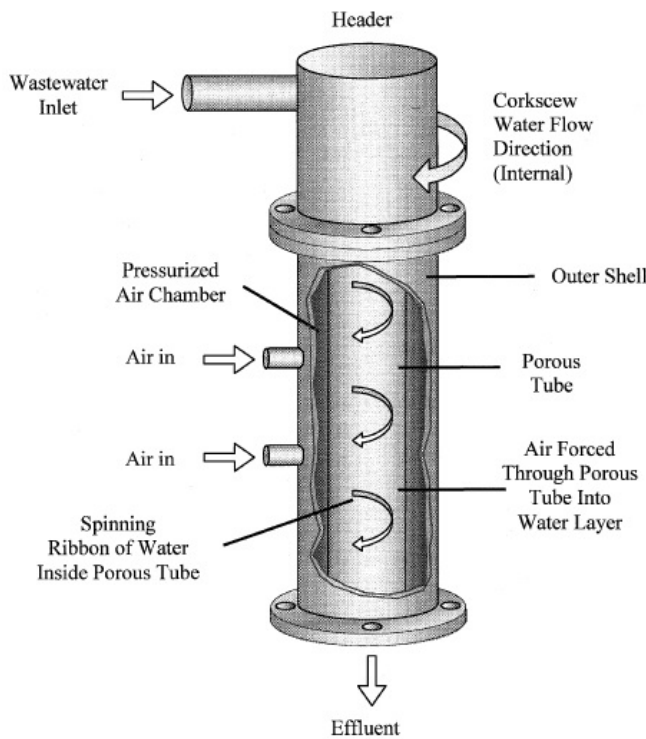


Figura 1.12: Sistema BAF.

Fuente: (Rubio et al., 2002)

Recientes reportes han mostrado aplicaciones en remoción de grasas, aceites, DBO, etc. Sistemas de burbuja de flotación acelerada, BAF, por sus siglas en inglés, figura 1.12, tienen bajos tiempos de retención (Colic et al., 2001).

1.7. Separación por gravedad

El tanque de separación de grasas y aceites del agua residual es uno de los tratamientos más usados. A causa de la diferencia de densidades entre el agua, las grasas y aceites; la sustancia más liviana se elevará a la superficie. Para un desempeño eficaz del tanque es necesario un flujo uniforme; esto permitirá que las partículas se eleven de una manera rápida hacia la superficie (ley de Stokes) (Hussein, Abdullah, Harun, y Abdulkhaleq, 2013).

Morrow y Dodget (1991) instaló placas separadoras de flujo a diferentes distancias de la entrada del tanque; demostrando que su posición tiene gran importancia. Sus experimentos se dieron en un tanque de 1.80 m de largo por 0.46 m de ancho. La velocidad axial en el centro del tanque fue validada con predicciones en computadora. Chen y Nor (2011) desarrolló un modelo en el cual se ensaya el espaciamiento entre perforaciones en una placa separadora de flujo. La simulación con un espaciamiento de 40 mm tuvo un mejor desempeño que un espaciamiento de 69.3 mm, los diámetros de los agujeros fueron de 10.5 mm. Aziz, Holt, Keener, Groninger, y Ducoste (2010) analizó modelos numéricos y físicos, sus estudios se basaron en probar diferentes geometrías, colocar placas divisorias de flujo. Se obtuvo una remoción del 90 % cuando el tiempo de retención hidráulica fue de una hora.

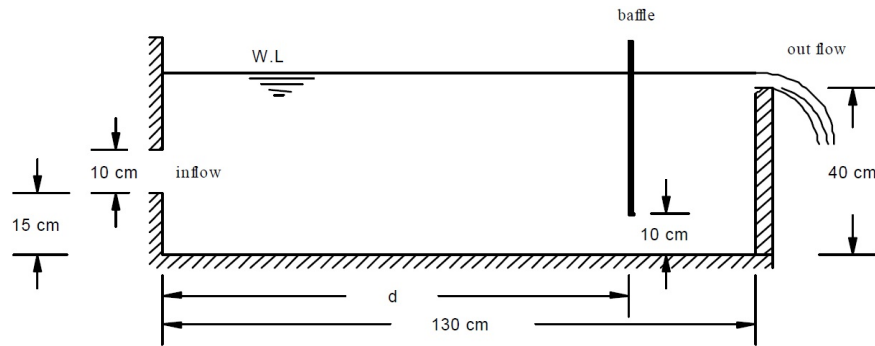


Figura 1.13: Vista transversal del tanque usado en el experimento.

Fuente: (Hussein et al., 2013)

Hussein et al. (2013) investigó la mejor ubicación, para una sola placa separadora, en un tanque de flotación rectangular, figura 1.13. La mejor locación es cuando el volumen de la zona de circulación (tabla 1.9) y la zona muerta son mínimas (Razmi, Firoozabadi, y Ahmadi, 2009). Este estudio investigó el efecto de la posición de la placa separadora mediante el programa flow 3D. Se llegó a la conclusión de que una locación entre el 75 y 80 % del largo del tanque es la mejor para conseguir una uniformidad en el flujo, necesaria para que la remoción de grasas y aceites sea eficiente.

Distancia de la placa (d) desde la entrada (cm)	60	80	100	120
Volumen de la zona de circulación (%)	66.42	64.7	58.7	59.8

Tabla 1.9: Volumen de la zona de circulación en diferentes ubicaciones

Fuente: (Hussein et al., 2013)

Los separadores de grasa remueven entre el 20 y 30 % del DBO, 40 a 45 % de sólidos suspendidos y 50 a 60 % de grasas (Somasundaran et al., 1999). Los químicos pueden mejorar la eficiencia de los tratamientos; pero para ello son necesarios 20 min de floculación para que los efectos sean significantes (Somasundaran et al., 1999). Frecuentemente la flotación se logra sin químicos, a menos que se deba mejorar la calidad del efluente.

Hussein, Abdullah, Ibrahim, y Said (2016) investigó el efecto, sobre el flujo, de una placa separadora a la entrada del tanque de flotación. En sus conclusiones indican que la mejor ubicación, de una placa, es aquella que mitiga la velocidad horizontal de entrada tanto como sea posible. Esta situación permitirá a la gotas de aceite juntarse con otras gotas y elevarse de una manera tranquila, sin perturbaciones en el flujo. Los autores recalcan que para saber con certeza cual es la mejor posición para colocar una placa; se tiene que estudiar en dos direcciones el perfil de velocidad, la distribución de la concentración de

aceite y la eficiencia de la eliminación.

En el estudio realizado por Hussein et al. (2016) mostró que colocando la placa a una distancia que cumpla con la relación $d/L=0.12$ ayuda a obtener una velocidad mínima horizontal y se obtiene una mayor remoción de aceite.

Los separadores por gravedad son dispositivos económicos, de fácil instalación y mantenimiento. Son eficientes cuando las grasas y aceites a remover son de origen animal y vegetal.

1.8. Separador API

Los separadores API son usados para remover aceites de las aguas residuales en los procesos industriales y refinerías. El uso de estos separadores API está limitado a la remoción de aceites y grasas insolubles en el agua y a la retención de sólidos en suspensión, separados por medio de la gravedad (método físico), haciendo que las grasas y aceites se eleven y los sólidos se depositen en el fondo del tanque API debido a la diferencia de densidades. La eficacia de los separadores API está ligada al tiempo de retención del caudal de aguas servidas. La remoción de elementos en el agua residual va a variar dependiendo del tiempo de retención que tenga el mismo con un tiempo mínimo de 20 minutos, obteniendo una remoción de alrededor del 65%; pero con un tiempo de retención de 60 minutos, dará lugar una remoción aproximada de 95% (López-Vazquez y Fall, 2004). Los criterios de diseño del separador API es patentado por el American Petroleum Institute (API).

En los separadores API para mejorar su eficiencia se instalan unas barrederas en los costados del separador, las cuales ayudan a acumular los aceites y grasas en la parte superior y los sólidos suspendidos en la parte inferior del tanque. El aceite se concentra en las proximidades de un recolector de grasas, ubicado en la parte delantera del separador, retirados por un dren. Mientras que los sólidos son depositados en los depósitos en la parte posterior, para su acumulación y posterior drenado. La velocidad de la barredera instalada deberá tener una velocidad muy baja, equivalente a la velocidad del flujo para evitar posibles turbulencias en el proceso.

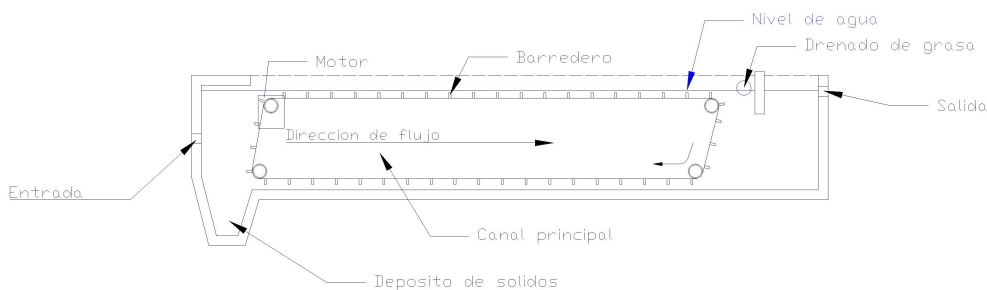


Figura 1.14: Esquema de una separador API

Fuente: Autores

1.8.1. Diseño

Para el diseño de un separador de aceites y grasas API, se tomaran en cuenta factores necesarios para el diseño tales como:

- Q = Caudal medio del agua residual en $\frac{m^3}{s}$.
- T = Temperatura de diseño en $^{\circ}\text{C}$.
- ρ_w = Densidad del agua residual en $\frac{Kg}{m^3}$.
- ρ_o = Densidad del aceite en $\frac{Kg}{m^3}$.
- μ = Viscosidad del agua residual en $\frac{N\cdot s}{m^2}$.

Los criterios básicos para el diseño de separadores API, fueron formuladas por of Refining (1969b), tomando en consideración el diámetro de la gota de aceite mínima de 150 micras, es decir, 0.015 centímetros. Donde el área horizontal mínima se calcula con la expresión:

$$A_H = \frac{Q \cdot F}{V_t} \quad (1.16)$$

En donde:

- A_H = Área horizontal mínima en m^2 .
- Q = Caudal del agua residual en $\frac{m^3}{s}$.
- F = Factor de turbulencia y corto circuito.
- V_t = Velocidad de ascenso de las burbujas aceite en $\frac{m}{s}$

El factor por turbulencia y cortocircuito

$$F = F_1 \cdot F_2 \quad (1.17)$$

En donde:

- F = Factor de turbulencia y corto circuito.
- F_1 = Factor de compensación por cortocircuito. Se usa el valor de 1.2 .
- F_2 = Factor de compensación por turbulencia. En este intervienen los factores velocidad de elevación (V_t) y la velocidad horizontal (V_H), como se ve en la tabla 1.10.

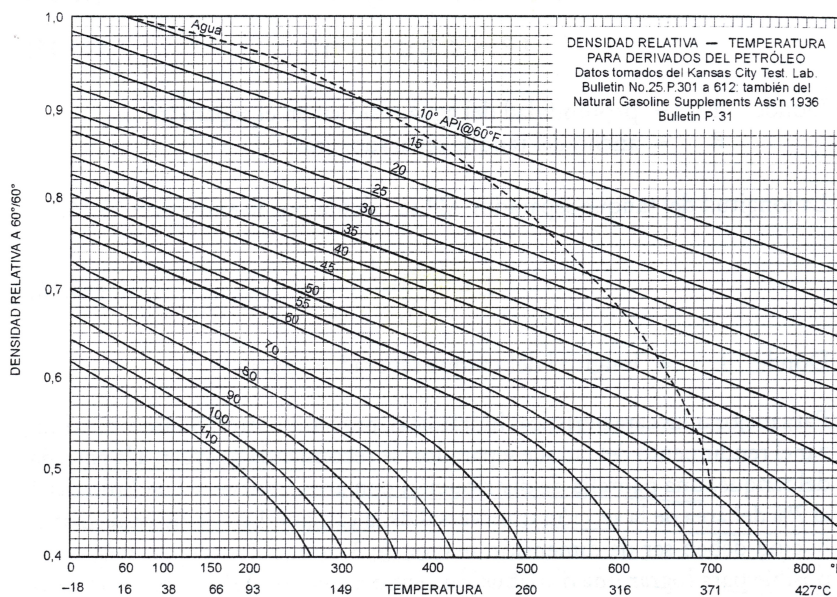
La velocidad a la que se elevan las gotas de aceite se puede calcular por la ecuación de Stokes o por la ecuación 1.6.

En las industrias, en general, el agua después de su uso la temperatura media es de 45°C , la viscosidad de diseño se puede tomar como $6.0 \times 10^{-4} \frac{N\cdot s}{m^2}$ o 0.006 poise. Las densidades de los aceites que se muestran en la figura 1.15, son las densidades relativas para los diferentes hidrocarburos en diferentes grados

$\frac{V_H}{V_t}$	F_2
20	1.45
15	1.37
10	1.27
6	1.14
3	1.07

Tabla 1.10: Valores recomendados para F_2

Fuente: (Romero Rojas, 2000)

**Figura 1.15:** Densidades relativas de hidrocarburos

Fuente: (Romero Rojas, 2000)

API.

En la siguiente figura el autor del libro "Tratamiento de aguas residuales y principios de diseño"(Romero Rojas, 2000). La velocidad horizontal máxima permisible en el separador viene dada por la siguientes ecuaciones:

$$V_H \leq 15 \cdot V_t \quad (1.18)$$

$$V_H \leq 0,0015 \cdot \frac{m}{s} \quad (1.19)$$

Se toma como 0 el valor de la velocidad horizontal (V_H) al menor valor. En donde:

- $v_t =$ Velocidad de ascenso de la burbuja de aceite en $\frac{m}{s}$.

El área de sección transversal mínima se obtiene mediante la siguiente ecuación:

$$A_C = \frac{Q}{V_H} \quad (1.20)$$

En el cual:

- A_C = Área de la sección transversal en m^2 .
- Q = Caudal del agua residual en $\frac{m^3}{s}$.
- V_H = Velocidad horizontal en $\frac{m}{s}$.

Según (Romero Rojas, 2000) las relaciones para el diseño mínimas y máximas están representados por:

$$0,3 \leq \frac{d}{B} \leq 0,5 \quad (1.21)$$

$$0,9m \leq d \leq 2,4m \quad (1.22)$$

$$2,8m \leq B \leq 6m \quad (1.23)$$

En el cual:

- d = Profundidad del agua en el separador en metros.
- B = Ancho del tanque separador en metros.

La longitud del separador viene dada con la expresión:

$$L = \frac{F \cdot V_H \cdot d}{V_t} \quad (1.24)$$

En donde:

- L = Longitud del separador API.
- F = Factor de turbulencia y corto circuito.
- V_H = Velocidad horizontal en $\frac{m}{s}$.
- d = Profundidad del agua en el separador en metros.
- v_t = Velocidad de ascenso de la burbuja de aceite en $\frac{m}{s}$.

Para maximizar el rendimiento y evitar cortocircuito al momento de que el agua residual entra en el tanque separador es recomendable que el área de distribución del agua sea de un 3 a 7% del área transversal del tanque API. El área de distribución debe tener orificios de 3 milímetros (mínimo) ya que esto lograría una distribución más uniforme. El sumidero de aceite deberá sumergirse entre 0.5d hasta 0.6d. En el vertedero de salida, encontramos una perdida de pared delgada en caída libre. La cual es posible calcular mediante la ecuación de Francis.

$$H = \left(\frac{Q}{1,84 \cdot L} \right)^{\frac{2}{3}} \quad (1.25)$$

En donde:

- H = Altura de la lámina de agua sobre el vertedero en metros.
- Q = Caudal de agua en $\frac{m^3}{s}$.
- L = Longitud del vertedero en metros.

1.8.2. Consideraciones de diseño

- El agua deberá llegar por gravedad, ya que se pueden llegar a formar mezclas y bajar el rendimiento del separador.
- Evitar las variaciones bruscas del caudal, esto puede llegar a formar turbulencias al ingresar al mismo.
- Es recomendable la previa regulación del caudal por medio de tanques almacenadores de agua.
- La temperatura de diseño lleva un papel muy importante al momento del diseño del mismo; ya que a menor temperatura las gotas ascienden en un mayor tiempo, y su funcionamiento requeriría una mayor área.
- La densidad de las grasas y aceites influyen de manera importante al momento del diseño. Si la diferencia de densidades es mayor, la gota de aceite o grasa se eleva con un menor tiempo, obteniendo un tiempo de retención menor.
- Para maximizar el rendimiento del separador, la entrada deberá tener una pantalla de distribución la cual puede ser del 3 al 7 % del área de la sección transversal. Los orificios de entrada deberán ser mayores a 3 milímetros, y ser colocados lo mas cercanos posible para asemejar una distribución ideal del caudal.
- Si la caída libre del vertedero es mayor a 1.5 metros de altura es recomendable tener una salida de escaleras para evitar la formación de aerosoles.
- Cuando el área horizontal es muy grande se recomienda diseñar 2 tanques separadores juntos para maximizar su rendimiento.

1.8.3. Conclusiones

- Cuando el caudal de diseño es muy grande las áreas de diseño de los separadores API van a aumentar.
- Influye de manera importante las condiciones en las que se encuentra el separador API; la temperatura, humedad, viento, etc. generando alteraciones importantes en el sistema.
- Los largos tiempos de retención pueden dar a lugar a la evaporación de los aceites y grasas volátiles, provocando contaminación atmosférica.
- Tiene una facilidad operacional, así mismo una buena eficiencia al momento de la remoción.
- Es muy seguro, tiene un mantenimiento y operaciones muy sencillas, amigables con los usuarios de este sistema.

1.9. Flotación mediante aire por cavitación

Cavitation Air Flotation (CAF), en nuestro medio es mas conocido como sistema de flotación por cavitación de aire. El sistema CAF separa los sólidos suspendidos. En este sistema se inyecta micro burbujas de aire en el flujo de agua residual. Consta con boquillas especiales, por ellas solo puede pasar aire y retiene el agua residual. En el sistema CAF no es necesario la utilización de bombas de agua, compresores, tanques hidroneumaticos o tanques a presión, este sistema utiliza un aereador que extrae el aire del ambiente. Esta unidad CAF está compuesta por 4 secciones:

- Sección de aereación, aquí se encuentra un aereador que funciona por cavitación.
- La sección de flotación de partículas.
- La sección del canal de descarga.
- La sección de descarga del agua ya limpia, la cual es dirigida hacia el vertedero de salida.

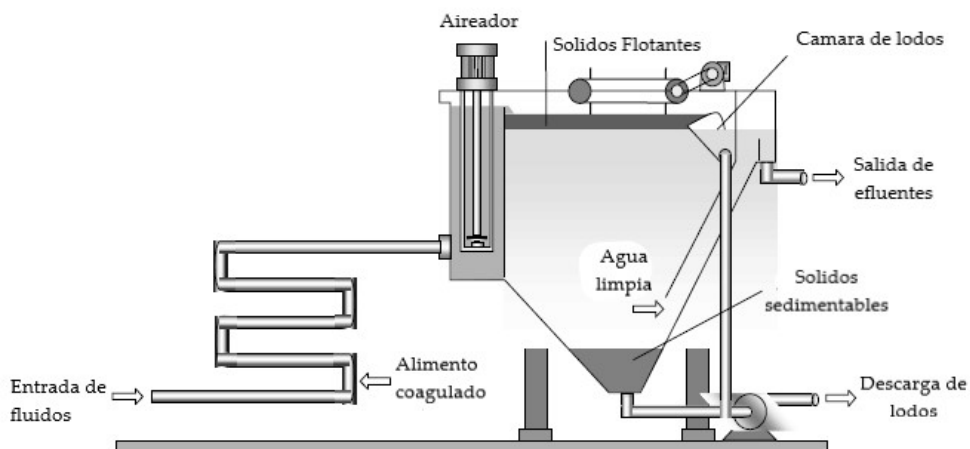


Figura 1.16: Sistema de flotación por cavitación de aire

Fuente: (Rubio et al., 2002)

CAF consiste en un tanque rectangular dividido en las 4 secciones antes mencionadas. El sistema CAF es utilizado en el ámbito de las industrias, tales como, alimenticia, cárnica y láctea. También es utilizado en las fábricas productoras de pintura. En el sector de los cueros es utilizada para el tratamiento de los mismos, para mejorar calidad. En el agua residual es utilizada para la eliminación de los sólidos en suspensión, aceite, grasa e hidrocarburos. En el sistema CAF siempre hay que tener a consideración los niveles de DBO (Demanda Biológica de Oxígeno) y DQO (Demanda Química de Oxígeno)(Rubio et al., 2002). El sistema CAF tiene un fácil funcionamiento, de fácil operación. Su costo de implementación, funcionamiento y mantenimiento es bajo; lo cual lo hace ideal para ciertas industrias.

1.10. Columna de flotación

Column flotation (CF), en español se conoce más como columnas de flotación. La CF es muy utilizada en gran parte en el procesamiento de minerales, en el mundo cada vez más utilizado y estudiado. Como consecuencia de los avances tecnológicos y de eficiencia, en los últimos años, se ha aplicado en ámbitos de la minería. Uno de estos casos es el tratamiento primario de aguas residuales, obtenido eficiencia al momento de la separación de los aceites y grasas contenido en el agua residual. Otro ámbito, es en el campo industrial; en la separación de componentes por medio de componentes físicos. Las CF son muy utilizadas en muchos lugares por sus ventajas, en las cuales podemos encontrar:

- Mejor separación de aceites y grasas, incluidos hidrocarburos.
- Menor costo de capital inicial para su funcionamiento.
- El costo de operación a comparación de otros sistemas más complicados, con la misma eficiencia que los anteriores.
- Tiene menor desgaste. Al no tener partes móviles el desgaste es menor, por lo cual su duración es mayor.
- No necesita mucho espacio. Al ser una estructura en forma de columna no ocupa mucho espacio en la base, pero tiene una gran altura.
- La limpieza del CF es mucho más fácil y rápida.

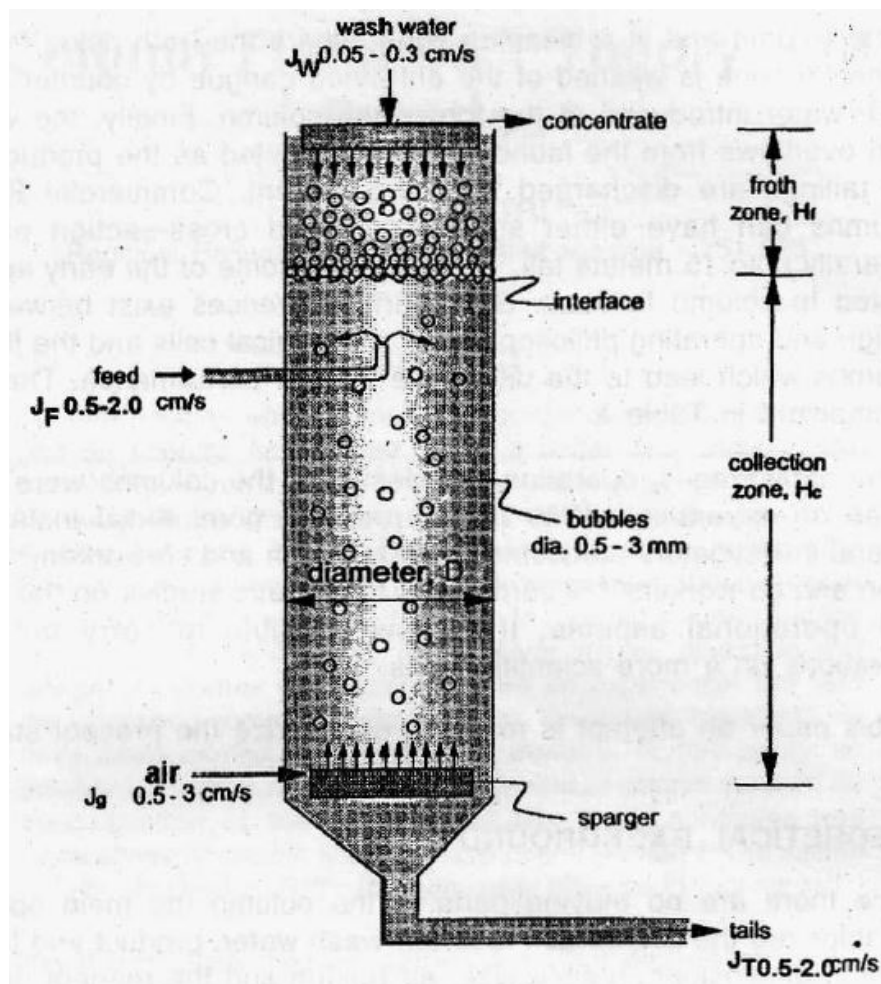


Figura 1.17: columna de flotación

Fuente: (Sastri, 1998)

En el sistema CF existen diferentes zonas o partes de la columna de flotación. La Zona donde entra el agua residual generalmente esta ubicada de 1 a 2 metros de distancia de la parte superior, donde el caudal tiene un flujo descendente, mientras que las burbujas de aire son ingresadas al sistema por la parte inferior del CF. Consta con una zona de limpieza, la cual está ubicada en la parte superior del CF, donde el aceite e hidrocarburos son recolectados, mientras que los sólidos suspendidos son sedimentados. Existen CF comerciales, pueden venir cuadrados o circulares. Generalmente se usan circulares, las cuales tienen un diámetro dependiendo del caudal de diseño con una altura máxima de 15 metros. El agua residual fluye hacia abajo por medio del tubo de entrada, cuando las gotas de aceite e hidrocarburos chocan con las burbujas de aire el aceite produce coalescencia y suben por diferencia de densidades, las mismas se depositan en la parte superior para luego ser removidos manualmente o por medio de una bomba.

1.11. Corrugated Plate Interceptor (CPI)

Corrugated Plate interceptor (CPI), es conocido en nuestro medio como interceptor de placas corrugadas. Se utiliza en la separación agua-aceite, principalmente en los caudales con baja cantidad de sólidos suspendidos. Ya que no dispone de partes móviles presenta una mayor área de distribución para el efluente de agua residual. Su uso está netamente ligado en la separación de aceites y sólidos; en menor cantidad para la separación de aguas aceitosas, sistema denominado Sistema de Agua Grasosa (OWS; oily water system). El principio básico de funcionamiento es la diferencia de densidades; mientras la densidad sea mayor a la del agua se asientan (sólidos), si esta es menor, las partículas flotarán a la superficie del CPI (aceite o grasa). La eficiencia del CPI esta ligada a varios factores como:

- La diferencia de densidades.
- Viscosidad del agua residual.
- Temperatura.
- Turbulencia.
- Impurezas en el agua residual.
- Factores ambientales.

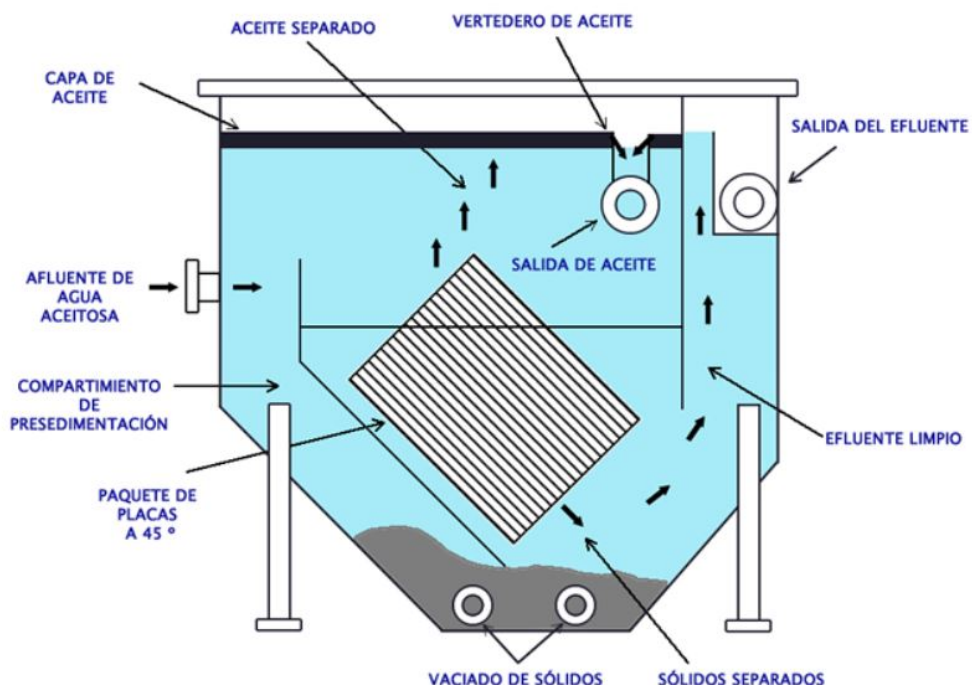


Figura 1.18: Separador de placas corrugadas (CPI)

Fuente: Sumio Water Systems. (2019). Separador de Placas Corrugadas. La Primera Opción en Tratamiento Primario de Aguas Producidas.. 15-mayo-2019, de Sumio Water Systems Sitio web: <http://www.sumiowater.com/separador-de-placas-corrugadas/>

En estos interceptores los tiempos de retención son más cortos a comparación de los separadores API, algunos diseñadores prefieren usar este método a los tanques skimmer, ya que en estos, el área y el espacio de funcionamiento es crítico. Son capaces de separar gotas mayores a 50 micrones. Su funcionamiento esta basado en la ley de Stokes, la cual depende de la diferencia de densidades de los componentes en el agua residual. Se colocan varios paneles corrugados en paralelo, al ingreso de el sistema CPI. Estas placas ayudan a ampliar el área de contacto a la cual la distribución del flujo de agua es más uniforme, y así facilitar la separación de los sedimentos y de las gotas de aceite o grasa que se encuentran en el caudal ingresado. Más comúnmente en los diseños encontramos una separación entre placas de 3/4 de pulgada. En ciertas ocasiones se puede ampliar la distancia entre las mismas, ya que a caudales más grandes hay una posibilidad de taponamiento. Esto se debe a que pueden tener una concentración más alta de sólidos suspendidos. Las placas o paneles se colocan direccionadas hacia abajo del CPI en un angulo de 45°. Existen ocasiones en las que el ángulo puede llegar hasta 60°, debido a que los caudales son más grandes y puede existir peligro de taponamiento. Con esta inclinación el agua se ve forzada a circular hacia abajo y así separar el agua del aceite. Los separadores de placas corrugadas normalmente están construidas de materiales variados tales como: cloruro de polivinilo (CPVC), policloruro de vinilo (PVC), polipropileno (PP), poliestre reforzado, fibra de vidrio o de acero inoxidable de alta resistencia. La temperatura máxima de los polímeros (CPVC, PVC, PP) pueden llegar a alcanzar temperaturas de 55°C (140°F); el poliéster reforzado puede llegar resistir temperaturas al rededor de 190°C (3740°F); la fibra de vidrio temperaturas al rededor de 1713°C (3115°F), mientras que el acero inoxidable a temperaturas al rededor de 125°C (350°F). Las temperaturas que resisten los materiales con los cuales se diseñan las placas corrugadas son muy altas. El polopropileno tiene propiedades muy singulares, atrae a las gotas de los productos derivados del petróleo y repele el agua, reduciendo la posibilidad de las incrustaciones de los sólidos suspendidos. El caudal de agua entrante al entrar en contacto con el paquete de placas se establece en un flujo laminar hasta su salida (CAMPOS y JIMENEZ, s.f.). Como se muestra en la figura 1.19.

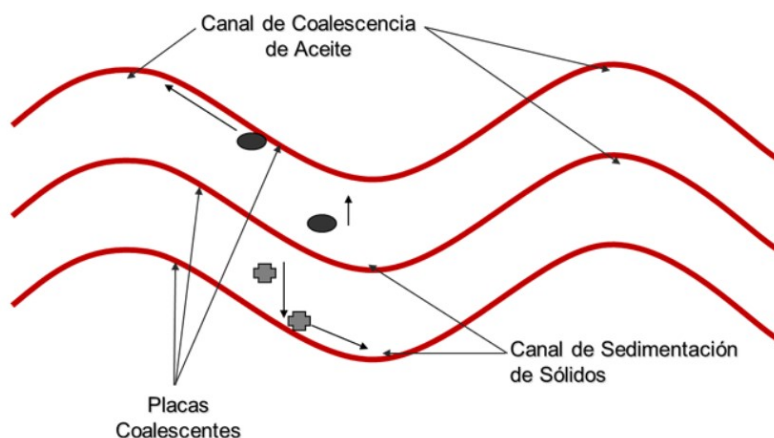


Figura 1.19: Separación Agua-Aceite por medio de la placas corrugadas (CPI)

Fuente: Sumio Water Systems. (2019). Separador de Placas Corrugadas. La Primera Opción en Tratamiento Primario de Aguas Producidas.. 15-mayo-2019, de Sumio Water Systems Sitio web: <http://www.sumiowater.com/separador-de-placas-corrugadas/>

Los tanques de separación CPI básicamente esta conformado por 3 fases principales(Figueroa Casas y Martínez Sañudo, 2014):

- Separación de aceites y grasas.
- Evacuación de lodos.
- Salida del agua.

1.11.1. Diseño

Para el diseño de un separador CPI, se deben tomar en cuenta varios datos (Villacorta Llerena, Ulloa, y Del Rosario, 2016).

- P = Presión a la que estará sometido.
- T = Temperatura.
- Q = Caudal de agua residual.
- ρ_o = Densidad de los hidrocarburos.
- r_o = Radio promedio de las gotas de aceite.
- ρ_w = Densidad del agua residual.
- μ_w = Viscosidad del agua residual.
- V_w = Viscosidad cinemática.

Al momento del diseño es necesario tener ciertas variables necesarias para el diseño, como son:

- Dimensiones de las placa.

El ancho (W_P), el largo (L_P) y el espesor (e_P) de las placas corrugadas.

- Inclinación de las placas (θ_p).

El angulo de inclinación de las placas varía entre los 45° hasta los 60° ; de acuerdo a la norma de la empresa PDVSA (PDVSA, 1997).

- Separación entre placas (S_p).

Generalmente la separación de estas puede ir desde los 2 a los 5 centímetros.

La velocidad de sedimentación, es la velocidad mínima necesaria con la cual, el caudal entrante en el separador CPI sedimenta los sólidos suspendidos en el fondo del depósito. (Ec: 1.26).

$$V_{sc} = \left[\frac{8 \cdot g \cdot \beta \cdot d_o \cdot (1 - S_o)}{F_f} \right]^{0,5} \quad (1.26)$$

En donde:

- V_{sc} = Velocidad de sedimentación.
- g = Gravedad en $\frac{m}{s^2}$
- β = Es una constante por un material no uniforme equivalente a 0.06.
- d_o = Diámetro de las gotas de aceite en metros.
- F_f = Factor de fricción (Weisbach - Darcy), por tratarse de un flujo laminar se toma el valor de 0.03.

La velocidad entre placas participa bastante el ángulo en el que están ubicadas (Ec: 1.27).

$$V_p = \frac{\frac{L_p + S_p \cdot \tan \theta}{\alpha \cdot S_p} + \frac{0,058 \cdot S_p^2}{V_w}}{\frac{V_{sc}}{V_w}} \quad (1.27)$$

En donde:

- V_p = Velocidad a la cual el flujo se desplaza entre placas en $\frac{m}{s}$.
- L_p = Longitud de la placa corrugada en metros.
- S_p = Separación entre placas en metros.
- θ = Angulo de inclinación de las placas.
- α = Es una constante para flujo laminar entre placas, cuyo valor es 1.3 .
- V_{sc} = Velocidad de sedimentación en $\frac{m}{s}$.
- V_w = Viscosidad cinemática del agua residual en $\frac{m^2}{s}$.

Es importante calcular el número de Reynolds, los cálculos son validos solo en un flujo laminar. Reynolds debe oscilar entre 400 a 1600 (Ec: 1.28).

$$R_e = \frac{V_p \cdot S_p}{V_w} \quad (1.28)$$

En donde:

- R_e = Número de Reynolds.
- V_p = Velocidad a la cual el flujo se desplaza entre placas en $\frac{m}{s}$.
- S_p = Separación entre placas en metros.
- V_w = Viscosidad cinemática del agua residual en $\frac{m^2}{s}$.

Con el áreaa superficial podemos calcular el número de placas corrugadas, este valor se calcula mediante la siguiente expresión (Ec: 1.29):

$$A_s = \frac{Q}{V_p} \quad (1.29)$$

En donde:

- A_s = Área superficial en m^2 .
- $Q = Q$ = Caudal de agua residual en $\frac{m^3}{s}$.
- V_p = Velocidad a la cual el flujo se desplaza entre placas en $\frac{m}{s}$.

El numero de placas en las cuales van a fluir el caudal a la cual va a estar diseñado nuestro separador CPI, viene dada por la siguiente ecuación (Ec: 1.30):

$$N_p = \frac{A_s \cdot \sin \theta}{W \cdot (S_p - e_p)} \quad (1.30)$$

En donde:

- N_p = Número de placas corrugadas.
- A_s = Área superficial en m^2 .
- θ = Angulo de inclinación de las placas.
- W = Es el ancho del CPI, este será fijado en referencia a el ancho de las placas (W_P).
- S_p = Separación entre placas en metros.
- e_p = Espesor de las placas en metros.

La longitud del CPI viene dada por la expresión (Ec: 1.31):

$$L = \frac{A_s}{W} \quad (1.31)$$

En donde:

- L = Longitud del CPI en metros.
- A_s = Área superficial en m^2 .
- W = Es el ancho del CPI, este sera fijado en referencia a el ancho de las placas (W_P).

1.11.2. Conclusiones

- Es muy bueno a la hora de separar. Tiene una remoción aproximadamente al 90 % de aceites y sólidos suspendidos.
- Tiene un tamaño muy compacto y peso mucho menor al separador API.
- Puede desempeñar sus funciones en temperaturas altas.
- Cuando el aceite asciende y los sólidos suspendidos descienden, se reduce los problemas con el flujo del caudal.
- Al no tener partes móviles, tiene un bajo costo de operación.
- Se requieren limpiezas más seguidas. En las placas se pueden generar taponamientos.
- La limpieza de las placas corrugadas pueden generar conflictos con la maniobrabilidad.
- Se requiere más de una unidad, debido a las labores de limpieza.
- Tiene una ineficiencia en caudales con alto porcentaje de aceites u otros derivados del petróleo.

1.12. Parallel Plate Interceptors (PPI)

Parallel Plate Interceptor (PPI), es mejor conocido en nuestro medio como interceptor de placas paralelas. Consiste en placas paralelas con un grosor de 1 milímetro separadas paralelamente, estas placas son instaladas en un separador tipo API. El caudal se divide entre las placas aumentando el área de contacto entre el agua residual y los paneles, haciendo la separación mas efectiva. Las gotas de aceite se elevan y al pasar por las dos placas paralelas se produce la unión de las gotas, al sumar más volumen se elevan a la parte superior del separador, esto debido a la diferencia de densidades. Los sólidos suspendidos se dirigen hacia abajo deslizándose por las placas para ser removidos posteriormente. El separador PPI requiere un menor espacio que el convencional, debido a la eficiencia superior a la del separador API. El área de contacto de las placas aumenta la eficiencia del separador , debido a esto la misma se tiene una mayor eficiencia con canales mas pequeños.

Los separadores API, CPI y PPI (estudiados en este documento) funcionan a presión atmosférica. Comúnmente las placas tienen una inclinación de 45° grados. Se puede presentar problemas de taponamiento cuando el agua residual de entrada tiene muchos sólidos suspendidos, ya que tienden a adherirse en las placas. El angulo de inclinación de las placas puede llegar hasta 60°, para evitar taponamientos. Para maximizar la efectividad de los PPI el flujo debe estar paralelamente.

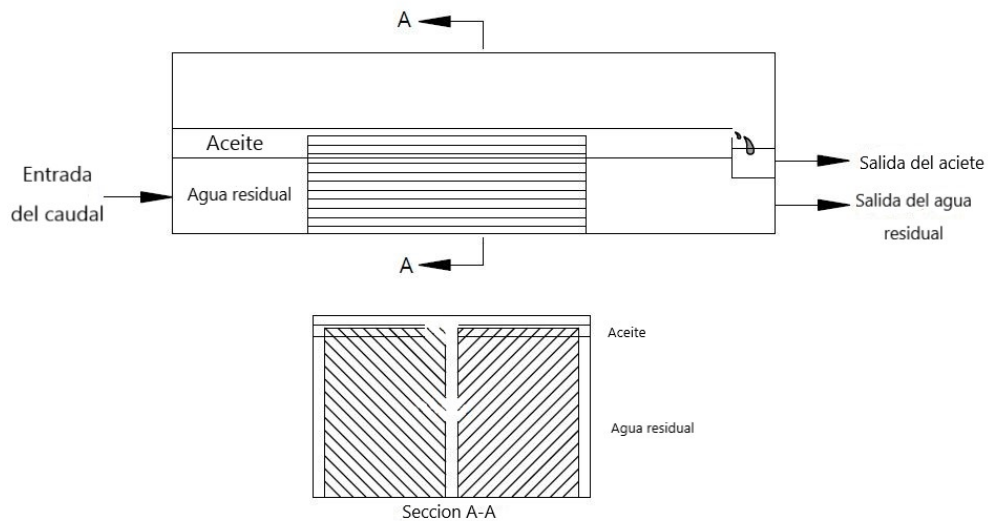


Figura 1.20: Esquema de una separador PPI

Fuente: (Stewart y Arnold, 2008)

El diseño del separador tipo PPI, es un poco más dificultoso. Se tienen unos rangos empíricos que pueden servir para el diseño.

- Distancia entre láminas: 1.9 -3.5 centímetros.
- Ángulo de inclinación con respecto a la horizontal: 45° - 60° .

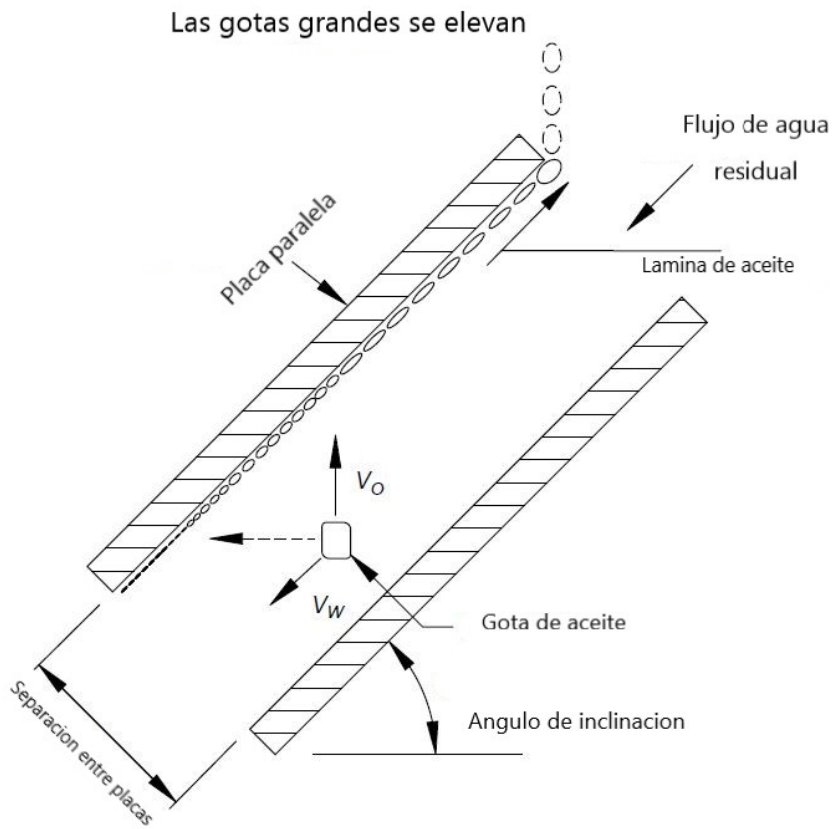


Figura 1.21: Diagrama detallado del separador PPI

Fuente: (Stewart y Arnold, 2008)

1.12.1. Diseño

Para el diseño PPI se usa el mismo método del separador API. En la siguiente ecuación (Ec:1.32) se considera el caudal de diseño, en número de las placas. El diámetro mínimo de las gotas deben ser mayores a 60 micrones, para el uso de la ecuación.

$$\frac{Q_m}{A_H} = 0,00386 \cdot \left[\frac{(S_w - S_o)}{\mu} \right] A_H = n \cdot \text{Area de la lámina} \quad (1.32)$$

En donde:

- Q_m = Caudal de diseño en $\frac{ft^3}{min}$.
- A_H = Área horizontal en fty^2 .
- n = Número de láminas.
- S_w = Densidad específica del agua residual.
- S_o = Densidad específica de los hidrocarburos.
- μ = Viscosidad del agua residual, en Poise.

1.12.2. Parámetros de diseño

- El ancho máximo del separador es de 6 metros.
- La longitud máxima (con cadenas metálicas) es de 40 metros.
- La longitud máxima (con cadenas plásticas) es de 75 metros.
- La profundidad máxima es de 4 metros.
- Las velocidades máximas permisibles son de $0.008 \frac{m}{s}$ a $0.02 \frac{m}{s}$, para evitar turbulencias en el flujo en el separador PPI.

Para el diseño de separadores, en el proceso primario existen ciertos parámetros de diseños que son una base para el diseño, las cuales son:

- Carga hidráulica, cuyos valores deben estar entre 1.25 a $2.5 \frac{m^3}{m^2.h}$.
- Tiempo estimado de retención de 1.5 a 2 horas.
- Carga del vertedero $< 20 \frac{m^3}{ml.h}$.

1.13. Conclusiones

Durante la búsqueda de información de métodos para separar aceites y grasas del agua residual, se han encontrado varios métodos utilizados, hemos considerado los mas importantes y eficientes para nuestro medio el cual ve necesario un método que sea de fácil uso y económico a la hora de su implementación y funcionamiento.

Entre los métodos encontrados encontramos métodos en los cuales es necesario el uso de una bomba de aire, motores para su funcionamiento, cuyo funcionamiento principalmente se basan en la introducción de aire en el agua residual, y otros se basan en la separación por gravedad cuyo principio es la separación por diferencia de densidades.

En la separación por medio de maquinaria tiene varias ventajas las cuales son: una remoción mayor, pueden manejar mas caudal. Las desventajas son que es necesario una inversión inicial mayor, ya que consta con partes móviles puede llegar a un desgaste o reparación de los separadores y así aumentar el costo de operación.

Los separadores por gravedad como las ventajas son que la inversión inicial es menor comparada con de otros equipos, y su bajo costo de mantenimiento ya que la mayoría no tienen partes móviles propensas al desgaste. Una desventaja de esta tipología de el tamaño para el manejo de caudales grandes es mucho mayor y su remoción es buena.

2. Modelamiento de la trampa de grasa

En la ciudad de Cuenca existen un gran número de industrias y restaurantes, las cuales necesitan de una trampa de grasa para cumplir con la legislación existente. El desarrollo de un modelo adecuado requiere de un entendimiento de las necesidades de las industrias cuencanas. El fin principal de una empresa es tener rentabilidad, es decir, generar un beneficio. Es por ello que el costo al momento de construcción, operación y mantenimiento de cualquier sistema, no solo de tratamiento de aguas residuales, es de vital importancia.

En el capítulo 1 se mencionó una gran cantidad de métodos que sirven para el tratamiento de grasas y aceites. Cada uno se adapta a diferentes realidades; por ejemplo: *jet flotation* y flotación centrífuga son métodos desarrollados para la industria minera; equipos de este tipo son extremadamente difíciles de conseguir. Se puede encontrar en el mercado chino; pero su calidad es dudosa. En cuanto al método *Dissolved Air Flotation* (DAF), es más fácil de conseguir en el mercado internacional; pero así mismo hay que tener cuidado con la calidad del producto que se está adquiriendo. El precio de un *DAF*, en el mercado chino, para un caudal de 5 m^3 está alrededor de los \$5000 dólares de los Estados Unidos de América. En cuanto a las variantes del *DAF*, *Induced Air Flotation* (IAF) y *Cavitation Air Flotation* son difíciles de conseguir en el mercado global. Estos sistemas, dependientes de electricidad para su funcionamiento, a largo plazo se pueden convertir en una carga para las industrias de la ciudad. Esto debido a la dificultad de encontrar repuestos y a la calidad del equipo que ingresa al mercado ecuatoriano. La gran mayoría de estas máquinas ofrecen únicamente un año de garantía. En conclusión, este tipo de sistemas de flotación, viendo como una inversión a largo plazo, no son factibles por su corta vida útil y la dificultad de obtener repuestos.

Los métodos que usan la gravedad para separar grasa y aceite del agua son los más factibles; ya que todos los materiales para su construcción son económicos y fácilmente obtenibles en el país. La construcción de los mismos es sencilla, no se necesita de un personal con alto grado de capacitación para la construcción. Como ya se indicó en el capítulo anterior, el funcionamiento es sencillo. Su fin es reducir a la mínima expresión posible la velocidad horizontal del fluido, esto con el objetivo de brindar unas condiciones óptimas para el cumplimiento de la ley de Stokes. Otro de los principios de funcionamiento de estos sistemas es provocar coalescencia entre las partículas de la fase dispersa, ya que las mismas al juntarse aumentan su tamaño y de esta manera su velocidad ascensional aumenta.

En síntesis, al momento de separar específicamente grasas y aceites del agua, lo más factible y económico en nuestro medio es el uso de separadores a gravedad. Es por ello que se procederá a evaluar el comportamiento de diferentes modelos de separadores a gravedad. Se analizará que configuración es la más óptima para reducir la velocidad horizontal al mínimo.

Para el análisis de diferentes configuraciones del tanque se hará uso del

programa FLOW-3D; este es un programa especializado para dar solución a problemas de mecánica de fluidos.

2.1. Filosofía de uso de FLOW-3D

Flow-3D es un programa que usa el método de dinámica de fluidos computacionales. Este método discretiza ecuaciones como la de Navier-Stokes y de la continuidad, para resolver cada una en una celda computacional (Flow-Science, 2008).

Si el experimento no es preparado adecuadamente para reflejar situaciones de la vida real, entonces los resultados no reflejarán lo que ocurre en la realidad. Así mismo, si el modelo computacional no es preparado adecuadamente, sus resultados no reflejarán lo que ocurre en la realidad. Se recomienda plantearse una serie de preguntas que ayuden al desarrollo de un modelo adecuado (Flow-Science, 2008).

- ¿Qué quiero aprender del cálculo?
- ¿Cuál es la escala y cómo debería ser el mallado para captar las situaciones físicas?
- ¿Cuáles son las condiciones de borde necesarias para representar la situación física?
- ¿Qué tipo de fluido debería usar?
- ¿Qué propiedades del fluido son importantes para este problema?
- ¿Qué otros fenómenos físicos son importantes?
- ¿Cuál debería ser el estado inicial del fluido?
- ¿Qué sistema de unidades debería usar?

Es importante estar seguro que el modelo es lo más cercano a la realidad como sea posible. Es recomendable empezar con modelos sencillos, para estar seguros de que se está haciendo lo correcto. Una vez que estemos seguros del funcionamiento del modelo podemos añadir más fenómenos físicos, acercándonos más a las situaciones reales (Flow-Science, 2008).

2.1.1. Respuesta a las preguntas

- Lo que se desea obtener de los cálculos son las velocidades horizontales, de esta manera estamos en capacidad de decidir qué modelo es el más adecuado.
- Se probará varios modelos, los cuales se modelarán a escala real en el programa.

- En cuanto a las condiciones de borde al inicio se colocó *volume flow rate*, al final *outflow*, en el piso de tanque y a los costados se colocó *wall*. Condiciones que hacen entender al programa de que manera debe comportarse el fluido en el tanque.
- El tipo de fluido que se usará es agua, ya que solo se analizará de una manera hidrodinámica.
- La propiedad importante para el fluido es la densidad.
- Otro fenómeno físico importante es la temperatura, a mayor temperatura, más rápido se separa la fase continua de la discontinua.
- El análisis se hará a partir de un tanque lleno. En el tanque lleno ingresará el caudal pico y a partir de aquí se analizará el comportamiento del fluido.
- Se usará el sistema internacional de unidades (S.I.)

Lo que se desea obtener de los cálculos son las velocidades horizontales, de esta manera estamos en capacidad de decidir que modelo es el más adecuado.

2.2. Diseño de la trampa de grasa

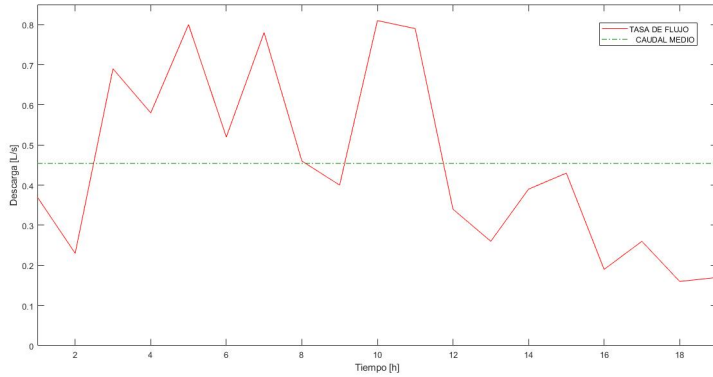
Según Wang et al. (2010) la tasa de flujo del fluido es el criterio más importante al momento de diseñar un separador a gravedad. Él mismo recomienda utilizar un tiempo de retención entre 30-40 min para la hora del caudal pico, como parámetros para el dimensionamiento. Una profundidad de 5-6 ft es recomendada, esta profundidad produce una carga superficial hidráulica alrededor de 1 gmp/ft². La relación largo ancho debe ser al menos de 3 a 1 (Wang et al., 2010).

La temperatura es otro factor a tener en cuenta, ya que variaciones de temperatura provocan densidades no uniformes, reduciendo así la eficiencia de la trampa de grasa (Wang et al., 2010). A temperaturas muy bajas la fase continua del fluido posee mayor viscosidad, dificultando así la subida de la fase discontinua hacia la superficie.

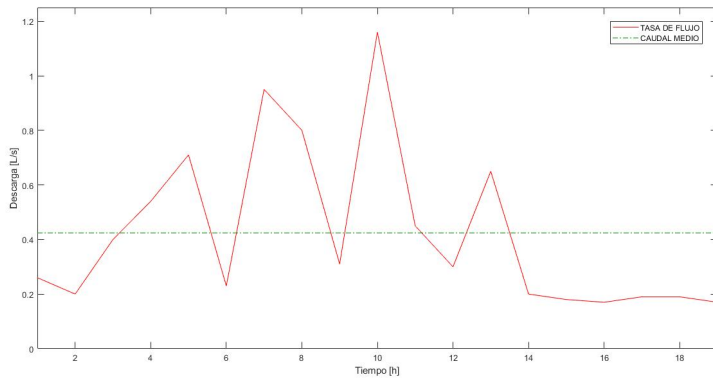
De acuerdo a Wang et al. (2010) el diseño de las entradas y salidas del tanque afectan la eficiencia de la remoción. La entrada de agua debe estar por encima del nivel de agua del tanque. Barreras de flujo y agujeros en la entrada reducen la velocidad; pero pueden causar acumulación de grasa aguas arriba. En síntesis, barreras de flujo en la entrada ayudan a que el flujo se distribuya a lo ancho de todo el tanque, permitiendo así velocidades más uniformes. Además, estas barreras ayudan a que no se acumule excesivamente grasa en la entrada del tanque. También es importante una barrera de flujo colocada a la salida para retener la grasa.

2.2.1. Dimensionamiento del tanque

Para el dimensionamiento del tanque se buscó tasas de flujo de una industria local. Se tuvo acceso a las tasas de flujo de una industria productora de lácteos.

**Figura 2.1:** Producción de leche condensada

Fuente: Autores

**Figura 2.2:** Producción de leche en polvo.

Fuente: Autores

Esta industria produce las descargas presentadas en las figuras 2.1 y 2.2. Como se puede apreciar en las figuras 2.1 y 2.2, las máximas descargas son 0.81 L/s y 1.16 L/s, las medias de 0.45 y 0.42 L/s, respectivamente. Por lo tanto, a la hora de escoger el caudal de diseño se puede observar claramente que un diseño con caudal medio no es el apropiado; ya que no se trataría la gran mayoría de caudales punta horarios. Por esta razón y por la recomendación de Wang et al. (2010) el caudal escogido para el dimensionamiento del tanque es de 1.16 L/s.

En cuanto al tiempo de retención se ha escogido 36 minutos, tiempo adecuado para una correcta separación de grasa.

Una vez escogido el tiempo de retención y el caudal de diseño se procede a sacar el volumen que ocupará el fluido en el tanque con la fórmula:

$$V = Q * t \quad (2.1)$$

En donde:

- V = Volumen del tanque en m^3 .

- $Q = \text{Caudal de diseño } \frac{m^3}{h}$.
- $t = \text{Tiempo de retención en horas.}$

Con un caudal de 1.16 L/s ($4.176 \text{ m}^3/\text{h}$) y un tiempo de retención de 36 min (0.6 h). Se obtiene un volumen de 2.51 m^3 . Una vez obtenido el volumen se empieza a dimensionar el tanque. Wang et al. (2010) recomienda una profundidad no menor a 5-6 pies (1.52-1.83 m), menciona que esta profundidad produce una carga hidráulica superficial alrededor de 1 gpm/ft^2 . En cuanto a la relación largo ancho se hizo caso a la recomendación de Wang et al. (2010), siendo ésta de al menos 3/1.

Otro aspecto importante a tomar en cuenta es la colocación de las barreras de flujo. De acuerdo a las investigaciones realizadas por Hussein et al. (2013) un separador de flujo al inicio del tanque debe estar a una distancia igual al 12 % del largo del tanque. En cuanto al separador de flujo al final del tanque; éste debe ser colocado entre el 75 % y 80 % por ciento del largo del tanque.

2.3. Modelamiento de los tanques en Flow-3D



Figura 2.3: Modelo Base 1

Fuente: Autores

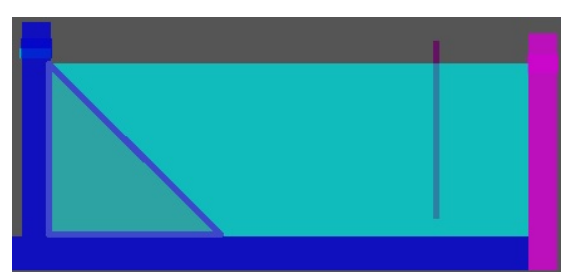


Figura 2.4: Modelo Base 2

Fuente: Autores

Para llegar a obtener el modelo más adecuado se probarán varios diseños para un caudal de 3.48 L/s, se utilizará este caudal con el fin tener un tanque de mayores proporciones; esto facilita el modelamiento en el programa. Una vez que se obtenga el modelo más adecuado, el mismo, se probará para un caudal de 1.16 L/s, mencionado anteriormente, caudal de diseño correspondiente a la trampa de grasa de la industria láctea.

A partir de esos dos modelos se fue haciendo modificaciones en su geometría. Se cambió la altura de los separadores de flujo, se colocó un tubo de manera horizontal en el medio del tanque, se cambió la geometría entre el separador de entrada y de salida, etc.

2.3.1. *Flux surface* y marcadores

Flow 3D tiene diferentes maneras de entregar los resultados al usuario, entre ellas *flux surface* y los marcadores. Los marcadores se encuentran de color rojo

en la figura 2.5 y los *flux surface* de color negro, en la figura 2.6.

El *flux surface* entrega la velocidad promedio en la sección donde se encuentra colocado. Por otro lado, los marcadores proporcionan la velocidad puntual del lugar donde se encuentre colocado.

Los *flux surface* se han colado cerca de las barreras de flujo y en la mitad de las mismas. Los marcadores o medidores puntuales se han colocado dos cerca de la superficie y dos entre la superficie y la base del tanque.

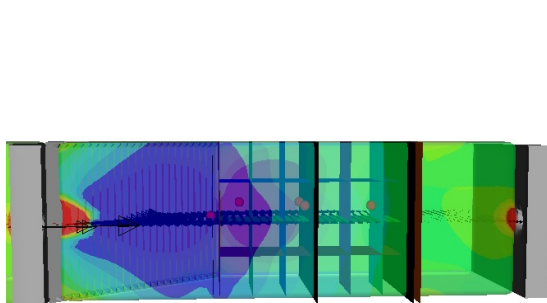


Figura 2.5: Marcadores

Fuente: Autores

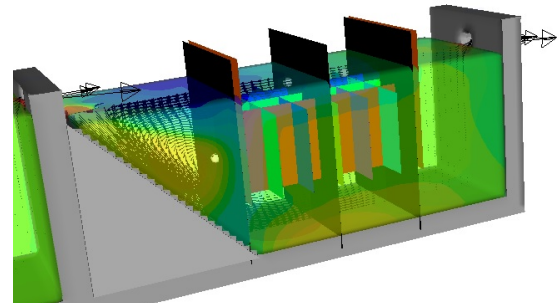


Figura 2.6: *Flux surface*

Fuente: Autores

2.3.2. Modelo 1 (P_2)

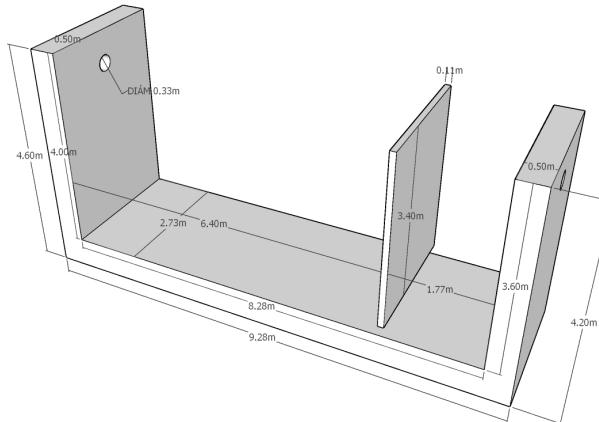
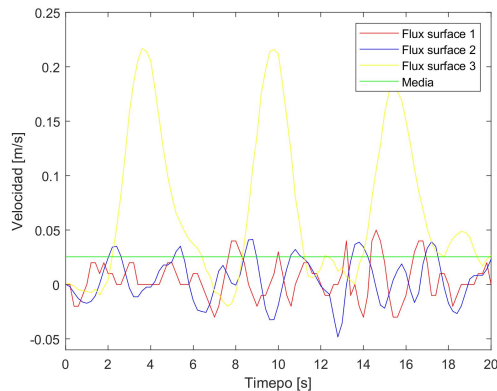


Figura 2.7: Modelo 1 (P_2)

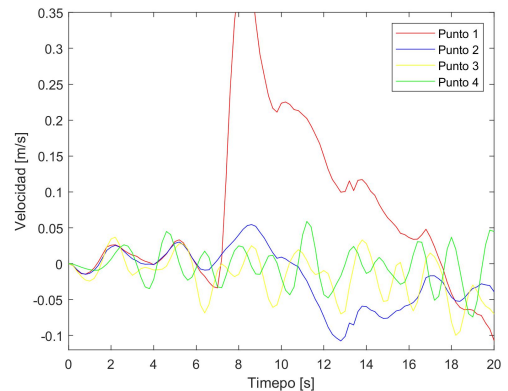
Fuente: Autores

El modelo 1 consta únicamente de una barrera de flujo ubicada a 6.40 m de la pared de inicio. El inicio es a 20 cm de la base y el final a 3.6 metros, medidos desde la base.

Los resultados del funcionamiento del modelo se muestran en la figura 2.8 y 2.9.

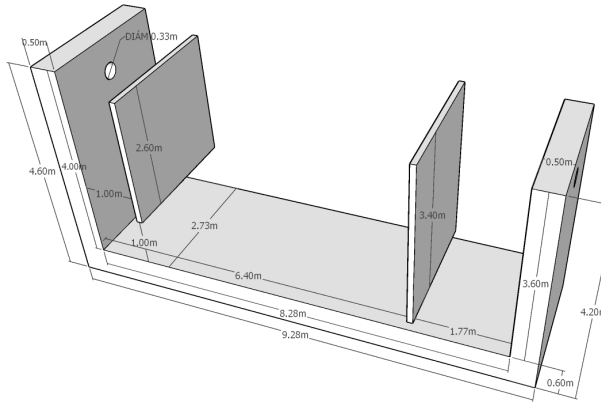
**Figura 2.8:** Velocidades promedio

Fuente: Autores

**Figura 2.9:** Velocidades puntuales

Fuente: Autores

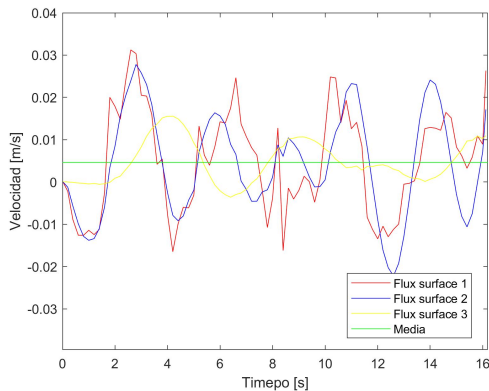
2.3.3. Modelo 2 (P_3)

**Figura 2.10:** Modelo 2 (P_3)

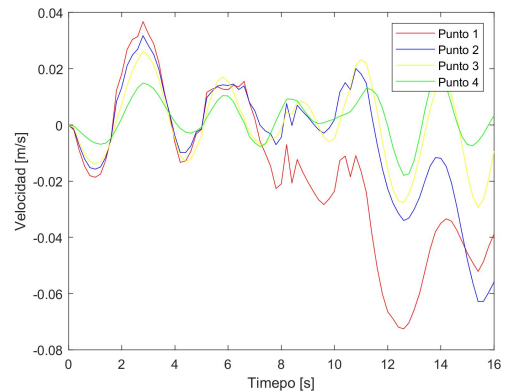
Fuente: Autores

El modelo 2 además de poseer el separador de flujo en la parte final del tanque, consta de un separador de flujo ubicado a 1 m de la pared de inicio. Su inicio es a 1 m, medido desde la base, y su final es a 3.6 m, medidos desde la base.

Los resultados del funcionamiento del modelo se muestran en la figura 2.11 y 2.12.

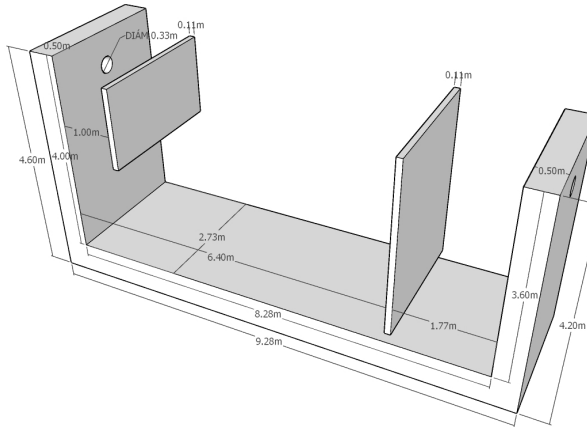
**Figura 2.11:** Velocidades promedio

Fuente: Autores

**Figura 2.12:** Velocidades puntuales

Fuente: Autores

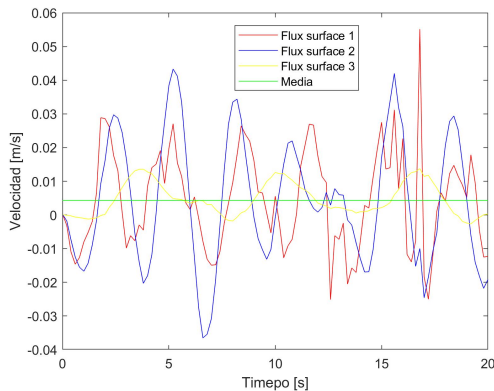
2.3.4. Modelo 3 (P_4)

**Figura 2.13:** Modelo 3 (P_4)

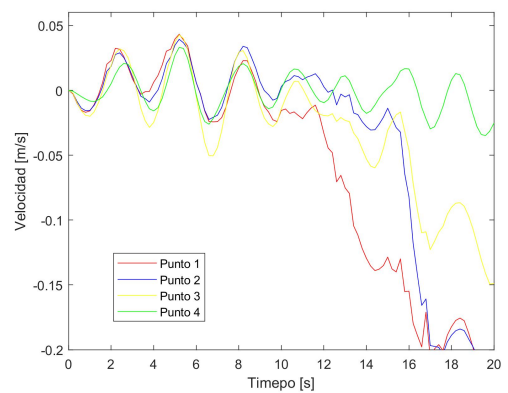
Fuente: Autores

La única diferencia del modelo 3 respecto al modelo 2 es la altura de inicio de la barrera de flujo inicial. La misma, inicia a 2 m de la base.

Los resultados del funcionamiento del modelo se muestran en la figura 2.14 y 2.15.

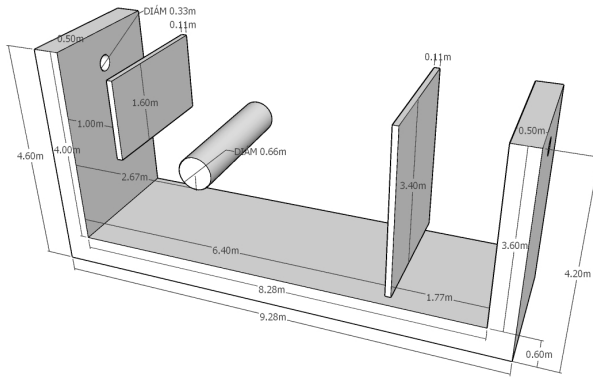
**Figura 2.14:** Velocidades promedio

Fuente: Autores

**Figura 2.15:** Velocidades puntuales

Fuente: Autores

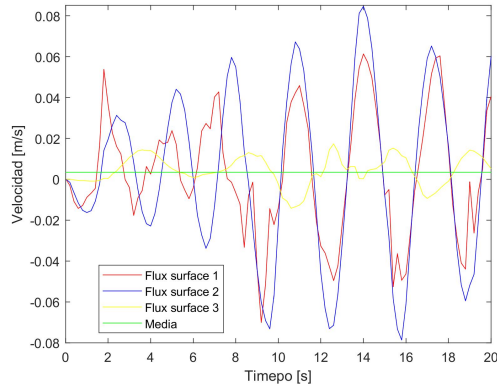
2.3.5. Modelo 4 (P_5)

**Figura 2.16:** Modelo 4 (P_5)

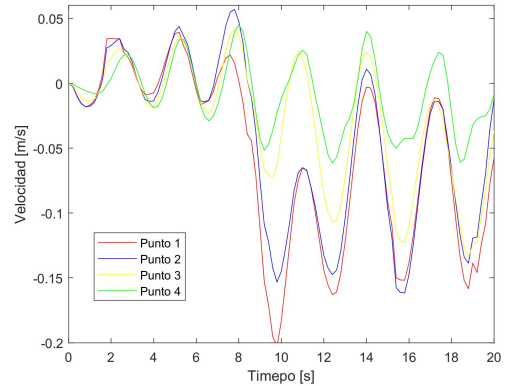
Fuente: Autores

El modelo 4 es el modelo 5 más un tubo de 0.33 m de radio, colocado su centro a 3 m de la pared inicial y a 2 m de la base.

Los resultados del funcionamiento del modelo se muestran en la figura 2.17 y 2.18.

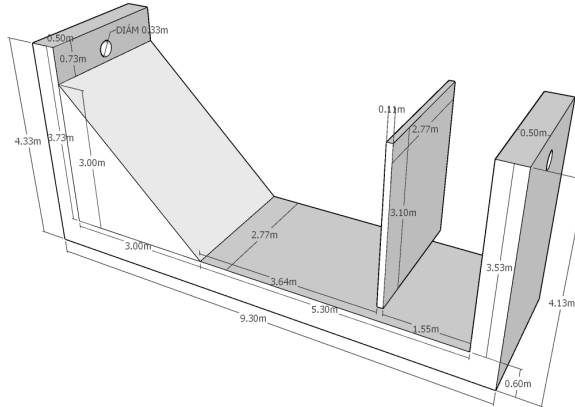
**Figura 2.17:** Velocidades promedio

Fuente: Autores

**Figura 2.18:** Velocidades puntuales

Fuente: Autores

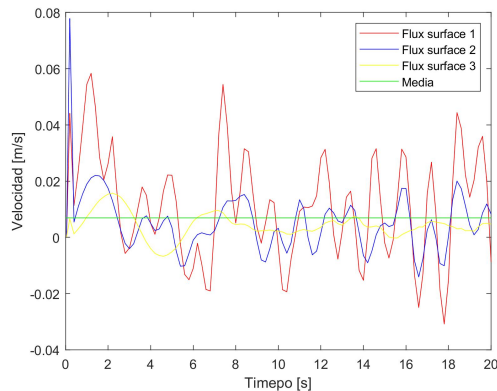
2.3.6. Modelo 5 (Pared Inclinada 1)

**Figura 2.19:** Modelo 5 (Pared Inclinada 1)

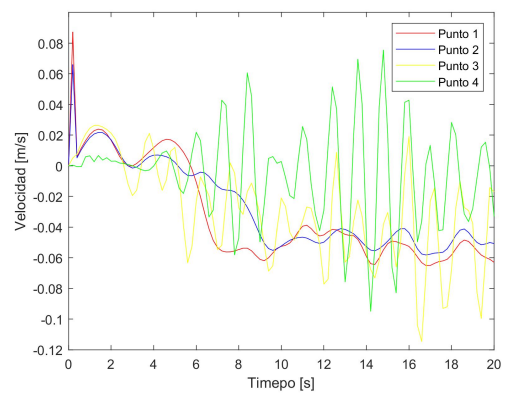
Fuente: Autores

Con el modelo 5 se empieza la serie de modelos que llevan la pared inclinada, tal y como se muestra en la figura 2.4. El separador de flujo a la salida inicia a 0.30 m de la base y termina a 3.4 m de la misma; la distancia que lo separa de la pared inicial es de 6.64 m.

Los resultados del funcionamiento del modelo se muestran en la figura 2.20 y 2.21.

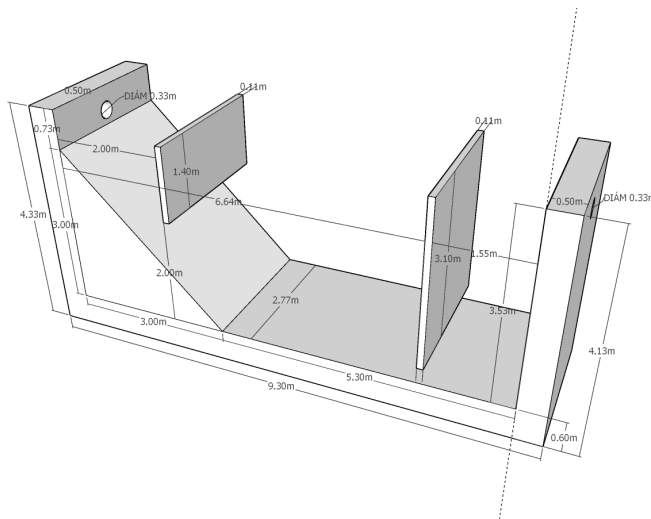
**Figura 2.20:** Velocidades promedio

Fuente: Autores

**Figura 2.21:** Velocidades puntuales

Fuente: Autores

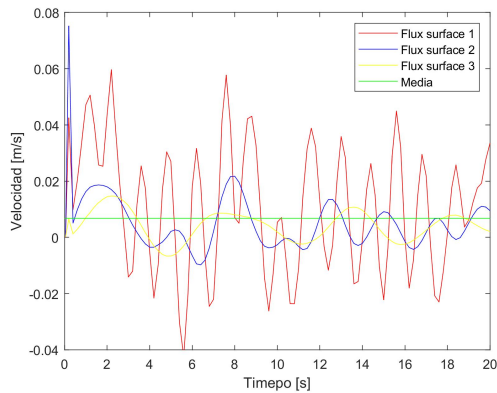
2.3.7. Modelo 6 (Pared Inclinada 2)

**Figura 2.22:** Modelo 6 (Pared Inclinada 2)

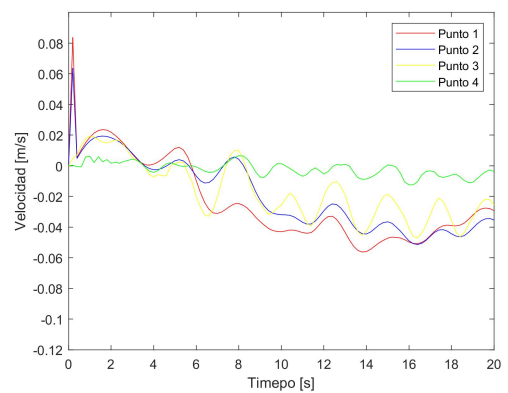
Fuente: Autores

Este modelo, además de tener un separador de flujo igual al del modelo 5, posee un separador de flujo a 2 m de la pared de inicio, inicia a 2 m de la base y termina a 3.4 m de la misma.

Los resultados del funcionamiento del modelo se muestran en la figura 2.23 y 2.24.

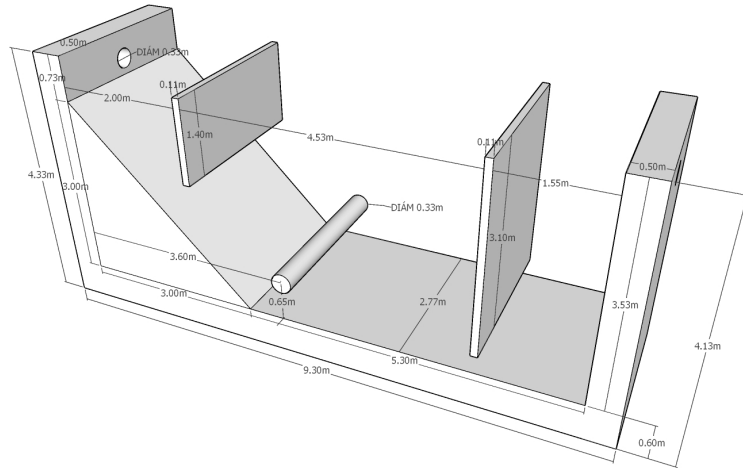
**Figura 2.23:** Velocidades promedio

Fuente: Autores

**Figura 2.24:** Velocidades puntuales

Fuente: Autores

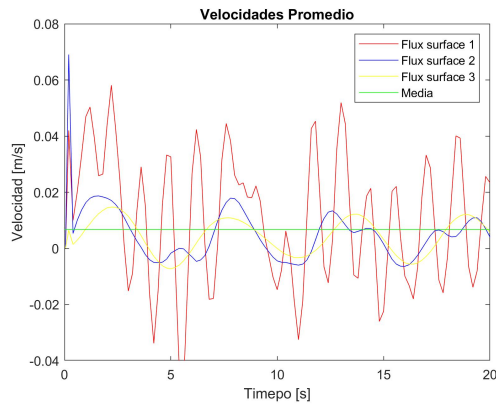
2.3.8. Modelo 7 (Pared Inclinada 3)

**Figura 2.25:** Modelo 7 (Pared Inclinada 3)

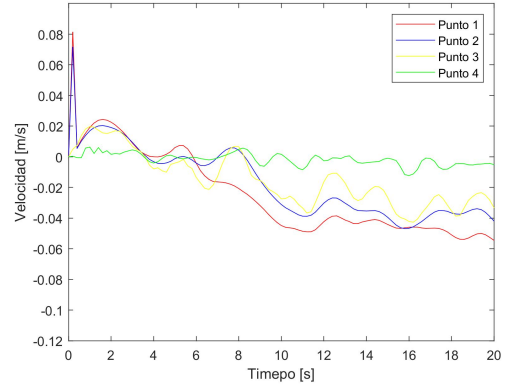
Fuente: Autores

Un tubo de 0.33 m de diámetro, cuyo centro está colocado a 3.6 m de la pared inicial y a 0.65 m de la base. Esta es la única diferencia del modelo 7 respecto al modelo 6.

Los resultados del funcionamiento del modelo se muestran en la figura 2.26 y 2.27.

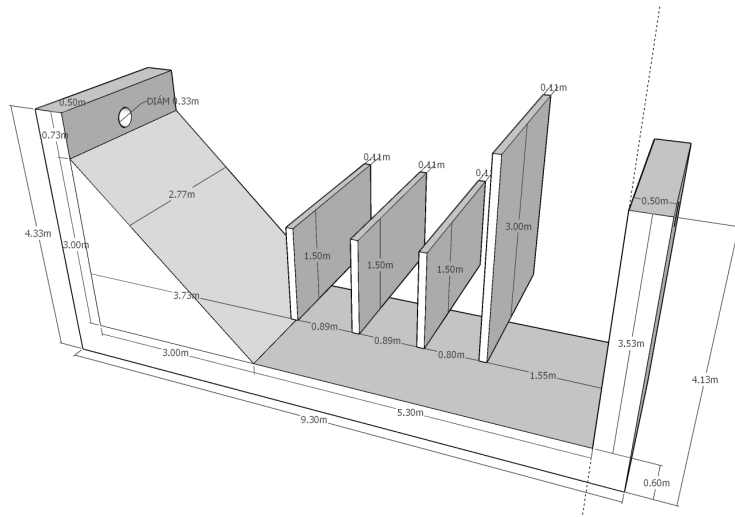
**Figura 2.26:** Velocidades promedio

Fuente: Autores

**Figura 2.27:** Velocidades puntuales

Fuente: Autores

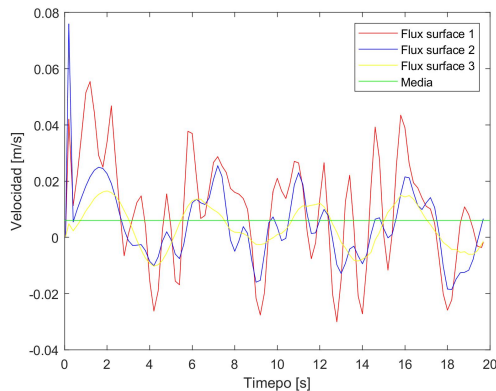
2.3.9. Modelo 8 (Pared Inclinada 4)

**Figura 2.28:** Modelo 8 (Pared Inclinada 4)

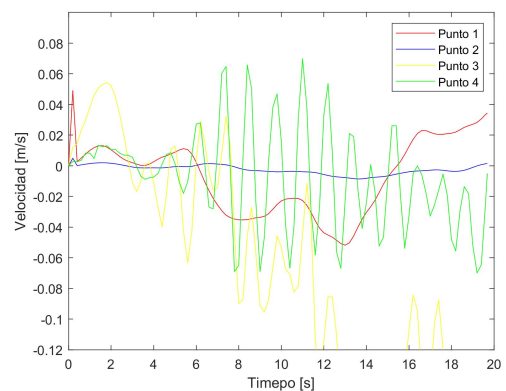
Fuente: Autores

Este modelo consta de cuatro barreras de flujo. La primera a 3.73 m de la pared inicial, las tres siguientes separadas, entre sí 0.89 m. Las tres primeras barreras están a 1 m de la base y terminan a 2.5 m de la misma. La última barrera empieza a una distancia de la base igual a las anteriores; pero finaliza 3.6 m de la base.

Los resultados del funcionamiento del modelo se muestran en la figura 2.29 y 2.30.

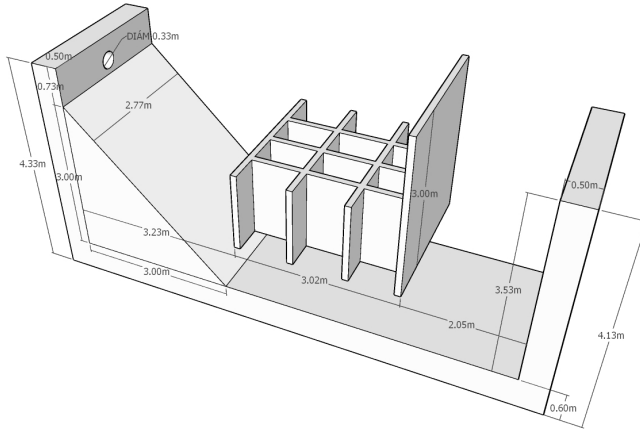
**Figura 2.29:** Velocidades promedio

Fuente: Autores

**Figura 2.30:** Velocidades puntuales

Fuente: Autores

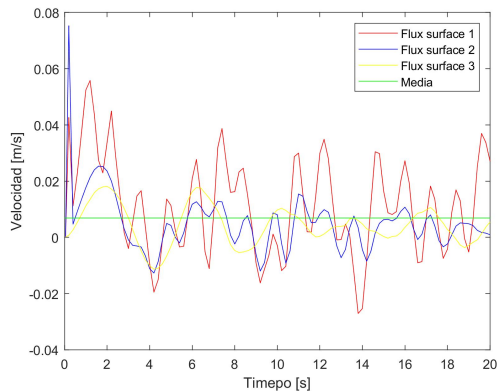
2.3.10. Modelo 9 (Pared Inclinada 5)

**Figura 2.31:** Modelo 9 (Pared Inclinada 5)

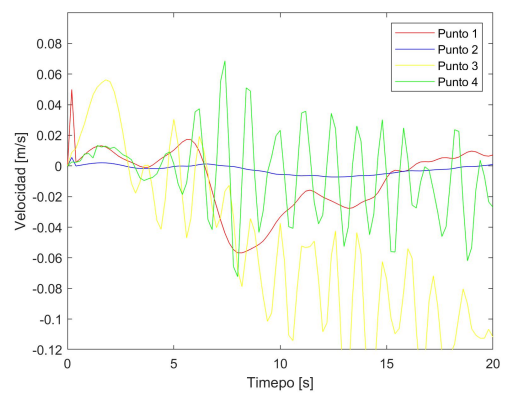
Fuente: Autores

El modelo 9, a más de poseer todas las características del modelo 8, posee divisores de flujo colocados a lo ancho del tanque. Entre los divisores de flujo horizontales y verticales se forma espacios rectangulares de 0.89 m por 0.6 m.

Los resultados del funcionamiento del modelo se muestran en la figura 2.32 y 2.33.

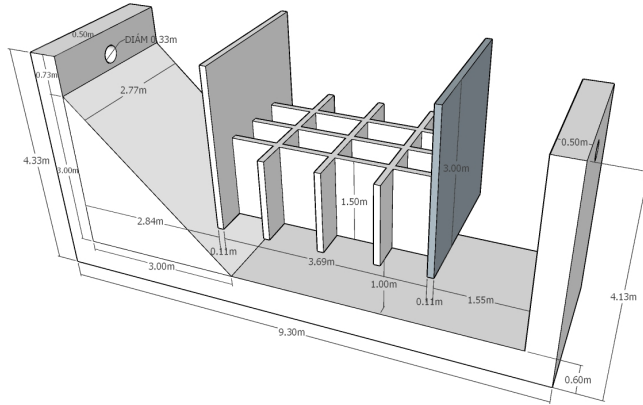
**Figura 2.32:** Velocidades promedio

Fuente: Autores

**Figura 2.33:** Velocidades puntuales

Fuente: Autores

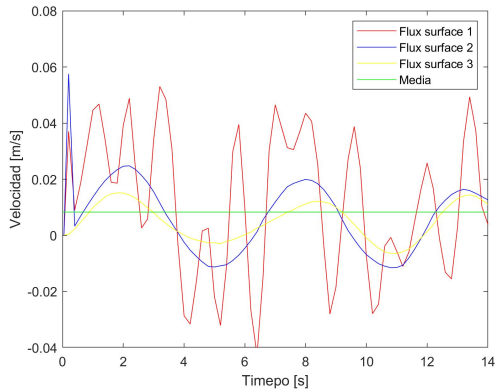
2.3.11. Modelo 10 (Pared Inclinada 6)

**Figura 2.34:** Modelo 10 (Pared Inclinada 6)

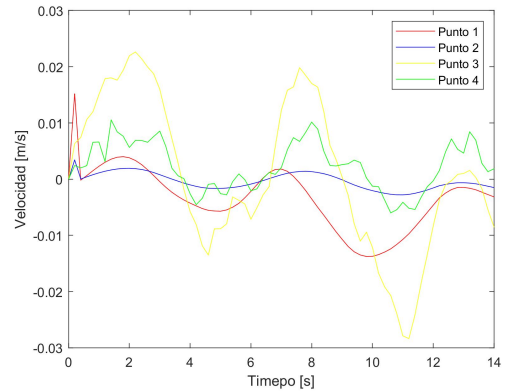
Fuente: Autores

Este modelo posee las mismas características del modelo 9; la única incorporación extra es, una barrera de flujo colocada a 2.84 m de la pared de inicio.

Los resultados del funcionamiento del modelo se muestran en la figura 2.35 y 2.36.

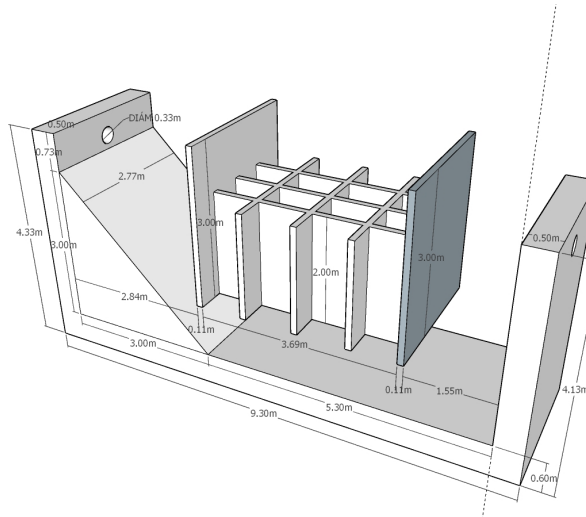
**Figura 2.35:** Velocidades promedio

Fuente: Autores

**Figura 2.36:** Velocidades puntuales

Fuente: Autores

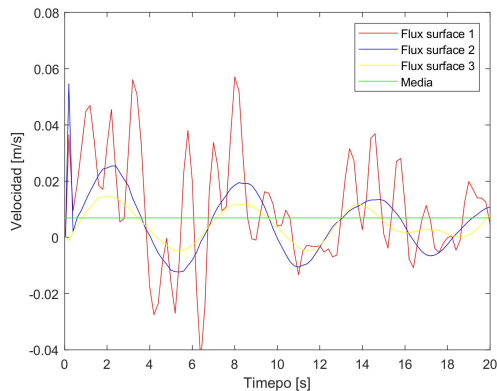
2.3.12. Modelo 11 (Pared Inclinada 7)

**Figura 2.37:** Modelo 11 (Pared Inclinada 7)

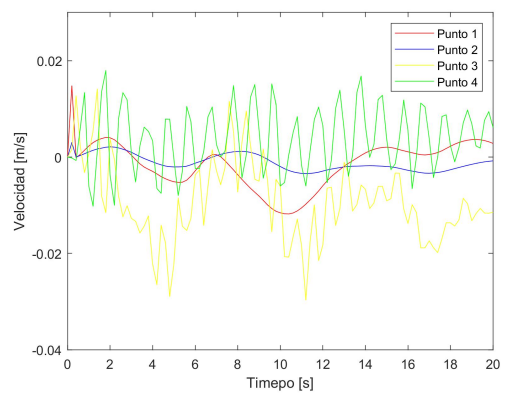
Fuente: Autores

En el modelo 11 a diferencia de su predecesor, los separadores de flujo interiores llegan hasta la superficie.

Los resultados del funcionamiento del modelo se muestran en la figura 2.38 y 2.39.

**Figura 2.38:** Velocidades promedio

Fuente: Autores

**Figura 2.39:** Velocidades puntuales

Fuente: Autores

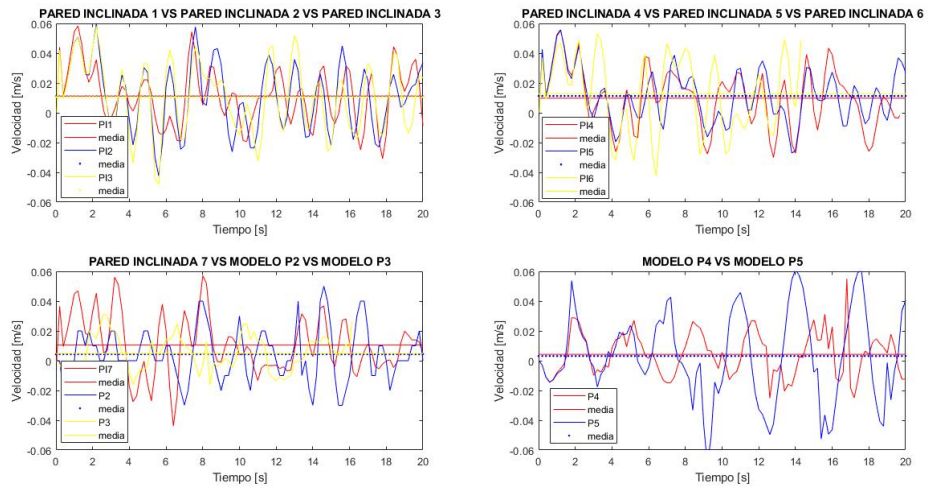
2.4. Resultados

Para una mejor comprensión de los resultados se va comparar los modelos tal y como se indica en la figuras 2.40, 2.41, 2.42, 2.43, 2.44, 2.45 y 2.46.

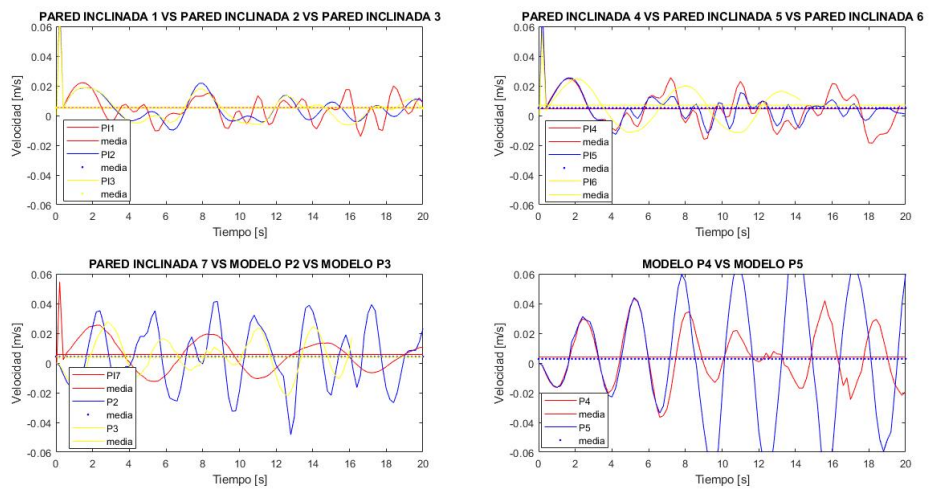
Como se puede apreciar en la figura 2.40 la mayoría de los modelos presenta resultados relativamente semejantes, a excepción del modelo P3 que muestra una superioridad respecto a los otros modelos. Según la figura 2.41 se puede descartar los modelos P2, P4 y P5. La figura 2.42 muestra una relativa similitud entre los modelos, a excepción del modelo P2, que además ya fue descartado anteriormente.

A partir de las velocidades puntuales, se puede saber con mayor certeza que modelo presenta mejores condiciones para una separación de grasas y aceites. Es así, que, a partir de la figura 2.43 se empieza a observar que los modelos, pared inclinada 6 y pared inclinada 7, muestran una superioridad respecto a los otros modelos. Con los datos presentes en la figura 2.44 se descartan los modelos pared inclinada 1, pared inclinada 2, pared inclinada 3 y el modelo P3. Es decir, por el momento pared inclinada 4, pared inclinada 5, pared inclinada 6 y pared inclinada 7 son modelos con las mejores condiciones para separar grasas y aceites. Con la figura 2.45 se pueden descartar los modelos pared inclinada 4 y pared inclinada 5; quedando únicamente los modelos pared inclinada 6 y pared inclinada 7. La figura 2.46 es una corroboración de que los posibles modelos son pared inclinada 6 y pared inclinada 7. Para efectos de facilidad de retirar la grasa del tanque se escoge el modelo pared inclinada 6.

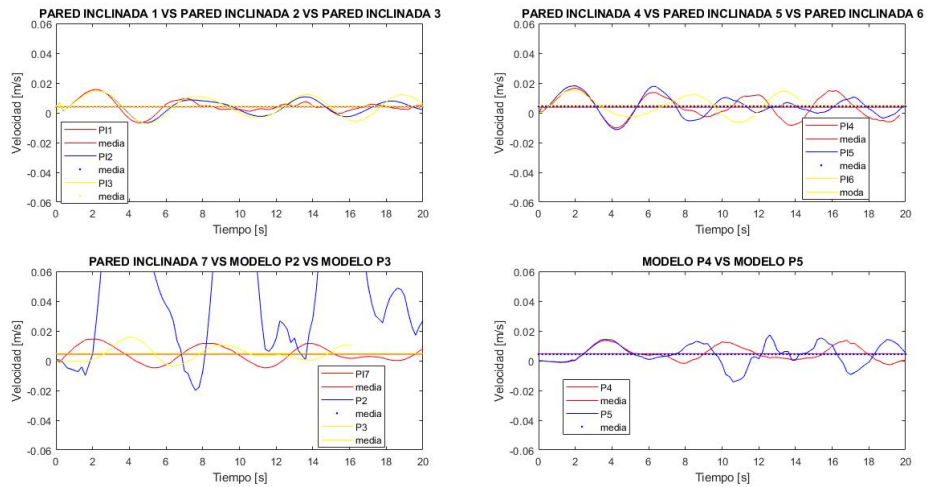
Los valores de las velocidades en los *flux surface* y en los puntos de medición se presentan en los anexos.

**Figura 2.40:** Variación de la velocidad en el *flux surface 1*

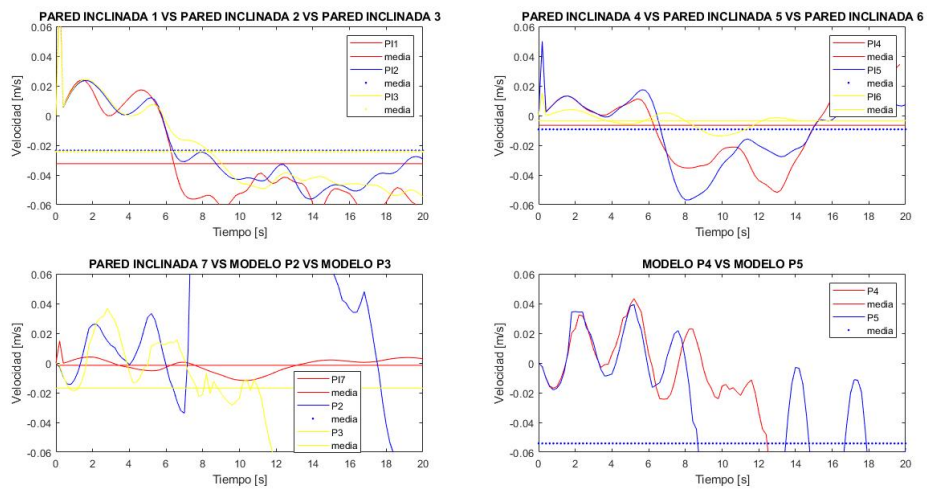
Fuente: Autores

**Figura 2.41:** Variación de la velocidad en el *flux surface 2*

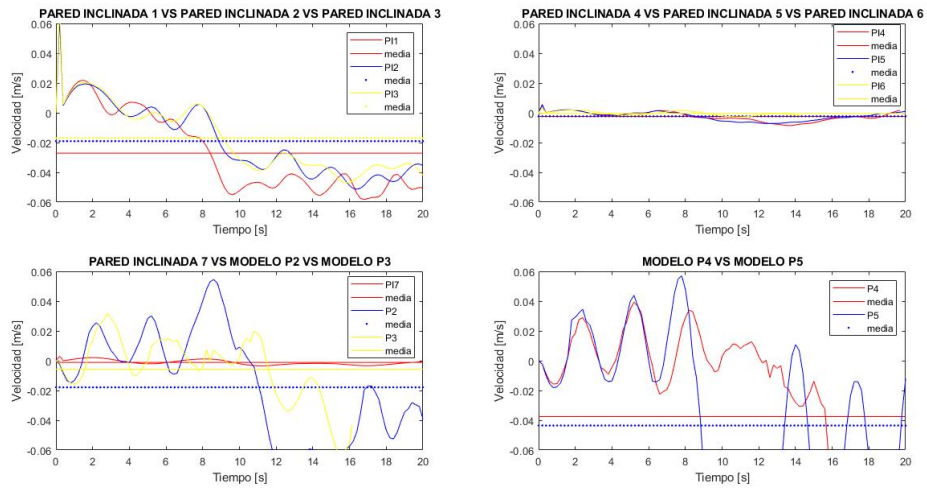
Fuente: Autores

**Figura 2.42:** Variación de la velocidad en el *flux surface* 3

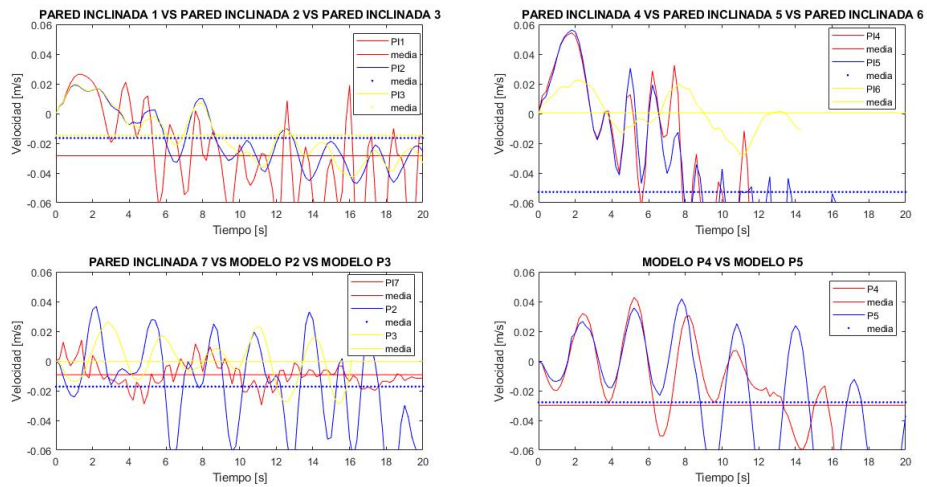
Fuente: Autores

**Figura 2.43:** Variación de la velocidad en el punto 1

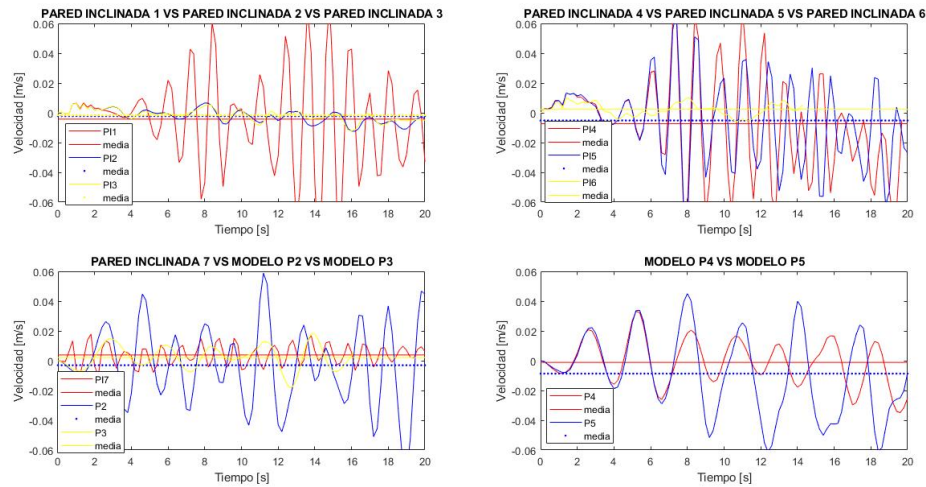
Fuente: Autores

**Figura 2.44:** Variación de la velocidad en el punto 2

Fuente: Autores

**Figura 2.45:** Variación de la velocidad en el punto 3

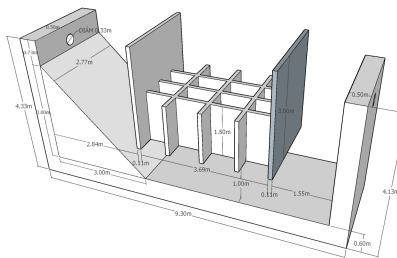
Fuente: Autores

**Figura 2.46:** Variación de la velocidad en el punto 4

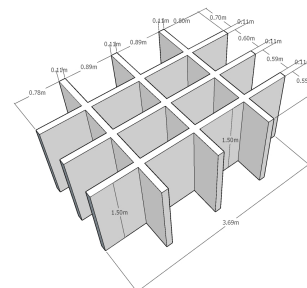
Fuente: Autores

2.4.1. Prueba del modelo 10 (Pared inclinada 6), para un caudal de 1.16 L/s

Como se dió a conocer en el apartado anterior; el modelo que demostró una superioridad respecto a los otros diseños fue el modelo 10 (Pared inclinada 6). La geometría del modelo 10 se muestra en las figuras 2.47 y 2.48.

**Figura 2.47:** Geometría modelo 10

Fuente: Autores

**Figura 2.48:** Geometría modelo 10 (Dimensiones de los pozos)

Fuente: Autores

Para analizar el comportamiento de este modelo se comparará el mismo respecto a uno sin pozos internos, figuras 2.49 y 2.50. Como se puede observar las velocidades promedio en las barreras de flujo (FS1 y FS2) son similares en los dos casos. Por otro lado, las velocidades en el medio de las barreras de flujo son menores en el modelo que consta de pozos. En cuanto a las velocidades puntuales, en el punto 1 son similares en ambos modelos; en los puntos 2 y 3 se muestra un clara superioridad del modelo con pozos. En el punto 4, las velocidades máximas de ambos modelos son similares.

2.5. Conclusión

El modelo con pozos internos muestra mejores condiciones para que una partícula con menor densidad que el agua se eleve a la superficie bajo las condiciones de la ley de Stokes. Además, al poseer más placas, el choque entre partículas aumenta y por ende la velocidad ascensional de la partícula será mayor. Chu y Ng (2000) demostró que al usar *tube settler* la remoción de grasas y aceites aumenta de un 8 a 10 %. Es decir, existe evidencia que al poseer pozos internos la remoción de grasas y aceites mejora.

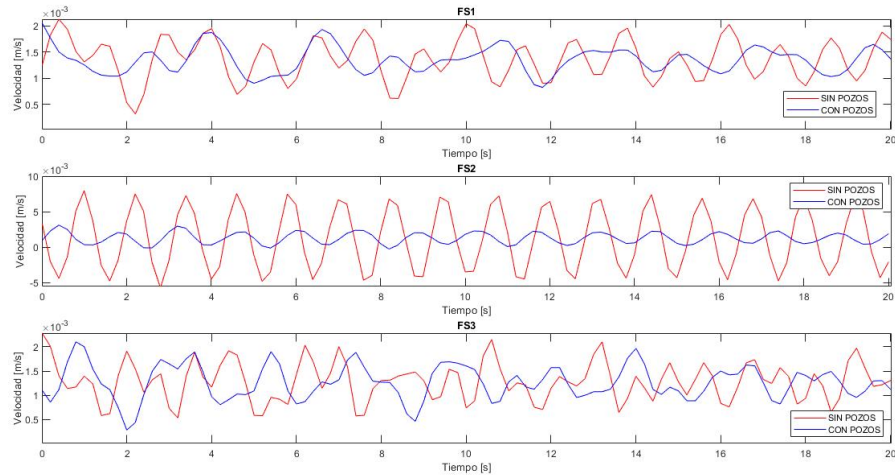


Figura 2.49: Velocidades en los *flux surface*

Fuente: Autores

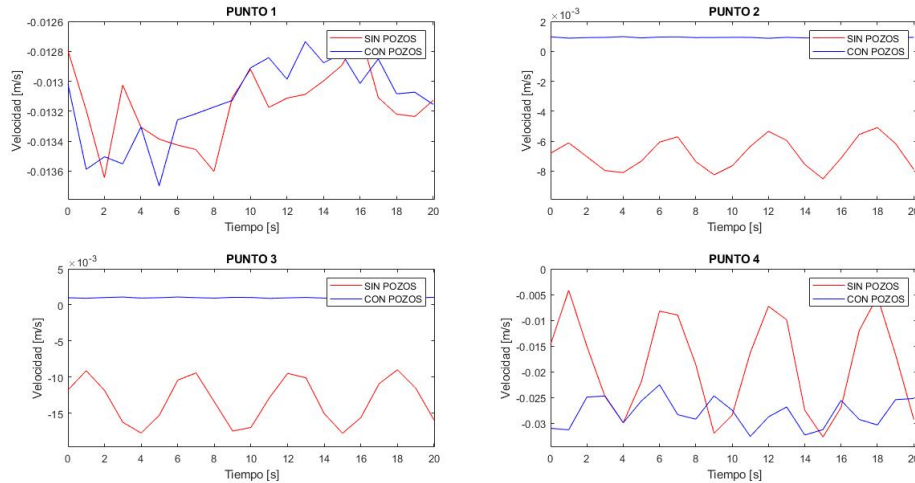


Figura 2.50: Velocidades puntuales

Fuente: Autores

3. Funcionamiento del prototipo

Para evaluar el comportamiento del modelo propuesto se compara el mismo respecto a otros modelos. Esto se llevará a cabo mediante una simulación por computadora. Es decir, se evaluará los parámetros propuestos versus los parámetros utilizados para los diferentes diseños. A continuación se presenta los parámetros de diseño de los modelos ya construidos y los parámetros propuestos.

3.1. Industria láctea

3.1.1. Parámetros presentes en el modelo ya construido de la industria láctea

- Caudal máximo de muestreo: $1.16 \frac{lt}{s}$.
- Caudal medio de muestreo: $0.43 \frac{lt}{s}$.
- Caudal máximo proyectado (caudal de diseño): $2.5 \frac{lt}{s}$.
- Caudal medio proyectado: $0.93 \frac{lt}{s}$.
- Temperatura media: 22.68°C .
- Tiempo de retención: 15 min.
- Relación largo/ancho: 2.
- Peso específico de las grasas: $850 \frac{Kg}{m^3}$.

En la figura 3.1 se muestra el modelo construido para la industria láctea.

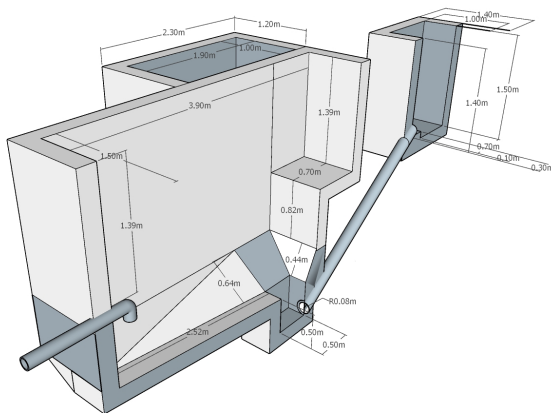


Figura 3.1: Industria láctea.

Fuente: Autores

3.1.2. Parámetros para la propuesta de diseño de la industria láctea

- Relación largo/ancho: 3/1
- Tiempo de retención mínimo: 30 minutos.
- Uso de una pared inclinada.
- Bloqueador de flujo a una distancia de la entrada igual al 12 % del largo del tanque.
- Bloqueador de flujo ubicado entre el 0.77-0.80 % del largo del tanque.
- Uso de *tube settler*, o pozos internos.
- Todos los separadores de flujo y *tube settler* deben empezar a una altura recomendada de 1/3 de la altura que ocupará el agua en su volumen de diseño.
- Caudal de diseño: $1.16 \frac{lt}{s}$.

La figura 3.2 muestra el diseño propuesto.

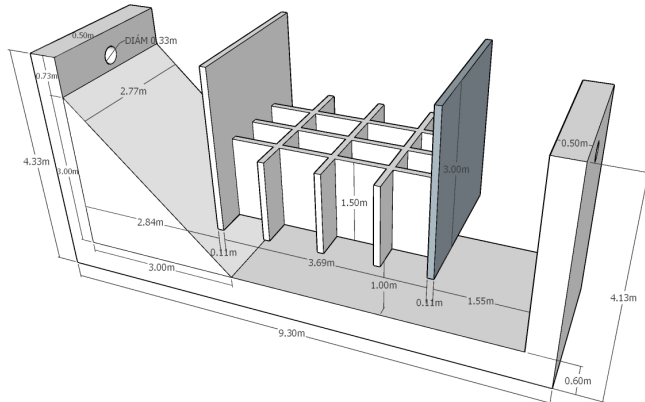


Figura 3.2: Modelo propuesto para industria láctea.

Fuente: Autores

3.1.3. Comparación de parámetros

Como se puede observar en la figura 3.3; el modelo con los parámetros propuestos tiene muchos menos picos. Analizando la figura, se puede concluir que el modelo construido posee velocidades circulares y por lo tanto su eficiencia en la remoción de grasas y aceites es menor (Razmi et al., 2009). Parece que en cuanto a velocidades los parámetros propuestos no son muy efectivos; pero es desmentido por las figuras 3.5 y 3.4. En la figura 3.4, los puntos que se encuentran entre los divisores de flujo, puntos 2 y 3, se puede apreciar una clara superioridad del modelo con los parámetros propuestos. Para ser más precisos en el análisis se colocó mas medidores puntuales, figura 3.5; se puede corroborar

que los parámetros propuestos disminuyen la velocidad del flujo, permitiendo una mayor eficiencia de remoción.

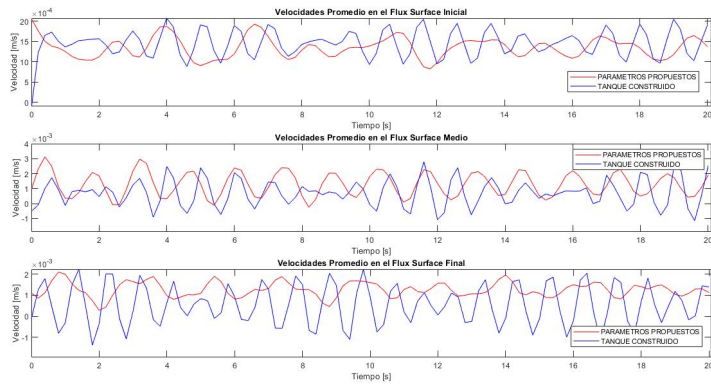


Figura 3.3: Velocidades en *flux surface*

Fuente: Autores

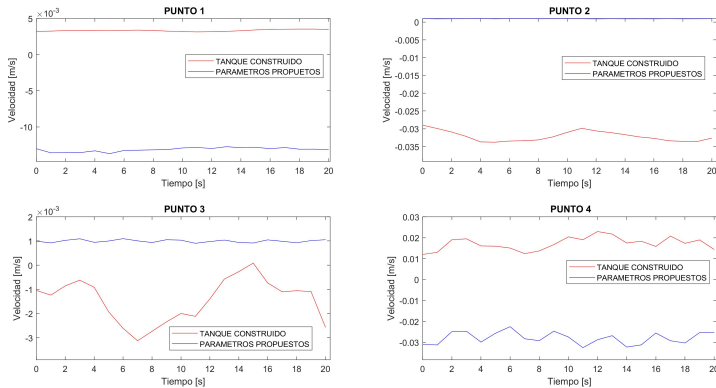


Figura 3.4: Velocidades puntuales.

Fuente: Autores

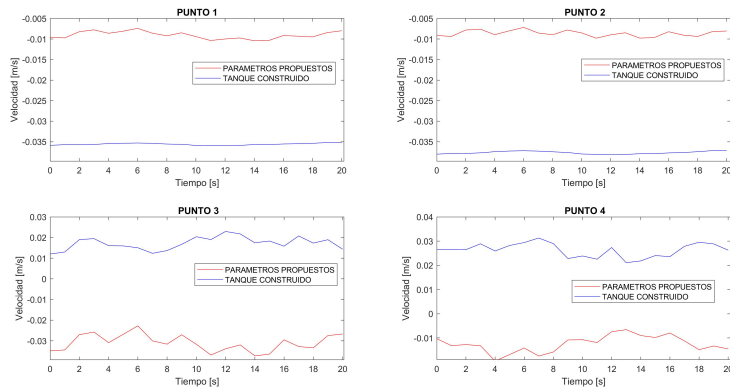


Figura 3.5: Velocidades puntuales en el interior del tanque.

Fuente: Autores

3.2. Industria cárnica

3.2.1. Parámetros presentes en el modelo ya construido de la industria cárnica

- Caudal de diseño: $5.405 \frac{lt}{s}$.
- Caudal máximo: $6.66 \frac{lt}{s}$.
- Peso específico de la grasa a separar: $950 \frac{Kg}{m^3}$.
- Relación largo/ancho: 1.8
- Tiempo de retención: 15 min.
- Tiempo de retención real para el caudal medio: 19.98 min.
- Tiempo de retención real para el caudal máximo: 16.22 min.

El modelo presente en la 3.6 es la trampa de grasa implementada en dicha empresa.

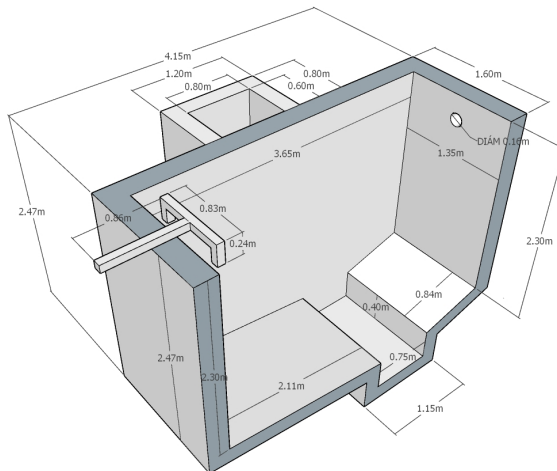


Figura 3.6: Industria cárnica.

Fuente: Autores

3.2.2. Parámetros para propuesta de diseño de la industria cárnica

- Relación largo/ancho: 3/1
- Tiempo de retención mínimo: 36 minutos.
- Uso de una pared inclinada.
- Bloqueador de flujo a una distancia de la entrada igual al 12 % del largo del tanque.
- Bloqueador de flujo ubicado entre el 0.77-0.80 % del largo del tanque.
- Uso de *tube settler*, o pozos internos.

- Todos los separadores de flujo y *tube settler* deben empezar a una altura recomendada de 1/3 de la altura que ocupará el agua en su volumen de diseño.
- Caudal de diseño: $5.405 \frac{lt}{s}$.

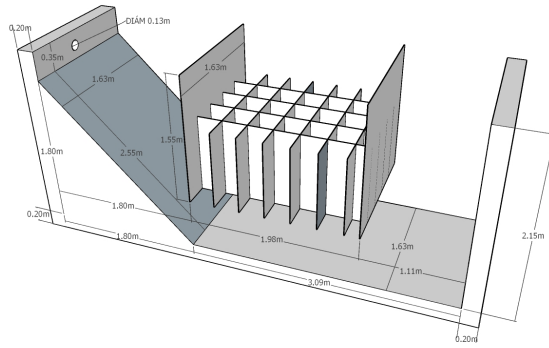


Figura 3.7: Modelo propuesto para industria cárnica.

Fuente: Autores

3.3. Conclusión

Como se puede apreciar en las dos figuras 3.8 y 3.9, las velocidades son menores en el modelo con los parámetros propuestos.

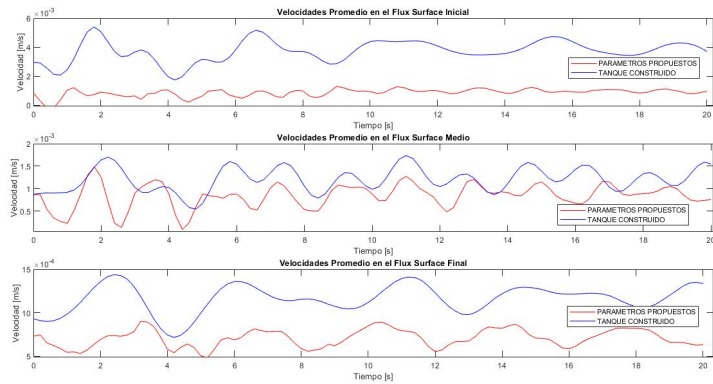


Figura 3.8: Velocidades en *flux surface*.

Fuente: Autores

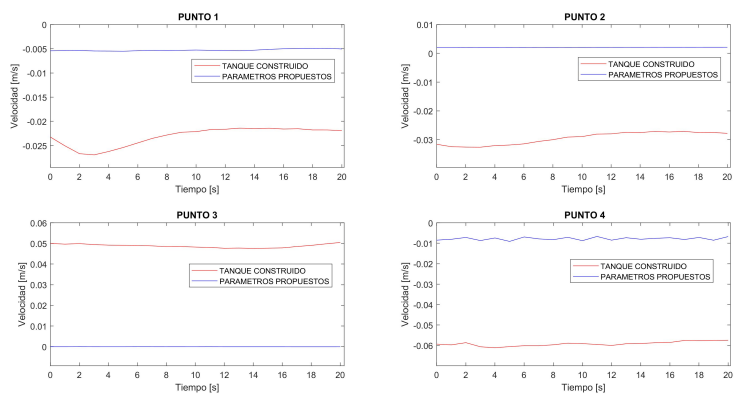


Figura 3.9: Velocidades puntuales.

Fuente: Autores

4. Conclusiones

Mediante la investigación realizada se concluye que los métodos utilizados para la separación de grasas y aceites del agua residual se pueden dividir en dos, flotación natural y flotación por inducción de aire. Se optó por el primero ya que su uso es mucho más sencillo y económico; esto se debe a que en comparación con el segundo no se necesita de una fuente de energía para su funcionamiento. El sistema de flotación natural no necesita de un mantenimiento tan riguroso; por el contrario el sistema de inducción de aire necesitará de un mantenimiento periódico de bombas, poleas, sistema de arrastre de grasas, sistema eléctrico del mismo, etc.

Una vez vistas las necesidades de las industrias de la ciudad de Cuenca, vimos reflejada una profunda necesidad de una trampa de grasa que minimice los costos de operación y a su vez mantenga una eficiencia requerida para la descarga de efluentes. En el modelamiento de los prototipos se realizaron con varios parámetros acorde a la bibliográfica escogida para cada modelo. Teniendo como resultado final el modelo 6 por su reducción de velocidades, garantizando la remoción de grasas al momento de su funcionamiento.

En conclusión el modelo para las industrias de la ciudad de Cuenca, es un modelo económico, tanto en la construcción, operación y mantenimiento.

Respondiendo a la pregunta de investigación. Un análisis detallado de las trampas de grasa sí conduce a un modelo mas eficiente. La eficiencia de un modelo está relacionada directamente con el cumplimiento de la ley de Stokes; por lo tanto un diseño en el cual sus partículas choquen entre si, para formar partículas más grandes y a su vez la velocidad de flujo sea la menor posible, brindará una mayor remoción de las grasas y aceites.

Referencias

- Adams, C. E., Ford, D. L., y Eckenfelder, W. W. (1981). Development of design and operational criteria for wastewater treatment. En *Development of design and operational criteria for wastewater treatment*. Enviro Press.
- Aziz, T. N., Holt, L. M., Keener, K. M., Groninger, J. W., y Ducoste, J. J. (2010). Performance of grease abatement devices for removal of fat, oil, and grease. *Journal of Environmental Engineering*, 137(1), 84–92.
- Becker, P., Köster, D., Popov, M., Markossian, S., Antranikian, G., y Märkl, H. (1999). The biodegradation of olive oil and the treatment of lipid-rich wool scouring wastewater under aerobic thermophilic conditions. *Water Research*, 33(3), 653–660.
- Beneventi, D., y Carre, B. (2000). The mechanisms of flotation deinking and the role of fillers. *Progress in Paper Recycling*, 9(2), 77–85.
- Bennett, G. F., y Peters, R. W. (1988). The removal of oil from wastewater by air flotation: a review. *Critical Reviews in Environmental Science and Technology*, 18(3), 189–253.
- Beychock, M. R. (1967). Aqueous wastes from petroleum and petrochemical plants, john wiley & sons.
- Biesinger, M., Vining, I., y Shell, G. (1974). Industrial experience with dissolved-air flotation. En *Proc. ind. waste conf.;(united states)*.
- Borchardt, J. (1992). Chemical structure, property relationships of deinking surfactants. *Prog Pap Recycl*, 1(2), 45–60.
- Borchardt, J. (1994). Possible deinking mechanisms and potential analogies to laundering. *Prog Pap Recycl*, 2(2), 47–53.
- Borchardt, J. K. (1997). The use of surfactants in de-inking paper for paper recycling. *Current opinion in colloid & interface science*, 2(4), 402–408.
- Bratby, J., y Marais, G. (1975). Saturator performance in dissolved-air (pressure) flotation. *Water Research*, 9(11), 929–936.
- Burkhardt, C. W. (1983). Control pollution by air flotation. En *Hydrocarbon process*.
- CAMPOS, D. M. J., y JIMENEZ, M. I. P. (s.f.). Diseño de la planta de tratamiento de aguas residuales y de producción evaluando las diferentes alternativas nacionales y extranjeras-aplicación campo colorado.
- Cardile, R., y Fronczak, R. (1982). Resolution of an industry's oily waste problem. En *Proc. ind. waste conf.;(united states)* (Vol. 36).
- Chen, M. I., G.M., y Nor, M. (2011). Flow pattern in a horizontal primary separator with a perfoated baffle. *Journal-the Institution of Engineers*, 72:3.
- Chow, V. T., Maidment, D. R., Mays, L. W., Saldarriaga, J. G., y cols. (1994). *Hidrología aplicada* (n.º 551.48 C4H5).
- Chu, W., y Ng, F.-L. (2000). Upgrading the conventional grease trap using a tube settler. *Environment international*, 26(1-2), 17–22.
- Clayton, R., Jameson, G., y Manlapig, E. (1991). The development and application of the jameson cell. *Minerals Engineering*, 4(7-11), 925–933.
- Colic, M., Morse, D., Morse, W., Matherly, T., Carty, S., y Miller, J. (2001). From airsparged hydrocyclone to bubble accelerated flotation: Mineral industry technology sets stage for development of new wastewater

- treatment flotation. En *Proceedings engineering foundation conference, froth flotation/dissolved air flotation: Bridging the gap*.
- Conway, R. A., Nelson, R. F., y Young, B. A. (1981). High-solubility gas flotation. *Journal (Water Pollution Control Federation)*, 1198–1205.
- David, B., y Vose, R. (1977). Custom designs cut effluent treating costs: case histories at chevron, usa inc. En *Proceedings of purdue industrial waste conference* (Vol. 32).
- Degner, V. (1976). Dispersed air flotation cell design and operation. En *Water-1975, aiche symposium series* (Vol. 71).
- Degner, V., y Winter, M. (1979). Recent advances in wastewater treatment using induced-air-flotation (iaf). En *Aiche symp. ser.;(united states)* (Vol. 75).
- Degner, V. R., y Colbert, W. V. (1978, agosto 29). *Dispersed gas flotation process*. Google Patents. (US Patent 4,110,210)
- De Renzo, E., D.J. (1981). Pollution control technology for industrial wastewaters. *Noyes Data Corp.*
- Domínguez Ollero, R. (2015). *Diseño de una planta de tratamiento de aguas residuales urbanas para poblaciones entre 20 y 25 mil habitantes* (B.S. thesis).
- Drellich, J., Nalaskowski, J., Gosiewska, A., Beach, E., y Miller, J. (2000). Long-range attractive forces and energy barriers in de-inking flotation: Afm studies of interactions between polyethylene and toner. *Journal of adhesion science and technology*, 14(14), 1829–1843.
- Drellich, J., Pletka, J., Boyd, P., Raber, E., Herron, D., Luhta, E., ... others (2001). Interfacial chemistry aspects of de-inking flotation of mixed office paper. En *Sme annual meeting, denver, colorado*.
- Drellich, J., Zahn, R., Miller, J., y Borchardt, J. (2001). Contact angle relaxation for ethoxylated alcohol solutions on hydrophobic surfaces. *Contact angles, wettability and adhesion. VSP, the Netherlands*.
- Dueholm, T., Andreasen, K., y Nielsen, P. H. (2001). Transformation of lipids in activated sludge. *Water science and technology*, 43(1), 165–172.
- Ellis, M., Fischer, P., y cols. (1973). Clarifying oilfield and refinery waste waters by gas flotation. *Journal of Petroleum Technology*, 25(04), 426–430.
- Fernández Arteaga, A., y cols. (2006). Preparación, caracterización y estabilidad de emulsiones y microemulsiones o/w.
- Figueroa Casas, J. I., y Martínez Sañudo, A. F. (2014). Construcción, instalación, puesta en marcha de una planta de tratamiento de agua de 30.000 bwpd, campo contayaco.
- Flow-Science. (2008). User manual: Flow-3d [Manual de software informático].
- Gopalratnam, V. C., Bennett, G. F., y Peters, R. W. (1988). The simultaneous removal of oil and heavy metals from industrial wastewater by joint precipitation and air flotation. *Environmental Progress*, 7(2), 84–92.
- Hart, J. (1970). Air flotation treatment and reuse of refinery wastewater.
- Hobe, D. (1978, octubre). Tuna cannery waste treatment. *Pacific Northwest Pollution Control Assoc.*
- Hussein, H. A., Abdullah, R., Harun, S., y Abdulkhaleq, M. (2013). Numerical model of baffle location effect on flow pattern in oil and water gravity separator tanks. *World Applied Sciences Journal*, 26(10), 1351–1356.
- Hussein, H. A., Abdullah, R., Ibrahim, M. A., y Said, M. A. M. (2016).

- Experimental investigation of the effect of inlet baffle position on the flow pattern, oil concentration, and efficiency of rectangular separator tank. *Desalination and Water Treatment*, 57(51), 24333–24340.
- Jameel, A. T., Muyubi, S. A., Karim, M. I. A., Alam, M. Z., y cols. (2011). Removal of oil and grease as emerging pollutants of concern (epc) in wastewater stream. *IJUM Engineering Journal*, 12(4).
- Jameson, G., y Manlapig, E. (1991). Applications of the jameson flotation cell. *Column*, 91, 535.
- Jameson, G. J., y cols. (2004). Application of the jameson cell technology for algae and phosphorus removal from maturation ponds. *International Journal of Mineral Processing*, 73(1), 23–28.
- Jordan, C., y Susko, F. (1992). Rapid flotation using a modified bubble-injected hydrocyclone and a shallow-depth froth separator for improved flotation kinetics. *Minerals Engineering*, 5(10-12), 1239–1257.
- Katz, W. J., y cols. (1960). Dissolved-air flotation as applied to the treatment of oil-production water and of refinery wastes. En *Drilling and production practice*.
- Krofta, M., y Wang, L. (1999). *Flotation and related adsorptive bubble separation processes, technical manual no* (Inf. Téc.). Lenox 7-25-1999/348, 4th edn. Lenox Institute of Water Technology, Lenox, MA.
- López-Vazquez, C. M., y Fall, C. (2004). Improvement of a gravity oil separator using a designed experiment. *Water, Air, and Soil Pollution*, 157(1-4), 33–52.
- Madoni, P., Davoli, D., y Gibin, G. (2000). Survey of filamentous microorganisms from bulking and foaming activated-sludge plants in italy. *Water Research*, 34 (6), 1767–1772.
- Maskew Fair, G., Alexander Okun, D., y Charles Geyer, J. (1966). *Ingeniería sanitaria y de aguas residuales. volumen ii: Purificación de aguas y tratamiento de aguas residuales*. LIMUSA-WILEY, S.A.
- Mattsson, J., Hedström, A., Viklander, M., y Blecken, G.-T. (2014). Fat, oil, and grease accumulation in sewer systems: comprehensive survey of experiences of scandinavian municipalities. *Journal of environmental engineering*, 140(3), 04014003.
- Metcalf, y Eddy. (1979). *Wastewater engineering: Treatmentm disposal, reuse*. McGraw-Hill.
- Morrow, T., y Dodget, F. (1991). Fluid flow modelling of gravity separators. *Multi-phase production*.
- Muñoz, J., Alfaro, M., y Zapata, I. (2007). Avances en la formulación de emulsiones. *Grasas y aceites*, 58(1), 64–73.
- Murakami, E., y Robe, K. (1975). Before: sewage changes 55,660/yr, now :4,340. *Food Process, Aug*, 36.
- Nisola, G. M., Cho, E. S., Shon, H. K., Tian, D., Chun, D. J., Gwon, E. M., y Chung, W. J. (2009). Cell immobilized fog-trap system for fat, oil, and grease removal from restaurant wastewater. *Journal of environmental engineering*, 135(9), 876–884.
- of Refining, A. P. I. D. (1969a). *Manual on disposal of refinery wastes: Volume on liquid wastes*. American Petroleum Institute, Division of Refining.
- of Refining, A. P. I. D. (1969b). *Manual on disposal of refinery wastes: Volume*

- on liquid wastes.* American Petroleum Institute, Division of Refining.
- PDVSA. (1997, jun). Mpd-09-ef-03 [Manual de software informático].
- Pirttinen, E., y Stenius, P. (2000). The effects of chemical conditions on newsprint ink detachment and fragmentation. *Tappi journal*, 83(11).
- Ramalho, R. S. (1990). *Tratamiento de aguas residuales*. Reverté.
- Rao, R., y Stenius, P. (1998). Mechanisms of ink release from model surfaces and fibre. *Journal of pulp and paper science*, 24(6), 183–187.
- Razmi, A., Firoozabadi, B., y Ahmadi, G. (2009). Experimental and numerical approach to enlargement of performance of primary settling tanks. *Journal of Applied Fluid Mechanics*, 2(1).
- Rodríguez Fernández-Alba, A., Letón García, P., Rosal García, R., Dorado Valiño, M., Villar Fernández, S., y Sanz García, J. (2006). Tratamientos avanzados de aguas residuales industriales. *Informe de vigilancia ambiental vt2, Comunidad de Madrid. www. madrimasd. org*.
- Romero Rojas, J. A. (2000). *Tratamiento de aguas residuales, teoría y principios de diseño*. Escuela colombiana de ingeniería.
- Rubio, J., Souza, M., y Smith, R. (2002). Overview of flotation as a wastewater treatment technique. *Minerals engineering*, 15(3), 139–155.
- Sastri, S. (1998). Column flotation: theory and practice.
- Shamma, N. K., Wang, L. K., y Selke, W. A. (2010). Completely closed water systems in paper mills. En *Flotation technology* (pp. 401–427). Springer.
- Smets, I. (2009). Water quality assessment, monitoring and treatment primary treatment techniques..
- Somasundaran, P., Zhang, L., Krishnakumar, S., y Slepety, R. (1999). Flotation deinking-a review of principles and techniques. *Progress in paper recycling*, 8, 22–36.
- Steiner, J., Bennett, G., Mohler, E., y Clere, L. (1978). Pollution control practices/air flotation treatment of refinery waste water. *Chem. Eng. Prog.;(United States)*, 74(12).
- Steiner, J. L. (1977). *A study of dissolved and induced air flotation to remove oil and suspended solids from petroleum refinery wastewater* (Tesis Doctoral no publicada). University of Toledo.
- Stewart, M., y Arnold, K. (2008). *Emulsions and oil treating equipment: selection, sizing and troubleshooting*. Elsevier.
- Sylvester, N. D., Byeseda, J. J., y cols. (1980). Oil/water separation by induced-air flotation. *Society of Petroleum Engineers Journal*, 20(06), 579–590.
- Van Ham, N. J., Behie, L. A., y Svrcek, W. Y. (1983). The effect of air distribution on the induced air flotation of fine oil in water emulsions. *The Canadian Journal of Chemical Engineering*, 61(4), 541–547.
- Villacorta Llerena, M., Ulloa, G., y Del Rosario, M. (2016). Diseño de una unidad piloto para simulación de tratamientos de aguas residuales oleosas utilizando el software hysys v3. 2 en la facultad de ingeniería química-unap.
- Wang, L. K. (2006). Adsorptive bubble separation and dispersed air flotation. En *Advanced physicochemical treatment processes* (pp. 81–122). Springer.
- Wang, L. K., Shamma, N. K., Selke, W. A., y Aulenbach, D. B. (2010). *Flotation technology*. Springer.
- Wood, y Sci., P. (2002). *Introduction to the science involved in flotation deinking*. Descargado de <http://www.cfr.ncsu.edu/wps/>

k12activities/ppts/flotation

- Ye, Y., Gopalakrishnan, S., Pacquet, E., y Miller, J. (1988). Development of the air-sparged hydrocyclone—a swirl flotation column. En *Proceedings of international column flotation symposium* (pp. 305–313).
- Zabel, T. F. (1992). Flotation in water treatment. En *Innovations in flotation technology* (pp. 431–454). Springer.
- Zhao, Y., Deng, Y., y Zhu, J. (2004). Roles of surfactants in flotation deinking. *Progress in paper recycling. Vol. 14, no. 1 (Nov. 2004): Pages 41-45..*

Anexos

A. Resultados numéricos de cada modelo (Tablas)

Tabla A.1: Producción de leche condensada

DESCARGA D1	
Tiempo (sg)	Velocidad (m/sg)
1	0.37
2	0.23
3	0.69
4	0.58
5	0.8
6	0.52
7	0.78
8	0.46
9	0.4
10	0.81
11	0.79
12	0.34
13	0.26
14	0.39
15	0.43
16	0.19
17	0.26
18	0.16
19	0.17

Fuente: Autores

Tabla A.2: Producción de leche en polvo

DESCARGA D1 LECHE	
Tiempo (sg)	Velocidad (m/sg)
1	0.26
2	0.2
3	0.4
4	0.54
5	0.71
6	0.23
7	0.95
8	0.8
9	0.31
10	1.16
11	0.45
12	0.3
13	0.65
14	0.2
15	0.18
16	0.17
17	0.19
18	0.19
19	0.17

Fuente: Autores

Tabla A.3: Modelo 1 (P2) FS₁PI₂

Tiempo (sg)	Velocidad (m/sg)	Tiempo (sg)	Velocidad (m/sg)	Tiempo (sg)	Velocidad (m/sg)
0.02	0.00	9.60	0.00	19.20	0.00
0.20	0.00	9.80	0.01	19.40	0.01
0.40	-0.02	10.00	0.03	19.60	0.01
0.60	-0.02	10.20	0.01	19.80	0.02
0.80	-0.01	10.40	-0.01	20.00	0.00
1.00	0.00	10.60	-0.02		
1.20	0.02	10.80	0.00		
1.40	0.02	11.00	0.01		
1.60	0.01	11.20	0.02		
1.80	0.02	11.40	0.02		
2.00	0.01	11.60	0.01		
2.20	0.01	11.80	0.01		
2.40	0.00	12.00	0.00		
2.60	0.00	12.20	-0.01		
2.80	0.01	12.40	-0.01		
3.00	0.02	12.60	0.00		
3.20	0.02	12.80	0.00		
3.40	0.00	13.00	0.01		
3.60	0.00	13.20	0.04		
3.80	0.00	13.40	-0.01		
4.00	0.00	13.60	0.00		
4.20	0.00	13.80	-0.02		
4.40	0.00	14.00	-0.03		
4.60	0.01	14.20	-0.01		
4.80	0.02	14.40	0.04		
5.00	0.02	14.60	0.05		
5.20	0.01	14.80	0.04		
5.40	0.00	15.00	0.02		
5.60	0.00	15.20	-0.01		
5.80	0.00	15.40	-0.03		
6.00	0.01	15.60	-0.03		
6.20	0.01	15.80	-0.02		
6.40	0.00	16.00	-0.01		
6.60	-0.01	16.20	0.01		
6.80	-0.02	16.40	0.03		
7.00	-0.03	16.60	0.04		
7.20	-0.02	16.80	0.04		
7.40	0.00	17.00	0.02		
7.60	0.02	17.20	-0.01		
7.80	0.04	17.40	-0.01		
8.00	0.04	17.60	0.01		
8.20	0.03	17.80	0.01		
8.40	0.02	18.00	0.00		
8.60	0.00	18.20	-0.02		
8.80	-0.01	18.40	-0.01		
9.00	-0.02	18.60	0.00		
9.20	-0.01	18.80	0.00		
9.40	-0.01	19.00	0.00		

Fuente: Autores

Tabla A.4: Modelo 1 (P2) FS2PI2

Tiempo (sg)	Velocidad (m/sg)	Tiempo (sg)	Velocidad (m/sg)	Tiempo (sg)	Velocidad (m/sg)
0.0196	0.0000	9.5984	-0.0324	19.2007	0.0081
0.2011	-0.0020	9.7988	-0.0322	19.3998	0.0085
0.3980	-0.0076	10.0010	-0.0188	19.5998	0.0084
0.5997	-0.0129	10.2004	-0.0010	19.8008	0.0141
0.8028	-0.0162	10.3993	0.0144	20.0020	0.0231
0.9974	-0.0172	10.5998	0.0274		
1.2028	-0.0154	10.8013	0.0322		
1.3982	-0.0104	11.0003	0.0269		
1.5992	0.0005	11.1994	0.0238		
1.7999	0.0134	11.3999	0.0198		
1.9992	0.0244	11.5998	0.0133		
2.1987	0.0344	11.8017	0.0057		
2.4010	0.0351	12.0007	-0.0015		
2.6005	0.0261	12.2017	-0.0056		
2.7982	0.0116	12.4016	-0.0090		
2.9993	-0.0033	12.5998	-0.0292		
3.2003	-0.0113	12.7982	-0.0482		
3.4014	-0.0114	13.0004	-0.0356		
3.6012	-0.0058	13.1993	-0.0008		
3.8020	-0.0024	13.4012	0.0213		
3.9993	-0.0024	13.6011	0.0369		
4.1982	0.0027	13.7988	0.0389		
4.3990	0.0126	13.9997	0.0346		
4.6019	0.0179	14.1987	0.0260		
4.7988	0.0179	14.3997	0.0139		
4.9982	0.0209	14.6006	-0.0034		
5.1998	0.0305	14.7998	-0.0190		
5.3984	0.0351	14.9997	-0.0218		
5.6006	0.0215	15.1990	-0.0093		
5.8012	0.0002	15.4006	0.0042		
6.0003	-0.0147	15.5996	0.0129		
6.1993	-0.0235	15.7991	0.0189		
6.4001	-0.0248	15.9993	0.0110		
6.5998	-0.0257	16.2002	-0.0051		
6.7985	-0.0172	16.4017	-0.0165		
7.0004	-0.0030	16.6011	-0.0078		
7.1998	0.0124	16.7998	0.0188		
7.3995	0.0176	16.9998	0.0332		
7.5998	0.0099	17.1995	0.0393		
7.7995	0.0013	17.4001	0.0351		
7.9990	-0.0006	17.5997	0.0168		
8.2003	0.0087	17.7997	-0.0030		
8.4005	0.0262	17.9992	-0.0173		
8.5981	0.0410	18.1993	-0.0245		
8.8005	0.0414	18.4000	-0.0267		
8.9988	0.0234	18.5990	-0.0199		
9.2002	-0.0006	18.8006	-0.0075		
9.3989	-0.0223	19.0012	0.0050		

Fuente: Autores

Tabla A.5: Modelo 1 (P2) FS3PI2

Tiempo (sg)	Velocidad (m/sg)	Tiempo (sg)	Velocidad (m/sg)	Tiempo (sg)	Velocidad (m/sg)
0.0196	0.0006	9.5984	0.2140	19.2007	0.0322
0.2011	0.0006	9.7988	0.2160	19.3998	0.0228
0.3980	-0.0014	10.0010	0.2121	19.5998	0.0170
0.5997	-0.0047	10.2004	0.1835	19.8008	0.0230
0.8028	-0.0056	10.3993	0.1533	20.0020	0.0269
0.9974	-0.0064	10.5998	0.1216		
1.2028	-0.0074	10.8013	0.0802		
1.3982	-0.0042	11.0003	0.0560		
1.5992	-0.0098	11.1994	0.0282		
1.7999	-0.0025	11.3999	0.0078		
1.9992	0.0044	11.5998	0.0062		
2.1987	0.0266	11.8017	0.0091		
2.4010	0.0520	12.0007	0.0148		
2.6005	0.0825	12.2017	0.0268		
2.7982	0.1188	12.4016	0.0247		
2.9993	0.1576	12.5998	0.0213		
3.2003	0.1859	12.7982	0.0121		
3.4014	0.2062	13.0004	0.0153		
3.6012	0.2169	13.1993	0.0070		
3.8020	0.2142	13.4012	0.0037		
3.9993	0.2060	13.6011	0.0007		
4.1982	0.1803	13.7988	0.0184		
4.3990	0.1523	13.9997	0.0284		
4.6019	0.1239	14.1987	0.0488		
4.7988	0.1000	14.3997	0.0792		
4.9982	0.0812	14.6006	0.1055		
5.1998	0.0652	14.7998	0.1282		
5.3984	0.0570	14.9997	0.1580		
5.6006	0.0484	15.1990	0.1761		
5.8012	0.0418	15.4006	0.1826		
6.0003	0.0372	15.5996	0.1774		
6.1993	0.0333	15.7991	0.1693		
6.4001	0.0265	15.9993	0.1507		
6.5998	0.0135	16.2002	0.1301		
6.7985	0.0075	16.4017	0.1062		
7.0004	-0.0069	16.6011	0.0854		
7.1998	-0.0086	16.7998	0.0693		
7.3995	-0.0154	16.9998	0.0512		
7.5998	-0.0199	17.1995	0.0390		
7.7995	-0.0178	17.4001	0.0304		
7.9990	-0.0073	17.5997	0.0281		
8.2003	0.0116	17.7997	0.0254		
8.4005	0.0378	17.9992	0.0352		
8.5981	0.0687	18.1993	0.0422		
8.8005	0.1079	18.4000	0.0460		
8.9988	0.1368	18.5990	0.0488		
9.2002	0.1758	18.8006	0.0479		
9.3989	0.1969	19.0012	0.0435		

Fuente: Autores

Tabla A.6: Modelo 1 (P2) PUNTO1P2

Tiempo (sg)	Velocidad (m/sg)	Tiempo (sg)	Velocidad (m/sg)	Tiempo (sg)	Velocidad (m/sg)
0.0000	0.0000	9.5984	0.2166	19.2007	-0.0702
0.2011	-0.0027	9.7988	0.2111	19.3998	-0.0722
0.3980	-0.0093	10.0010	0.2236	19.5998	-0.0826
0.5997	-0.0140	10.2004	0.2253	19.8008	-0.0910
0.8028	-0.0145	10.3993	0.2219	20.0020	-0.1072
0.9974	-0.0116	10.5998	0.2147		
1.2028	-0.0059	10.8013	0.2133		
1.3982	0.0025	11.0003	0.2078		
1.5992	0.0129	11.1994	0.2024		
1.7999	0.0234	11.3999	0.1920		
1.9992	0.0257	11.5998	0.1800		
2.1987	0.0263	11.8017	0.1674		
2.4010	0.0236	12.0007	0.1497		
2.6005	0.0186	12.2017	0.1313		
2.7982	0.0149	12.4016	0.1172		
2.9993	0.0118	12.5998	0.1088		
3.2003	0.0104	12.7982	0.0996		
3.4014	0.0061	13.0004	0.1005		
3.6012	0.0033	13.1993	0.1153		
3.8020	0.0015	13.4012	0.1018		
3.9993	-0.0013	13.6011	0.1161		
4.1982	0.0019	13.7988	0.1172		
4.3990	0.0073	13.9997	0.1110		
4.6019	0.0134	14.1987	0.1009		
4.7988	0.0224	14.3997	0.0951		
4.9982	0.0308	14.6006	0.0824		
5.1998	0.0333	14.7998	0.0726		
5.3984	0.0290	14.9997	0.0640		
5.6006	0.0197	15.1990	0.0579		
5.8012	0.0083	15.4006	0.0514		
6.0003	-0.0014	15.5996	0.0424		
6.1993	-0.0115	15.7991	0.0405		
6.4001	-0.0177	15.9993	0.0364		
6.5998	-0.0259	16.2002	0.0340		
6.7985	-0.0321	16.4017	0.0342		
7.0004	-0.0338	16.6011	0.0400		
7.1998	0.0078	16.7998	0.0480		
7.3995	0.1160	16.9998	0.0373		
7.5998	0.2436	17.1995	0.0236		
7.7995	0.3378	17.4001	0.0078		
7.9990	0.3887	17.5997	-0.0067		
8.2003	0.4166	17.7997	-0.0261		
8.4005	0.4202	17.9992	-0.0417		
8.5981	0.3912	18.1993	-0.0537		
8.8005	0.3367	18.4000	-0.0610		
8.9988	0.2912	18.5990	-0.0641		
9.2002	0.2617	18.8006	-0.0636		
9.3989	0.2338	19.0012	-0.0648		

Fuente: Autores

Tabla A.7: Modelo 1 (P2) PUNTO2P2

Tiempo (sg)	Velocidad (m/sg)	Tiempo (sg)	Velocidad (m/sg)	Tiempo (sg)	Velocidad (m/sg)
0.0000	0.0000	9.5984	0.0152	19.2007	-0.0324
0.2011	-0.0024	9.7988	0.0075	19.3998	-0.0281
0.3980	-0.0085	10.0010	0.0092	19.5998	-0.0295
0.5997	-0.0133	10.2004	0.0066	19.8008	-0.0307
0.8028	-0.0148	10.3993	0.0024	20.0020	-0.0392
0.9974	-0.0135	10.5998	-0.0012		
1.2028	-0.0092	10.8013	-0.0044		
1.3982	-0.0024	11.0003	-0.0150		
1.5992	0.0082	11.1994	-0.0240		
1.7999	0.0186	11.3999	-0.0368		
1.9992	0.0231	11.5998	-0.0498		
2.1987	0.0255	11.8017	-0.0605		
2.4010	0.0231	12.0007	-0.0741		
2.6005	0.0173	12.2017	-0.0885		
2.7982	0.0118	12.4016	-0.0985		
2.9993	0.0068	12.5998	-0.1037		
3.2003	0.0040	12.7982	-0.1077		
3.4014	0.0003	13.0004	-0.1014		
3.6012	-0.0008	13.1993	-0.0827		
3.8020	-0.0006	13.4012	-0.0854		
3.9993	-0.0013	13.6011	-0.0668		
4.1982	0.0032	13.7988	-0.0592		
4.3990	0.0085	13.9997	-0.0598		
4.6019	0.0142	14.1987	-0.0645		
4.7988	0.0217	14.3997	-0.0669		
4.9982	0.0283	14.6006	-0.0733		
5.1998	0.0301	14.7998	-0.0763		
5.3984	0.0264	14.9997	-0.0759		
5.6006	0.0185	15.1990	-0.0710		
5.8012	0.0085	15.4006	-0.0659		
6.0003	0.0000	15.5996	-0.0644		
6.1993	-0.0075	15.7991	-0.0593		
6.4001	-0.0090	15.9993	-0.0574		
6.5998	-0.0086	16.2002	-0.0541		
6.7985	-0.0018	16.4017	-0.0476		
7.0004	0.0050	16.6011	-0.0351		
7.1998	0.0132	16.7998	-0.0195		
7.3995	0.0206	16.9998	-0.0170		
7.5998	0.0266	17.1995	-0.0169		
7.7995	0.0329	17.4001	-0.0210		
7.9990	0.0402	17.5997	-0.0261		
8.2003	0.0478	17.7997	-0.0371		
8.4005	0.0530	17.9992	-0.0466		
8.5981	0.0545	18.1993	-0.0518		
8.8005	0.0520	18.4000	-0.0525		
8.9988	0.0437	18.5990	-0.0480		
9.2002	0.0357	18.8006	-0.0408		
9.3989	0.0252	19.0012	-0.0345		

Fuente: Autores

Tabla A.8: Modelo 1 (P2) PUNTO3P2

Tiempo (sg)	Velocidad (m/sg)	Tiempo (sg)	Velocidad (m/sg)	Tiempo (sg)	Velocidad (m/sg)
0.0000	0.0000	9.5984	-0.0608	19.2007	-0.0378
0.2011	-0.0025	9.7988	-0.0574	19.3998	-0.0511
0.3980	-0.0105	10.0010	-0.0378	19.5998	-0.0590
0.5997	-0.0180	10.2004	-0.0163	19.8008	-0.0629
0.8028	-0.0230	10.3993	0.0019	20.0020	-0.0703
0.9974	-0.0243	10.5998	0.0134		
1.2028	-0.0206	10.8013	0.0195		
1.3982	-0.0109	11.0003	0.0148		
1.5992	0.0052	11.1994	0.0045		
1.7999	0.0234	11.3999	-0.0084		
1.9992	0.0345	11.5998	-0.0151		
2.1987	0.0368	11.8017	-0.0134		
2.4010	0.0262	12.0007	-0.0096		
2.6005	0.0076	12.2017	-0.0140		
2.7982	-0.0092	12.4016	-0.0317		
2.9993	-0.0161	12.5998	-0.0546		
3.2003	-0.0122	12.7982	-0.0702		
3.4014	-0.0069	13.0004	-0.0664		
3.6012	-0.0052	13.1993	-0.0319		
3.8020	-0.0065	13.4012	-0.0041		
3.9993	-0.0089	13.6011	0.0241		
4.1982	-0.0085	13.7988	0.0331		
4.3990	-0.0078	13.9997	0.0281		
4.6019	-0.0036	14.1987	0.0115		
4.7988	0.0080	14.3997	-0.0097		
4.9982	0.0213	14.6006	-0.0351		
5.1998	0.0278	14.7998	-0.0526		
5.3984	0.0275	14.9997	-0.0515		
5.6006	0.0205	15.1990	-0.0283		
5.8012	0.0022	15.4006	-0.0025		
6.0003	-0.0271	15.5996	0.0017		
6.1993	-0.0575	15.7991	-0.0207		
6.4001	-0.0687	15.9993	-0.0519		
6.5998	-0.0570	16.2002	-0.0659		
6.7985	-0.0313	16.4017	-0.0534		
7.0004	-0.0095	16.6011	-0.0236		
7.1998	-0.0004	16.7998	0.0066		
7.3995	-0.0048	16.9998	0.0149		
7.5998	-0.0133	17.1995	0.0097		
7.7995	-0.0182	17.4001	-0.0018		
7.9990	-0.0149	17.5997	-0.0184		
8.2003	-0.0012	17.7997	-0.0471		
8.4005	0.0153	17.9992	-0.0815		
8.5981	0.0249	18.1993	-0.1000		
8.8005	0.0203	18.4000	-0.0944		
8.9988	0.0014	18.5990	-0.0697		
9.2002	-0.0251	18.8006	-0.0423		
9.3989	-0.0492	19.0012	-0.0298		

Fuente: Autores

Tabla A.9: Modelo 1 (P2) PUNTO4P2

Tiempo (sg)	Velocidad (m/sg)	Tiempo (sg)	Velocidad (m/sg)	Tiempo (sg)	Velocidad (m/sg)
0.0000	0.0000	9.5984	0.0117	19.2007	-0.0526
0.2011	-0.0007	9.7988	0.0009	19.3998	-0.0111
0.3980	-0.0027	10.0010	-0.0197	19.5998	0.0261
0.5997	-0.0050	10.2004	-0.0371	19.8008	0.0468
0.8028	-0.0069	10.3993	-0.0433	20.0020	0.0448
0.9974	-0.0085	10.5998	-0.0325		
1.2028	-0.0093	10.8013	0.0018		
1.3982	-0.0090	11.0003	0.0398		
1.5992	-0.0057	11.1994	0.0589		
1.7999	-0.0006	11.3999	0.0516		
1.9992	0.0063	11.5998	0.0206		
2.1987	0.0150	11.8017	-0.0186		
2.4010	0.0225	12.0007	-0.0431		
2.6005	0.0263	12.2017	-0.0477		
2.7982	0.0243	12.4016	-0.0394		
2.9993	0.0151	12.5998	-0.0278		
3.2003	-0.0009	12.7982	-0.0171		
3.4014	-0.0189	13.0004	-0.0005		
3.6012	-0.0324	13.1993	0.0179		
3.8020	-0.0349	13.4012	0.0240		
3.9993	-0.0222	13.6011	0.0145		
4.1982	0.0032	13.7988	-0.0022		
4.3990	0.0301	13.9997	-0.0137		
4.6019	0.0448	14.1987	-0.0103		
4.7988	0.0405	14.3997	0.0020		
4.9982	0.0223	14.6006	0.0087		
5.1998	0.0008	14.7998	0.0027		
5.3984	-0.0156	14.9997	-0.0083		
5.6006	-0.0230	15.1990	-0.0151		
5.8012	-0.0188	15.4006	-0.0225		
6.0003	-0.0059	15.5996	-0.0288		
6.1993	0.0087	15.7991	-0.0259		
6.4001	0.0174	15.9993	-0.0113		
6.5998	0.0089	16.2002	0.0124		
6.7985	-0.0126	16.4017	0.0306		
7.0004	-0.0325	16.6011	0.0300		
7.1998	-0.0334	16.7998	0.0077		
7.3995	-0.0170	16.9998	-0.0287		
7.5998	0.0032	17.1995	-0.0511		
7.7995	0.0181	17.4001	-0.0455		
7.9990	0.0249	17.5997	-0.0164		
8.2003	0.0232	17.7997	0.0207		
8.4005	0.0122	17.9992	0.0368		
8.5981	-0.0040	18.1993	0.0203		
8.8005	-0.0144	18.4000	-0.0100		
8.9988	-0.0147	18.5990	-0.0413		
9.2002	-0.0019	18.8006	-0.0697		
9.3989	0.0106	19.0012	-0.0743		

Fuente: Autores

Tabla A.10: Modelo 2 (P3) FS1P3

Tiempo (sg)	Velocidad (m/sg)	Tiempo (sg)	Velocidad (m/sg)
0.0196	0.0000	9.5997	-0.0048
0.1995	-0.0022	9.8004	0.0005
0.3946	-0.0089	9.9989	0.0121
0.6000	-0.0126	10.1992	0.0248
0.8010	-0.0126	10.4020	0.0246
0.9976	-0.0114	10.5981	0.0141
1.2020	-0.0124	10.8013	0.0193
1.3975	-0.0112	10.9990	0.0126
1.5994	-0.0026	11.1990	0.0141
1.8010	0.0200	11.4005	0.0085
1.9987	0.0179	11.6015	-0.0083
2.2012	0.0148	11.8002	-0.0112
2.4013	0.0238	12.0015	-0.0134
2.5988	0.0312	12.2018	-0.0105
2.7997	0.0304	12.4008	-0.0129
2.9992	0.0205	12.6019	-0.0112
3.2012	0.0203	12.7996	-0.0099
3.3988	0.0160	12.9988	-0.0005
3.5997	0.0042	13.2014	-0.0003
3.7982	0.0054	13.4009	0.0003
3.9977	-0.0076	13.5994	0.0043
4.1995	-0.0165	13.7987	0.0126
4.4010	-0.0099	13.9989	0.0129
4.5979	-0.0060	14.2020	0.0127
4.8017	-0.0061	14.3986	0.0122
4.9999	-0.0031	14.5996	0.0165
5.1986	0.0132	14.8001	0.0152
5.4003	0.0063	15.0005	0.0083
5.5977	0.0040	15.2007	0.0062
5.7983	0.0083	15.4015	0.0032
5.9985	0.0142	15.6019	0.0059
6.1997	0.0140	15.8002	0.0109
6.3998	0.0175	16.0005	0.0089
6.6010	0.0247	16.1208	0.0263
6.7999	0.0137		
7.0011	0.0107		
7.1983	0.0081		
7.3999	0.0064		
7.5993	-0.0017		
7.8005	-0.0108		
7.9995	-0.0038		
8.2000	0.0128		
8.3992	-0.0162		
8.5991	-0.0014		
8.7996	-0.0040		
9.0013	-0.0020		
9.1990	0.0014		
9.3994	0.0001		

Fuente: Autores

Tabla A.11: Modelo 2 (P3) FS2P3

Tiempo (sg)	Velocidad (m/sg)	Tiempo (sg)	Velocidad (m/sg)
0.0196	0.0000	9.5997	-0.0012
0.1995	-0.0012	9.8004	-0.0011
0.3946	-0.0057	9.9989	0.0005
0.6000	-0.0099	10.1992	0.0071
0.8010	-0.0129	10.4020	0.0118
0.9976	-0.0138	10.5981	0.0144
1.2020	-0.0134	10.8013	0.0213
1.3975	-0.0110	10.9990	0.0233
1.5994	-0.0059	11.1990	0.0230
1.8010	0.0034	11.4005	0.0159
1.9987	0.0085	11.6015	0.0082
2.2012	0.0157	11.8002	-0.0004
2.4013	0.0203	12.0015	-0.0089
2.5988	0.0239	12.2018	-0.0161
2.7997	0.0278	12.4008	-0.0203
2.9992	0.0258	12.6019	-0.0222
3.2012	0.0230	12.7996	-0.0192
3.3988	0.0183	12.9988	-0.0128
3.5997	0.0111	13.2014	-0.0041
3.7982	0.0045	13.4009	0.0055
3.9977	-0.0025	13.5994	0.0147
4.1995	-0.0079	13.7987	0.0211
4.4010	-0.0092	13.9989	0.0241
4.5979	-0.0080	14.2020	0.0231
4.8017	-0.0043	14.3986	0.0189
4.9999	-0.0019	14.5996	0.0123
5.1986	0.0071	14.8001	0.0046
5.4003	0.0114	15.0005	-0.0029
5.5977	0.0148	15.2007	-0.0081
5.7983	0.0164	15.4015	-0.0106
5.9985	0.0156	15.6019	-0.0075
6.1997	0.0136	15.8002	-0.0001
6.3998	0.0089	16.0005	0.0072
6.6010	0.0065	16.1208	0.0172
6.7999	0.0002		
7.0011	-0.0018		
7.1983	-0.0045		
7.3999	-0.0045		
7.5993	-0.0024		
7.8005	-0.0019		
7.9995	0.0012		
8.2000	0.0088		
8.3992	0.0061		
8.5991	0.0105		
8.7996	0.0091		
9.0013	0.0073		
9.1990	0.0043		
9.3994	0.0012		

Fuente: Autores

Tabla A.12: Modelo 2 (P3) FS3P3

Tiempo (sg)	Velocidad (m/sg)	Tiempo (sg)	Velocidad (m/sg)
0.0196	0.0000	9.5997	0.0097
0.1995	0.0000	9.8004	0.0089
0.3946	-0.0001	9.9989	0.0078
0.6000	-0.0002	10.1992	0.0069
0.8010	-0.0003	10.4020	0.0054
0.9976	-0.0005	10.5981	0.0045
1.2020	-0.0004	10.8013	0.0034
1.3975	-0.0005	10.9990	0.0035
1.5994	-0.0004	11.1990	0.0038
1.8010	-0.0001	11.4005	0.0028
1.9987	0.0009	11.6015	0.0037
2.2012	0.0014	11.8002	0.0037
2.4013	0.0029	12.0015	0.0040
2.5988	0.0044	12.2018	0.0041
2.7997	0.0063	12.4008	0.0037
2.9992	0.0083	12.6019	0.0030
3.2012	0.0108	12.7996	0.0027
3.3988	0.0126	12.9988	0.0017
3.5997	0.0137	13.2014	0.0011
3.7982	0.0152	13.4009	0.0009
3.9977	0.0155	13.5994	0.0007
4.1995	0.0156	13.7987	0.0001
4.4010	0.0149	13.9989	0.0007
4.5979	0.0136	14.2020	0.0011
4.8017	0.0118	14.3986	0.0019
4.9999	0.0093	14.5996	0.0031
5.1986	0.0072	14.8001	0.0045
5.4003	0.0039	15.0005	0.0061
5.5977	0.0016	15.2007	0.0076
5.7983	-0.0007	15.4015	0.0097
5.9985	-0.0021	15.6019	0.0099
6.1997	-0.0030	15.8002	0.0108
6.3998	-0.0036	16.0005	0.0102
6.6010	-0.0030	16.1208	0.0110
6.7999	-0.0026		
7.0011	-0.0017		
7.1983	-0.0003		
7.3999	0.0008		
7.5993	0.0026		
7.8005	0.0045		
7.9995	0.0061		
8.2000	0.0079		
8.3992	0.0084		
8.5991	0.0103		
8.7996	0.0104		
9.0013	0.0107		
9.1990	0.0107		
9.3994	0.0103		

Fuente: Autores

Tabla A.13: Modelo 2 (P3) PUNTO1P3

Tiempo (sg)	Velocidad (m/sg)	Tiempo (sg)	Velocidad (m/sg)
0.0000	0.0000	9.5997	-0.0283
0.1995	-0.0018	9.8004	-0.0263
0.3946	-0.0089	9.9989	-0.0236
0.6000	-0.0146	10.1992	-0.0127
0.8010	-0.0181	10.4020	-0.0111
0.9976	-0.0186	10.5981	-0.0184
1.2020	-0.0175	10.8013	-0.0109
1.3975	-0.0126	10.9990	-0.0165
1.5994	-0.0046	11.1990	-0.0241
1.8010	0.0123	11.4005	-0.0384
1.9987	0.0182	11.6015	-0.0506
2.2012	0.0268	11.8002	-0.0601
2.4013	0.0304	12.0015	-0.0665
2.5988	0.0314	12.2018	-0.0690
2.7997	0.0368	12.4008	-0.0719
2.9992	0.0325	12.6019	-0.0726
3.2012	0.0289	12.7996	-0.0704
3.3988	0.0220	12.9988	-0.0657
3.5997	0.0118	13.2014	-0.0599
3.7982	0.0037	13.4009	-0.0520
3.9977	-0.0063	13.5994	-0.0441
4.1995	-0.0133	13.7987	-0.0379
4.4010	-0.0128	13.9989	-0.0350
4.5979	-0.0094	14.2020	-0.0334
4.8017	-0.0032	14.3986	-0.0343
4.9999	-0.0016	14.5996	-0.0374
5.1986	0.0116	14.8001	-0.0415
5.4003	0.0127	15.0005	-0.0457
5.5977	0.0136	15.2007	-0.0490
5.7983	0.0127	15.4015	-0.0521
5.9985	0.0125	15.6019	-0.0487
6.1997	0.0141	15.8002	-0.0432
6.3998	0.0136	16.0005	-0.0389
6.6010	0.0155	16.1208	-0.0228
6.7999	0.0080		
7.0011	0.0023		
7.1983	-0.0058		
7.3999	-0.0101		
7.5993	-0.0148		
7.8005	-0.0226		
7.9995	-0.0210		
8.2000	-0.0070		
8.3992	-0.0207		
8.5991	-0.0123		
8.7996	-0.0167		
9.0013	-0.0203		
9.1990	-0.0236		
9.3994	-0.0266		

Fuente: Autores

Tabla A.14: Modelo 2 (P3) PUNTO2P3

Tiempo (sg)	Velocidad (m/sg)	Tiempo (sg)	Velocidad (m/sg)
0.0000	0.0000	9.5997	-0.0029
0.1995	-0.0014	9.8004	-0.0011
0.3946	-0.0072	9.9989	0.0018
0.6000	-0.0121	10.1992	0.0117
0.8010	-0.0152	10.4020	0.0150
0.9976	-0.0157	10.5981	0.0125
1.2020	-0.0150	10.8013	0.0201
1.3975	-0.0115	10.9990	0.0182
1.5994	-0.0050	11.1990	0.0147
1.8010	0.0083	11.4005	0.0033
1.9987	0.0133	11.6015	-0.0067
2.2012	0.0211	11.8002	-0.0156
2.4013	0.0249	12.0015	-0.0228
2.5988	0.0269	12.2018	-0.0278
2.7997	0.0318	12.4008	-0.0314
2.9992	0.0283	12.6019	-0.0340
3.2012	0.0251	12.7996	-0.0332
3.3988	0.0197	12.9988	-0.0300
3.5997	0.0112	13.2014	-0.0257
3.7982	0.0042	13.4009	-0.0199
3.9977	-0.0038	13.5994	-0.0146
4.1995	-0.0098	13.7987	-0.0117
4.4010	-0.0098	13.9989	-0.0119
4.5979	-0.0075	14.2020	-0.0148
4.8017	-0.0025	14.3986	-0.0206
4.9999	-0.0014	14.5996	-0.0290
5.1986	0.0097	14.8001	-0.0387
5.4003	0.0120	15.0005	-0.0481
5.5977	0.0138	15.2007	-0.0561
5.7983	0.0142	15.4015	-0.0628
5.9985	0.0140	15.6019	-0.0628
6.1997	0.0146	15.8002	-0.0595
6.3998	0.0126	16.0005	-0.0559
6.6010	0.0139	16.1208	-0.0428
6.7999	0.0080		
7.0011	0.0051		
7.1983	-0.0001		
7.3999	-0.0022		
7.5993	-0.0032		
7.8005	-0.0070		
7.9995	-0.0044		
8.2000	0.0076		
8.3992	-0.0002		
8.5991	0.0070		
8.7996	0.0048		
9.0013	0.0028		
9.1990	0.0004		
9.3994	-0.0017		

Fuente: Autores

Tabla A.15: Modelo 2 (P3) PUNTO3P3

Tiempo (sg)	Velocidad (m/sg)	Tiempo (sg)	Velocidad (m/sg)
0.0000	0.0000	9.5997	-0.0044
0.1995	-0.0011	9.8004	-0.0059
0.3946	-0.0060	9.9989	-0.0049
0.6000	-0.0102	10.1992	0.0012
0.8010	-0.0131	10.4020	0.0078
0.9976	-0.0139	10.5981	0.0133
1.2020	-0.0131	10.8013	0.0212
1.3975	-0.0105	10.9990	0.0232
1.5994	-0.0058	11.1990	0.0219
1.8010	0.0019	11.4005	0.0146
1.9987	0.0072	11.6015	0.0049
2.2012	0.0141	11.8002	-0.0057
2.4013	0.0193	12.0015	-0.0157
2.5988	0.0230	12.2018	-0.0232
2.7997	0.0262	12.4008	-0.0270
2.9992	0.0246	12.6019	-0.0276
3.2012	0.0213	12.7996	-0.0245
3.3988	0.0163	12.9988	-0.0188
3.5997	0.0090	13.2014	-0.0113
3.7982	0.0018	13.4009	-0.0026
3.9977	-0.0052	13.5994	0.0057
4.1995	-0.0109	13.7987	0.0121
4.4010	-0.0130	13.9989	0.0154
4.5979	-0.0122	14.2020	0.0151
4.8017	-0.0083	14.3986	0.0109
4.9999	-0.0041	14.5996	0.0029
5.1986	0.0050	14.8001	-0.0073
5.4003	0.0111	15.0005	-0.0176
5.5977	0.0154	15.2007	-0.0255
5.7983	0.0170	15.4015	-0.0294
5.9985	0.0154	15.6019	-0.0265
6.1997	0.0118	15.8002	-0.0192
6.3998	0.0063	16.0005	-0.0094
6.6010	0.0024	16.1208	0.0007
6.7999	-0.0026		
7.0011	-0.0049		
7.1983	-0.0069		
7.3999	-0.0068		
7.5993	-0.0052		
7.8005	-0.0044		
7.9995	-0.0015		
8.2000	0.0045		
8.3992	0.0039		
8.5991	0.0080		
8.7996	0.0083		
9.0013	0.0070		
9.1990	0.0037		
9.3994	-0.0005		

Fuente: Autores

Tabla A.16: Modelo 2 (P3) PUNTO4P3

Tiempo (sg)	Velocidad (m/sg)	Tiempo (sg)	Velocidad (m/sg)
0.0000	0.0000	9.5997	0.0008
0.1995	-0.0004	9.8004	0.0015
0.3946	-0.0021	9.9989	0.0020
0.6000	-0.0038	10.1992	0.0031
0.8010	-0.0054	10.4020	0.0038
0.9976	-0.0064	10.5981	0.0047
1.2020	-0.0069	10.8013	0.0072
1.3975	-0.0065	10.9990	0.0102
1.5994	-0.0047	11.1990	0.0130
1.8010	-0.0013	11.4005	0.0125
1.9987	0.0024	11.6015	0.0106
2.2012	0.0066	11.8002	0.0061
2.4013	0.0102	12.0015	-0.0004
2.5988	0.0132	12.2018	-0.0080
2.7997	0.0149	12.4008	-0.0138
2.9992	0.0143	12.6019	-0.0179
3.2012	0.0129	12.7996	-0.0174
3.3988	0.0104	12.9988	-0.0125
3.5997	0.0070	13.2014	-0.0042
3.7982	0.0040	13.4009	0.0052
3.9977	0.0011	13.5994	0.0133
4.1995	-0.0012	13.7987	0.0178
4.4010	-0.0026	13.9989	0.0180
4.5979	-0.0029	14.2020	0.0137
4.8017	-0.0021	14.3986	0.0073
4.9999	-0.0008	14.5996	0.0009
5.1986	0.0027	14.8001	-0.0042
5.4003	0.0058	15.0005	-0.0070
5.5977	0.0087	15.2007	-0.0074
5.7983	0.0104	15.4015	-0.0058
5.9985	0.0103	15.6019	-0.0032
6.1997	0.0083	15.8002	0.0002
6.3998	0.0044	16.0005	0.0033
6.6010	0.0009	16.1208	0.0062
6.7999	-0.0042		
7.0011	-0.0064		
7.1983	-0.0077		
7.3999	-0.0067		
7.5993	-0.0030		
7.8005	0.0014		
7.9995	0.0054		
8.2000	0.0092		
8.3992	0.0092		
8.5991	0.0086		
8.7996	0.0059		
9.0013	0.0033		
9.1990	0.0012		
9.3994	0.0005		

Fuente: Autores

Tabla A.17: Modelo 3 (P4) FS1P4

Tiempo (sg)	Velocidad (m/sg)	Tiempo (sg)	Velocidad (m/sg)	Tiempo (sg)	Velocidad (m/sg)
0.0196	0.0000	9.5994	0.0005	19.1988	0.0179
0.2011	-0.0031	9.7983	-0.0053	19.4007	0.0095
0.3978	-0.0110	10.0009	0.0056	19.5997	-0.0046
0.5977	-0.0146	10.2010	-0.0029	19.7991	-0.0125
0.7967	-0.0126	10.3979	-0.0127	20.0004	-0.0123
1.0027	-0.0080	10.6009	-0.0091		
1.2028	-0.0052	10.7975	-0.0072		
1.4009	-0.0019	11.0011	0.0003		
1.5987	0.0066	11.1989	0.0145		
1.7994	0.0289	11.4000	0.0207		
2.0011	0.0286	11.6012	0.0269		
2.1988	0.0262	11.8001	0.0267		
2.4011	0.0177	12.0015	0.0176		
2.6008	0.0132	12.1997	0.0114		
2.8026	0.0009	12.3996	0.0096		
3.0020	-0.0098	12.6000	-0.0251		
3.1990	-0.0061	12.8000	-0.0061		
3.3988	-0.0077	13.0003	-0.0072		
3.6024	-0.0030	13.2001	-0.0024		
3.7994	-0.0045	13.4002	-0.0205		
4.0020	0.0087	13.5984	-0.0157		
4.2019	0.0141	13.8018	-0.0171		
4.3986	0.0151	14.0018	-0.0077		
4.5995	0.0191	14.2008	0.0028		
4.7995	0.0094	14.4005	0.0021		
5.0012	0.0197	14.6009	0.0112		
5.1998	0.0271	14.8012	0.0196		
5.3998	0.0154	15.0011	0.0275		
5.5988	0.0115	15.2007	0.0136		
5.7981	0.0036	15.3995	0.0140		
6.0011	0.0016	15.5999	0.0312		
6.2013	0.0053	15.8000	0.0079		
6.3987	-0.0009	16.0001	0.0227		
6.5991	-0.0078	16.1984	-0.0117		
6.7988	-0.0132	16.4000	-0.0139		
6.9991	-0.0149	16.5998	-0.0078		
7.1992	-0.0148	16.7993	0.0551		
7.3994	-0.0109	17.0010	-0.0183		
7.6018	-0.0025	17.2004	-0.0250		
7.8018	0.0035	17.3988	-0.0129		
8.0021	0.0096	17.5998	0.0012		
8.2024	0.0177	17.8003	0.0066		
8.4008	0.0264	17.9997	0.0041		
8.6025	0.0239	18.1996	0.0123		
8.8001	0.0219	18.3988	0.0147		
8.9972	0.0162	18.5986	0.0115		
9.1973	0.0068	18.7996	0.0089		
9.4010	0.0065	19.0019	0.0052		

Fuente: Autores

Tabla A.18: Modelo 3 (P4) FS2P4

Tiempo (sg)	Velocidad (m/sg)	Tiempo (sg)	Velocidad (m/sg)	Tiempo (sg)	Velocidad (m/sg)
0.0196	0.0000	9.5994	-0.0132	19.1988	-0.0060
0.2011	-0.0018	9.7983	-0.0102	19.4007	-0.0141
0.3978	-0.0074	10.0009	-0.0007	19.5997	-0.0182
0.5977	-0.0125	10.2010	0.0073	19.7991	-0.0218
0.7967	-0.0155	10.3979	0.0150	20.0004	-0.0192
1.0027	-0.0167	10.6009	0.0213		
1.2028	-0.0143	10.7975	0.0220		
1.4009	-0.0088	11.0011	0.0175		
1.5987	-0.0016	11.1989	0.0132		
1.7994	0.0093	11.4000	0.0076		
2.0011	0.0162	11.6012	0.0043		
2.1988	0.0258	11.8001	0.0020		
2.4011	0.0298	12.0015	0.0008		
2.6008	0.0288	12.1997	0.0022		
2.8026	0.0245	12.3996	0.0067		
3.0020	0.0167	12.6000	0.0029		
3.1990	0.0064	12.8000	0.0078		
3.3988	-0.0053	13.0003	0.0060		
3.6024	-0.0139	13.2001	0.0059		
3.7994	-0.0203	13.4002	-0.0015		
4.0020	-0.0180	13.5984	-0.0030		
4.2019	-0.0117	13.8018	-0.0083		
4.3986	0.0004	14.0018	-0.0130		
4.5995	0.0163	14.2008	-0.0169		
4.7995	0.0277	14.4005	-0.0169		
5.0012	0.0384	14.6009	-0.0103		
5.1998	0.0433	14.8012	0.0013		
5.3998	0.0412	15.0011	0.0171		
5.5988	0.0335	15.2007	0.0257		
5.7981	0.0187	15.3995	0.0338		
6.0011	0.0022	15.5999	0.0420		
6.2013	-0.0127	15.8000	0.0319		
6.3987	-0.0275	16.0001	0.0263		
6.5991	-0.0365	16.1984	0.0090		
6.7988	-0.0354	16.4000	-0.0028		
6.9991	-0.0308	16.5998	-0.0153		
7.1992	-0.0192	16.7993	-0.0100		
7.3994	-0.0033	17.0010	-0.0246		
7.6018	0.0133	17.2004	-0.0184		
7.8018	0.0269	17.3988	-0.0112		
8.0021	0.0335	17.5998	-0.0052		
8.2024	0.0344	17.8003	0.0096		
8.4008	0.0284	17.9997	0.0207		
8.6025	0.0180	18.1996	0.0278		
8.8001	0.0086	18.3988	0.0294		
8.9972	-0.0006	18.5986	0.0253		
9.1973	-0.0070	18.7996	0.0154		
9.4010	-0.0104	19.0019	0.0047		

Fuente: Autores

Tabla A.19: Modelo 3 (P4) FS3P4

Tiempo (sg)	Velocidad (m/sg)	Tiempo (sg)	Velocidad (m/sg)	Tiempo (sg)	Velocidad (m/sg)
0.0196	0.0000	9.5994	0.0100	19.1988	-0.0026
0.2011	-0.0001	9.7983	0.0111	19.4007	-0.0017
0.3978	-0.0003	10.0009	0.0126	19.5997	-0.0007
0.5977	-0.0006	10.2010	0.0122	19.7991	0.0001
0.7967	-0.0008	10.3979	0.0123	20.0004	0.0003
1.0027	-0.0010	10.6009	0.0113		
1.2028	-0.0012	10.7975	0.0103		
1.4009	-0.0011	11.0011	0.0091		
1.5987	-0.0009	11.1989	0.0081		
1.7994	-0.0002	11.4000	0.0074		
2.0011	0.0002	11.6012	0.0065		
2.1988	0.0023	11.8001	0.0051		
2.4011	0.0039	12.0015	0.0035		
2.6008	0.0061	12.1997	0.0030		
2.8026	0.0081	12.3996	0.0027		
3.0020	0.0101	12.6000	0.0019		
3.1990	0.0118	12.8000	0.0023		
3.3988	0.0131	13.0003	0.0022		
3.6024	0.0135	13.2001	0.0020		
3.7994	0.0136	13.4002	0.0015		
4.0020	0.0127	13.5984	0.0013		
4.2019	0.0122	13.8018	0.0006		
4.3986	0.0107	14.0018	0.0010		
4.5995	0.0090	14.2008	0.0010		
4.7995	0.0074	14.4005	0.0012		
5.0012	0.0060	14.6009	0.0019		
5.1998	0.0048	14.8012	0.0019		
5.3998	0.0047	15.0011	0.0022		
5.5988	0.0046	15.2007	0.0028		
5.7981	0.0039	15.3995	0.0037		
6.0011	0.0036	15.5999	0.0060		
6.2013	0.0038	15.8000	0.0075		
6.3987	0.0043	16.0001	0.0099		
6.5991	0.0042	16.1984	0.0113		
6.7988	0.0031	16.4000	0.0126		
6.9991	0.0031	16.5998	0.0129		
7.1992	0.0016	16.7993	0.0137		
7.3994	0.0005	17.0010	0.0114		
7.6018	-0.0009	17.2004	0.0118		
7.8018	-0.0017	17.3988	0.0098		
8.0021	-0.0018	17.5998	0.0080		
8.2024	-0.0007	17.8003	0.0056		
8.4008	0.0006	17.9997	0.0042		
8.6025	0.0012	18.1996	0.0022		
8.8001	0.0025	18.3988	0.0004		
8.9972	0.0045	18.5986	-0.0003		
9.1973	0.0063	18.7996	-0.0019		
9.4010	0.0079	19.0019	-0.0024		

Fuente: Autores

Tabla A.20: Modelo 3 (P4) PUNTO1P4

Tiempo (sg)	Velocidad (m/sg)	Tiempo (sg)	Velocidad (m/sg)	Tiempo (sg)	Velocidad (m/sg)
0.0000	0.0000	9.5994	-0.0227	19.1988	-0.2106
0.2011	-0.0026	9.7983	-0.0241	19.4007	-0.2235
0.3978	-0.0099	10.0009	-0.0155	19.5997	-0.2339
0.5977	-0.0154	10.2010	-0.0144	19.7991	-0.2475
0.7967	-0.0169	10.3979	-0.0178	20.0004	-0.2517
1.0027	-0.0159	10.6009	-0.0166		
1.2028	-0.0110	10.7975	-0.0193		
1.4009	-0.0038	11.0011	-0.0219		
1.5987	0.0059	11.1989	-0.0173		
1.7994	0.0201	11.4000	-0.0137		
2.0011	0.0230	11.6012	-0.0114		
2.1988	0.0324	11.8001	-0.0198		
2.4011	0.0317	12.0015	-0.0332		
2.6008	0.0258	12.1997	-0.0445		
2.8026	0.0176	12.3996	-0.0481		
3.0020	0.0089	12.6000	-0.0705		
3.1990	0.0026	12.8000	-0.0655		
3.3988	-0.0030	13.0003	-0.0752		
3.6024	-0.0011	13.2001	-0.0795		
3.7994	-0.0008	13.4002	-0.1045		
4.0020	0.0063	13.5984	-0.1115		
4.2019	0.0114	13.8018	-0.1219		
4.3986	0.0194	14.0018	-0.1295		
4.5995	0.0302	14.2008	-0.1355		
4.7995	0.0317	14.4005	-0.1389		
5.0012	0.0395	14.6009	-0.1378		
5.1998	0.0433	14.8012	-0.1351		
5.3998	0.0388	15.0011	-0.1286		
5.5988	0.0342	15.2007	-0.1376		
5.7981	0.0196	15.3995	-0.1400		
6.0011	0.0059	15.5999	-0.1299		
6.2013	-0.0028	15.8000	-0.1552		
6.3987	-0.0159	16.0001	-0.1548		
6.5991	-0.0240	16.1984	-0.1797		
6.7988	-0.0243	16.4000	-0.1891		
6.9991	-0.0241	16.5998	-0.1978		
7.1992	-0.0210	16.7993	-0.1712		
7.3994	-0.0129	17.0010	-0.2061		
7.6018	-0.0015	17.2004	-0.1994		
7.8018	0.0101	17.3988	-0.1960		
8.0021	0.0174	17.5998	-0.2006		
8.2024	0.0229	17.8003	-0.1888		
8.4008	0.0228	17.9997	-0.1822		
8.6025	0.0151	18.1996	-0.1774		
8.8001	0.0067	18.3988	-0.1756		
8.9972	-0.0045	18.5986	-0.1777		
9.1973	-0.0124	18.7996	-0.1868		
9.4010	-0.0167	19.0019	-0.1976		

Fuente: Autores

Tabla A.21: Modelo 3 (P4) PUNTO2P4

Tiempo (sg)	Velocidad (m/sg)	Tiempo (sg)	Velocidad (m/sg)	Tiempo (sg)	Velocidad (m/sg)
0.0000	0.0000	9.5994	-0.0076	19.1988	-0.2044
0.2011	-0.0022	9.7983	-0.0063	19.4007	-0.2102
0.3978	-0.0085	10.0009	0.0029	19.5997	-0.2129
0.5977	-0.0137	10.2010	0.0068	19.7991	-0.2171
0.7967	-0.0156	10.3979	0.0081	20.0004	-0.2129
1.0027	-0.0155	10.6009	0.0113		
1.2028	-0.0115	10.7975	0.0106		
1.4009	-0.0052	11.0011	0.0081		
1.5987	0.0028	11.1989	0.0101		
1.7994	0.0148	11.4000	0.0113		
2.0011	0.0185	11.6012	0.0128		
2.1988	0.0276	11.8001	0.0089		
2.4011	0.0289	12.0015	0.0027		
2.6008	0.0251	12.1997	-0.0015		
2.8026	0.0188	12.3996	0.0002		
3.0020	0.0106	12.6000	-0.0112		
3.1990	0.0029	12.8000	-0.0029		
3.3988	-0.0045	13.0003	-0.0051		
3.6024	-0.0064	13.2001	-0.0034		
3.7994	-0.0091	13.4002	-0.0175		
4.0020	-0.0042	13.5984	-0.0188		
4.2019	0.0002	13.8018	-0.0242		
4.3986	0.0087	14.0018	-0.0280		
4.5995	0.0207	14.2008	-0.0306		
4.7995	0.0259	14.4005	-0.0304		
5.0012	0.0348	14.6009	-0.0260		
5.1998	0.0393	14.8012	-0.0207		
5.3998	0.0367	15.0011	-0.0138		
5.5988	0.0320	15.2007	-0.0214		
5.7981	0.0190	15.3995	-0.0288		
6.0011	0.0060	15.5999	-0.0323		
6.2013	-0.0032	15.8000	-0.0642		
6.3987	-0.0153	16.0001	-0.0821		
6.5991	-0.0225	16.1984	-0.1181		
6.7988	-0.0208	16.4000	-0.1425		
6.9991	-0.0192	16.5998	-0.1658		
7.1992	-0.0132	16.7993	-0.1608		
7.3994	-0.0027	17.0010	-0.1967		
7.6018	0.0098	17.2004	-0.1974		
7.8018	0.0219	17.3988	-0.1981		
8.0021	0.0289	17.5998	-0.2032		
8.2024	0.0339	17.8003	-0.1940		
8.4008	0.0329	17.9997	-0.1888		
8.6025	0.0252	18.1996	-0.1853		
8.8001	0.0170	18.3988	-0.1840		
8.9972	0.0068	18.5986	-0.1853		
9.1973	-0.0001	18.7996	-0.1914		
9.4010	-0.0034	19.0019	-0.1974		

Fuente: Autores

Tabla A.22: Modelo 3 (P4) PUNTO3P4

Tiempo (sg)	Velocidad (m/sg)	Tiempo (sg)	Velocidad (m/sg)	Tiempo (sg)	Velocidad (m/sg)
0.0000	0.0000	9.5994	-0.0279	19.1988	-0.1182
0.2011	-0.0021	9.7983	-0.0246	19.4007	-0.1307
0.3978	-0.0094	10.0009	-0.0143	19.5997	-0.1412
0.5977	-0.0157	10.2010	-0.0060	19.7991	-0.1494
0.7967	-0.0193	10.3979	0.0010	20.0004	-0.1490
1.0027	-0.0200	10.6009	0.0068		
1.2028	-0.0165	10.7975	0.0069		
1.4009	-0.0097	11.0011	0.0014		
1.5987	-0.0006	11.1989	-0.0047		
1.7994	0.0112	11.4000	-0.0113		
2.0011	0.0191	11.6012	-0.0156		
2.1988	0.0284	11.8001	-0.0183		
2.4011	0.0319	12.0015	-0.0195		
2.6008	0.0306	12.1997	-0.0197		
2.8026	0.0249	12.3996	-0.0180		
3.0020	0.0141	12.6000	-0.0240		
3.1990	0.0005	12.8000	-0.0210		
3.3988	-0.0140	13.0003	-0.0232		
3.6024	-0.0235	13.2001	-0.0241		
3.7994	-0.0286	13.4002	-0.0329		
4.0020	-0.0247	13.5984	-0.0373		
4.2019	-0.0158	13.8018	-0.0453		
4.3986	-0.0023	14.0018	-0.0530		
4.5995	0.0138	14.2008	-0.0585		
4.7995	0.0256	14.4005	-0.0597		
5.0012	0.0372	14.6009	-0.0546		
5.1998	0.0428	14.8012	-0.0446		
5.3998	0.0399	15.0011	-0.0309		
5.5988	0.0313	15.2007	-0.0242		
5.7981	0.0147	15.3995	-0.0189		
6.0011	-0.0049	15.5999	-0.0167		
6.2013	-0.0230	15.8000	-0.0316		
6.3987	-0.0401	16.0001	-0.0460		
6.5991	-0.0503	16.1984	-0.0718		
6.7988	-0.0504	16.4000	-0.0925		
6.9991	-0.0441	16.5998	-0.1098		
7.1992	-0.0311	16.7993	-0.1090		
7.3994	-0.0133	17.0010	-0.1228		
7.6018	0.0059	17.2004	-0.1165		
7.8018	0.0215	17.3988	-0.1094		
8.0021	0.0295	17.5998	-0.1049		
8.2024	0.0306	17.8003	-0.0957		
8.4008	0.0246	17.9997	-0.0901		
8.6025	0.0128	18.1996	-0.0870		
8.8001	0.0002	18.3988	-0.0866		
8.9972	-0.0122	18.5986	-0.0894		
9.1973	-0.0212	18.7996	-0.0967		
9.4010	-0.0259	19.0019	-0.1064		

Fuente: Autores

Tabla A.23: Modelo 3 (P4) PUNTO4P4

Tiempo (sg)	Velocidad (m/sg)	Tiempo (sg)	Velocidad (m/sg)	Tiempo (sg)	Velocidad (m/sg)
0.0000	0.0000	9.5994	-0.0129	19.1988	-0.0281
0.2011	-0.0007	9.7983	-0.0073	19.4007	-0.0341
0.3978	-0.0027	10.0009	0.0012	19.5997	-0.0349
0.5977	-0.0048	10.2010	0.0083	19.7991	-0.0315
0.7967	-0.0067	10.3979	0.0140	20.0004	-0.0251
1.0027	-0.0083	10.6009	0.0164		
1.2028	-0.0087	10.7975	0.0159		
1.4009	-0.0073	11.0011	0.0125		
1.5987	-0.0051	11.1989	0.0076		
1.7994	-0.0004	11.4000	0.0015		
2.0011	0.0052	11.6012	-0.0040		
2.1988	0.0123	11.8001	-0.0082		
2.4011	0.0180	12.0015	-0.0095		
2.6008	0.0208	12.1997	-0.0072		
2.8026	0.0200	12.3996	-0.0015		
3.0020	0.0154	12.6000	0.0042		
3.1990	0.0080	12.8000	0.0102		
3.3988	-0.0004	13.0003	0.0112		
3.6024	-0.0084	13.2001	0.0074		
3.7994	-0.0143	13.4002	-0.0002		
4.0020	-0.0158	13.5984	-0.0077		
4.2019	-0.0134	13.8018	-0.0147		
4.3986	-0.0064	14.0018	-0.0177		
4.5995	0.0044	14.2008	-0.0160		
4.7995	0.0161	14.4005	-0.0114		
5.0012	0.0270	14.6009	-0.0058		
5.1998	0.0331	14.8012	-0.0018		
5.3998	0.0323	15.0011	0.0016		
5.5988	0.0246	15.2007	0.0043		
5.7981	0.0115	15.3995	0.0087		
6.0011	-0.0034	15.5999	0.0149		
6.2013	-0.0160	15.8000	0.0167		
6.3987	-0.0241	16.0001	0.0164		
6.5991	-0.0261	16.1984	0.0096		
6.7988	-0.0216	16.4000	-0.0004		
6.9991	-0.0152	16.5998	-0.0131		
7.1992	-0.0076	16.7993	-0.0218		
7.3994	0.0001	17.0010	-0.0297		
7.6018	0.0074	17.2004	-0.0281		
7.8018	0.0139	17.3988	-0.0214		
8.0021	0.0186	17.5998	-0.0124		
8.2024	0.0206	17.8003	-0.0011		
8.4008	0.0184	17.9997	0.0081		
8.6025	0.0120	18.1996	0.0129		
8.8001	0.0038	18.3988	0.0120		
8.9972	-0.0050	18.5986	0.0049		
9.1973	-0.0116	18.7996	-0.0063		
9.4010	-0.0142	19.0019	-0.0180		

Fuente: Autores

Tabla A.24: Modelo 4 (P5) FS1P5

Tiempo (sg)	Velocidad (m/sg)	Tiempo (sg)	Velocidad (m/sg)	Tiempo (sg)	Velocidad (m/sg)
0.0196	0.0000	9.5993	-0.0144	19.2010	-0.0263
0.2011	-0.0031	9.7989	-0.0222	19.3999	-0.0064
0.3948	-0.0108	9.9986	-0.0141	19.5994	0.0047
0.5958	-0.0143	10.1999	-0.0003	19.8008	0.0335
0.8025	-0.0128	10.3990	0.0279	20.0015	0.0406
0.9989	-0.0088	10.6009	0.0378		
1.1999	-0.0068	10.8008	0.0423		
1.3982	-0.0044	10.9981	0.0458		
1.6013	0.0167	11.1987	0.0361		
1.8010	0.0537	11.4015	0.0249		
2.0004	0.0365	11.6015	-0.0019		
2.1997	0.0227	11.7995	-0.0215		
2.4000	0.0160	11.9992	-0.0327		
2.5995	0.0124	12.2000	-0.0361		
2.8004	-0.0002	12.4002	-0.0427		
2.9996	-0.0040	12.6004	-0.0496		
3.2025	-0.0177	12.7994	-0.0424		
3.3984	-0.0092	12.9997	-0.0227		
3.6024	-0.0056	13.2006	-0.0037		
3.7997	0.0062	13.3981	0.0157		
3.9988	0.0025	13.6010	0.0391		
4.1983	0.0097	13.8009	0.0545		
4.4022	0.0192	14.0022	0.0613		
4.5980	0.0173	14.1981	0.0573		
4.8013	0.0181	14.3994	0.0497		
5.0019	0.0238	14.5997	0.0342		
5.1990	0.0172	14.8003	0.0165		
5.4016	-0.0004	14.9984	-0.0077		
5.6003	-0.0053	15.1992	-0.0050		
5.8022	-0.0095	15.4008	-0.0525		
6.0001	-0.0043	15.5987	-0.0364		
6.1999	0.0058	15.7994	-0.0494		
6.4003	0.0236	16.0006	-0.0463		
6.5995	0.0273	16.2009	-0.0271		
6.8005	0.0247	16.4019	-0.0064		
7.0001	0.0402	16.6002	0.0068		
7.2005	0.0427	16.7986	0.0205		
7.4001	0.0128	16.9987	0.0362		
7.5997	0.0003	17.2007	0.0515		
7.8000	-0.0015	17.3988	0.0593		
7.9996	-0.0067	17.5990	0.0604		
8.2000	-0.0121	17.7991	0.0378		
8.4000	-0.0333	18.0007	0.0142		
8.5999	-0.0081	18.2003	-0.0126		
8.8004	-0.0014	18.3991	-0.0286		
9.0017	-0.0435	18.5993	-0.0410		
9.1992	-0.0701	18.7991	-0.0440		
9.4004	-0.0513	18.9989	-0.0013		

Fuente: Autores

Tabla A.25: Modelo 4 (P5) FS2P5

Tiempo (sg)	Velocidad (m/sg)	Tiempo (sg)	Velocidad (m/sg)	Tiempo (sg)	Velocidad (m/sg)
0.0196	0.0000	9.5993	-0.0732	19.2010	-0.0465
0.2011	-0.0015	9.7989	-0.0569	19.3999	-0.0205
0.3948	-0.0066	9.9986	-0.0220	19.5994	0.0080
0.5958	-0.0116	10.1999	0.0142	19.8008	0.0393
0.8025	-0.0152	10.3990	0.0380	20.0015	0.0601
0.9989	-0.0163	10.6009	0.0565		
1.1999	-0.0154	10.8008	0.0672		
1.3982	-0.0107	10.9981	0.0637		
1.6013	-0.0023	11.1987	0.0531		
1.8010	0.0141	11.4015	0.0333		
2.0004	0.0195	11.6015	0.0114		
2.1997	0.0264	11.7995	-0.0171		
2.4000	0.0313	11.9992	-0.0458		
2.5995	0.0289	12.2000	-0.0632		
2.8004	0.0277	12.4002	-0.0731		
2.9996	0.0207	12.6004	-0.0714		
3.2025	0.0083	12.7994	-0.0564		
3.3984	-0.0048	12.9997	-0.0321		
3.6024	-0.0159	13.2006	-0.0053		
3.7997	-0.0218	13.3981	0.0267		
3.9988	-0.0229	13.6010	0.0595		
4.1983	-0.0169	13.8009	0.0812		
4.4022	-0.0051	14.0022	0.0846		
4.5980	0.0097	14.1981	0.0787		
4.8013	0.0250	14.3994	0.0642		
5.0019	0.0376	14.5997	0.0417		
5.1990	0.0440	14.8003	0.0168		
5.4016	0.0417	14.9984	-0.0072		
5.6003	0.0338	15.1992	-0.0282		
5.8022	0.0186	15.4008	-0.0585		
6.0001	0.0004	15.5987	-0.0733		
6.1999	-0.0177	15.7994	-0.0786		
6.4003	-0.0273	16.0006	-0.0612		
6.5995	-0.0338	16.2009	-0.0311		
6.8005	-0.0289	16.4019	-0.0005		
7.0001	-0.0135	16.6002	0.0248		
7.2005	0.0073	16.7986	0.0444		
7.4001	0.0312	16.9987	0.0591		
7.5997	0.0504	17.2007	0.0652		
7.8000	0.0596	17.3988	0.0599		
7.9996	0.0550	17.5990	0.0503		
8.2000	0.0381	17.7991	0.0341		
8.4000	0.0136	18.0007	0.0161		
8.5999	-0.0017	18.2003	-0.0081		
8.8004	-0.0240	18.3991	-0.0344		
9.0017	-0.0441	18.5993	-0.0517		
9.1992	-0.0602	18.7991	-0.0595		
9.4004	-0.0691	18.9989	-0.0519		

Fuente: Autores

Tabla A.26: Modelo 4 (P5) FS3P5

Tiempo (sg)	Velocidad (m/sg)	Tiempo (sg)	Velocidad (m/sg)	Tiempo (sg)	Velocidad (m/sg)
0.0196	0.0000	9.5993	0.0046	19.2010	0.0137
0.2011	0.0000	9.7989	0.0024	19.3999	0.0124
0.3948	-0.0003	9.9986	-0.0023	19.5994	0.0107
0.5958	-0.0006	10.1999	-0.0092	19.8008	0.0078
0.8025	-0.0006	10.3990	-0.0106	20.0015	0.0052
0.9989	-0.0008	10.6009	-0.0142		
1.1999	-0.0009	10.8008	-0.0135		
1.3982	-0.0009	10.9981	-0.0126		
1.6013	-0.0006	11.1987	-0.0106		
1.8010	0.0005	11.4015	-0.0045		
2.0004	0.0004	11.6015	0.0019		
2.1997	0.0025	11.7995	0.0028		
2.4000	0.0041	11.9992	0.0013		
2.5995	0.0063	12.2000	0.0057		
2.8004	0.0084	12.4002	0.0144		
2.9996	0.0107	12.6004	0.0173		
3.2025	0.0123	12.7994	0.0135		
3.3984	0.0139	12.9997	0.0071		
3.6024	0.0144	13.2006	0.0046		
3.7997	0.0141	13.3981	0.0062		
3.9988	0.0140	13.6010	0.0062		
4.1983	0.0127	13.8009	0.0003		
4.4022	0.0107	14.0022	0.0003		
4.5980	0.0086	14.1981	0.0042		
4.8013	0.0067	14.3994	0.0048		
5.0019	0.0052	14.5997	0.0052		
5.1990	0.0041	14.8003	0.0067		
5.4016	0.0033	14.9984	0.0085		
5.6003	0.0028	15.1992	0.0142		
5.8022	0.0015	15.4008	0.0152		
6.0001	0.0009	15.5987	0.0141		
6.1999	0.0012	15.7994	0.0115		
6.4003	0.0021	16.0006	0.0105		
6.5995	0.0026	16.2009	0.0054		
6.8005	0.0028	16.4019	0.0015		
7.0001	0.0032	16.6002	-0.0018		
7.2005	0.0036	16.7986	-0.0075		
7.4001	0.0043	16.9987	-0.0093		
7.5997	0.0051	17.2007	-0.0081		
7.8000	0.0069	17.3988	-0.0066		
7.9996	0.0095	17.5990	-0.0045		
8.2000	0.0109	17.7991	-0.0026		
8.4000	0.0116	18.0007	-0.0010		
8.5999	0.0130	18.2003	0.0026		
8.8004	0.0123	18.3991	0.0064		
9.0017	0.0112	18.5993	0.0101		
9.1992	0.0115	18.7991	0.0122		
9.4004	0.0083	18.9989	0.0143		

Fuente: Autores

Tabla A.27: Modelo 4 (P5) PUNTO1P5

Tiempo (sg)	Velocidad (m/sg)	Tiempo (sg)	Velocidad (m/sg)	Tiempo (sg)	Velocidad (m/sg)
0.0000	0.0000	9.5993	-0.1954	19.2010	-0.1459
0.2011	-0.0024	9.7989	-0.2029	19.3999	-0.1243
0.3948	-0.0101	9.9986	-0.1834	19.5994	-0.1084
0.5958	-0.0158	10.1999	-0.1535	19.8008	-0.0776
0.8025	-0.0181	10.3990	-0.1234	20.0015	-0.0572
0.9989	-0.0170	10.6009	-0.0926		
1.1999	-0.0134	10.8008	-0.0747		
1.3982	-0.0058	10.9981	-0.0650		
1.6013	0.0075	11.1987	-0.0669		
1.8010	0.0343	11.4015	-0.0807		
2.0004	0.0346	11.6015	-0.0998		
2.1997	0.0343	11.7995	-0.1220		
2.4000	0.0343	11.9992	-0.1444		
2.5995	0.0237	12.2000	-0.1558		
2.8004	0.0200	12.4002	-0.1629		
2.9996	0.0131	12.6004	-0.1608		
3.2025	0.0032	12.7994	-0.1462		
3.3984	-0.0044	12.9997	-0.1222		
3.6024	-0.0089	13.2006	-0.0940		
3.7997	-0.0083	13.3981	-0.0636		
3.9988	-0.0075	13.6010	-0.0349		
4.1983	-0.0007	13.8009	-0.0139		
4.4022	0.0089	14.0022	-0.0029		
4.5980	0.0198	14.1981	-0.0036		
4.8013	0.0300	14.3994	-0.0141		
5.0019	0.0383	14.5997	-0.0354		
5.1990	0.0393	14.8003	-0.0626		
5.4016	0.0289	14.9984	-0.0910		
5.6003	0.0220	15.1992	-0.1100		
5.8022	0.0082	15.4008	-0.1500		
6.0001	-0.0054	15.5987	-0.1516		
6.1999	-0.0165	15.7994	-0.1518		
6.4003	-0.0148	16.0006	-0.1384		
6.5995	-0.0133	16.2009	-0.1175		
6.8005	-0.0066	16.4019	-0.0918		
7.0001	0.0044	16.6002	-0.0648		
7.2005	0.0119	16.7986	-0.0407		
7.4001	0.0197	16.9987	-0.0204		
7.5997	0.0218	17.2007	-0.0112		
7.8000	0.0158	17.3988	-0.0117		
7.9996	0.0020	17.5990	-0.0197		
8.2000	-0.0148	17.7991	-0.0452		
8.4000	-0.0392	18.0007	-0.0746		
8.5999	-0.0445	18.2003	-0.1049		
8.8004	-0.0709	18.3991	-0.1329		
9.0017	-0.1119	18.5993	-0.1523		
9.1992	-0.1526	18.7991	-0.1583		
9.4004	-0.1711	18.9989	-0.1387		

Fuente: Autores

Tabla A.28: Modelo 4 (P5) PUNTO2P5

Tiempo (sg)	Velocidad (m/sg)	Tiempo (sg)	Velocidad (m/sg)	Tiempo (sg)	Velocidad (m/sg)
0.0000	0.0000	9.5993	-0.1424	19.2010	-0.1184
0.2011	-0.0023	9.7989	-0.1533	19.3999	-0.0930
0.3948	-0.0096	9.9986	-0.1450	19.5994	-0.0699
0.5958	-0.0155	10.1999	-0.1271	19.8008	-0.0358
0.8025	-0.0182	10.3990	-0.1065	20.0015	-0.0120
0.9989	-0.0176	10.6009	-0.0825		
1.1999	-0.0150	10.8008	-0.0686		
1.3982	-0.0081	10.9981	-0.0651		
1.6013	0.0035	11.1987	-0.0673		
1.8010	0.0274	11.4015	-0.0802		
2.0004	0.0292	11.6015	-0.0952		
2.1997	0.0321	11.7995	-0.1138		
2.4000	0.0346	11.9992	-0.1327		
2.5995	0.0264	12.2000	-0.1426		
2.8004	0.0237	12.4002	-0.1475		
2.9996	0.0161	12.6004	-0.1439		
3.2025	0.0045	12.7994	-0.1289		
3.3984	-0.0053	12.9997	-0.1040		
3.6024	-0.0125	13.2006	-0.0757		
3.7997	-0.0140	13.3981	-0.0448		
3.9988	-0.0136	13.6010	-0.0165		
4.1983	-0.0069	13.8009	0.0030		
4.4022	0.0040	14.0022	0.0108		
4.5980	0.0168	14.1981	0.0070		
4.8013	0.0294	14.3994	-0.0078		
5.0019	0.0401	14.5997	-0.0335		
5.1990	0.0439	14.8003	-0.0647		
5.4016	0.0367	14.9984	-0.0964		
5.6003	0.0297	15.1992	-0.1189		
5.8022	0.0153	15.4008	-0.1576		
6.0001	-0.0001	15.5987	-0.1613		
6.1999	-0.0137	15.7994	-0.1616		
6.4003	-0.0143	16.0006	-0.1476		
6.5995	-0.0128	16.2009	-0.1248		
6.8005	-0.0030	16.4019	-0.0965		
7.0001	0.0132	16.6002	-0.0681		
7.2005	0.0287	16.7986	-0.0434		
7.4001	0.0450	16.9987	-0.0234		
7.5997	0.0549	17.2007	-0.0141		
7.8000	0.0570	17.3988	-0.0141		
7.9996	0.0479	17.5990	-0.0199		
8.2000	0.0310	17.7991	-0.0413		
8.4000	0.0026	18.0007	-0.0658		
8.5999	-0.0113	18.2003	-0.0920		
8.8004	-0.0372	18.3991	-0.1169		
9.0017	-0.0752	18.5993	-0.1340		
9.1992	-0.1089	18.7991	-0.1386		
9.4004	-0.1223	18.9989	-0.1193		

Fuente: Autores

Tabla A.29: Modelo 4 (P5) PUNTO3P5

Tiempo (sg)	Velocidad (m/sg)	Tiempo (sg)	Velocidad (m/sg)	Tiempo (sg)	Velocidad (m/sg)
0.0000	0.0000	9.5993	-0.0726	19.2010	-0.1225
0.2011	-0.0018	9.7989	-0.0631	19.3999	-0.1030
0.3948	-0.0066	9.9986	-0.0402	19.5994	-0.0821
0.5958	-0.0111	10.1999	-0.0155	19.8008	-0.0560
0.8025	-0.0135	10.3990	0.0033	20.0015	-0.0367
0.9989	-0.0137	10.6009	0.0181		
1.1999	-0.0126	10.8008	0.0251		
1.3982	-0.0079	10.9981	0.0192		
1.6013	0.0002	11.1987	0.0089		
1.8010	0.0160	11.4015	-0.0130		
2.0004	0.0189	11.6015	-0.0365		
2.1997	0.0247	11.7995	-0.0620		
2.4000	0.0266	11.9992	-0.0848		
2.5995	0.0230	12.2000	-0.0990		
2.8004	0.0207	12.4002	-0.1067		
2.9996	0.0143	12.6004	-0.1057		
3.2025	0.0041	12.7994	-0.0941		
3.3984	-0.0056	12.9997	-0.0727		
3.6024	-0.0139	13.2006	-0.0480		
3.7997	-0.0178	13.3981	-0.0206		
3.9988	-0.0179	13.6010	0.0033		
4.1983	-0.0125	13.8009	0.0188		
4.4022	-0.0027	14.0022	0.0238		
4.5980	0.0091	14.1981	0.0199		
4.8013	0.0212	14.3994	0.0072		
5.0019	0.0312	14.5997	-0.0131		
5.1990	0.0358	14.8003	-0.0366		
5.4016	0.0325	14.9984	-0.0636		
5.6003	0.0260	15.1992	-0.0855		
5.8022	0.0135	15.4008	-0.1146		
6.0001	-0.0010	15.5987	-0.1216		
6.1999	-0.0148	15.7994	-0.1226		
6.4003	-0.0196	16.0006	-0.1101		
6.5995	-0.0232	16.2009	-0.0903		
6.8005	-0.0177	16.4019	-0.0671		
7.0001	-0.0053	16.6002	-0.0457		
7.2005	0.0092	16.7986	-0.0283		
7.4001	0.0255	16.9987	-0.0159		
7.5997	0.0372	17.2007	-0.0124		
7.8000	0.0418	17.3988	-0.0176		
7.9996	0.0367	17.5990	-0.0273		
8.2000	0.0237	17.7991	-0.0478		
8.4000	0.0031	18.0007	-0.0673		
8.5999	-0.0095	18.2003	-0.0888		
8.8004	-0.0268	18.3991	-0.1101		
9.0017	-0.0495	18.5993	-0.1266		
9.1992	-0.0663	18.7991	-0.1342		
9.4004	-0.0708	18.9989	-0.1245		

Fuente: Autores

Tabla A.30: Modelo 4 (P5) PUNTO4P5

Tiempo (sg)	Velocidad (m/sg)	Tiempo (sg)	Velocidad (m/sg)	Tiempo (sg)	Velocidad (m/sg)
0.0000	0.0000	9.5993	-0.0362	19.2010	-0.0276
0.2011	-0.0005	9.7989	-0.0228	19.3999	-0.0258
0.3948	-0.0023	9.9986	-0.0117	19.5994	-0.0250
0.5958	-0.0042	10.1999	-0.0035	19.8008	-0.0200
0.8025	-0.0058	10.3990	0.0036	20.0015	-0.0080
0.9989	-0.0069	10.6009	0.0131		
1.1999	-0.0079	10.8008	0.0221		
1.3982	-0.0078	10.9981	0.0254		
1.6013	-0.0061	11.1987	0.0224		
1.8010	-0.0012	11.4015	0.0068		
2.0004	0.0037	11.6015	-0.0101		
2.1997	0.0111	11.7995	-0.0252		
2.4000	0.0178	11.9992	-0.0402		
2.5995	0.0217	12.2000	-0.0553		
2.8004	0.0222	12.4002	-0.0614		
2.9996	0.0184	12.6004	-0.0569		
3.2025	0.0109	12.7994	-0.0448		
3.3984	0.0017	12.9997	-0.0334		
3.6024	-0.0083	13.2006	-0.0274		
3.7997	-0.0150	13.3981	-0.0165		
3.9988	-0.0187	13.6010	0.0029		
4.1983	-0.0177	13.8009	0.0267		
4.4022	-0.0113	14.0022	0.0400		
4.5980	-0.0007	14.1981	0.0361		
4.8013	0.0130	14.3994	0.0190		
5.0019	0.0259	14.5997	-0.0037		
5.1990	0.0336	14.8003	-0.0236		
5.4016	0.0339	14.9984	-0.0380		
5.6003	0.0266	15.1992	-0.0460		
5.8022	0.0134	15.4008	-0.0501		
6.0001	-0.0022	15.5987	-0.0458		
6.1999	-0.0166	15.7994	-0.0424		
6.4003	-0.0255	16.0006	-0.0425		
6.5995	-0.0289	16.2009	-0.0422		
6.8005	-0.0254	16.4019	-0.0344		
7.0001	-0.0169	16.6002	-0.0201		
7.2005	-0.0051	16.7986	-0.0041		
7.4001	0.0099	16.9987	0.0084		
7.5997	0.0259	17.2007	0.0177		
7.8000	0.0395	17.3988	0.0240		
7.9996	0.0451	17.5990	0.0218		
8.2000	0.0401	17.7991	0.0035		
8.4000	0.0239	18.0007	-0.0221		
8.5999	0.0017	18.2003	-0.0472		
8.8004	-0.0221	18.3991	-0.0608		
9.0017	-0.0426	18.5993	-0.0585		
9.1992	-0.0516	18.7991	-0.0455		
9.4004	-0.0471	18.9989	-0.0322		

Fuente: Autores

Tabla A.31: Modelo 5 (PARED INCLINADA 1) FS1PI1

Tiempo (sg)	Velocidad (m/sg)	Tiempo (sg)	Velocidad (m/sg)	Tiempo (sg)	Velocidad (m/sg)
0.1979	0.0441	9.8002	0.0124	19.3986	0.0321
0.3961	0.0113	9.9986	-0.0033	19.5999	0.0359
0.6006	0.0239	10.1991	-0.0186	19.7991	0.0201
0.8011	0.0391	10.4001	-0.0194	20.0020	-0.0088
0.9986	0.0545	10.5990	-0.0077		
1.2010	0.0583	10.8006	0.0007		
1.3984	0.0466	11.0003	0.0093		
1.6015	0.0284	11.1977	0.0108		
1.7977	0.0205	11.3986	0.0106		
1.9979	0.0262	11.6000	0.0112		
2.2012	0.0358	11.8012	0.0148		
2.4012	0.0173	12.0004	0.0284		
2.5996	0.0014	12.2002	0.0313		
2.8002	-0.0057	12.3985	0.0194		
3.0018	-0.0038	12.5998	0.0010		
3.1997	0.0024	12.8016	-0.0077		
3.4003	0.0104	12.9995	0.0020		
3.5993	0.0179	13.1986	0.0143		
3.7997	0.0150	13.4008	0.0164		
3.9983	0.0050	13.5978	0.0048		
4.2006	0.0011	13.7983	-0.0118		
4.4006	0.0068	14.0012	-0.0153		
4.5995	0.0165	14.2013	0.0011		
4.7991	0.0222	14.3989	0.0281		
4.9991	0.0221	14.5997	0.0315		
5.1997	0.0128	14.7989	0.0137		
5.3991	-0.0024	15.0004	-0.0019		
5.5986	-0.0132	15.2004	-0.0073		
5.8008	-0.0151	15.3989	-0.0010		
5.9998	-0.0111	15.5996	0.0141		
6.2005	-0.0021	15.8011	0.0314		
6.4002	-0.0095	16.0020	0.0286		
6.6002	-0.0185	16.1990	0.0103		
6.7993	-0.0191	16.4004	-0.0133		
7.0015	0.0040	16.6002	-0.0249		
7.2006	0.0364	16.7984	-0.0131		
7.4005	0.0544	16.9996	0.0154		
7.5978	0.0399	17.1988	0.0267		
7.8014	0.0164	17.4024	0.0091		
7.9997	0.0051	17.5979	-0.0186		
8.1998	0.0158	17.7986	-0.0308		
8.4004	0.0315	18.0012	-0.0150		
8.5990	0.0305	18.2009	0.0202		
8.7985	0.0163	18.4001	0.0444		
9.0004	0.0036	18.5987	0.0388		
9.1992	-0.0020	18.7997	0.0220		
9.4000	0.0052	18.9986	0.0143		
9.5998	0.0134	19.2004	0.0203		

Fuente: Autores

Tabla A.32: Modelo 5 (PARED INCLINADA 1) FS2PI1

Tiempo (sg)	Velocidad (m/sg)	Tiempo (sg)	Velocidad (m/sg)	Tiempo (sg)	Velocidad (m/sg)
0.0469	0.0001	9.5998	-0.0041	19.2004	0.0009
0.1979	0.0778	9.8002	0.0020	19.3986	0.0028
0.3961	0.0054	9.9986	0.0032	19.5999	0.0087
0.6006	0.0110	10.1991	-0.0019	19.7991	0.0119
0.8011	0.0154	10.4001	-0.0056	20.0020	0.0083
0.9986	0.0190	10.5990	-0.0019		
1.2010	0.0212	10.8006	0.0066		
1.3984	0.0221	11.0003	0.0134		
1.6015	0.0218	11.1977	0.0102		
1.7977	0.0202	11.3986	-0.0002		
1.9979	0.0175	11.6000	-0.0062		
2.2012	0.0131	11.8012	-0.0049		
2.4012	0.0078	12.0004	0.0015		
2.5996	0.0023	12.2002	0.0082		
2.8002	-0.0022	12.3985	0.0104		
3.0018	-0.0040	12.5998	0.0087		
3.1997	-0.0023	12.8016	0.0058		
3.4003	0.0021	12.9995	0.0053		
3.5993	0.0066	13.1986	0.0082		
3.7997	0.0077	13.4008	0.0114		
3.9983	0.0050	13.5978	0.0096		
4.2006	0.0024	13.7983	0.0017		
4.4006	0.0030	14.0012	-0.0065		
4.5995	0.0059	14.2013	-0.0090		
4.7991	0.0075	14.3989	-0.0049		
4.9991	0.0036	14.5997	0.0008		
5.1997	-0.0048	14.7989	0.0041		
5.3991	-0.0103	15.0004	0.0051		
5.5986	-0.0101	15.2004	0.0038		
5.8008	-0.0057	15.3989	0.0044		
5.9998	-0.0010	15.5996	0.0102		
6.2005	0.0010	15.8011	0.0175		
6.4002	0.0016	16.0020	0.0174		
6.6002	0.0012	16.1990	0.0063		
6.7993	0.0008	16.4004	-0.0083		
7.0015	0.0023	16.6002	-0.0141		
7.2006	0.0062	16.7984	-0.0076		
7.4005	0.0107	16.9996	0.0026		
7.5978	0.0130	17.1988	0.0063		
7.8014	0.0129	17.4024	0.0000		
7.9997	0.0131	17.5979	-0.0093		
8.1998	0.0146	17.7986	-0.0101		
8.4004	0.0153	18.0012	0.0004		
8.5990	0.0130	18.2009	0.0136		
8.7985	0.0070	18.4001	0.0200		
9.0004	-0.0014	18.5987	0.0174		
9.1992	-0.0081	18.7997	0.0111		
9.4000	-0.0088	18.9986	0.0044		

Fuente: Autores

Tabla A.33: Modelo 5 (PARED INCLINADA 1) FS3PII

Tiempo (sg)	Velocidad (m/sg)	Tiempo (sg)	Velocidad (m/sg)	Tiempo (sg)	Velocidad (m/sg)
0.0469	0.0001	9.5998	0.0026	19.2004	0.0022
0.1979	0.0066	9.8002	0.0023	19.3986	0.0037
0.3961	0.0012	9.9986	0.0022	19.5999	0.0049
0.6006	0.0030	10.1991	0.0019	19.7991	0.0050
0.8011	0.0050	10.4001	0.0012	20.0020	0.0047
0.9986	0.0073	10.5990	0.0011		
1.2010	0.0093	10.8006	0.0018		
1.3984	0.0114	11.0003	0.0024		
1.6015	0.0132	11.1977	0.0028		
1.7977	0.0144	11.3986	0.0023		
1.9979	0.0154	11.6000	0.0022		
2.2012	0.0157	11.8012	0.0028		
2.4012	0.0152	12.0004	0.0036		
2.5996	0.0143	12.2002	0.0051		
2.8002	0.0124	12.3985	0.0057		
3.0018	0.0101	12.5998	0.0060		
3.1997	0.0073	12.8016	0.0048		
3.4003	0.0041	12.9995	0.0043		
3.5993	0.0012	13.1986	0.0055		
3.7997	-0.0017	13.4008	0.0068		
3.9983	-0.0040	13.5978	0.0075		
4.2006	-0.0057	13.7983	0.0067		
4.4006	-0.0065	14.0012	0.0045		
4.5995	-0.0068	14.2013	0.0036		
4.7991	-0.0062	14.3989	0.0037		
4.9991	-0.0052	14.5997	0.0041		
5.1997	-0.0037	14.7989	0.0035		
5.3991	-0.0015	15.0004	0.0017		
5.5986	0.0009	15.2004	0.0001		
5.8008	0.0034	15.3989	-0.0002		
5.9998	0.0057	15.5996	-0.0002		
6.2005	0.0072	15.8011	0.0009		
6.4002	0.0080	16.0020	0.0017		
6.6002	0.0084	16.1990	0.0024		
6.7993	0.0089	16.4004	0.0028		
7.0015	0.0095	16.6002	0.0037		
7.2006	0.0095	16.7984	0.0037		
7.4005	0.0087	16.9996	0.0052		
7.5978	0.0068	17.1988	0.0057		
7.8014	0.0051	17.4024	0.0054		
7.9997	0.0045	17.5979	0.0051		
8.1998	0.0047	17.7986	0.0049		
8.4004	0.0047	18.0012	0.0041		
8.5990	0.0040	18.2009	0.0038		
8.7985	0.0029	18.4001	0.0030		
9.0004	0.0021	18.5987	0.0031		
9.1992	0.0023	18.7997	0.0024		
9.4000	0.0024	18.9986	0.0024		

Fuente: Autores

Tabla A.34: Modelo 5 (PARED INCLINADA 1) PUNTO1PI1

Tiempo (sg)	velocidad (m/sg)	Tiempo (sg)	velocidad (m/sg)	Tiempo (sg)	velocidad (m/sg)
0.0000	0.0000	9.5998	-0.0569	19.2004	-0.0554
0.1979	0.0872	9.8002	-0.0538	19.3986	-0.0582
0.3961	0.0058	9.9986	-0.0525	19.5999	-0.0598
0.6006	0.0117	10.1991	-0.0519	19.7991	-0.0610
0.8011	0.0164	10.4001	-0.0503	20.0020	-0.0630
0.9986	0.0204	10.5990	-0.0472		
1.2010	0.0229	10.8006	-0.0429		
1.3984	0.0239	11.0003	-0.0394		
1.6015	0.0233	11.1977	-0.0388		
1.7977	0.0208	11.3986	-0.0409		
1.9979	0.0166	11.6000	-0.0440		
2.2012	0.0114	11.8012	-0.0458		
2.4012	0.0060	12.0004	-0.0451		
2.5996	0.0021	12.2002	-0.0430		
2.8002	0.0000	12.3985	-0.0415		
3.0018	-0.0001	12.5998	-0.0418		
3.1997	0.0015	12.8016	-0.0433		
3.4003	0.0038	12.9995	-0.0448		
3.5993	0.0066	13.1986	-0.0454		
3.7997	0.0092	13.4008	-0.0456		
3.9983	0.0118	13.5978	-0.0480		
4.2006	0.0143	13.7983	-0.0530		
4.4006	0.0164	14.0012	-0.0593		
4.5995	0.0173	14.2013	-0.0639		
4.7991	0.0169	14.3989	-0.0644		
4.9991	0.0153	14.5997	-0.0602		
5.1997	0.0126	14.7989	-0.0549		
5.3991	0.0089	15.0004	-0.0508		
5.5986	0.0042	15.2004	-0.0491		
5.8008	-0.0023	15.3989	-0.0495		
5.9998	-0.0106	15.5996	-0.0506		
6.2005	-0.0202	15.8011	-0.0514		
6.4002	-0.0311	16.0020	-0.0526		
6.6002	-0.0411	16.1990	-0.0555		
6.7993	-0.0487	16.4004	-0.0595		
7.0015	-0.0533	16.6002	-0.0632		
7.2006	-0.0555	16.7984	-0.0650		
7.4005	-0.0562	16.9996	-0.0650		
7.5978	-0.0561	17.1988	-0.0636		
7.8014	-0.0555	17.4024	-0.0625		
7.9997	-0.0546	17.5979	-0.0620		
8.1998	-0.0537	17.7986	-0.0610		
8.4004	-0.0537	18.0012	-0.0582		
8.5990	-0.0554	18.2009	-0.0542		
8.7985	-0.0584	18.4001	-0.0504		
9.0004	-0.0611	18.5987	-0.0484		
9.1992	-0.0619	18.7997	-0.0493		
9.4000	-0.0600	18.9986	-0.0521		

Fuente: Autores

Tabla A.35: Modelo 5 (PARED INCLINADA 1) PUNTO2PI1

Tiempo (sg)	Velocidad (m/sg)	Tiempo (sg)	Velocidad (m/sg)	Tiempo (sg)	Velocidad (m/sg)
0.0000	0.0000	9.5998	-0.0552	19.2004	-0.0500
0.1979	0.0660	9.8002	-0.0541	19.3986	-0.0515
0.3961	0.0052	9.9986	-0.0523	19.5999	-0.0510
0.6006	0.0105	10.1991	-0.0503	19.7991	-0.0501
0.8011	0.0149	10.4001	-0.0486	20.0020	-0.0507
0.9986	0.0184	10.5990	-0.0475		
1.2010	0.0208	10.8006	-0.0468		
1.3984	0.0218	11.0003	-0.0466		
1.6015	0.0216	11.1977	-0.0472		
1.7977	0.0199	11.3986	-0.0485		
1.9979	0.0170	11.6000	-0.0499		
2.2012	0.0126	11.8012	-0.0506		
2.4012	0.0077	12.0004	-0.0498		
2.5996	0.0033	12.2002	-0.0474		
2.8002	0.0000	12.3985	-0.0444		
3.0018	-0.0015	12.5998	-0.0420		
3.1997	-0.0009	12.8016	-0.0410		
3.4003	0.0013	12.9995	-0.0415		
3.5993	0.0039	13.1986	-0.0428		
3.7997	0.0060	13.4008	-0.0444		
3.9983	0.0069	13.5978	-0.0469		
4.2006	0.0070	13.7983	-0.0500		
4.4006	0.0067	14.0012	-0.0529		
4.5995	0.0059	14.2013	-0.0550		
4.7991	0.0046	14.3989	-0.0555		
4.9991	0.0023	14.5997	-0.0541		
5.1997	-0.0010	14.7989	-0.0519		
5.3991	-0.0042	15.0004	-0.0492		
5.5986	-0.0063	15.2004	-0.0461		
5.8008	-0.0065	15.3989	-0.0431		
5.9998	-0.0054	15.5996	-0.0411		
6.2005	-0.0041	15.8011	-0.0410		
6.4002	-0.0047	16.0020	-0.0436		
6.6002	-0.0069	16.1990	-0.0488		
6.7993	-0.0103	16.4004	-0.0542		
7.0015	-0.0134	16.6002	-0.0575		
7.2006	-0.0152	16.7984	-0.0582		
7.4005	-0.0158	16.9996	-0.0576		
7.5978	-0.0160	17.1988	-0.0569		
7.8014	-0.0168	17.4024	-0.0567		
7.9997	-0.0191	17.5979	-0.0564		
8.1998	-0.0225	17.7986	-0.0542		
8.4004	-0.0270	18.0012	-0.0500		
8.5990	-0.0324	18.2009	-0.0454		
8.7985	-0.0387	18.4001	-0.0420		
9.0004	-0.0451	18.5987	-0.0412		
9.1992	-0.0506	18.7997	-0.0434		
9.4000	-0.0540	18.9986	-0.0470		

Fuente: Autores

Tabla A.36: Modelo 5 (PARED INCLINADA 1) PUNTO3PI1

Tiempo (sg)	Velocidad (m/sg)	Tiempo (sg)	Velocidad (m/sg)	Tiempo (sg)	Velocidad (m/sg)
0.0000	0.0000	9.5998	-0.0653	19.2004	-0.0829
0.1979	0.0051	9.8002	-0.0411	19.3986	-0.0995
0.3961	0.0076	9.9986	-0.0210	19.5999	-0.0598
0.6006	0.0150	10.1991	-0.0266	19.7991	-0.0142
0.8011	0.0207	10.4001	-0.0434	20.0020	-0.0170
0.9986	0.0245	10.5990	-0.0485		
1.2010	0.0263	10.8006	-0.0440		
1.3984	0.0264	11.0003	-0.0360		
1.6015	0.0253	11.1977	-0.0269		
1.7977	0.0237	11.3986	-0.0276		
1.9979	0.0213	11.6000	-0.0383		
2.2012	0.0173	11.8012	-0.0511		
2.4012	0.0102	12.0004	-0.0771		
2.5996	-0.0003	12.2002	-0.0740		
2.8002	-0.0122	12.3985	-0.0185		
3.0018	-0.0194	12.5998	0.0087		
3.1997	-0.0160	12.8016	-0.0282		
3.4003	-0.0015	12.9995	-0.0629		
3.5993	0.0154	13.1986	-0.0594		
3.7997	0.0211	13.4008	-0.0363		
3.9983	0.0110	13.5978	-0.0224		
4.2006	-0.0057	13.7983	-0.0329		
4.4006	-0.0160	14.0012	-0.0571		
4.5995	-0.0091	14.2013	-0.0677		
4.7991	0.0095	14.3989	-0.0732		
4.9991	0.0120	14.5997	-0.0620		
5.1997	-0.0070	14.7989	-0.0381		
5.3991	-0.0386	15.0004	-0.0305		
5.5986	-0.0633	15.2004	-0.0455		
5.8008	-0.0525	15.3989	-0.0659		
5.9998	-0.0234	15.5996	-0.0527		
6.2005	-0.0072	15.8011	-0.0055		
6.4002	-0.0134	16.0020	0.0190		
6.6002	-0.0195	16.1990	-0.0311		
6.7993	-0.0359	16.4004	-0.1041		
7.0015	-0.0546	16.6002	-0.1146		
7.2006	-0.0519	16.7984	-0.0707		
7.4005	-0.0226	16.9996	-0.0231		
7.5978	0.0019	17.1988	-0.0146		
7.8014	-0.0045	17.4024	-0.0549		
7.9997	-0.0274	17.5979	-0.0930		
8.1998	-0.0317	17.7986	-0.0920		
8.4004	-0.0169	18.0012	-0.0680		
8.5990	-0.0113	18.2009	-0.0276		
8.7985	-0.0198	18.4001	-0.0101		
9.0004	-0.0326	18.5987	-0.0272		
9.1992	-0.0518	18.7997	-0.0291		
9.4000	-0.0687	18.9986	-0.0379		

Fuente: Autores

Tabla A.37: Modelo 5 (PARED INCLINADA 1) PUNTO4PI1

Tiempo (sg)	Velocidad (m/sg)	Tiempo (sg)	Velocidad (m/sg)	Tiempo (sg)	Velocidad (m/sg)
0.0000	0.0000	9.5998	0.0060	19.2004	-0.0078
0.1979	0.0004	9.8002	0.0017	19.3986	0.0122
0.3961	-0.0006	9.9986	0.0028	19.5999	0.0153
0.6006	-0.0005	10.1991	-0.0077	19.7991	-0.0016
0.8011	0.0059	10.4001	-0.0195	20.0020	-0.0330
0.9986	0.0065	10.5990	-0.0214		
1.2010	0.0027	10.8006	0.0045		
1.3984	0.0067	11.0003	0.0256		
1.6015	0.0037	11.1977	0.0172		
1.7977	0.0053	11.3986	-0.0113		
1.9979	0.0030	11.6000	-0.0315		
2.2012	0.0031	11.8012	-0.0423		
2.4012	0.0018	12.0004	-0.0291		
2.5996	0.0015	12.2002	0.0133		
2.8002	0.0008	12.3985	0.0515		
3.0018	0.0001	12.5998	0.0369		
3.1997	-0.0011	12.8016	-0.0302		
3.4003	-0.0024	12.9995	-0.0757		
3.5993	-0.0032	13.1986	-0.0495		
3.7997	-0.0027	13.4008	0.0202		
3.9983	-0.0002	13.5978	0.0695		
4.2006	0.0040	13.7983	0.0403		
4.4006	0.0083	14.0012	-0.0471		
4.5995	0.0097	14.2013	-0.0948		
4.7991	0.0052	14.3989	-0.0518		
4.9991	-0.0044	14.5997	0.0383		
5.1997	-0.0147	14.7989	0.0754		
5.3991	-0.0181	15.0004	0.0208		
5.5986	-0.0092	15.2004	-0.0660		
5.8008	0.0083	15.3989	-0.0828		
5.9998	0.0218	15.5996	-0.0182		
6.2005	0.0165	15.8011	0.0415		
6.4002	-0.0093	16.0020	0.0428		
6.6002	-0.0333	16.1990	-0.0065		
6.7993	-0.0289	16.4004	-0.0495		
7.0015	0.0066	16.6002	-0.0362		
7.2006	0.0428	16.7984	0.0012		
7.4005	0.0395	16.9996	0.0132		
7.5978	-0.0104	17.1988	-0.0113		
7.8014	-0.0580	17.4024	-0.0423		
7.9997	-0.0472	17.5979	-0.0418		
8.1998	0.0116	17.7986	-0.0056		
8.4004	0.0606	18.0012	0.0283		
8.5990	0.0457	18.2009	0.0202		
8.7985	-0.0171	18.4001	-0.0110		
9.0004	-0.0496	18.5987	-0.0314		
9.1992	-0.0248	18.7997	-0.0364		
9.4000	0.0048	18.9986	-0.0279		

Fuente: Autores

Tabla A.38: Modelo 6 (PARED INCLINADA 2) FS1PI2

Tiempo (sg)	Velocidad (m/sg)	Tiempo (sg)	Velocidad (m/sg)	Tiempo (sg)	Velocidad (m/sg)
0.0469	-0.00006	9.6009	-0.0262	19.2014	0.0126
0.1979	0.0425	9.8018	-0.0130	19.4008	0.0176
0.3967	0.0099	10.0007	0.0054	19.5999	0.0193
0.6011	0.0203	10.1980	0.0070	19.7986	0.0276
0.8017	0.0336	10.3983	-0.0069	20.0000	0.0336
0.9994	0.0472	10.6006	-0.0236		
1.2011	0.0506	10.8007	-0.0236		
1.4021	0.0398	11.0007	-0.0111		
1.5999	0.0257	11.1990	0.0143		
1.8013	0.0253	11.4004	0.0315		
2.0020	0.0438	11.5982	0.0388		
2.1996	0.0596	11.7991	0.0322		
2.3992	0.0383	12.0016	0.0126		
2.5981	0.0187	12.1998	-0.0033		
2.8001	0.0028	12.3993	-0.0117		
2.9992	-0.0141	12.5993	-0.0028		
3.2000	-0.0120	12.8024	0.0199		
3.4012	0.0115	13.0005	0.0358		
3.5998	0.0254	13.1976	0.0283		
3.7985	0.0174	13.3987	0.0035		
4.0004	-0.0051	13.6018	-0.0166		
4.1992	-0.0216	13.7995	-0.0157		
4.4019	-0.0096	13.9992	-0.0008		
4.6019	0.0171	14.1996	0.0169		
4.7988	0.0304	14.3973	0.0262		
4.9969	0.0270	14.6000	0.0149		
5.1986	-0.0005	14.7991	-0.0106		
5.3999	-0.0302	15.0018	-0.0222		
5.6001	-0.0425	15.2013	-0.0037		
5.8002	-0.0203	15.3985	0.0290		
6.0008	0.0179	15.6005	0.0449		
6.2016	0.0316	15.7978	0.0322		
6.4001	0.0190	15.9985	-0.0002		
6.5978	-0.0061	16.2000	-0.0180		
6.8003	-0.0246	16.4009	-0.0080		
7.0015	-0.0221	16.5985	0.0148		
7.1999	0.0031	16.8004	0.0295		
7.3996	0.0416	16.9994	0.0218		
7.5991	0.0577	17.1991	-0.0026		
7.8002	0.0397	17.4014	-0.0208		
7.9994	0.0070	17.5987	-0.0230		
8.1995	0.0050	17.8013	-0.0122		
8.3989	0.0272	17.9995	0.0016		
8.5989	0.0422	18.2009	0.0177		
8.8008	0.0431	18.3979	0.0258		
9.0002	0.0327	18.5969	0.0161		
9.2013	0.0103	18.7987	0.0037		
9.3980	-0.0144	18.9989	0.0062		

Fuente: Autores

Tabla A.39: Modelo 6 (PARED INCLINADA 2) FS2PI2

Tiempo (sg)	Velocidad (m/sg)	Tiempo (sg)	Velocidad (m/sg)	Tiempo (sg)	Velocidad (m/sg)
0.0469	0.0001	9.6009	-0.0037	19.2014	0.0079
0.1979	0.0752	9.8018	-0.0035	19.4008	0.0100
0.3967	0.0051	10.0007	-0.0026	19.5999	0.0111
0.6011	0.0098	10.1980	-0.0012	19.7986	0.0108
0.8017	0.0137	10.3983	-0.0003	20.0000	0.0095
0.9994	0.0163	10.6006	-0.0006		
1.2011	0.0179	10.8007	-0.0016		
1.4021	0.0185	11.0007	-0.0033		
1.5999	0.0186	11.1990	-0.0044		
1.8013	0.0185	11.4004	-0.0040		
2.0020	0.0180	11.5982	-0.0015		
2.1996	0.0170	11.7991	0.0025		
2.3992	0.0155	12.0016	0.0072		
2.5981	0.0132	12.1998	0.0110		
2.8001	0.0103	12.3993	0.0134		
2.9992	0.0073	12.5993	0.0135		
3.2000	0.0044	12.8024	0.0116		
3.4012	0.0018	13.0005	0.0083		
3.5998	-0.0005	13.1976	0.0042		
3.7985	-0.0023	13.3987	0.0005		
4.0004	-0.0035	13.6018	-0.0022		
4.1992	-0.0035	13.7995	-0.0029		
4.4019	-0.0027	13.9992	-0.0022		
4.6019	-0.0016	14.1996	0.0001		
4.7988	0.0000	14.3973	0.0029		
4.9969	0.0021	14.6000	0.0058		
5.1986	0.0027	14.7991	0.0080		
5.3999	0.0022	15.0018	0.0091		
5.6001	0.0003	15.2013	0.0088		
5.8002	-0.0032	15.3985	0.0069		
6.0008	-0.0065	15.6005	0.0046		
6.2016	-0.0094	15.7978	0.0016		
6.4001	-0.0098	15.9985	-0.0014		
6.5978	-0.0082	16.2000	-0.0036		
6.8003	-0.0039	16.4009	-0.0043		
7.0015	0.0021	16.5985	-0.0034		
7.1999	0.0085	16.8004	-0.0011		
7.3996	0.0144	16.9994	0.0018		
7.5991	0.0189	17.1991	0.0047		
7.8002	0.0216	17.4014	0.0066		
7.9994	0.0217	17.5987	0.0068		
8.1995	0.0196	17.8013	0.0051		
8.3989	0.0156	17.9995	0.0025		
8.5989	0.0109	18.2009	0.0003		
8.8008	0.0060	18.3979	-0.0008		
9.0002	0.0022	18.5969	-0.0001		
9.2013	-0.0012	18.7987	0.0023		
9.3980	-0.0032	18.9989	0.0051		

Fuente: Autores

Tabla A.40: Modelo 6 (PARED INCLINADA 2) FS3PI2

Tiempo (sg)	Velocidad (m/sg)	Tiempo (sg)	Velocidad (m/sg)	Tiempo (sg)	Velocidad (m/sg)
0.0469	0.0001	9.6009	0.0041	19.2014	0.0050
0.1979	0.0065	9.8018	0.0031	19.4008	0.0042
0.3967	0.0012	10.0007	0.0019	19.5999	0.0033
0.6011	0.0029	10.1980	0.0008	19.7986	0.0026
0.8017	0.0048	10.3983	-0.0004	20.0000	0.0021
0.9994	0.0070	10.6006	-0.0012		
1.2011	0.0089	10.8007	-0.0019		
1.4021	0.0108	11.0007	-0.0023		
1.5999	0.0123	11.1990	-0.0024		
1.8013	0.0136	11.4004	-0.0021		
2.0020	0.0145	11.5982	-0.0015		
2.1996	0.0147	11.7991	-0.0007		
2.3992	0.0146	12.0016	0.0005		
2.5981	0.0140	12.1998	0.0019		
2.8001	0.0128	12.3993	0.0036		
2.9992	0.0113	12.5993	0.0054		
3.2000	0.0092	12.8024	0.0071		
3.4012	0.0068	13.0005	0.0086		
3.5998	0.0043	13.1976	0.0099		
3.7985	0.0016	13.3987	0.0106		
4.0004	-0.0008	13.6018	0.0107		
4.1992	-0.0031	13.7995	0.0105		
4.4019	-0.0048	13.9992	0.0096		
4.6019	-0.0061	14.1996	0.0082		
4.7988	-0.0067	14.3973	0.0066		
4.9969	-0.0066	14.6000	0.0048		
5.1986	-0.0061	14.7991	0.0029		
5.3999	-0.0047	15.0018	0.0011		
5.6001	-0.0030	15.2013	-0.0003		
5.8002	-0.0010	15.3985	-0.0015		
6.0008	0.0011	15.6005	-0.0023		
6.2016	0.0031	15.7978	-0.0026		
6.4001	0.0050	15.9985	-0.0024		
6.5978	0.0064	16.2000	-0.0019		
6.8003	0.0076	16.4009	-0.0010		
7.0015	0.0083	16.5985	0.0001		
7.1999	0.0086	16.8004	0.0012		
7.3996	0.0086	16.9994	0.0025		
7.5991	0.0085	17.1991	0.0037		
7.8002	0.0083	17.4014	0.0049		
7.9994	0.0080	17.5987	0.0060		
8.1995	0.0078	17.8013	0.0069		
8.3989	0.0075	17.9995	0.0076		
8.5989	0.0072	18.2009	0.0079		
8.8008	0.0068	18.3979	0.0079		
9.0002	0.0063	18.5969	0.0075		
9.2013	0.0058	18.7987	0.0068		
9.3980	0.0050	18.9989	0.0061		

Fuente: Autores

Tabla A.41: Modelo 6 (PARED INCLINADA 2) PUNTO1PI2

Tiempo (sg)	Velocidad (m/sg)	Tiempo (sg)	Velocidad (m/sg)	Tiempo (sg)	Velocidad (m/sg)
0.0000	0.0000	9.6009	-0.0422	19.2014	-0.0296
0.1979	0.0837	9.8018	-0.0428	19.4008	-0.0281
0.3967	0.0055	10.0007	-0.0430	19.5999	-0.0276
0.6011	0.0106	10.1980	-0.0425	19.7986	-0.0279
0.8017	0.0150	10.3983	-0.0419	20.0000	-0.0292
0.9994	0.0186	10.6006	-0.0420		
1.2011	0.0214	10.8007	-0.0427		
1.4021	0.0230	11.0007	-0.0436		
1.5999	0.0236	11.1990	-0.0440		
1.8013	0.0232	11.4004	-0.0436		
2.0020	0.0219	11.5982	-0.0414		
2.1996	0.0198	11.7991	-0.0382		
2.3992	0.0173	12.0016	-0.0352		
2.5981	0.0143	12.1998	-0.0331		
2.8001	0.0110	12.3993	-0.0329		
2.9992	0.0076	12.5993	-0.0350		
3.2000	0.0045	12.8024	-0.0388		
3.4012	0.0022	13.0005	-0.0435		
3.5998	0.0007	13.1976	-0.0483		
3.7985	0.0004	13.3987	-0.0525		
4.0004	0.0011	13.6018	-0.0552		
4.1992	0.0024	13.7995	-0.0562		
4.4019	0.0044	13.9992	-0.0560		
4.6019	0.0067	14.1996	-0.0545		
4.7988	0.0091	14.3973	-0.0524		
4.9969	0.0113	14.6000	-0.0502		
5.1986	0.0120	14.7991	-0.0486		
5.3999	0.0103	15.0018	-0.0472		
5.6001	0.0058	15.2013	-0.0465		
5.8002	-0.0012	15.3985	-0.0468		
6.0008	-0.0097	15.6005	-0.0471		
6.2016	-0.0176	15.7978	-0.0482		
6.4001	-0.0240	15.9985	-0.0497		
6.5978	-0.0284	16.2000	-0.0507		
6.8003	-0.0308	16.4009	-0.0508		
7.0015	-0.0310	16.5985	-0.0500		
7.1999	-0.0301	16.8004	-0.0483		
7.3996	-0.0283	16.9994	-0.0456		
7.5991	-0.0263	17.1991	-0.0427		
7.8002	-0.0248	17.4014	-0.0406		
7.9994	-0.0246	17.5987	-0.0391		
8.1995	-0.0257	17.8013	-0.0387		
8.3989	-0.0276	17.9995	-0.0390		
8.5989	-0.0303	18.2009	-0.0392		
8.8008	-0.0336	18.3979	-0.0387		
9.0002	-0.0363	18.5969	-0.0374		
9.2013	-0.0387	18.7987	-0.0350		
9.3980	-0.0409	18.9989	-0.0322		

Fuente: Autores

Tabla A.42: Modelo 6 (PARED INCLINADA 2) PUNTO2PI2

Tiempo (sg)	Velocidad (m/sg)	Tiempo (sg)	Velocidad (m/sg)	Tiempo (sg)	Velocidad (m/sg)
0.0000	0.0000	9.6009	-0.0309	19.2014	-0.0379
0.1979	0.0636	9.8018	-0.0316	19.4008	-0.0358
0.3967	0.0048	10.0007	-0.0319	19.5999	-0.0346
0.6011	0.0094	10.1980	-0.0320	19.7986	-0.0344
0.8017	0.0133	10.3983	-0.0323	20.0000	-0.0354
0.9994	0.0162	10.6006	-0.0333		
1.2011	0.0182	10.8007	-0.0350		
1.4021	0.0191	11.0007	-0.0369		
1.5999	0.0194	11.1990	-0.0380		
1.8013	0.0191	11.4004	-0.0380		
2.0020	0.0183	11.5982	-0.0361		
2.1996	0.0171	11.7991	-0.0329		
2.3992	0.0156	12.0016	-0.0293		
2.5981	0.0135	12.1998	-0.0264		
2.8001	0.0110	12.3993	-0.0248		
2.9992	0.0080	12.5993	-0.0253		
3.2000	0.0050	12.8024	-0.0276		
3.4012	0.0021	13.0005	-0.0311		
3.5998	-0.0002	13.1976	-0.0353		
3.7985	-0.0018	13.3987	-0.0394		
4.0004	-0.0025	13.6018	-0.0426		
4.1992	-0.0025	13.7995	-0.0443		
4.4019	-0.0016	13.9992	-0.0445		
4.6019	-0.0001	14.1996	-0.0432		
4.7988	0.0016	14.3973	-0.0409		
4.9969	0.0033	14.6000	-0.0385		
5.1986	0.0040	14.7991	-0.0370		
5.3999	0.0032	15.0018	-0.0365		
5.6001	0.0008	15.2013	-0.0375		
5.8002	-0.0028	15.3985	-0.0399		
6.0008	-0.0067	15.6005	-0.0426		
6.2016	-0.0098	15.7978	-0.0459		
6.4001	-0.0113	15.9985	-0.0489		
6.5978	-0.0109	16.2000	-0.0508		
6.8003	-0.0089	16.4009	-0.0513		
7.0015	-0.0054	16.5985	-0.0506		
7.1999	-0.0015	16.8004	-0.0487		
7.3996	0.0022	16.9994	-0.0460		
7.5991	0.0048	17.1991	-0.0435		
7.8002	0.0058	17.4014	-0.0419		
7.9994	0.0043	17.5987	-0.0416		
8.1995	0.0006	17.8013	-0.0426		
8.3989	-0.0046	17.9995	-0.0443		
8.5989	-0.0107	18.2009	-0.0458		
8.8008	-0.0171	18.3979	-0.0463		
9.0002	-0.0223	18.5969	-0.0456		
9.2013	-0.0263	18.7987	-0.0435		
9.3980	-0.0292	18.9989	-0.0407		

Fuente: Autores

Tabla A.43: Modelo 6 (PARED INCLINADA 2) PUNTO3PI2

Tiempo (sg)	Velocidad (m/sg)	Tiempo (sg)	Velocidad (m/sg)	Tiempo (sg)	Velocidad (m/sg)
0.0000	0.0000	9.6009	-0.0305	19.2014	-0.0285
0.1979	0.0048	9.8018	-0.0277	19.4008	-0.0239
0.3967	0.0070	10.0007	-0.0257	19.5999	-0.0218
0.6011	0.0134	10.1980	-0.0216	19.7986	-0.0221
0.8017	0.0176	10.3983	-0.0179	20.0000	-0.0256
0.9994	0.0194	10.6006	-0.0201		
1.2011	0.0188	10.8007	-0.0256		
1.4021	0.0170	11.0007	-0.0312		
1.5999	0.0153	11.1990	-0.0376		
1.8013	0.0149	11.4004	-0.0393		
2.0020	0.0158	11.5982	-0.0346		
2.1996	0.0168	11.7991	-0.0279		
2.3992	0.0163	12.0016	-0.0198		
2.5981	0.0136	12.1998	-0.0138		
2.8001	0.0093	12.3993	-0.0111		
2.9992	0.0055	12.5993	-0.0102		
3.2000	0.0033	12.8024	-0.0135		
3.4012	0.0020	13.0005	-0.0190		
3.5998	-0.0011	13.1976	-0.0277		
3.7985	-0.0057	13.3987	-0.0368		
4.0004	-0.0074	13.6018	-0.0430		
4.1992	-0.0057	13.7995	-0.0453		
4.4019	-0.0066	13.9992	-0.0426		
4.6019	-0.0062	14.1996	-0.0379		
4.7988	-0.0001	14.3973	-0.0315		
4.9969	0.0016	14.6000	-0.0250		
5.1986	0.0022	14.7991	-0.0201		
5.3999	0.0024	15.0018	-0.0186		
5.6001	-0.0047	15.2013	-0.0208		
5.8002	-0.0102	15.3985	-0.0246		
6.0008	-0.0202	15.6005	-0.0289		
6.2016	-0.0269	15.7978	-0.0338		
6.4001	-0.0322	15.9985	-0.0405		
6.5978	-0.0328	16.2000	-0.0460		
6.8003	-0.0283	16.4009	-0.0471		
7.0015	-0.0201	16.5985	-0.0438		
7.1999	-0.0095	16.8004	-0.0388		
7.3996	-0.0003	16.9994	-0.0322		
7.5991	0.0070	17.1991	-0.0251		
7.8002	0.0099	17.4014	-0.0211		
7.9994	0.0100	17.5987	-0.0230		
8.1995	0.0046	17.8013	-0.0287		
8.3989	-0.0040	17.9995	-0.0356		
8.5989	-0.0141	18.2009	-0.0429		
8.8008	-0.0203	18.3979	-0.0463		
9.0002	-0.0242	18.5969	-0.0436		
9.2013	-0.0284	18.7987	-0.0383		
9.3980	-0.0317	18.9989	-0.0338		

Fuente: Autores

Tabla A.44: Modelo 6 (PARED INCLINADA 2) PUNTO4PI2

Tiempo (sg)	Velocidad (m/sg)	Tiempo (sg)	Velocidad (m/sg)	Tiempo (sg)	Velocidad (m/sg)
0.0000	0.0000	9.6009	-0.0010	19.2014	-0.0085
0.1979	0.0004	9.8018	0.0014	19.4008	-0.0060
0.3967	-0.0006	10.0007	0.0014	19.5999	-0.0038
0.6011	-0.0006	10.1980	0.0000	19.7986	-0.0028
0.8017	0.0057	10.3983	-0.0017	20.0000	-0.0036
0.9994	0.0062	10.6006	-0.0035		
1.2011	0.0021	10.8007	-0.0055		
1.4021	0.0059	11.0007	-0.0068		
1.5999	0.0026	11.1990	-0.0057		
1.8013	0.0040	11.4004	-0.0028		
2.0020	0.0017	11.5982	-0.0014		
2.1996	0.0022	11.7991	-0.0032		
2.3992	0.0017	12.0016	-0.0053		
2.5981	0.0029	12.1998	-0.0038		
2.8001	0.0036	12.3993	-0.0006		
2.9992	0.0043	12.5993	0.0009		
3.2000	0.0037	12.8024	0.0005		
3.4012	0.0017	13.0005	0.0010		
3.5998	-0.0010	13.1976	-0.0001		
3.7985	-0.0035	13.3987	-0.0042		
4.0004	-0.0043	13.6018	-0.0078		
4.1992	-0.0032	13.7995	-0.0088		
4.4019	-0.0007	13.9992	-0.0086		
4.6019	0.0014	14.1996	-0.0076		
4.7988	0.0019	14.3973	-0.0060		
4.9969	0.0011	14.6000	-0.0041		
5.1986	0.0000	14.7991	-0.0014		
5.3999	-0.0004	15.0018	0.0005		
5.6001	-0.0001	15.2013	0.0002		
5.8002	0.0000	15.3985	-0.0009		
6.0008	-0.0007	15.6005	-0.0048		
6.2016	-0.0021	15.7978	-0.0106		
6.4001	-0.0035	15.9985	-0.0124		
6.5978	-0.0043	16.2000	-0.0124		
6.8003	-0.0041	16.4009	-0.0104		
7.0015	-0.0028	16.5985	-0.0060		
7.1999	-0.0008	16.8004	-0.0037		
7.3996	0.0015	16.9994	-0.0033		
7.5991	0.0037	17.1991	-0.0041		
7.8002	0.0054	17.4014	-0.0068		
7.9994	0.0066	17.5987	-0.0076		
8.1995	0.0064	17.8013	-0.0070		
8.3989	0.0045	17.9995	-0.0060		
8.5989	0.0006	18.2009	-0.0054		
8.8008	-0.0041	18.3979	-0.0071		
9.0002	-0.0073	18.5969	-0.0096		
9.2013	-0.0075	18.7987	-0.0110		
9.3980	-0.0048	18.9989	-0.0108		

Fuente: Autores

Tabla A.45: Modelo 7 (PARED INCLINADA 3) FS1PI3

Tiempo (sg)	Velocidad (m/sg)	Tiempo (sg)	Velocidad (m/sg)	Tiempo (sg)	Velocidad (m/sg)
0.0469	0.000056	9.6014	-0.0027	19.2000	-0.0138
0.1978	0.0420	9.8021	-0.0103	19.4010	-0.0079
0.3993	0.0099	9.9992	-0.0147	19.6001	0.0103
0.6004	0.0203	10.2000	-0.0078	19.7999	0.0257
0.7985	0.0331	10.4029	0.0062	20.0020	0.0234
1.0007	0.0470	10.5980	-0.0014		
1.1988	0.0504	10.8006	-0.0187		
1.4023	0.0393	10.9995	-0.0325		
1.6011	0.0259	11.2008	-0.0188		
1.8023	0.0265	11.4005	0.0116		
2.0007	0.0440	11.6011	0.0427		
2.2008	0.0581	11.7986	0.0453		
2.4012	0.0428	12.0002	0.0194		
2.6009	0.0245	12.1988	-0.0066		
2.8005	0.0014	12.3994	-0.0123		
2.9990	-0.0152	12.6005	0.0030		
3.1984	-0.0088	12.7999	0.0354		
3.4014	0.0134	13.0005	0.0519		
3.6003	0.0291	13.2009	0.0444		
3.8007	0.0151	13.3996	0.0165		
3.9991	-0.0162	13.5991	-0.0095		
4.1981	-0.0338	13.7998	-0.0106		
4.3994	-0.0151	13.9988	0.0065		
4.6002	0.0154	14.2006	0.0186		
4.7998	0.0333	14.3980	0.0214		
4.9977	0.0326	14.5987	0.0003		
5.2012	-0.0051	14.8001	-0.0260		
5.3977	-0.0437	15.0008	-0.0224		
5.6015	-0.0481	15.2009	-0.0014		
5.7992	-0.0104	15.3993	0.0204		
5.9980	0.0268	15.5993	0.0221		
6.2006	0.0424	15.8015	0.0036		
6.3987	0.0325	15.9996	-0.0099		
6.6000	0.0015	16.2013	-0.0132		
6.7993	-0.0181	16.3996	-0.0180		
7.0019	-0.0178	16.6002	-0.0068		
7.2013	0.0014	16.7985	0.0180		
7.3992	0.0317	17.0012	0.0332		
7.6023	0.0445	17.1999	0.0287		
7.8023	0.0383	17.3984	0.0083		
7.9985	0.0261	17.5998	-0.0113		
8.2004	0.0226	17.7992	-0.0158		
8.3992	0.0234	18.0009	-0.0034		
8.5988	0.0183	18.1989	0.0187		
8.8002	0.0181	18.4023	0.0401		
8.9994	0.0223	18.6013	0.0393		
9.2002	0.0169	18.7983	0.0167		
9.4015	0.0046	18.9989	-0.0065		

Fuente: Autores

Tabla A.46: Modelo 7 (PARED INCLINADA 3) FS2PI3

Tiempo (sg)	Velocidad (m/sg)	Tiempo (sg)	Velocidad (m/sg)	Tiempo (sg)	Velocidad (m/sg)
0.0469	0.000074	9.6014	-0.0012	19.2000	0.0109
0.1978	0.0690	9.8021	-0.0031	19.4010	0.0109
0.3993	0.0053	9.9992	-0.0044	19.6001	0.0095
0.6004	0.0100	10.2000	-0.0049	19.7999	0.0070
0.7985	0.0136	10.4029	-0.0050	20.0020	0.0040
1.0007	0.0163	10.5980	-0.0054		
1.1988	0.0179	10.8006	-0.0057		
1.4023	0.0186	10.9995	-0.0060		
1.6011	0.0187	11.2008	-0.0056		
1.8023	0.0183	11.4005	-0.0041		
2.0007	0.0179	11.6011	-0.0011		
2.2008	0.0171	11.7986	0.0030		
2.4012	0.0157	12.0002	0.0074		
2.6009	0.0137	12.1988	0.0107		
2.8005	0.0110	12.3994	0.0129		
2.9990	0.0081	12.6005	0.0134		
3.1984	0.0054	12.7999	0.0123		
3.4014	0.0026	13.0005	0.0103		
3.6003	0.0004	13.2009	0.0083		
3.8007	-0.0022	13.3996	0.0064		
3.9991	-0.0040	13.5991	0.0056		
4.1981	-0.0050	13.7998	0.0061		
4.3994	-0.0051	13.9988	0.0066		
4.6002	-0.0049	14.2006	0.0072		
4.7998	-0.0038	14.3980	0.0071		
4.9977	-0.0017	14.5987	0.0061		
5.2012	-0.0007	14.8001	0.0041		
5.3977	0.0000	15.0008	0.0016		
5.6015	-0.0002	15.2009	-0.0012		
5.7992	-0.0017	15.3993	-0.0039		
5.9980	-0.0030	15.5993	-0.0056		
6.2006	-0.0046	15.8015	-0.0063		
6.3987	-0.0041	15.9996	-0.0064		
6.6000	-0.0025	16.2013	-0.0058		
6.7993	0.0008	16.3996	-0.0044		
7.0019	0.0053	16.6002	-0.0025		
7.2013	0.0098	16.7985	-0.0001		
7.3992	0.0137	17.0012	0.0023		
7.6023	0.0164	17.1999	0.0045		
7.8023	0.0179	17.3984	0.0062		
7.9985	0.0177	17.5998	0.0066		
8.2004	0.0163	17.7992	0.0060		
8.3992	0.0137	18.0009	0.0048		
8.5988	0.0110	18.1989	0.0041		
8.8002	0.0082	18.4023	0.0042		
8.9994	0.0058	18.6013	0.0057		
9.2002	0.0031	18.7983	0.0079		
9.4015	0.0008	18.9989	0.0097		

Fuente: Autores

Tabla A.47: Modelo 7 (PARED INCLINADA 3) FS3PI3

Tiempo (sg)	Velocidad (m/sg)	Tiempo (sg)	Velocidad (m/sg)	Tiempo (sg)	Velocidad (m/sg)
0.0469	0.00011	9.6014	0.0025	19.2000	0.0114
0.1978	0.0065	9.8021	0.0012	19.4010	0.0105
0.3993	0.0014	9.9992	0.0000	19.6001	0.0091
0.6004	0.0030	10.2000	-0.0011	19.7999	0.0075
0.7985	0.0048	10.4029	-0.0021	20.0020	0.0057
1.0007	0.0070	10.5980	-0.0026		
1.1988	0.0088	10.8006	-0.0033		
1.4023	0.0108	10.9995	-0.0033		
1.6011	0.0123	11.2008	-0.0032		
1.8023	0.0135	11.4005	-0.0027		
2.0007	0.0145	11.6011	-0.0018		
2.2008	0.0147	11.7986	-0.0007		
2.4012	0.0147	12.0002	0.0007		
2.6009	0.0141	12.1988	0.0023		
2.8005	0.0129	12.3994	0.0042		
2.9990	0.0114	12.6005	0.0061		
3.1984	0.0094	12.7999	0.0078		
3.4014	0.0071	13.0005	0.0095		
3.6003	0.0045	13.2009	0.0109		
3.8007	0.0019	13.3996	0.0118		
3.9991	-0.0005	13.5991	0.0121		
4.1981	-0.0028	13.7998	0.0122		
4.3994	-0.0047	13.9988	0.0116		
4.6002	-0.0062	14.2006	0.0104		
4.7998	-0.0070	14.3980	0.0090		
4.9977	-0.0073	14.5987	0.0072		
5.2012	-0.0068	14.8001	0.0053		
5.3977	-0.0059	15.0008	0.0032		
5.6015	-0.0044	15.2009	0.0013		
5.7992	-0.0025	15.3993	-0.0008		
5.9980	-0.0004	15.5993	-0.0026		
6.2006	0.0019	15.8015	-0.0039		
6.3987	0.0041	15.9996	-0.0051		
6.6000	0.0061	16.2013	-0.0056		
6.7993	0.0079	16.3996	-0.0056		
7.0019	0.0092	16.6002	-0.0052		
7.2013	0.0102	16.7985	-0.0042		
7.3992	0.0107	17.0012	-0.0028		
7.6023	0.0109	17.1999	-0.0012		
7.8023	0.0109	17.3984	0.0009		
7.9985	0.0105	17.5998	0.0030		
8.2004	0.0101	17.7992	0.0053		
8.3992	0.0093	18.0009	0.0074		
8.5988	0.0085	18.1989	0.0093		
8.8002	0.0074	18.4023	0.0106		
8.9994	0.0062	18.6013	0.0116		
9.2002	0.0050	18.7983	0.0121		
9.4015	0.0037	18.9989	0.0120		

Fuente: Autores

Tabla A.48: Modelo 7 (PARED INCLINADA 3) PUNTO1PI3

Tiempo (sg)	Velocidad (m/sg)	Tiempo (sg)	Velocidad (m/sg)	Tiempo (sg)	Velocidad (m/sg)
0.0000	0.0000	9.6014	-0.0404	19.2000	-0.0503
0.1978	0.0813	9.8021	-0.0429	19.4010	-0.0500
0.3993	0.0059	9.9992	-0.0448	19.6001	-0.0509
0.6004	0.0111	10.2000	-0.0460	19.7999	-0.0526
0.7985	0.0154	10.4029	-0.0463	20.0020	-0.0545
1.0007	0.0192	10.5980	-0.0468		
1.1988	0.0220	10.8006	-0.0477		
1.4023	0.0238	10.9995	-0.0486		
1.6011	0.0244	11.2008	-0.0489		
1.8023	0.0239	11.4005	-0.0489		
2.0007	0.0226	11.6011	-0.0476		
2.2008	0.0207	11.7986	-0.0451		
2.4012	0.0182	12.0002	-0.0423		
2.6009	0.0156	12.1988	-0.0402		
2.8005	0.0124	12.3994	-0.0388		
2.9990	0.0090	12.6005	-0.0385		
3.1984	0.0059	12.7999	-0.0398		
3.4014	0.0032	13.0005	-0.0412		
3.6003	0.0016	13.2009	-0.0423		
3.8007	0.0004	13.3996	-0.0436		
3.9991	0.0000	13.5991	-0.0436		
4.1981	-0.0001	13.7998	-0.0425		
4.3994	0.0005	13.9988	-0.0419		
4.6002	0.0017	14.2006	-0.0413		
4.7998	0.0034	14.3980	-0.0409		
4.9977	0.0060	14.5987	-0.0415		
5.2012	0.0073	14.8001	-0.0428		
5.3977	0.0073	15.0008	-0.0441		
5.6015	0.0051	15.2009	-0.0454		
5.7992	0.0011	15.3993	-0.0465		
5.9980	-0.0041	15.5993	-0.0467		
6.2006	-0.0091	15.8015	-0.0463		
6.3987	-0.0124	15.9996	-0.0460		
6.6000	-0.0148	16.2013	-0.0458		
6.7993	-0.0161	16.3996	-0.0459		
7.0019	-0.0164	16.6002	-0.0464		
7.2013	-0.0166	16.7985	-0.0467		
7.3992	-0.0170	17.0012	-0.0466		
7.6023	-0.0179	17.1999	-0.0465		
7.8023	-0.0190	17.3984	-0.0467		
7.9985	-0.0207	17.5998	-0.0476		
8.2004	-0.0227	17.7992	-0.0489		
8.3992	-0.0245	18.0009	-0.0509		
8.5988	-0.0267	18.1989	-0.0527		
8.8002	-0.0292	18.4023	-0.0538		
8.9994	-0.0318	18.6013	-0.0538		
9.2002	-0.0345	18.7983	-0.0530		
9.4015	-0.0376	18.9989	-0.0515		

Fuente: Autores

Tabla A.49: Modelo 7 (PARED INCLINADA 3) PUNTO2PI3

Tiempo (sg)	Velocidad (m/sg)	Tiempo (sg)	Velocidad (m/sg)	Tiempo (sg)	Velocidad (m/sg)
0.0000	0.0000	9.6014	-0.0257	19.2000	-0.0339
0.1978	0.0715	9.8021	-0.0286	19.4010	-0.0345
0.3993	0.0055	9.9992	-0.0311	19.6001	-0.0363
0.6004	0.0102	10.2000	-0.0332	19.7999	-0.0389
0.7985	0.0139	10.4029	-0.0348	20.0020	-0.0420
1.0007	0.0170	10.5980	-0.0363		
1.1988	0.0190	10.8006	-0.0378		
1.4023	0.0201	10.9995	-0.0387		
1.6011	0.0204	11.2008	-0.0388		
1.8023	0.0199	11.4005	-0.0381		
2.0007	0.0191	11.6011	-0.0361		
2.2008	0.0181	11.7986	-0.0331		
2.4012	0.0166	12.0002	-0.0302		
2.6009	0.0148	12.1988	-0.0281		
2.8005	0.0123	12.3994	-0.0268		
2.9990	0.0094	12.6005	-0.0269		
3.1984	0.0064	12.7999	-0.0284		
3.4014	0.0032	13.0005	-0.0303		
3.6003	0.0008	13.2009	-0.0320		
3.8007	-0.0017	13.3996	-0.0340		
3.9991	-0.0032	13.5991	-0.0350		
4.1981	-0.0043	13.7998	-0.0352		
4.3994	-0.0045	13.9988	-0.0353		
4.6002	-0.0040	14.2006	-0.0352		
4.7998	-0.0030	14.3980	-0.0351		
4.9977	-0.0012	14.5987	-0.0357		
5.2012	-0.0002	14.8001	-0.0373		
5.3977	0.0002	15.0008	-0.0395		
5.6015	-0.0005	15.2009	-0.0420		
5.7992	-0.0021	15.3993	-0.0445		
5.9980	-0.0041	15.5993	-0.0462		
6.2006	-0.0056	15.8015	-0.0469		
6.3987	-0.0058	15.9996	-0.0467		
6.6000	-0.0049	16.2013	-0.0457		
6.7993	-0.0030	16.3996	-0.0440		
7.0019	-0.0003	16.6002	-0.0422		
7.2013	0.0024	16.7985	-0.0401		
7.3992	0.0045	17.0012	-0.0379		
7.6023	0.0058	17.1999	-0.0361		
7.8023	0.0058	17.3984	-0.0350		
7.9985	0.0043	17.5998	-0.0351		
8.2004	0.0015	17.7992	-0.0355		
8.3992	-0.0022	18.0009	-0.0367		
8.5988	-0.0066	18.1989	-0.0373		
8.8002	-0.0111	18.4023	-0.0374		
8.9994	-0.0152	18.6013	-0.0367		
9.2002	-0.0190	18.7983	-0.0355		
9.4015	-0.0226	18.9989	-0.0343		

Fuente: Autores

Tabla A.50: Modelo 7 (PARED INCLINADA 3) PUNTO3PI3

Tiempo (sg)	Velocidad (m/sg)	Tiempo (sg)	Velocidad (m/sg)	Tiempo (sg)	Velocidad (m/sg)
0.0000	0.0000	9.6014	-0.0226	19.2000	-0.0240
0.1978	0.0050	9.8021	-0.0245	19.4010	-0.0233
0.3993	0.0074	9.9992	-0.0274	19.6001	-0.0251
0.6004	0.0138	10.2000	-0.0272	19.7999	-0.0283
0.7985	0.0181	10.4029	-0.0256	20.0020	-0.0334
1.0007	0.0198	10.5980	-0.0276		
1.1988	0.0192	10.8006	-0.0310		
1.4023	0.0173	10.9995	-0.0333		
1.6011	0.0156	11.2008	-0.0366		
1.8023	0.0152	11.4005	-0.0359		
2.0007	0.0160	11.6011	-0.0298		
2.2008	0.0170	11.7986	-0.0233		
2.4012	0.0166	12.0002	-0.0163		
2.6009	0.0141	12.1988	-0.0118		
2.8005	0.0103	12.3994	-0.0107		
2.9990	0.0068	12.6005	-0.0107		
3.1984	0.0048	12.7999	-0.0135		
3.4014	0.0034	13.0005	-0.0172		
3.6003	-0.0001	13.2009	-0.0224		
3.8007	-0.0054	13.3996	-0.0269		
3.9991	-0.0079	13.5991	-0.0285		
4.1981	-0.0072	13.7998	-0.0275		
4.3994	-0.0092	13.9988	-0.0239		
4.6002	-0.0100	14.2006	-0.0213		
4.7998	-0.0050	14.3980	-0.0193		
4.9977	-0.0041	14.5987	-0.0197		
5.2012	-0.0032	14.8001	-0.0217		
5.3977	-0.0016	15.0008	-0.0266		
5.6015	-0.0059	15.2009	-0.0325		
5.7992	-0.0076	15.3993	-0.0373		
5.9980	-0.0134	15.5993	-0.0396		
6.2006	-0.0171	15.8015	-0.0405		
6.3987	-0.0205	15.9996	-0.0421		
6.6000	-0.0213	16.2013	-0.0427		
6.7993	-0.0184	16.3996	-0.0406		
7.0019	-0.0130	16.6002	-0.0367		
7.2013	-0.0054	16.7985	-0.0335		
7.3992	0.0005	17.0012	-0.0299		
7.6023	0.0054	17.1999	-0.0261		
7.8023	0.0069	17.3984	-0.0246		
7.9985	0.0066	17.5998	-0.0272		
8.2004	0.0018	17.7992	-0.0314		
8.3992	-0.0051	18.0009	-0.0353		
8.5988	-0.0122	18.1989	-0.0386		
8.8002	-0.0147	18.4023	-0.0383		
8.9994	-0.0154	18.6013	-0.0332		
9.2002	-0.0175	18.7983	-0.0284		
9.4015	-0.0212	18.9989	-0.0259		

Fuente: Autores

Tabla A.51: Modelo 7 (PARED INCLINADA 3) PUNTO4PI3

Tiempo (sg)	Velocidad (m/sg)	Tiempo (sg)	Velocidad (m/sg)	Tiempo (sg)	Velocidad (m/sg)
0.0000	0.0000	9.6014	0.0001	19.2000	-0.0049
0.1978	0.0004	9.8021	0.0021	19.4010	-0.0047
0.3993	-0.0006	9.9992	0.0017	19.6001	-0.0044
0.6004	-0.0006	10.2000	-0.0004	19.7999	-0.0044
0.7985	0.0057	10.4029	-0.0028	20.0020	-0.0051
1.0007	0.0063	10.5980	-0.0051		
1.1988	0.0022	10.8006	-0.0075		
1.4023	0.0060	10.9995	-0.0085		
1.6011	0.0026	11.2008	-0.0061		
1.8023	0.0040	11.4005	-0.0016		
2.0007	0.0016	11.6011	0.0011		
2.2008	0.0022	11.7986	-0.0002		
2.4012	0.0018	12.0002	-0.0026		
2.6009	0.0030	12.1988	-0.0023		
2.8005	0.0038	12.3994	-0.0007		
2.9990	0.0045	12.6005	-0.0008		
3.1984	0.0038	12.7999	-0.0011		
3.4014	0.0019	13.0005	0.0002		
3.6003	-0.0008	13.2009	0.0006		
3.8007	-0.0032	13.3996	-0.0019		
3.9991	-0.0041	13.5991	-0.0038		
4.1981	-0.0032	13.7998	-0.0042		
4.3994	-0.0010	13.9988	-0.0039		
4.6002	0.0007	14.2006	-0.0036		
4.7998	0.0011	14.3980	-0.0033		
4.9977	0.0001	14.5987	-0.0031		
5.2012	-0.0009	14.8001	-0.0016		
5.3977	-0.0013	15.0008	-0.0009		
5.6015	-0.0007	15.2009	-0.0015		
5.7992	-0.0003	15.3993	-0.0025		
5.9980	-0.0004	15.5993	-0.0065		
6.2006	-0.0012	15.8015	-0.0116		
6.3987	-0.0017	15.9996	-0.0122		
6.6000	-0.0020	16.2013	-0.0113		
6.7993	-0.0016	16.3996	-0.0083		
7.0019	-0.0008	16.6002	-0.0027		
7.2013	0.0002	16.7985	-0.0008		
7.3992	0.0011	17.0012	-0.0011		
7.6023	0.0023	17.1999	-0.0029		
7.8023	0.0035	17.3984	-0.0068		
7.9985	0.0049	17.5998	-0.0082		
8.2004	0.0057	17.7992	-0.0081		
8.3992	0.0047	18.0009	-0.0065		
8.5988	0.0017	18.1989	-0.0045		
8.8002	-0.0026	18.4023	-0.0044		
8.9994	-0.0058	18.6013	-0.0045		
9.2002	-0.0061	18.7983	-0.0052		
9.4015	-0.0034	18.9989	-0.0054		

Fuente: Autores

Tabla A.52: Modelo 8 (PARED INCLINADA 4) FS1PI4

Tiempo (sg)	Velocidad (m/sg)	Tiempo (sg)	Velocidad (m/sg)	Tiempo (sg)	Velocidad (m/sg)
0.0469	0.0001	9.6010	0.0026	19.2013	0.0031
0.1988	0.0420	9.8012	0.0165	19.4005	-0.0031
0.4041	0.0113	9.9992	0.0210	19.6007	-0.0036
0.6022	0.0225	10.2000	0.0165	19.6829	-0.0018
0.8002	0.0367	10.4013	0.0138		
0.9994	0.0515	10.5991	0.0193		
1.2001	0.0554	10.7998	0.0270		
1.4017	0.0442	11.0009	0.0265		
1.5995	0.0292	11.2010	0.0178		
1.8017	0.0250	11.4009	0.0022		
2.0004	0.0341	11.5991	-0.0076		
2.1989	0.0468	11.7987	-0.0020		
2.4000	0.0273	12.0009	0.0139		
2.5985	0.0093	12.1984	0.0265		
2.7993	-0.0066	12.4024	0.0049		
2.9990	0.0011	12.5985	-0.0202		
3.2001	0.0068	12.8001	-0.0300		
3.3994	0.0124	12.9998	-0.0151		
3.6009	0.0147	13.1997	0.0126		
3.8007	0.0042	13.4023	0.0221		
4.0016	-0.0154	13.5972	0.0041		
4.1987	-0.0262	13.8003	-0.0209		
4.4003	-0.0190	14.0017	-0.0272		
4.5985	0.0024	14.2009	-0.0099		
4.8002	0.0154	14.4014	0.0177		
4.9995	0.0037	14.5989	0.0392		
5.2016	-0.0156	14.8000	0.0279		
5.4003	-0.0169	15.0025	0.0008		
5.6008	0.0115	15.2022	-0.0117		
5.7984	0.0377	15.3992	0.0013		
6.0013	0.0370	15.6013	0.0258		
6.1993	0.0214	15.8013	0.0435		
6.4017	0.0067	15.9995	0.0390		
6.5994	0.0078	16.2004	0.0262		
6.7990	0.0170	16.3993	0.0194		
7.0013	0.0266	16.6000	0.0176		
7.1997	0.0287	16.7996	0.0141		
7.3995	0.0254	16.9992	0.0110		
7.6017	0.0231	17.1987	0.0101		
7.7988	0.0174	17.3979	0.0049		
7.9994	0.0160	17.6011	-0.0072		
8.1996	0.0154	17.7993	-0.0201		
8.3991	0.0138	17.9988	-0.0259		
8.6008	0.0100	18.1996	-0.0222		
8.7992	-0.0021	18.4007	-0.0087		
9.0011	-0.0217	18.5991	0.0050		
9.2005	-0.0276	18.8018	0.0108		
9.3992	-0.0195	18.9997	0.0081		

Fuente: Autores

Tabla A.53: Modelo 8 (PARED INCLINADA 4) FS2PI4

Tiempo (sg)	Velocidad (m/sg)	Tiempo (sg)	Velocidad (m/sg)	Tiempo (sg)	Velocidad (m/sg)
0.0469	0.0001	9.6010	0.0052	19.2013	-0.0079
0.1988	0.0759	9.8012	0.0073	19.4005	-0.0016
0.4041	0.0055	9.9992	0.0036	19.6007	0.0043
0.6022	0.0102	10.2000	-0.0012	19.6829	0.0066
0.8002	0.0143	10.4013	-0.0003		
0.9994	0.0182	10.5991	0.0091		
1.2001	0.0216	10.7998	0.0187		
1.4017	0.0239	11.0009	0.0230		
1.5995	0.0250	11.2010	0.0188		
1.8017	0.0245	11.4009	0.0084		
2.0004	0.0226	11.5991	0.0014		
2.1989	0.0192	11.7987	0.0016		
2.4000	0.0140	12.0009	0.0063		
2.5985	0.0080	12.1984	0.0099		
2.7993	0.0028	12.4024	0.0076		
2.9990	-0.0012	12.5985	-0.0007		
3.2001	-0.0029	12.8001	-0.0098		
3.3994	-0.0028	12.9998	-0.0128		
3.6009	-0.0026	13.1997	-0.0093		
3.8007	-0.0047	13.4023	-0.0042		
4.0016	-0.0085	13.5972	-0.0031		
4.1987	-0.0101	13.8003	-0.0066		
4.4003	-0.0070	14.0017	-0.0094		
4.5985	-0.0014	14.2009	-0.0061		
4.8002	0.0020	14.4014	0.0010		
4.9995	-0.0007	14.5989	0.0065		
5.2016	-0.0059	14.8000	0.0070		
5.4003	-0.0076	15.0025	0.0031		
5.6008	-0.0026	15.2022	-0.0002		
5.7984	0.0058	15.3992	0.0011		
6.0013	0.0123	15.6013	0.0073		
6.1993	0.0135	15.8013	0.0154		
6.4017	0.0123	15.9995	0.0215		
6.5994	0.0117	16.2004	0.0212		
6.7990	0.0140	16.3993	0.0160		
7.0013	0.0206	16.6000	0.0114		
7.1997	0.0255	16.7996	0.0099		
7.3995	0.0217	16.9992	0.0123		
7.6017	0.0098	17.1987	0.0141		
7.7988	-0.0010	17.3979	0.0106		
7.9994	-0.0050	17.6011	0.0016		
8.1996	-0.0012	17.7993	-0.0102		
8.3991	0.0038	17.9988	-0.0184		
8.6008	0.0014	18.1996	-0.0185		
8.7992	-0.0082	18.4007	-0.0149		
9.0011	-0.0159	18.5991	-0.0126		
9.2005	-0.0153	18.8018	-0.0124		
9.3992	-0.0056	18.9997	-0.0117		

Fuente: Autores

Tabla A.54: Modelo 8 (PARED INCLINADA 4) FS3PI4

Tiempo (sg)	Velocidad (m/sg)	Tiempo (sg)	Velocidad (m/sg)	Tiempo (sg)	Velocidad (m/sg)
0.0469	0.0002	9.6010	-0.0009	19.2013	-0.0060
0.1988	0.0048	9.8012	-0.0001	19.4005	-0.0048
0.4041	0.0023	9.9992	0.0010	19.6007	-0.0025
0.6022	0.0044	10.2000	0.0014	19.6829	-0.0014
0.8002	0.0067	10.4013	0.0028		
0.9994	0.0094	10.5991	0.0048		
1.2001	0.0115	10.7998	0.0078		
1.4017	0.0138	11.0009	0.0101		
1.5995	0.0153	11.2010	0.0112		
1.8017	0.0161	11.4009	0.0110		
2.0004	0.0165	11.5991	0.0114		
2.1989	0.0159	11.7987	0.0117		
2.4000	0.0147	12.0009	0.0121		
2.5985	0.0126	12.1984	0.0109		
2.7993	0.0096	12.4024	0.0083		
2.9990	0.0066	12.5985	0.0047		
3.2001	0.0028	12.8001	0.0018		
3.3994	-0.0011	12.9998	-0.0018		
3.6009	-0.0044	13.1997	-0.0038		
3.8007	-0.0074	13.4023	-0.0063		
4.0016	-0.0092	13.5972	-0.0081		
4.1987	-0.0103	13.8003	-0.0084		
4.4003	-0.0097	14.0017	-0.0077		
4.5985	-0.0082	14.2009	-0.0068		
4.8002	-0.0055	14.4014	-0.0054		
4.9995	-0.0023	14.5989	-0.0009		
5.2016	0.0012	14.8000	0.0017		
5.4003	0.0049	15.0025	0.0058		
5.6008	0.0083	15.2022	0.0090		
5.7984	0.0111	15.3992	0.0107		
6.0013	0.0131	15.6013	0.0126		
6.1993	0.0136	15.8013	0.0150		
6.4017	0.0136	15.9995	0.0144		
6.5994	0.0121	16.2004	0.0149		
6.7990	0.0109	16.3993	0.0136		
7.0013	0.0098	16.6000	0.0114		
7.1997	0.0089	16.7996	0.0088		
7.3995	0.0074	16.9992	0.0064		
7.6017	0.0049	17.1987	0.0045		
7.7988	0.0026	17.3979	0.0023		
7.9994	0.0018	17.6011	0.0004		
8.1996	0.0017	17.7993	-0.0018		
8.3991	0.0014	17.9988	-0.0030		
8.6008	0.0004	18.1996	-0.0043		
8.7992	-0.0013	18.4007	-0.0043		
9.0011	-0.0025	18.5991	-0.0054		
9.2005	-0.0026	18.8018	-0.0051		
9.3992	-0.0022	18.9997	-0.0061		

Fuente: Autores

Tabla A.55: Modelo 8 (PARED INCLINADA 4) PUNTO1PI4

Tiempo (sg)	Velocidad (m/sg)	Tiempo (sg)	Velocidad (m/sg)	Tiempo (sg)	Velocidad (m/sg)
0.0000	0.0000	9.6010	-0.0283	19.2013	0.0283
0.1988	0.0490	9.8012	-0.0252	19.4005	0.0306
0.4041	0.0026	9.9992	-0.0229	19.6007	0.0334
0.6022	0.0052	10.2000	-0.0217	19.6829	0.0344
0.8002	0.0076	10.4013	-0.0214		
0.9994	0.0100	10.5991	-0.0212		
1.2001	0.0119	10.7998	-0.0213		
1.4017	0.0130	11.0009	-0.0227		
1.5995	0.0131	11.2010	-0.0258		
1.8017	0.0122	11.4009	-0.0305		
2.0004	0.0104	11.5991	-0.0359		
2.1989	0.0083	11.7987	-0.0407		
2.4000	0.0061	12.0009	-0.0437		
2.5985	0.0042	12.1984	-0.0452		
2.7993	0.0030	12.4024	-0.0466		
2.9990	0.0021	12.5985	-0.0486		
3.2001	0.0011	12.8001	-0.0507		
3.3994	0.0003	12.9998	-0.0518		
3.6009	0.0001	13.1997	-0.0503		
3.8007	0.0011	13.4023	-0.0458		
4.0016	0.0027	13.5972	-0.0402		
4.1987	0.0043	13.8003	-0.0347		
4.4003	0.0056	14.0017	-0.0303		
4.5985	0.0066	14.2009	-0.0267		
4.8002	0.0077	14.4014	-0.0225		
4.9995	0.0089	14.5989	-0.0174		
5.2016	0.0103	14.8000	-0.0120		
5.4003	0.0112	15.0025	-0.0074		
5.6008	0.0105	15.2022	-0.0038		
5.7984	0.0076	15.3992	-0.0007		
6.0013	0.0023	15.6013	0.0029		
6.1993	-0.0040	15.8013	0.0074		
6.4017	-0.0105	15.9995	0.0125		
6.5994	-0.0162	16.2004	0.0174		
6.7990	-0.0213	16.3993	0.0211		
7.0013	-0.0255	16.6000	0.0230		
7.1997	-0.0292	16.7996	0.0229		
7.3995	-0.0322	16.9992	0.0218		
7.6017	-0.0338	17.1987	0.0209		
7.7988	-0.0347	17.3979	0.0204		
7.9994	-0.0352	17.6011	0.0206		
8.1996	-0.0353	17.7993	0.0209		
8.3991	-0.0351	17.9988	0.0213		
8.6008	-0.0345	18.1996	0.0220		
8.7992	-0.0339	18.4007	0.0235		
9.0011	-0.0336	18.5991	0.0251		
9.2005	-0.0329	18.8018	0.0262		
9.3992	-0.0313	18.9997	0.0271		

Fuente: Autores

Tabla A.56: Modelo 8 (PARED INCLINADA 4) PUNTO2PI4

Tiempo (sg)	Velocidad (m/sg)	Tiempo (sg)	Velocidad (m/sg)	Tiempo (sg)	Velocidad (m/sg)
0.0000	0.0000	9.6010	-0.0038	19.2013	-0.0001
0.1988	0.0049	9.8012	-0.0039	19.4005	0.0007
0.4041	0.0001	9.9992	-0.0039	19.6007	0.0013
0.6022	0.0006	10.2000	-0.0037	19.6829	0.0016
0.8002	0.0011	10.4013	-0.0036		
0.9994	0.0015	10.5991	-0.0036		
1.2001	0.0018	10.7998	-0.0037		
1.4017	0.0019	11.0009	-0.0039		
1.5995	0.0020	11.2010	-0.0040		
1.8017	0.0019	11.4009	-0.0041		
2.0004	0.0016	11.5991	-0.0044		
2.1989	0.0013	11.7987	-0.0050		
2.4000	0.0008	12.0009	-0.0057		
2.5985	0.0003	12.1984	-0.0063		
2.7993	-0.0003	12.4024	-0.0069		
2.9990	-0.0008	12.5985	-0.0072		
3.2001	-0.0012	12.8001	-0.0074		
3.3994	-0.0014	12.9998	-0.0077		
3.6009	-0.0014	13.1997	-0.0080		
3.8007	-0.0013	13.4023	-0.0084		
4.0016	-0.0013	13.5972	-0.0086		
4.1987	-0.0014	13.8003	-0.0085		
4.4003	-0.0013	14.0017	-0.0081		
4.5985	-0.0012	14.2009	-0.0077		
4.8002	-0.0008	14.4014	-0.0074		
4.9995	-0.0005	14.5989	-0.0073		
5.2016	-0.0005	14.8000	-0.0070		
5.4003	-0.0006	15.0025	-0.0066		
5.6008	-0.0006	15.2022	-0.0060		
5.7984	-0.0003	15.3992	-0.0054		
6.0013	0.0002	15.6013	-0.0049		
6.1993	0.0009	15.8013	-0.0044		
6.4017	0.0014	15.9995	-0.0039		
6.5994	0.0015	16.2004	-0.0036		
6.7990	0.0013	16.3993	-0.0034		
7.0013	0.0011	16.6000	-0.0033		
7.1997	0.0009	16.7996	-0.0031		
7.3995	0.0006	16.9992	-0.0029		
7.6017	0.0001	17.1987	-0.0027		
7.7988	-0.0006	17.3979	-0.0027		
7.9994	-0.0015	17.6011	-0.0029		
8.1996	-0.0023	17.7993	-0.0033		
8.3991	-0.0028	17.9988	-0.0036		
8.6008	-0.0030	18.1996	-0.0036		
8.7992	-0.0032	18.4007	-0.0034		
9.0011	-0.0033	18.5991	-0.0029		
9.2005	-0.0035	18.8018	-0.0021		
9.3992	-0.0037	18.9997	-0.0010		

Fuente: Autores

Tabla A.57: Modelo 8 (PARED INCLINADA 4) PUNTO3PI4

Tiempo (sg)	Velocidad (m/sg)	Tiempo (sg)	Velocidad (m/sg)	Tiempo (sg)	Velocidad (m/sg)
0.0000	0.0000	9.6010	-0.0663	19.2013	-0.1469
0.1988	0.0119	9.8012	-0.0459	19.4005	-0.1399
0.4041	0.0146	9.9992	-0.0531	19.6007	-0.1539
0.6022	0.0235	10.2000	-0.0675	19.6829	-0.1595
0.8002	0.0299	10.4013	-0.0707		
0.9994	0.0381	10.5991	-0.0825		
1.2001	0.0460	10.7998	-0.0781		
1.4017	0.0507	11.0009	-0.0443		
1.5995	0.0531	11.2010	-0.0116		
1.8017	0.0543	11.4009	-0.0376		
2.0004	0.0522	11.5991	-0.1131		
2.1989	0.0450	11.7987	-0.1453		
2.4000	0.0338	12.0009	-0.1141		
2.5985	0.0200	12.1984	-0.0855		
2.7993	0.0041	12.4024	-0.0856		
2.9990	-0.0108	12.5985	-0.1106		
3.2001	-0.0168	12.8001	-0.1573		
3.3994	-0.0099	12.9998	-0.1710		
3.6009	0.0011	13.1997	-0.1487		
3.8007	0.0018	13.4023	-0.1343		
4.0016	-0.0108	13.5972	-0.1469		
4.1987	-0.0268	13.8003	-0.1646		
4.4003	-0.0398	14.0017	-0.1607		
4.5985	-0.0189	14.2009	-0.1424		
4.8002	0.0107	14.4014	-0.1352		
4.9995	0.0128	14.5989	-0.1412		
5.2016	-0.0044	14.8000	-0.1443		
5.4003	-0.0423	15.0025	-0.1372		
5.6008	-0.0632	15.2022	-0.1441		
5.7984	-0.0423	15.3992	-0.1516		
6.0013	0.0036	15.6013	-0.1492		
6.1993	0.0287	15.8013	-0.1352		
6.4017	0.0152	15.9995	-0.1072		
6.5994	-0.0040	16.2004	-0.0843		
6.7990	-0.0160	16.3993	-0.0946		
7.0013	-0.0144	16.6000	-0.1383		
7.1997	0.0079	16.7996	-0.1660		
7.3995	0.0324	16.9992	-0.1448		
7.6017	0.0126	17.1987	-0.1026		
7.7988	-0.0443	17.3979	-0.0875		
7.9994	-0.0899	17.6011	-0.1195		
8.1996	-0.0872	17.7993	-0.1811		
8.3991	-0.0457	17.9988	-0.2128		
8.6008	-0.0272	18.1996	-0.2167		
8.7992	-0.0564	18.4007	-0.2012		
9.0011	-0.0911	18.5991	-0.1804		
9.2005	-0.0954	18.8018	-0.1822		
9.3992	-0.0876	18.9997	-0.1731		

Fuente: Autores

Tabla A.58: Modelo 8 (PARED INCLINADA 4) PUNTO4PI4

Tiempo (sg)	Velocidad (m/sg)	Tiempo (sg)	Velocidad (m/sg)	Tiempo (sg)	Velocidad (m/sg)
0.0000	0.0000	9.6010	0.0382	19.2013	-0.0699
0.1988	0.0028	9.8012	0.0468	19.4005	-0.0646
0.4041	0.0026	9.9992	0.0163	19.6007	-0.0241
0.6022	0.0037	10.2000	-0.0385	19.6829	-0.0051
0.8002	0.0083	10.4013	-0.0666		
0.9994	0.0082	10.5991	-0.0389		
1.2001	0.0048	10.7998	0.0312		
1.4017	0.0134	11.0009	0.0699		
1.5995	0.0123	11.2010	0.0379		
1.8017	0.0131	11.4009	-0.0301		
2.0004	0.0106	11.5991	-0.0580		
2.1989	0.0107	11.7987	-0.0264		
2.4000	0.0083	12.0009	0.0334		
2.5985	0.0070	12.1984	0.0536		
2.7993	0.0069	12.4024	0.0078		
2.9990	0.0055	12.5985	-0.0563		
3.2001	-0.0005	12.8001	-0.0669		
3.3994	-0.0069	12.9998	-0.0227		
3.6009	-0.0088	13.1997	0.0211		
3.8007	-0.0078	13.4023	0.0190		
4.0016	-0.0073	13.5972	-0.0148		
4.1987	-0.0051	13.8003	-0.0409		
4.4003	0.0012	14.0017	-0.0239		
4.5985	0.0074	14.2009	0.0008		
4.8002	0.0086	14.4014	-0.0165		
4.9995	0.0017	14.5989	-0.0524		
5.2016	-0.0105	14.8000	-0.0467		
5.4003	-0.0180	15.0025	-0.0091		
5.6008	-0.0103	15.2022	0.0261		
5.7984	0.0073	15.3992	0.0262		
6.0013	0.0272	15.6013	-0.0193		
6.1993	0.0281	15.8013	-0.0538		
6.4017	0.0014	15.9995	-0.0329		
6.5994	-0.0270	16.2004	-0.0049		
6.7990	-0.0280	16.3993	-0.0001		
7.0013	0.0104	16.6000	-0.0057		
7.1997	0.0602	16.7996	-0.0176		
7.3995	0.0647	16.9992	-0.0328		
7.6017	-0.0014	17.1987	-0.0256		
7.7988	-0.0690	17.3979	-0.0159		
7.9994	-0.0649	17.6011	-0.0054		
8.1996	0.0055	17.7993	-0.0189		
8.3991	0.0657	17.9988	-0.0482		
8.6008	0.0504	18.1996	-0.0555		
8.7992	-0.0224	18.4007	-0.0292		
9.0011	-0.0689	18.5991	-0.0136		
9.2005	-0.0467	18.8018	-0.0182		
9.3992	0.0027	18.9997	-0.0518		

Fuente: Autores

Tabla A.59: Modelo 9 (PARED INCLINADA 5) FS1PI5

Tiempo (sg)	Velocidad (m/sg)	Tiempo (sg)	Velocidad (m/sg)	Tiempo (sg)	Velocidad (m/sg)
0.0469	0.0000	9.5990	-0.0066	19.1993	0.0062
0.1988	0.0426	9.8006	0.0011	19.4010	0.0251
0.3977	0.0112	10.0007	-0.0029	19.6009	0.0369
0.5998	0.0228	10.2006	-0.0118	19.8002	0.0338
0.7993	0.0375	10.4013	-0.0103	20.0002	0.0271
0.9996	0.0524	10.5986	0.0080		
1.1998	0.0558	10.7995	0.0287		
1.3982	0.0438	11.0000	0.0300		
1.5972	0.0274	11.1994	0.0155		
1.7989	0.0229	11.4006	0.0020		
1.9989	0.0338	11.5995	0.0019		
2.2015	0.0449	11.8004	0.0142		
2.3997	0.0290	12.0009	0.0300		
2.5999	0.0151	12.1986	0.0349		
2.8008	0.0016	12.4016	0.0279		
3.0017	-0.0040	12.6013	0.0128		
3.1986	0.0052	12.7990	-0.0009		
3.4006	0.0147	12.9990	-0.0008		
3.6002	0.0166	13.2021	0.0047		
3.8001	0.0037	13.4009	0.0009		
3.9987	-0.0094	13.6011	-0.0126		
4.1997	-0.0195	13.8000	-0.0271		
4.3991	-0.0151	13.9984	-0.0253		
4.5995	-0.0010	14.2008	-0.0082		
4.7994	0.0136	14.3992	0.0118		
4.9991	0.0113	14.6013	0.0304		
5.1989	0.0028	14.8005	0.0298		
5.4015	-0.0034	15.0001	0.0164		
5.6008	-0.0031	15.2011	0.0087		
5.7992	0.0080	15.3994	0.0081		
5.9990	0.0208	15.5984	0.0091		
6.1974	0.0277	15.8002	0.0199		
6.3991	0.0156	15.9990	0.0272		
6.6007	-0.0051	16.1989	0.0194		
6.7992	-0.0111	16.3995	0.0038		
7.0011	0.0074	16.6000	-0.0090		
7.1992	0.0319	16.7986	-0.0086		
7.4000	0.0387	16.9998	0.0068		
7.5998	0.0267	17.2005	0.0182		
7.8005	0.0160	17.4009	0.0136		
8.0011	0.0163	17.6015	0.0015		
8.2014	0.0233	17.7989	-0.0075		
8.3997	0.0246	17.9999	-0.0042		
8.5986	0.0152	18.1987	0.0088		
8.8014	0.0043	18.3988	0.0169		
8.9993	-0.0091	18.5992	0.0130		
9.1990	-0.0162	18.8008	-0.0004		
9.3986	-0.0113	18.9998	-0.0052		

Fuente: Autores

Tabla A.60: Modelo 9 (PARED INCLINADA 5) FS2PI5

Tiempo (sg)	Velocidad (m/sg)	Tiempo (sg)	Velocidad (m/sg)	Tiempo (sg)	Velocidad (m/sg)
0.0469	0.0001	9.5990	0.0003	19.1993	0.0042
0.1988	0.0753	9.8006	0.0087	19.4010	0.0025
0.3977	0.0047	10.0007	0.0080	19.6009	0.0017
0.5998	0.0092	10.2006	-0.0022	19.8002	0.0015
0.7993	0.0136	10.4013	-0.0092	20.0002	0.0009
0.9996	0.0177	10.5986	-0.0048		
1.1998	0.0214	10.7995	0.0068		
1.3982	0.0240	11.0000	0.0154		
1.5972	0.0253	11.1994	0.0146		
1.7989	0.0252	11.4006	0.0092		
1.9989	0.0236	11.5995	0.0052		
2.2015	0.0200	11.8004	0.0054		
2.3997	0.0148	12.0009	0.0082		
2.5999	0.0088	12.1986	0.0099		
2.8008	0.0030	12.4016	0.0089		
3.0017	-0.0009	12.6013	0.0038		
3.1986	-0.0028	12.7990	-0.0031		
3.4006	-0.0031	12.9990	-0.0072		
3.6002	-0.0034	13.2021	-0.0044		
3.8001	-0.0066	13.4009	0.0033		
3.9987	-0.0112	13.6011	0.0076		
4.1997	-0.0127	13.8000	0.0034		
4.3991	-0.0087	13.9984	-0.0044		
4.5995	-0.0009	14.2008	-0.0085		
4.7994	0.0050	14.3992	-0.0050		
4.9991	0.0043	14.6013	0.0015		
5.1989	0.0000	14.8005	0.0050		
5.4015	-0.0020	15.0001	0.0063		
5.6008	0.0016	15.2011	0.0064		
5.7992	0.0076	15.3994	0.0058		
5.9990	0.0118	15.5984	0.0067		
6.1974	0.0127	15.8002	0.0092		
6.3991	0.0109	15.9990	0.0107		
6.6007	0.0083	16.1989	0.0084		
6.7992	0.0073	16.3995	0.0031		
7.0011	0.0098	16.6000	-0.0008		
7.1992	0.0128	16.7986	0.0011		
7.4000	0.0126	16.9998	0.0064		
7.5998	0.0076	17.2005	0.0080		
7.8005	0.0008	17.4009	0.0041		
8.0011	-0.0024	17.6015	-0.0012		
8.2014	0.0005	17.7989	-0.0034		
8.3997	0.0059	17.9999	-0.0023		
8.5986	0.0077	18.1987	0.0008		
8.8014	0.0028	18.3988	0.0040		
8.9993	-0.0060	18.5992	0.0051		
9.1990	-0.0120	18.8008	0.0050		
9.3986	-0.0090	18.9998	0.0048		

Fuente: Autores

Tabla A.61: Modelo 9 (PARED INCLINADA 5) FS3PI5

Tiempo (sg)	Velocidad (m/sg)	Tiempo (sg)	Velocidad (m/sg)	Tiempo (sg)	Velocidad (m/sg)
0.0469	0.0002	9.5990	0.0057	19.1993	-0.0018
0.1988	0.0007	9.8006	0.0081	19.4010	-0.0009
0.3977	0.0026	10.0007	0.0098	19.6009	0.0013
0.5998	0.0054	10.2006	0.0103	19.8002	0.0036
0.7993	0.0082	10.4013	0.0096	20.0002	0.0055
0.9996	0.0112	10.5986	0.0083		
1.1998	0.0135	10.7995	0.0080		
1.3982	0.0159	11.0000	0.0068		
1.5972	0.0173	11.1994	0.0053		
1.7989	0.0179	11.4006	0.0034		
1.9989	0.0181	11.5995	0.0015		
2.2015	0.0172	11.8004	0.0002		
2.3997	0.0157	12.0009	0.0004		
2.5999	0.0134	12.1986	0.0012		
2.8008	0.0103	12.4016	0.0024		
3.0017	0.0069	12.6013	0.0036		
3.1986	0.0028	12.7990	0.0038		
3.4006	-0.0012	12.9990	0.0039		
3.6002	-0.0048	13.2021	0.0043		
3.8001	-0.0080	13.4009	0.0066		
3.9987	-0.0101	13.6011	0.0068		
4.1997	-0.0113	13.8000	0.0060		
4.3991	-0.0110	13.9984	0.0048		
4.5995	-0.0094	14.2008	0.0031		
4.7994	-0.0067	14.3992	0.0024		
4.9991	-0.0032	14.6013	0.0021		
5.1989	0.0006	14.8005	0.0012		
5.4015	0.0051	15.0001	0.0003		
5.6008	0.0093	15.2011	-0.0003		
5.7992	0.0132	15.3994	0.0003		
5.9990	0.0162	15.5984	0.0005		
6.1974	0.0177	15.8002	0.0016		
6.3991	0.0176	15.9990	0.0035		
6.6007	0.0158	16.1989	0.0052		
6.7992	0.0140	16.3995	0.0071		
7.0011	0.0118	16.6000	0.0086		
7.1992	0.0094	16.7986	0.0089		
7.4000	0.0061	16.9998	0.0098		
7.5998	0.0016	17.2005	0.0106		
7.8005	-0.0026	17.4009	0.0093		
8.0011	-0.0047	17.6015	0.0069		
8.2014	-0.0054	17.7989	0.0051		
8.3997	-0.0052	17.9999	0.0027		
8.5986	-0.0048	18.1987	0.0013		
8.8014	-0.0041	18.3988	-0.0007		
8.9993	-0.0026	18.5992	-0.0027		
9.1990	-0.0001	18.8008	-0.0037		
9.3986	0.0026	18.9998	-0.0028		

Fuente: Autores

Tabla A.62: Modelo 9 (PARED INCLINADA 5) PUNTO1PI5

Tiempo (sg)	Velocidad (m/sg)	Tiempo (sg)	Velocidad (m/sg)	Tiempo (sg)	Velocidad (m/sg)
0.0000	0.0000	9.5990	-0.0416	19.1993	0.0092
0.1988	0.0500	9.8006	-0.0370	19.4010	0.0079
0.3977	0.0023	10.0007	-0.0333	19.6009	0.0067
0.5968	0.0048	10.2006	-0.0304	19.8002	0.0064
0.7953	0.0074	10.4013	-0.0282	20.0002	0.0072
0.9996	0.0098	10.5986	-0.0259		
1.1998	0.0117	10.7995	-0.0226		
1.3982	0.0129	11.0000	-0.0191		
1.5972	0.0131	11.1994	-0.0165		
1.7989	0.0124	11.4006	-0.0158		
1.9989	0.0107	11.5995	-0.0168		
2.2015	0.0085	11.8004	-0.0186		
2.3997	0.0064	12.0009	-0.0203		
2.5999	0.0048	12.1986	-0.0216		
2.8008	0.0035	12.4016	-0.0228		
3.0017	0.0024	12.6013	-0.0242		
3.1986	0.0012	12.7990	-0.0255		
3.4006	-0.0002	12.9990	-0.0268		
3.6002	-0.0010	13.2021	-0.0277		
3.8001	-0.0009	13.4009	-0.0273		
3.9987	0.0006	13.6011	-0.0258		
4.1997	0.0027	13.8000	-0.0240		
4.3991	0.0048	13.9984	-0.0227		
4.5995	0.0065	14.2008	-0.0218		
4.7994	0.0083	14.3992	-0.0204		
4.9991	0.0104	14.6013	-0.0173		
5.1989	0.0130	14.8005	-0.0126		
5.4015	0.0157	15.0001	-0.0077		
5.6008	0.0173	15.2011	-0.0042		
5.7992	0.0171	15.3994	-0.0028		
5.9990	0.0145	15.5984	-0.0032		
6.1974	0.0095	15.8002	-0.0036		
6.3991	0.0021	15.9990	-0.0029		
6.6007	-0.0069	16.1989	-0.0009		
6.7992	-0.0165	16.3995	0.0014		
7.0011	-0.0263	16.6000	0.0026		
7.1992	-0.0355	16.7986	0.0028		
7.4000	-0.0438	16.9998	0.0027		
7.5998	-0.0503	17.2005	0.0033		
7.8005	-0.0547	17.4009	0.0044		
8.0011	-0.0567	17.6015	0.0053		
8.2014	-0.0568	17.7989	0.0054		
8.3997	-0.0558	17.9999	0.0050		
8.5986	-0.0544	18.1987	0.0050		
8.8014	-0.0529	18.3988	0.0058		
8.9993	-0.0513	18.5992	0.0075		
9.1990	-0.0491	18.8008	0.0090		
9.3986	-0.0456	18.9998	0.0097		

Fuente: Autores

Tabla A.63: Modelo 9 (PARED INCLINADA 5) PUNTO2PI5

Tiempo (sg)	Velocidad (m/sg)	Tiempo (sg)	Velocidad (m/sg)	Tiempo (sg)	Velocidad (m/sg)
0.0000	0.0000	9.5990	-0.0048	19.1993	-0.0003
0.1988	0.0056	9.8006	-0.0053	19.4010	0.0000
0.3977	0.0000	10.0007	-0.0056	19.6009	0.0003
0.5968	0.0004	10.2006	-0.0056	19.8002	0.0006
0.7953	0.0009	10.4013	-0.0057	20.0002	0.0010
0.9996	0.0014	10.5986	-0.0060		
1.1998	0.0017	10.7995	-0.0063		
1.3982	0.0020	11.0000	-0.0065		
1.5972	0.0021	11.1994	-0.0064		
1.7989	0.0020	11.4006	-0.0062		
1.9989	0.0017	11.5995	-0.0062		
2.2015	0.0014	11.8004	-0.0064		
2.3997	0.0009	12.0009	-0.0068		
2.5999	0.0003	12.1986	-0.0071		
2.8008	-0.0004	12.4016	-0.0072		
3.0017	-0.0009	12.6013	-0.0072		
3.1986	-0.0014	12.7990	-0.0072		
3.4006	-0.0016	12.9990	-0.0071		
3.6002	-0.0017	13.2021	-0.0070		
3.8001	-0.0017	13.4009	-0.0068		
3.9987	-0.0017	13.6011	-0.0065		
4.1997	-0.0017	13.8000	-0.0063		
4.3991	-0.0017	13.9984	-0.0063		
4.5995	-0.0014	14.2008	-0.0062		
4.7994	-0.0009	14.3992	-0.0060		
4.9991	-0.0003	14.6013	-0.0057		
5.1989	-0.0001	14.8005	-0.0053		
5.4015	-0.0001	15.0001	-0.0050		
5.6008	-0.0001	15.2011	-0.0048		
5.7992	0.0000	15.3994	-0.0044		
5.9990	0.0004	15.5984	-0.0039		
6.1974	0.0009	15.8002	-0.0035		
6.3991	0.0013	15.9990	-0.0032		
6.6007	0.0013	16.1989	-0.0032		
6.7992	0.0010	16.3995	-0.0032		
7.0011	0.0006	16.6000	-0.0032		
7.1992	0.0002	16.7986	-0.0031		
7.4000	0.0000	16.9998	-0.0028		
7.5998	-0.0001	17.2005	-0.0026		
7.8005	-0.0004	17.4009	-0.0024		
8.0011	-0.0009	17.6015	-0.0023		
8.2014	-0.0015	17.7989	-0.0022		
8.3997	-0.0021	17.9999	-0.0020		
8.5986	-0.0026	18.1987	-0.0015		
8.8014	-0.0029	18.3988	-0.0010		
8.9993	-0.0031	18.5992	-0.0006		
9.1990	-0.0035	18.8008	-0.0004		
9.3986	-0.0041	18.9998	-0.0004		

Fuente: Autores

Tabla A.64: Modelo 9 (PARED INCLINADA 5) PUNTO3PI5

Tiempo (sg)	Velocidad (m/sg)	Tiempo (sg)	Velocidad (m/sg)	Tiempo (sg)	Velocidad (m/sg)
0.0000	0.0000	9.5990	-0.0959	19.1993	-0.1106
0.1988	0.0089	9.8006	-0.0650	19.4010	-0.1125
0.3977	0.0114	10.0007	-0.0373	19.6009	-0.1125
0.5968	0.0199	10.2006	-0.0623	19.8002	-0.1066
0.7953	0.0277	10.4013	-0.1106	20.0002	-0.1117
0.9996	0.0376	10.5986	-0.1141		
1.1998	0.0464	10.7995	-0.0794		
1.3982	0.0515	11.0000	-0.0523		
1.5972	0.0543	11.1994	-0.0533		
1.7989	0.0562	11.4006	-0.0526		
1.9989	0.0551	11.5995	-0.0491		
2.2015	0.0483	11.8004	-0.0741		
2.3997	0.0368	12.0009	-0.1083		
2.5999	0.0218	12.1986	-0.1025		
2.8008	0.0046	12.4016	-0.0587		
3.0017	-0.0112	12.6013	-0.0425		
3.1986	-0.0178	12.7990	-0.0934		
3.4006	-0.0109	12.9990	-0.1556		
3.6002	0.0003	13.2021	-0.1447		
3.8001	0.0005	13.4009	-0.0858		
3.9987	-0.0154	13.6011	-0.0435		
4.1997	-0.0355	13.8000	-0.0575		
4.3991	-0.0414	13.9984	-0.1153		
4.5995	-0.0213	14.2008	-0.1550		
4.7994	0.0127	14.3992	-0.1436		
4.9991	0.0305	14.6013	-0.0963		
5.1989	0.0140	14.8005	-0.0625		
5.4015	-0.0206	15.0001	-0.0738		
5.6008	-0.0471	15.2011	-0.0990		
5.7992	-0.0343	15.3994	-0.1097		
5.9990	-0.0009	15.5984	-0.1060		
6.1974	0.0193	15.8002	-0.0827		
6.3991	0.0109	15.9990	-0.0539		
6.6007	-0.0049	16.1989	-0.0601		
6.7992	-0.0268	16.3995	-0.1066		
7.0011	-0.0403	16.6000	-0.1432		
7.1992	-0.0334	16.7986	-0.1281		
7.4000	-0.0165	16.9998	-0.0878		
7.5998	-0.0126	17.2005	-0.0717		
7.8005	-0.0333	17.4009	-0.0911		
8.0011	-0.0681	17.6015	-0.1210		
8.2014	-0.0789	17.7989	-0.1304		
8.3997	-0.0563	17.9999	-0.1232		
8.5986	-0.0344	18.1987	-0.1162		
8.8014	-0.0427	18.3988	-0.0980		
8.9993	-0.0648	18.5992	-0.0802		
9.1990	-0.0853	18.8008	-0.0899		
9.3986	-0.1015	18.9998	-0.1062		

Fuente: Autores

Tabla A.65: Modelo 9 (PARED INCLINADA 5) PUNTO4PI5

Tiempo (sg)	Velocidad (m/sg)	Tiempo (sg)	Velocidad (m/sg)	Tiempo (sg)	Velocidad (m/sg)
0.0000	0.0000	9.5990	0.0062	19.1993	-0.0155
0.1988	0.0026	9.8006	0.0197	19.4010	0.0038
0.3977	0.0024	10.0007	0.0233	19.6009	-0.0068
0.5965	0.0033	10.2006	-0.0064	19.8002	-0.0234
0.7953	0.0078	10.4013	-0.0397	20.0002	-0.0269
0.9946	0.0081	10.5986	-0.0408		
1.1938	0.0052	10.7995	-0.0028		
1.3922	0.0134	11.0000	0.0345		
1.5912	0.0124	11.1994	0.0357		
1.7902	0.0130	11.4006	0.0079		
1.9891	0.0114	11.5995	-0.0238		
2.2015	0.0122	11.8004	-0.0378		
2.3997	0.0100	12.0009	-0.0320		
2.5999	0.0074	12.1986	0.0011		
2.8008	0.0061	12.4016	0.0344		
3.0017	0.0041	12.6013	0.0242		
3.1986	-0.0016	12.7990	-0.0195		
3.4006	-0.0077	12.9990	-0.0526		
3.6002	-0.0095	13.2021	-0.0398		
3.8001	-0.0084	13.4009	0.0009		
3.9987	-0.0075	13.6011	0.0261		
4.1997	-0.0051	13.8000	0.0161		
4.3991	0.0010	13.9984	-0.0223		
4.5995	0.0076	14.2008	-0.0449		
4.7994	0.0092	14.3992	-0.0313		
4.9991	0.0012	14.6013	0.0072		
5.1989	-0.0117	14.8005	0.0302		
5.4015	-0.0186	15.0001	-0.0061		
5.6008	-0.0111	15.2011	-0.0559		
5.7992	0.0115	15.3994	-0.0562		
5.9990	0.0353	15.5984	-0.0071		
6.1974	0.0374	15.8002	0.0249		
6.3991	0.0052	15.9990	0.0046		
6.6007	-0.0350	16.1989	-0.0255		
6.7992	-0.0416	16.3995	-0.0275		
7.0011	-0.0008	16.6000	-0.0104		
7.1992	0.0555	16.7986	-0.0005		
7.4000	0.0686	16.9998	-0.0027		
7.5998	0.0088	17.2005	-0.0159		
7.8005	-0.0657	17.4009	-0.0299		
8.0011	-0.0723	17.6015	-0.0461		
8.2014	-0.0099	17.7989	-0.0396		
8.3997	0.0510	17.9999	-0.0096		
8.5986	0.0489	18.1987	0.0237		
8.8014	-0.0063	18.3988	0.0225		
8.9993	-0.0434	18.5992	-0.0244		
9.1990	-0.0293	18.8008	-0.0620		
9.3986	-0.0042	18.9998	-0.0533		

Fuente: Autores

Tabla A.66: Modelo 10 (PARED INCLINADA 6) FS1PI6

Tiempo (sg)	Velocidad (m/sg)	Tiempo (sg)	Velocidad (m/sg)
0.0449	0.0000	9.6004	0.0388
0.2003	0.0371	9.8016	0.0239
0.4010	0.0090	9.9988	-0.0073
0.5981	0.0187	10.2020	-0.0279
0.8012	0.0317	10.3999	-0.0245
0.9981	0.0446	10.6013	-0.0038
1.2007	0.0468	10.8018	-0.0007
1.4021	0.0341	10.9994	-0.0056
1.6004	0.0190	11.1984	-0.0110
1.7989	0.0186	11.4004	-0.0059
1.9998	0.0393	11.5995	0.0056
2.2003	0.0489	11.8000	0.0166
2.3989	0.0240	11.9990	0.0258
2.6007	0.0027	12.1996	0.0168
2.7988	0.0058	12.4010	-0.0008
3.0013	0.0343	12.5983	-0.0132
3.2004	0.0530	12.8006	-0.0155
3.4015	0.0484	12.9987	0.0028
3.6017	0.0308	13.1976	0.0335
3.7980	-0.0031	13.3984	0.0493
4.0018	-0.0286	13.6001	0.0374
4.1999	-0.0316	13.7992	0.0104
4.4008	-0.0168	13.9992	0.0040
4.5992	0.0016	14.2010	0.0304
4.7987	0.0026	14.2989	0.0485
5.0006	-0.0219		
5.1989	-0.0321		
5.3994	-0.0107		
5.6016	0.0298		
5.8020	0.0395		
5.9987	0.0100		
6.1988	-0.0267		
6.4007	-0.0426		
6.6000	-0.0146		
6.8014	0.0305		
7.0009	0.0465		
7.1999	0.0388		
7.3988	0.0312		
7.6006	0.0306		
7.7997	0.0367		
7.9983	0.0435		
8.1986	0.0407		
8.3978	0.0254		
8.6010	-0.0040		
8.7998	-0.0280		
8.9995	-0.0184		
9.1990	0.0054		
9.3993	0.0272		

Fuente: Autores

Tabla A.67: Modelo 10 (PARED INCLINADA 6) FS2PI6

Tiempo (sg)	Velocidad (m/sg)	Tiempo (sg)	Velocidad (m/sg)
0.0449	0.0001	9.6004	-0.0015
0.2003	0.0575	9.8016	-0.0044
0.4010	0.0033	9.9988	-0.0068
0.5981	0.0070	10.2020	-0.0086
0.8012	0.0104	10.3999	-0.0101
0.9981	0.0136	10.6013	-0.0110
1.2007	0.0168	10.8018	-0.0115
1.4021	0.0195	10.9994	-0.0114
1.6004	0.0217	11.1984	-0.0106
1.7989	0.0234	11.4004	-0.0080
1.9998	0.0247	11.5995	-0.0047
2.2003	0.0248	11.8000	-0.0010
2.3989	0.0235	11.9990	0.0029
2.6007	0.0214	12.1996	0.0072
2.7988	0.0188	12.4010	0.0103
3.0013	0.0155	12.5983	0.0126
3.2004	0.0116	12.8006	0.0145
3.4015	0.0076	12.9987	0.0157
3.6017	0.0043	13.1976	0.0164
3.7980	0.0010	13.3984	0.0160
4.0018	-0.0025	13.6001	0.0150
4.1999	-0.0052	13.7992	0.0138
4.4008	-0.0074	13.9992	0.0127
4.5992	-0.0094	14.2010	0.0109
4.7987	-0.0110	14.2989	0.0102
5.0006	-0.0113		
5.1989	-0.0108		
5.3994	-0.0104		
5.6016	-0.0090		
5.8020	-0.0070		
5.9987	-0.0046		
6.1988	-0.0018		
6.4007	0.0013		
6.6000	0.0056		
6.8014	0.0088		
7.0009	0.0119		
7.1999	0.0148		
7.3988	0.0173		
7.6006	0.0185		
7.7997	0.0193		
7.9983	0.0199		
8.1986	0.0196		
8.3978	0.0184		
8.6010	0.0163		
8.7998	0.0134		
8.9995	0.0101		
9.1990	0.0057		
9.3993	0.0017		

Fuente: Autores

Tabla A.68: Modelo 10 (PARED INCLINADA 6) FS3PI6

Tiempo (sg)	Velocidad (m/sg)	Tiempo (sg)	Velocidad (m/sg)
0.0449	0.0002	9.6004	0.0039
0.2003	0.0004	9.8016	0.0015
0.4010	0.0023	9.9988	-0.0009
0.5981	0.0047	10.2020	-0.0028
0.8012	0.0072	10.3999	-0.0045
0.9981	0.0099	10.6013	-0.0059
1.2007	0.0118	10.8018	-0.0064
1.4021	0.0138	10.9994	-0.0064
1.6004	0.0147	11.1984	-0.0058
1.7989	0.0152	11.4004	-0.0049
1.9998	0.0151	11.5995	-0.0032
2.2003	0.0144	11.8000	-0.0009
2.3989	0.0133	11.9990	0.0013
2.6007	0.0116	12.1996	0.0037
2.7988	0.0099	12.4010	0.0070
3.0013	0.0081	12.5983	0.0093
3.2004	0.0060	12.8006	0.0114
3.4015	0.0043	12.9987	0.0131
3.6017	0.0026	13.1976	0.0141
3.7980	0.0013	13.3984	0.0144
4.0018	0.0002	13.6001	0.0139
4.1999	-0.0010	13.7992	0.0126
4.4008	-0.0016	13.9992	0.0111
4.5992	-0.0022	14.2010	0.0089
4.7987	-0.0026	14.2989	0.0078
5.0006	-0.0026		
5.1989	-0.0029		
5.3994	-0.0021		
5.6016	-0.0015		
5.8020	-0.0007		
5.9987	0.0003		
6.1988	0.0011		
6.4007	0.0027		
6.6000	0.0035		
6.8014	0.0048		
7.0009	0.0059		
7.1999	0.0070		
7.3988	0.0082		
7.6006	0.0092		
7.7997	0.0103		
7.9983	0.0112		
8.1986	0.0119		
8.3978	0.0121		
8.6010	0.0119		
8.7998	0.0113		
8.9995	0.0100		
9.1990	0.0083		
9.3993	0.0062		

Fuente: Autores

Tabla A.69: Modelo 10 (PARED INCLINADA 6) PUNTO1PI6

Tiempo (sg)	Velocidad (m/sg)	Tiempo (sg)	Velocidad (m/sg)
0.0000	0.0000	9.6004	-0.0135
0.2003	0.0152	9.8016	-0.0138
0.4010	-0.0002	9.9988	-0.0137
0.5981	0.0006	10.2020	-0.0134
0.8012	0.0015	10.3999	-0.0130
0.9981	0.0023	10.6013	-0.0124
1.2007	0.0030	10.8018	-0.0116
1.4021	0.0036	10.9994	-0.0107
1.6004	0.0039	11.1984	-0.0097
1.7989	0.0040	11.4004	-0.0085
1.9998	0.0038	11.5995	-0.0072
2.2003	0.0033	11.8000	-0.0059
2.3989	0.0026	11.9990	-0.0046
2.6007	0.0017	12.1996	-0.0034
2.7988	0.0006	12.4010	-0.0025
3.0013	-0.0004	12.5983	-0.0019
3.2004	-0.0015	12.8006	-0.0015
3.4015	-0.0023	12.9987	-0.0015
3.6017	-0.0031	13.1976	-0.0016
3.7980	-0.0037	13.3984	-0.0019
4.0018	-0.0043	13.6001	-0.0023
4.1999	-0.0048	13.7992	-0.0028
4.4008	-0.0052	13.9992	-0.0032
4.5992	-0.0056	14.2010	-0.0036
4.7987	-0.0057	14.2989	-0.0038
5.0006	-0.0057		
5.1989	-0.0055		
5.3994	-0.0050		
5.6016	-0.0043		
5.8020	-0.0033		
5.9987	-0.0022		
6.1988	-0.0010		
6.4007	0.0002		
6.6000	0.0012		
6.8014	0.0017		
7.0009	0.0018		
7.1999	0.0014		
7.3988	0.0005		
7.6006	-0.0007		
7.7997	-0.0020		
7.9983	-0.0035		
8.1986	-0.0050		
8.3978	-0.0064		
8.6010	-0.0079		
8.7998	-0.0094		
8.9995	-0.0107		
9.1990	-0.0120		
9.3993	-0.0129		

Tabla A.70: Modelo 10 (PARED INCLINADA 6) PUNTO2PI6

Tiempo (sg)	Velocidad (m/sg)	Tiempo (sg)	Velocidad (m/sg)
0.0000	0.0000	9.6004	-0.0014
0.2003	0.0034	9.8016	-0.0018
0.4010	0.0000	9.9988	-0.0021
0.5981	0.0004	10.2020	-0.0023
0.8012	0.0008	10.3999	-0.0025
0.9981	0.0011	10.6013	-0.0027
1.2007	0.0014	10.8018	-0.0028
1.4021	0.0016	10.9994	-0.0028
1.6004	0.0018	11.1984	-0.0027
1.7989	0.0019	11.4004	-0.0025
1.9998	0.0019	11.5995	-0.0023
2.2003	0.0019	11.8000	-0.0019
2.3989	0.0017	11.9990	-0.0016
2.6007	0.0015	12.1996	-0.0012
2.7988	0.0012	12.4010	-0.0009
3.0013	0.0008	12.5983	-0.0008
3.2004	0.0004	12.8006	-0.0006
3.4015	0.0000	12.9987	-0.0006
3.6017	-0.0004	13.1976	-0.0007
3.7980	-0.0007	13.3984	-0.0008
4.0018	-0.0010	13.6001	-0.0010
4.1999	-0.0013	13.7992	-0.0013
4.4008	-0.0015	13.9992	-0.0015
4.5992	-0.0016	14.2010	-0.0017
4.7987	-0.0017	14.2989	-0.0019
5.0006	-0.0017		
5.1989	-0.0016		
5.3994	-0.0015		
5.6016	-0.0013		
5.8020	-0.0011		
5.9987	-0.0009		
6.1988	-0.0006		
6.4007	-0.0003		
6.6000	0.0001		
6.8014	0.0004		
7.0009	0.0008		
7.1999	0.0010		
7.3988	0.0012		
7.6006	0.0014		
7.7997	0.0014		
7.9983	0.0013		
8.1986	0.0012		
8.3978	0.0010		
8.6010	0.0007		
8.7998	0.0003		
8.9995	-0.0001		
9.1990	-0.0006		
9.3993	-0.0010		

Tabla A.71: Modelo 10 (PARED INCLINADA 6) PUNTO3PI6

Tiempo (sg)	Velocidad (m/sg)	Tiempo (sg)	Velocidad (m/sg)
0.0000	0.0000	9.6004	-0.0110
0.2003	0.0063	9.8016	-0.0094
0.4010	0.0074	9.9988	-0.0121
0.5981	0.0106	10.2020	-0.0168
0.8012	0.0120	10.3999	-0.0192
0.9981	0.0150	10.6013	-0.0207
1.2007	0.0179	10.8018	-0.0240
1.4021	0.0180	10.9994	-0.0279
1.6004	0.0176	11.1984	-0.0284
1.7989	0.0194	11.4004	-0.0241
1.9998	0.0219	11.5995	-0.0186
2.2003	0.0226	11.8000	-0.0135
2.3989	0.0214	11.9990	-0.0083
2.6007	0.0200	12.1996	-0.0037
2.7988	0.0187	12.4010	-0.0010
3.0013	0.0160	12.5983	-0.0003
3.2004	0.0115	12.8006	0.0008
3.4015	0.0072	12.9987	0.0010
3.6017	0.0029	13.1976	0.0015
3.7980	-0.0019	13.3984	0.0003
4.0018	-0.0058	13.6001	-0.0017
4.1999	-0.0081	13.7992	-0.0054
4.4008	-0.0119	13.9992	-0.0085
4.5992	-0.0135	14.2010	-0.0109
4.7987	-0.0089	14.2989	-0.0111
5.0006	-0.0088		
5.1989	-0.0080		
5.3994	-0.0032		
5.6016	-0.0038		
5.8020	-0.0044		
5.9987	-0.0071		
6.1988	-0.0051		
6.4007	-0.0028		
6.6000	-0.0013		
6.8014	0.0058		
7.0009	0.0123		
7.1999	0.0158		
7.3988	0.0164		
7.6006	0.0198		
7.7997	0.0185		
7.9983	0.0170		
8.1986	0.0164		
8.3978	0.0120		
8.6010	0.0060		
8.7998	0.0035		
8.9995	0.0004		
9.1990	-0.0028		
9.3993	-0.0080		

Fuente: Autores

Tabla A.72: Modelo 10 (PARED INCLINADA 6) PUNTO4PI6

Tiempo (sg)	Velocidad (m/sg)	Tiempo (sg)	Velocidad (m/sg)
0.0000	0.0000	9.6004	0.0030
0.2003	0.0024	9.8016	0.0002
0.4010	0.0020	9.9988	-0.0013
0.5981	0.0024	10.2020	-0.0014
0.8012	0.0066	10.3999	-0.0037
0.9981	0.0066	10.6013	-0.0060
1.2007	0.0031	10.8018	-0.0054
1.4021	0.0105	10.9994	-0.0041
1.6004	0.0084	11.1984	-0.0052
1.7989	0.0076	11.4004	-0.0054
1.9998	0.0056	11.5995	-0.0033
2.2003	0.0069	11.8000	-0.0014
2.3989	0.0069	11.9990	-0.0003
2.6007	0.0066	12.1996	0.0015
2.7988	0.0076	12.4010	0.0048
3.0013	0.0085	12.5983	0.0072
3.2004	0.0058	12.8006	0.0053
3.4015	0.0019	12.9987	0.0046
3.6017	0.0006	13.1976	0.0084
3.7980	0.0001	13.3984	0.0069
4.0018	-0.0026	13.6001	0.0028
4.1999	-0.0045	13.7992	0.0013
4.4008	-0.0034	13.9992	0.0018
4.5992	-0.0009	14.2010	0.0045
4.7987	-0.0008	14.2989	0.0048
5.0006	-0.0026		
5.1989	-0.0028		
5.3994	-0.0004		
5.6016	0.0009		
5.8020	-0.0001		
5.9987	-0.0021		
6.1988	-0.0017		
6.4007	0.0002		
6.6000	0.0012		
6.8014	0.0008		
7.0009	0.0021		
7.1999	0.0052		
7.3988	0.0074		
7.6006	0.0067		
7.7997	0.0083		
7.9983	0.0101		
8.1986	0.0089		
8.3978	0.0050		
8.6010	0.0024		
8.7998	0.0023		
8.9995	0.0026		
9.1990	0.0027		
9.3993	0.0034		

Fuente: Autores

Tabla A.73: Modelo 11 (PARED INCLINADA 7) FS1PI7

Tiempo (sg)	Velocidad (m/sg)	Tiempo (sg)	Velocidad (m/sg)	Tiempo (sg)	Velocidad (m/sg)
0.0428	0.0001	9.5998	0.0157	19.2002	0.0171
0.2008	0.0365	9.8020	0.0117	19.3993	0.0140
0.4003	0.0095	10.0006	0.0040	19.5989	0.0140
0.5999	0.0193	10.1991	0.0043	19.7991	0.0126
0.7988	0.0319	10.3992	0.0097	20.0011	0.0046
0.9991	0.0449	10.5992	0.0068		
1.1991	0.0469	10.7992	-0.0052		
1.3982	0.0341	10.9987	-0.0133		
1.6024	0.0184	11.2002	-0.0048		
1.7991	0.0171	11.3997	-0.0028		
1.9982	0.0330	11.5999	-0.0032		
2.2014	0.0454	11.8007	-0.0032		
2.4014	0.0236	11.9982	-0.0030		
2.6008	0.0055	12.2003	-0.0053		
2.7995	0.0067	12.4005	-0.0041		
2.9996	0.0305	12.6014	-0.0069		
3.1981	0.0561	12.7997	-0.0063		
3.4007	0.0510	13.0024	0.0073		
3.6006	0.0336	13.1991	0.0214		
3.7994	0.0072	13.3983	0.0316		
3.9979	-0.0174	13.6013	0.0274		
4.1992	-0.0275	13.7998	0.0108		
4.3987	-0.0237	13.9994	0.0028		
4.6018	-0.0089	14.1997	0.0148		
4.8004	-0.0004	14.4003	0.0353		
4.9995	-0.0159	14.5991	0.0368		
5.2002	-0.0270	14.7985	0.0179		
5.3981	-0.0076	15.0018	0.0012		
5.6016	0.0230	15.2012	-0.0039		
5.7981	0.0380	15.4001	0.0095		
6.0004	0.0203	15.6017	0.0270		
6.2014	-0.0181	15.8008	0.0281		
6.4011	-0.0438	16.0013	0.0118		
6.6000	-0.0241	16.1986	-0.0078		
6.8001	0.0161	16.4011	-0.0108		
7.0013	0.0338	16.6014	-0.0014		
7.1976	0.0252	16.8015	0.0064		
7.3990	0.0095	17.0009	0.0113		
7.5992	0.0108	17.2004	0.0060		
7.8011	0.0357	17.3985	-0.0039		
8.0005	0.0571	17.6009	-0.0055		
8.1992	0.0520	17.7983	-0.0021		
8.3988	0.0276	17.9989	-0.0001		
8.6006	0.0071	18.2000	0.0005		
8.8012	-0.0005	18.3987	-0.0046		
8.9988	-0.0010	18.5989	-0.0009		
9.1983	0.0083	18.8001	0.0123		
9.4023	0.0162	19.0014	0.0199		

Fuente: Autores

Tabla A.74: Modelo 11 (PARED INCLINADA 7) FS2PI7

Tiempo (sg)	Velocidad (m/sg)	Tiempo (sg)	Velocidad (m/sg)	Tiempo (sg)	Velocidad (m/sg)
0.0428	0.0001	9.5998	0.0070	19.2002	0.0071
0.2008	0.0546	9.8020	0.0031	19.3993	0.0082
0.4003	0.0021	10.0006	-0.0004	19.5989	0.0093
0.5999	0.0071	10.1991	-0.0032	19.7991	0.0103
0.7988	0.0098	10.3992	-0.0061	20.0011	0.0108
0.9991	0.0132	10.5992	-0.0087		
1.1991	0.0164	10.7992	-0.0102		
1.3982	0.0192	10.9987	-0.0106		
1.6024	0.0222	11.2002	-0.0099		
1.7991	0.0243	11.3997	-0.0094		
1.9982	0.0247	11.5999	-0.0080		
2.2014	0.0254	11.8007	-0.0058		
2.4014	0.0254	11.9982	-0.0034		
2.6008	0.0230	12.2003	-0.0011		
2.7995	0.0206	12.4005	0.0014		
2.9996	0.0184	12.6014	0.0038		
3.1981	0.0139	12.7997	0.0053		
3.4007	0.0106	13.0024	0.0065		
3.6006	0.0072	13.1991	0.0080		
3.7994	0.0032	13.3983	0.0095		
3.9979	0.0007	13.6013	0.0104		
4.1992	-0.0025	13.7998	0.0111		
4.3987	-0.0056	13.9994	0.0119		
4.6018	-0.0078	14.1997	0.0129		
4.8004	-0.0096	14.4003	0.0133		
4.9995	-0.0117	14.5991	0.0133		
5.2002	-0.0122	14.7985	0.0134		
5.3981	-0.0124	15.0018	0.0132		
5.6016	-0.0120	15.2012	0.0120		
5.7981	-0.0101	15.4001	0.0103		
6.0004	-0.0081	15.6017	0.0085		
6.2014	-0.0054	15.8008	0.0065		
6.4011	-0.0016	16.0013	0.0038		
6.6000	0.0010	16.1986	0.0012		
6.8001	0.0039	16.4011	-0.0011		
7.0013	0.0078	16.6014	-0.0033		
7.1976	0.0106	16.8015	-0.0051		
7.3990	0.0129	17.0009	-0.0062		
7.5992	0.0149	17.2004	-0.0066		
7.8011	0.0173	17.3985	-0.0063		
8.0005	0.0186	17.6009	-0.0055		
8.1992	0.0195	17.7983	-0.0042		
8.3988	0.0192	17.9989	-0.0025		
8.6006	0.0192	18.2000	-0.0005		
8.8012	0.0185	18.3987	0.0012		
8.9988	0.0164	18.5989	0.0027		
9.1983	0.0139	18.8001	0.0043		
9.4023	0.0108	19.0014	0.0058		

Fuente: Autores

Tabla A.75: Modelo 11 (PARED INCLINADA 7) FS3PI7

Tiempo (sg)	Velocidad (m/sg)	Tiempo (sg)	Velocidad (m/sg)	Tiempo (sg)	Velocidad (m/sg)
0.0428	0.0001	9.5998	0.0068	19.2002	0.0018
0.2008	-0.0011	9.8020	0.0051	19.3993	0.0031
0.4003	0.0018	10.0006	0.0036	19.5989	0.0047
0.5999	0.0044	10.1991	0.0020	19.7991	0.0065
0.7988	0.0065	10.3992	0.0004	20.0011	0.0081
0.9991	0.0090	10.5992	-0.0009		
1.1991	0.0106	10.7992	-0.0023		
1.3982	0.0123	10.9987	-0.0036		
1.6024	0.0141	11.2002	-0.0044		
1.7991	0.0144	11.3997	-0.0048		
1.9982	0.0145	11.5999	-0.0045		
2.2014	0.0145	11.8007	-0.0041		
2.4014	0.0140	11.9982	-0.0030		
2.6008	0.0132	12.2003	-0.0013		
2.7995	0.0117	12.4005	0.0004		
2.9996	0.0106	12.6014	0.0027		
3.1981	0.0089	12.7997	0.0050		
3.4007	0.0073	13.0024	0.0070		
3.6006	0.0057	13.1991	0.0086		
3.7994	0.0042	13.3983	0.0102		
3.9979	0.0028	13.6013	0.0114		
4.1992	0.0009	13.7998	0.0117		
4.3987	-0.0006	13.9994	0.0115		
4.6018	-0.0017	14.1997	0.0108		
4.8004	-0.0028	14.4003	0.0099		
4.9995	-0.0039	14.5991	0.0086		
5.2002	-0.0047	14.7985	0.0071		
5.3981	-0.0047	15.0018	0.0057		
5.6016	-0.0045	15.2012	0.0042		
5.7981	-0.0038	15.4001	0.0031		
6.0004	-0.0028	15.6017	0.0024		
6.2014	-0.0017	15.8008	0.0020		
6.4011	0.0002	16.0013	0.0016		
6.6000	0.0021	16.1986	0.0016		
6.8001	0.0039	16.4011	0.0020		
7.0013	0.0057	16.6014	0.0023		
7.1976	0.0074	16.8015	0.0027		
7.3990	0.0089	17.0009	0.0029		
7.5992	0.0100	17.2004	0.0028		
7.8011	0.0112	17.3985	0.0026		
8.0005	0.0116	17.6009	0.0024		
8.1992	0.0116	17.7983	0.0019		
8.3988	0.0116	17.9989	0.0012		
8.6006	0.0116	18.2000	0.0006		
8.8012	0.0110	18.3987	0.0002		
8.9988	0.0101	18.5989	0.0001		
9.1983	0.0088	18.8001	0.0003		
9.4023	0.0078	19.0014	0.0008		

Fuente: Autores

Tabla A.76: Modelo 11 (PARED INCLINADA 7) PUNTO1PI7

Tiempo (sg)	Velocidad (m/sg)	Tiempo (sg)	Velocidad (m/sg)	Tiempo (sg)	Velocidad (m/sg)
0.0000	0.0000	9.5998	-0.0107	19.2002	0.0036
0.2008	0.0148	9.8020	-0.0113	19.3993	0.0036
0.4003	-0.0001	10.0006	-0.0116	19.5989	0.0034
0.5999	0.0006	10.1991	-0.0118	19.7991	0.0032
0.7988	0.0014	10.3992	-0.0118	20.0011	0.0028
0.9991	0.0023	10.5992	-0.0116		
1.1991	0.0030	10.7992	-0.0112		
1.3982	0.0035	10.9987	-0.0106		
1.6024	0.0038	11.2002	-0.0098		
1.7991	0.0041	11.3997	-0.0089		
1.9982	0.0040	11.5999	-0.0080		
2.2014	0.0036	11.8007	-0.0070		
2.4014	0.0029	11.9982	-0.0060		
2.6008	0.0021	12.2003	-0.0049		
2.7995	0.0012	12.4005	-0.0040		
2.9996	0.0004	12.6014	-0.0033		
3.1981	-0.0005	12.7997	-0.0026		
3.4007	-0.0014	13.0024	-0.0019		
3.6006	-0.0021	13.1991	-0.0013		
3.7994	-0.0025	13.3983	-0.0008		
3.9979	-0.0030	13.6013	-0.0002		
4.1992	-0.0035	13.7998	0.0003		
4.3987	-0.0041	13.9994	0.0008		
4.6018	-0.0045	14.1997	0.0013		
4.8004	-0.0049	14.4003	0.0016		
4.9995	-0.0051	14.5991	0.0018		
5.2002	-0.0053	14.7985	0.0020		
5.3981	-0.0052	15.0018	0.0020		
5.6016	-0.0048	15.2012	0.0020		
5.7981	-0.0040	15.4001	0.0018		
6.0004	-0.0029	15.6017	0.0015		
6.2014	-0.0018	15.8008	0.0013		
6.4011	-0.0008	16.0013	0.0011		
6.6000	0.0000	16.1986	0.0009		
6.8001	0.0005	16.4011	0.0007		
7.0013	0.0005	16.6014	0.0005		
7.1976	0.0001	16.8015	0.0004		
7.3990	-0.0008	17.0009	0.0005		
7.5992	-0.0017	17.2004	0.0007		
7.8011	-0.0027	17.3985	0.0009		
8.0005	-0.0037	17.6009	0.0013		
8.1992	-0.0047	17.7983	0.0018		
8.3988	-0.0056	17.9989	0.0022		
8.6006	-0.0065	18.2000	0.0027		
8.8012	-0.0073	18.3987	0.0030		
8.9988	-0.0081	18.5989	0.0033		
9.1983	-0.0090	18.8001	0.0035		
9.4023	-0.0099	19.0014	0.0036		

Fuente: Autores

Tabla A.77: Modelo 11 (PARED INCLINADA 7) PUNTO2PI7

Tiempo (sg)	Velocidad (m/sg)	Tiempo (sg)	Velocidad (m/sg)	Tiempo (sg)	Velocidad (m/sg)
0.0000	0.0000	9.5998	-0.0010	19.2002	-0.0013
0.2008	0.0030	9.8020	-0.0015	19.3993	-0.0011
0.4003	0.0000	10.0006	-0.0020	19.5989	-0.0010
0.5999	0.0003	10.1991	-0.0024	19.7991	-0.0009
0.7988	0.0007	10.3992	-0.0028	20.0011	-0.0008
0.9991	0.0011	10.5992	-0.0031		
1.1991	0.0014	10.7992	-0.0033		
1.3982	0.0017	10.9987	-0.0034		
1.6024	0.0019	11.2002	-0.0034		
1.7991	0.0020	11.3997	-0.0034		
1.9982	0.0021	11.5999	-0.0033		
2.2014	0.0021	11.8007	-0.0031		
2.4014	0.0019	11.9982	-0.0029		
2.6008	0.0016	12.2003	-0.0027		
2.7995	0.0013	12.4005	-0.0025		
2.9996	0.0010	12.6014	-0.0023		
3.1981	0.0005	12.7997	-0.0022		
3.4007	0.0001	13.0024	-0.0020		
3.6006	-0.0003	13.1991	-0.0019		
3.7994	-0.0007	13.3983	-0.0019		
3.9979	-0.0010	13.6013	-0.0019		
4.1992	-0.0013	13.7998	-0.0019		
4.3987	-0.0016	13.9994	-0.0018		
4.6018	-0.0019	14.1997	-0.0018		
4.8004	-0.0020	14.4003	-0.0018		
4.9995	-0.0021	14.5991	-0.0019		
5.2002	-0.0020	14.7985	-0.0019		
5.3981	-0.0020	15.0018	-0.0020		
5.6016	-0.0019	15.2012	-0.0020		
5.7981	-0.0016	15.4001	-0.0022		
6.0004	-0.0013	15.6017	-0.0024		
6.2014	-0.0010	15.8008	-0.0026		
6.4011	-0.0007	16.0013	-0.0028		
6.6000	-0.0003	16.1986	-0.0029		
6.8001	0.0000	16.4011	-0.0031		
7.0013	0.0003	16.6014	-0.0032		
7.1976	0.0006	16.8015	-0.0033		
7.3990	0.0008	17.0009	-0.0034		
7.5992	0.0010	17.2004	-0.0033		
7.8011	0.0011	17.3985	-0.0032		
8.0005	0.0012	17.6009	-0.0031		
8.1992	0.0012	17.7983	-0.0029		
8.3988	0.0011	17.9989	-0.0026		
8.6006	0.0010	18.2000	-0.0024		
8.8012	0.0007	18.3987	-0.0022		
8.9988	0.0004	18.5989	-0.0019		
9.1983	0.0000	18.8001	-0.0017		
9.4023	-0.0005	19.0014	-0.0015		

Fuente: Autores

Tabla A.78: Modelo 11 (PARED INCLINADA 7) PUNTO3PI7

Tiempo (sg)	Velocidad (m/sg)	Tiempo (sg)	Velocidad (m/sg)	Tiempo (sg)	Velocidad (m/sg)
0.0000	0.0000	9.5998	-0.0155	19.2002	-0.0117
0.2008	0.0016	9.8020	-0.0047	19.3993	-0.0107
0.4003	0.0127	10.0006	-0.0060	19.5989	-0.0116
0.5999	0.0021	10.1991	-0.0207	19.7991	-0.0117
0.7988	-0.0032	10.3992	-0.0208	20.0011	-0.0114
0.9991	0.0007	10.5992	-0.0166		
1.1991	0.0054	10.7992	-0.0129		
1.3982	0.0141	10.9987	-0.0184		
1.6024	-0.0082	11.2002	-0.0296		
1.7991	-0.0115	11.3997	-0.0176		
1.9982	0.0037	11.5999	-0.0099		
2.2014	-0.0005	11.8007	-0.0215		
2.4014	-0.0082	11.9982	-0.0183		
2.6008	-0.0124	12.2003	-0.0064		
2.7995	-0.0101	12.4005	-0.0063		
2.9996	-0.0127	12.6014	-0.0142		
3.1981	-0.0133	12.7997	-0.0107		
3.4007	-0.0158	13.0024	-0.0011		
3.6006	-0.0144	13.1991	-0.0033		
3.7994	-0.0122	13.3983	-0.0112		
3.9979	-0.0222	13.6013	-0.0098		
4.1992	-0.0265	13.7998	-0.0058		
4.3987	-0.0142	13.9994	-0.0067		
4.6018	-0.0178	14.1997	-0.0107		
4.8004	-0.0289	14.4003	-0.0096		
4.9995	-0.0221	14.5991	-0.0061		
5.2002	-0.0085	14.7985	-0.0061		
5.3981	-0.0144	15.0018	-0.0091		
5.6016	-0.0152	15.2012	-0.0086		
5.7981	-0.0127	15.4001	-0.0033		
6.0004	-0.0037	15.6017	-0.0034		
6.2014	-0.0026	15.8008	-0.0108		
6.4011	-0.0142	16.0013	-0.0138		
6.6000	-0.0060	16.1986	-0.0099		
6.8001	0.0015	16.4011	-0.0115		
7.0013	-0.0029	16.6014	-0.0189		
7.1976	-0.0057	16.8015	-0.0188		
7.3990	-0.0022	17.0009	-0.0174		
7.5992	0.0115	17.2004	-0.0188		
7.8011	0.0052	17.3985	-0.0198		
8.0005	-0.0072	17.6009	-0.0169		
8.1992	0.0031	17.7983	-0.0136		
8.3988	0.0095	17.9989	-0.0136		
8.6006	0.0024	18.2000	-0.0143		
8.8012	-0.0046	18.3987	-0.0130		
8.9988	-0.0050	18.5989	-0.0086		
9.1983	0.0017	18.8001	-0.0097		
9.4023	-0.0050	19.0014	-0.0132		

Fuente: Autores

Tabla A.79: Modelo 11 (PARED INCLINADA 7) PUNTO4PI7

Tiempo (sg)	Velocidad (m/sg)	Tiempo (sg)	Velocidad (m/sg)	Tiempo (sg)	Velocidad (m/sg)
0.0000	0.0000	9.5998	0.0152	19.2002	0.0023
0.2008	-0.0002	9.8020	0.0109	19.3993	0.0019
0.4003	-0.0007	10.0006	-0.0060	19.5989	0.0076
0.5999	0.0060	10.1991	-0.0053	19.7991	0.0094
0.7988	0.0134	10.3992	0.0005	20.0011	0.0061
0.9991	-0.0061	10.5992	0.0050		
1.1991	-0.0102	10.7992	0.0084		
1.3982	0.0013	10.9987	-0.0017		
1.6024	0.0136	11.2002	-0.0060		
1.7991	0.0179	11.3997	0.0013		
1.9982	-0.0038	11.5999	0.0078		
2.2014	-0.0100	11.8007	0.0103		
2.4014	0.0081	11.9982	0.0066		
2.6008	0.0134	12.2003	-0.0053		
2.7995	0.0119	12.4005	-0.0007		
2.9996	0.0008	12.6014	0.0101		
3.1981	-0.0052	12.7997	0.0139		
3.4007	0.0023	13.0024	0.0056		
3.6006	0.0062	13.1991	-0.0040		
3.7994	0.0053	13.3983	0.0004		
3.9979	0.0034	13.6013	0.0134		
4.1992	-0.0065	13.7998	0.0168		
4.3987	-0.0075	13.9994	0.0065		
4.6018	0.0079	14.1997	-0.0001		
4.8004	0.0078	14.4003	0.0026		
4.9995	-0.0004	14.5991	0.0120		
5.2002	-0.0080	14.7985	0.0128		
5.3981	-0.0029	15.0018	0.0037		
5.6016	0.0105	15.2012	-0.0026		
5.7981	0.0074	15.4001	-0.0014		
6.0004	-0.0024	15.6017	0.0040		
6.2014	-0.0024	15.8008	0.0118		
6.4011	0.0012	16.0013	0.0055		
6.6000	0.0083	16.1986	-0.0065		
6.8001	0.0104	16.4011	0.0001		
7.0013	0.0026	16.6014	0.0112		
7.1976	0.0000	16.8015	0.0104		
7.3990	0.0012	17.0009	0.0038		
7.5992	0.0075	17.2004	-0.0043		
7.8011	0.0148	17.3985	0.0000		
8.0005	0.0060	17.6009	0.0084		
8.1992	-0.0043	17.7983	0.0088		
8.3988	0.0004	17.9989	0.0023		
8.6006	0.0125	18.2000	-0.0010		
8.8012	0.0150	18.3987	0.0020		
8.9988	0.0057	18.5989	0.0071		
9.1983	-0.0044	18.8001	0.0098		
9.4023	-0.0004	19.0014	0.0069		

Fuente: Autores

Tabla A.80: Industria Cárnea con parámetros recomendados FS INICIAL

Tiempo (sg)	Velocidad (m/sg)	Tiempo (sg)	Velocidad (m/sg)	Tiempo (sg)	Velocidad (m/sg)
0.0037	0.0030	9.6011	0.0039	19.2016	0.0043
0.2016	0.0029	9.8012	0.0042	19.3983	0.0043
0.4017	0.0026	10.0018	0.0044	19.5995	0.0042
0.6016	0.0021	10.1988	0.0045	19.8002	0.0040
0.8008	0.0021	10.3988	0.0044	20.0009	0.0037
0.9990	0.0024	10.5993	0.0044		
1.2003	0.0032	10.8001	0.0044		
1.4012	0.0042	11.0003	0.0044		
1.5994	0.0051	11.2008	0.0044		
1.8001	0.0054	11.3982	0.0044		
1.9988	0.0051	11.5988	0.0044		
2.2018	0.0044	11.7994	0.0043		
2.4009	0.0037	12.0007	0.0041		
2.5991	0.0034	12.2015	0.0039		
2.7998	0.0034	12.3983	0.0037		
3.0015	0.0037	12.5995	0.0036		
3.2009	0.0038	12.8004	0.0035		
3.4007	0.0036	13.0008	0.0035		
3.6012	0.0031	13.2017	0.0035		
3.7984	0.0025	13.3988	0.0035		
3.9987	0.0020	13.5989	0.0035		
4.1990	0.0017	13.7996	0.0035		
4.3998	0.0019	14.0004	0.0036		
4.5999	0.0024	14.2006	0.0037		
4.7998	0.0029	14.4013	0.0038		
5.0003	0.0032	14.5987	0.0040		
5.2005	0.0031	14.7991	0.0042		
5.4003	0.0030	14.9997	0.0045		
5.6008	0.0030	15.2008	0.0046		
5.8012	0.0033	15.4013	0.0047		
6.0012	0.0038	15.6018	0.0047		
6.2018	0.0044	15.7993	0.0046		
6.3988	0.0049	16.0000	0.0044		
6.5990	0.0052	16.2005	0.0042		
6.7996	0.0051	16.4017	0.0040		
7.0006	0.0047	16.5988	0.0038		
7.2009	0.0042	16.7992	0.0037		
7.4014	0.0039	17.0002	0.0036		
7.5987	0.0037	17.2011	0.0035		
7.7991	0.0037	17.4017	0.0035		
7.9994	0.0037	17.5990	0.0034		
8.2005	0.0036	17.8002	0.0034		
8.4010	0.0033	18.0007	0.0035		
8.6013	0.0030	18.2015	0.0036		
8.7986	0.0028	18.3989	0.0038		
8.9993	0.0029	18.5995	0.0040		
9.1995	0.0031	18.8001	0.0042		
9.4004	0.0035	19.0011	0.0043		

Fuente: Autores

Tabla A.81: Industria Cárnica con parámetros recomendados FS FINAL

Tiempo (sg)	Velocidad (m/sg)	Tiempo (sg)	Velocidad (m/sg)	Tiempo (sg)	Velocidad (m/sg)
0.0037	0.0009	9.6011	0.0010	19.2016	0.0013
0.2016	0.0009	9.8012	0.0011	19.3983	0.0013
0.4017	0.0009	10.0018	0.0011	19.5995	0.0013
0.6016	0.0009	10.1988	0.0012	19.8002	0.0014
0.8008	0.0009	10.3988	0.0012	20.0009	0.0013
0.9990	0.0010	10.5993	0.0013		
1.2003	0.0010	10.8001	0.0014		
1.4012	0.0011	11.0003	0.0014		
1.5994	0.0012	11.2008	0.0014		
1.8001	0.0013	11.3982	0.0014		
1.9988	0.0014	11.5988	0.0014		
2.2018	0.0014	11.7994	0.0013		
2.4009	0.0014	12.0007	0.0012		
2.5991	0.0014	12.2015	0.0011		
2.7998	0.0014	12.3983	0.0011		
3.0015	0.0013	12.5995	0.0010		
3.2009	0.0012	12.8004	0.0010		
3.4007	0.0011	13.0008	0.0010		
3.6012	0.0009	13.2017	0.0010		
3.7984	0.0008	13.3988	0.0010		
3.9987	0.0007	13.5989	0.0011		
4.1990	0.0007	13.7996	0.0012		
4.3998	0.0007	14.0004	0.0012		
4.5999	0.0008	14.2006	0.0013		
4.7998	0.0009	14.4013	0.0013		
5.0003	0.0010	14.5987	0.0013		
5.2005	0.0011	14.7991	0.0013		
5.4003	0.0012	14.9997	0.0013		
5.6008	0.0013	15.2008	0.0013		
5.8012	0.0013	15.4013	0.0012		
6.0012	0.0014	15.6018	0.0012		
6.2018	0.0014	15.7993	0.0012		
6.3988	0.0013	16.0000	0.0012		
6.5990	0.0013	16.2005	0.0012		
6.7996	0.0013	16.4017	0.0012		
7.0006	0.0012	16.5988	0.0012		
7.2009	0.0012	16.7992	0.0012		
7.4014	0.0011	17.0002	0.0012		
7.5987	0.0011	17.2011	0.0012		
7.7991	0.0011	17.4017	0.0012		
7.9994	0.0012	17.5990	0.0011		
8.2005	0.0012	17.8002	0.0011		
8.4010	0.0011	18.0007	0.0011		
8.6013	0.0011	18.2015	0.0011		
8.7986	0.0011	18.3989	0.0011		
8.9993	0.0011	18.5995	0.0011		
9.1995	0.0011	18.8001	0.0011		
9.4004	0.0010	19.0011	0.0012		

Fuente: Autores

Tabla A.82: Industria Cárnea con parámetros recomendados FS MEDIO

Tiempo (sg)	Velocidad (m/sg)	Tiempo (sg)	Velocidad (m/sg)	Tiempo (sg)	Velocidad (m/sg)
0.0037	0.0009	9.6011	0.0012	19.2016	0.0012
0.2016	0.0009	9.8012	0.0011	19.3983	0.0013
0.4017	0.0009	10.0018	0.0010	19.5995	0.0015
0.6016	0.0009	10.1988	0.0010	19.8002	0.0016
0.8008	0.0009	10.3988	0.0012	20.0009	0.0015
0.9990	0.0009	10.5993	0.0015		
1.2003	0.0010	10.8001	0.0017		
1.4012	0.0011	11.0003	0.0017		
1.5994	0.0013	11.2008	0.0017		
1.8001	0.0015	11.3982	0.0015		
1.9988	0.0016	11.5988	0.0013		
2.2018	0.0017	11.7994	0.0011		
2.4009	0.0016	12.0007	0.0010		
2.5991	0.0014	12.2015	0.0011		
2.7998	0.0012	12.3983	0.0012		
3.0015	0.0010	12.5995	0.0013		
3.2009	0.0009	12.8004	0.0013		
3.4007	0.0009	13.0008	0.0012		
3.6012	0.0010	13.2017	0.0011		
3.7984	0.0010	13.3988	0.0009		
3.9987	0.0010	13.5989	0.0009		
4.1990	0.0009	13.7996	0.0009		
4.3998	0.0007	14.0004	0.0011		
4.5999	0.0006	14.2006	0.0013		
4.7998	0.0005	14.4013	0.0015		
5.0003	0.0007	14.5987	0.0016		
5.2005	0.0009	14.7991	0.0015		
5.4003	0.0013	14.9997	0.0014		
5.6008	0.0015	15.2008	0.0012		
5.8012	0.0016	15.4013	0.0012		
6.0012	0.0015	15.6018	0.0012		
6.2018	0.0014	15.7993	0.0013		
6.3988	0.0012	16.0000	0.0014		
6.5990	0.0011	16.2005	0.0015		
6.7996	0.0012	16.4017	0.0015		
7.0006	0.0014	16.5988	0.0014		
7.2009	0.0015	16.7992	0.0012		
7.4014	0.0016	17.0002	0.0010		
7.5987	0.0015	17.2011	0.0009		
7.7991	0.0013	17.4017	0.0010		
7.9994	0.0011	17.5990	0.0011		
8.2005	0.0009	17.8002	0.0012		
8.4010	0.0008	18.0007	0.0013		
8.6013	0.0009	18.2015	0.0014		
8.7986	0.0011	18.3989	0.0013		
8.9993	0.0013	18.5995	0.0012		
9.1995	0.0014	18.8001	0.0011		
9.4004	0.0013	19.0011	0.0011		

Fuente: Autores

Tabla A.83: Industria Cárnea con parámetros recomendados PUNTO1 EUROPEA NP

Tiempo (sg)	Velocidad (m/sg)
0.0000	-0.0054
0.9990	-0.0054
1.9988	-0.0053
3.0015	-0.0055
3.9987	-0.0055
5.0003	-0.0055
6.0012	-0.0054
7.0006	-0.0053
7.9994	-0.0054
8.9993	-0.0053
10.0018	-0.0053
11.0003	-0.0053
12.0007	-0.0054
13.0008	-0.0054
14.0004	-0.0053
14.9997	-0.0051
16.0000	-0.0050
17.0002	-0.0050
18.0007	-0.0049
19.0011	-0.0049
20.0009	-0.0051

Fuente: Autores

Tabla A.84: Industria Cárnea con parámetros recomendados PUNTO2 EUROPEA NP

Tiempo (sg)	Velocidad (m/sg)
0.0000	0.0020
0.9990	0.0020
1.9988	0.0020
3.0015	0.0020
3.9987	0.0020
5.0003	0.0020
6.0012	0.0020
7.0006	0.0021
7.9994	0.0020
8.9993	0.0021
10.0018	0.0021
11.0003	0.0021
12.0007	0.0021
13.0008	0.0021
14.0004	0.0021
14.9997	0.0021
16.0000	0.0021
17.0002	0.0021
18.0007	0.0021
19.0011	0.0021
20.0009	0.0021

Fuente: Autores

Tabla A.85: Industria Cárnea con parámetros recomendados PUNTO3 EUROPEA NP

Tiempo (sg)	Velocidad (m/sg)
0.0000	-0.0001
0.9990	0.0000
1.9988	0.0000
3.0015	0.0000
3.9987	-0.0001
5.0003	-0.0001
6.0012	0.0000
7.0006	0.0000
7.9994	-0.0001
8.9993	0.0000
10.0018	-0.0001
11.0003	0.0000
12.0007	-0.0001
13.0008	-0.0001
14.0004	-0.0001
14.9997	-0.0001
16.0000	-0.0001
17.0002	-0.0001
18.0007	-0.0001
19.0011	-0.0001
20.0009	-0.0001

Fuente: Autores

Tabla A.86: Industria Cárnea con parámetros recomendados PUNTO4 EUROPEA NP

Tiempo (sg)	Velocidad (m/sg)
0.0000	-0.0085
0.9990	-0.0081
1.9988	-0.0072
3.0015	-0.0087
3.9987	-0.0074
5.0003	-0.0091
6.0012	-0.0069
7.0006	-0.0079
7.9994	-0.0083
8.9993	-0.0071
10.0018	-0.0087
11.0003	-0.0067
12.0007	-0.0085
13.0008	-0.0073
14.0004	-0.0081
14.9997	-0.0076
16.0000	-0.0073
17.0002	-0.0082
18.0007	-0.0072
19.0011	-0.0085
20.0009	-0.0067

Fuente: Autores

Tabla A.87: Resultados (Modelo Construido) de la Industria Cárnica FS1 EUROPEA

Tiempo (sg)	Velocidad (m/sg)	Tiempo (sg)	Velocidad (m/sg)	Tiempo (sg)	Velocidad (m/sg)
0.0024	0.0009	9.5997	0.0010	19.1991	0.0010
0.2001	0.0003	9.7999	0.0010	19.3993	0.0008
0.4002	-0.0002	10.0001	0.0009	19.5995	0.0008
0.6004	-0.0002	10.2003	0.0008	19.7997	0.0009
0.8006	0.0004	10.4005	0.0009	20.0024	0.0010
1.0009	0.0011	10.6008	0.0011		
1.2010	0.0012	10.8010	0.0013		
1.4012	0.0009	11.0012	0.0012		
1.5989	0.0007	11.1989	0.0011		
1.7991	0.0007	11.3990	0.0010		
1.9993	0.0009	11.5992	0.0010		
2.1995	0.0008	11.7995	0.0010		
2.3997	0.0008	11.9997	0.0010		
2.5998	0.0007	12.1998	0.0009		
2.8001	0.0006	12.4000	0.0008		
3.0003	0.0007	12.6002	0.0008		
3.2012	0.0004	12.8005	0.0010		
3.3997	0.0008	13.0006	0.0011		
3.5995	0.0008	13.2008	0.0012		
3.7998	0.0010	13.4010	0.0012		
4.0000	0.0011	13.6012	0.0011		
4.2002	0.0008	13.7989	0.0010		
4.4004	0.0004	13.9991	0.0008		
4.6007	0.0002	14.1992	0.0008		
4.8009	0.0004	14.3995	0.0010		
5.0010	0.0006	14.5997	0.0011		
5.2012	0.0010	14.7999	0.0012		
5.3989	0.0010	15.0000	0.0011		
5.5991	0.0011	15.2002	0.0009		
5.7993	0.0007	15.4005	0.0009		
5.9995	0.0006	15.6007	0.0009		
6.1997	0.0005	15.8008	0.0010		
6.3999	0.0007	16.0010	0.0009		
6.6001	0.0010	16.2012	0.0009		
6.8003	0.0010	16.3989	0.0009		
7.0004	0.0008	16.5991	0.0010		
7.2006	0.0006	16.7993	0.0010		
7.4009	0.0006	16.9994	0.0011		
7.6011	0.0009	17.1997	0.0011		
7.8012	0.0010	17.3999	0.0011		
7.9989	0.0010	17.6001	0.0010		
8.1991	0.0006	17.8002	0.0009		
8.3993	0.0005	18.0004	0.0009		
8.5995	0.0007	18.2007	0.0009		
8.8013	0.0009	18.4009	0.0010		
8.9991	0.0013	18.6010	0.0011		
9.1994	0.0012	18.8012	0.0011		
9.3995	0.0011	18.9989	0.0010		

Fuente: Autores

Tabla A.88: Resultados (Modelo Construido) de la Industria Cárnia FS2 EUROPEA

Tiempo (sg)	Velocidad (m/sg)	Tiempo (sg)	Velocidad (m/sg)	Tiempo (sg)	Velocidad (m/sg)
0.0024	0.0007	9.5997	0.0008	19.1991	0.0007
0.2001	0.0007	9.7999	0.0008	19.3993	0.0007
0.4002	0.0007	10.0001	0.0008	19.5995	0.0006
0.6004	0.0006	10.2003	0.0009	19.7997	0.0006
0.8006	0.0006	10.4005	0.0009	20.0024	0.0006
1.0009	0.0005	10.6008	0.0009		
1.2010	0.0006	10.8010	0.0008		
1.4012	0.0005	11.0012	0.0008		
1.5989	0.0006	11.1989	0.0008		
1.7991	0.0006	11.3990	0.0008		
1.9993	0.0007	11.5992	0.0007		
2.1995	0.0007	11.7995	0.0006		
2.3997	0.0007	11.9997	0.0006		
2.5998	0.0007	12.1998	0.0006		
2.8001	0.0007	12.4000	0.0006		
3.0003	0.0008	12.6002	0.0007		
3.2012	0.0009	12.8005	0.0007		
3.3997	0.0009	13.0006	0.0007		
3.5995	0.0008	13.2008	0.0007		
3.7998	0.0007	13.4010	0.0008		
4.0000	0.0006	13.6012	0.0008		
4.2002	0.0005	13.7989	0.0008		
4.4004	0.0006	13.9991	0.0008		
4.6007	0.0006	14.1992	0.0009		
4.8009	0.0006	14.3995	0.0009		
5.0010	0.0005	14.5997	0.0008		
5.2012	0.0005	14.7999	0.0007		
5.3989	0.0006	15.0000	0.0007		
5.5991	0.0007	15.2002	0.0007		
5.7993	0.0007	15.4005	0.0007		
5.9995	0.0007	15.6007	0.0006		
6.1997	0.0007	15.8008	0.0006		
6.3999	0.0008	16.0010	0.0006		
6.6001	0.0008	16.2012	0.0006		
6.8003	0.0008	16.3989	0.0007		
7.0004	0.0008	16.5991	0.0007		
7.2006	0.0008	16.7993	0.0007		
7.4009	0.0008	16.9994	0.0008		
7.6011	0.0007	17.1997	0.0008		
7.8012	0.0006	17.3999	0.0008		
7.9989	0.0006	17.6001	0.0008		
8.1991	0.0006	17.8002	0.0008		
8.3993	0.0006	18.0004	0.0008		
8.5995	0.0006	18.2007	0.0008		
8.8013	0.0006	18.4009	0.0008		
8.9991	0.0006	18.6010	0.0008		
9.1994	0.0007	18.8012	0.0007		
9.3995	0.0007	18.9989	0.0007		

Fuente: Autores

Tabla A.89: Resultados (Modelo Construido) de la Industria Cárnia FS3 EUROPEA

Tiempo (sg)	Velocidad (m/sg)	Tiempo (sg)	Velocidad (m/sg)	Tiempo (sg)	Velocidad (m/sg)
0.0024	0.0009	9.5997	0.0010	19.1991	0.0009
0.2001	0.0009	9.7999	0.0010	19.3993	0.0007
0.4002	0.0005	10.0001	0.0009	19.5995	0.0007
0.6004	0.0003	10.2003	0.0007	19.7997	0.0007
0.8006	0.0003	10.4005	0.0007	20.0024	0.0008
1.0009	0.0002	10.6008	0.0009		
1.2010	0.0005	10.8010	0.0012		
1.4012	0.0009	11.0012	0.0013		
1.5989	0.0013	11.1989	0.0012		
1.7991	0.0015	11.3990	0.0010		
1.9993	0.0013	11.5992	0.0009		
2.1995	0.0007	11.7995	0.0008		
2.3997	0.0002	11.9997	0.0006		
2.5998	0.0001	12.1998	0.0005		
2.8001	0.0005	12.4000	0.0006		
3.0003	0.0009	12.6002	0.0009		
3.2012	0.0010	12.8005	0.0012		
3.3997	0.0011	13.0006	0.0012		
3.5995	0.0012	13.2008	0.0011		
3.7998	0.0012	13.4010	0.0009		
4.0000	0.0009	13.6012	0.0009		
4.2002	0.0004	13.7989	0.0009		
4.4004	0.0001	13.9991	0.0009		
4.6007	0.0002	14.1992	0.0008		
4.8009	0.0006	14.3995	0.0008		
5.0010	0.0009	14.5997	0.0010		
5.2012	0.0008	14.7999	0.0011		
5.3989	0.0008	15.0000	0.0011		
5.5991	0.0008	15.2002	0.0010		
5.7993	0.0009	15.4005	0.0009		
5.9995	0.0009	15.6007	0.0008		
6.1997	0.0008	15.8008	0.0007		
6.3999	0.0006	16.0010	0.0007		
6.6001	0.0005	16.2012	0.0007		
6.8003	0.0008	16.3989	0.0008		
7.0004	0.0010	16.5991	0.0010		
7.2006	0.0011	16.7993	0.0012		
7.4009	0.0011	16.9994	0.0012		
7.6011	0.0009	17.1997	0.0010		
7.8012	0.0007	17.3999	0.0009		
7.9989	0.0005	17.6001	0.0008		
8.1991	0.0005	17.8002	0.0009		
8.3993	0.0005	18.0004	0.0009		
8.5995	0.0007	18.2007	0.0009		
8.8013	0.0010	18.4009	0.0009		
8.9991	0.0011	18.6010	0.0010		
9.1994	0.0010	18.8012	0.0010		
9.3995	0.0010	18.9989	0.0010		

Fuente: Autores

Tabla A.90: Resultados (Modelo Construido) de la Industria Cárnea PUNTO1 EUROPEA

Tiempo (sg)	Velocidad (m/sg)
0.0000	-0.0233
1.0009	-0.0251
1.9993	-0.0267
3.0003	-0.0269
4.0000	-0.0262
5.0010	-0.0254
5.9995	-0.0245
7.0004	-0.0235
7.9989	-0.0228
8.9991	-0.0223
10.0001	-0.0221
11.0012	-0.0217
11.9997	-0.0216
13.0006	-0.0214
13.9991	-0.0215
15.0000	-0.0214
16.0010	-0.0216
16.9994	-0.0215
18.0004	-0.0218
18.9989	-0.0218
20.0024	-0.0219

Fuente: Autores

Tabla A.91: Resultados (Modelo Construido) de la Industria Cárnea PUNTO2 EUROPEA

Tiempo (sg)	Velocidad (m/sg)
0.0000	-0.0316
1.0009	-0.0325
1.9993	-0.0326
3.0003	-0.0326
4.0000	-0.0321
5.0010	-0.0319
5.9995	-0.0315
7.0004	-0.0306
7.9989	-0.0300
8.9991	-0.0291
10.0001	-0.0290
11.0012	-0.0281
11.9997	-0.0280
13.0006	-0.0275
13.9991	-0.0276
15.0000	-0.0271
16.0010	-0.0273
16.9994	-0.0271
18.0004	-0.0275
18.9989	-0.0275
20.0024	-0.0278

Fuente: Autores

Tabla A.92: Resultados (Modelo Construido) de la Industria Cárnea PUNTO3 EUROPEA

Tiempo (sg)	Velocidad (m/sg)
0.0000	0.0500
1.0009	0.0497
1.9993	0.0499
3.0003	0.0494
4.0000	0.0492
5.0010	0.0491
5.9995	0.0490
7.0004	0.0488
7.9989	0.0485
8.9991	0.0485
10.0001	0.0482
11.0012	0.0481
11.9997	0.0477
13.0006	0.0477
13.9991	0.0476
15.0000	0.0477
16.0010	0.0478
16.9994	0.0485
18.0004	0.0490
18.9989	0.0498
20.0024	0.0504

Fuente: Autores

Tabla A.93: Resultados (Modelo Construido) de la Industria Cárnea PUNTO4 EUROPEA

Tiempo (sg)	Velocidad (m/sg)
0.0000	-0.0593
1.0009	-0.0597
1.9993	-0.0586
3.0003	-0.0606
4.0000	-0.0611
5.0010	-0.0605
5.9995	-0.0601
7.0004	-0.0601
7.9989	-0.0597
8.9991	-0.0588
10.0001	-0.0591
11.0012	-0.0595
11.9997	-0.0600
13.0006	-0.0591
13.9991	-0.0590
15.0000	-0.0586
16.0010	-0.0585
16.9994	-0.0575
18.0004	-0.0576
18.9989	-0.0575
20.0024	-0.0574

Fuente: Autores

Tabla A.94: Resultados (Modelo Construido) de la Industria Láctea FS1 PARMALAT

Tiempo (sg)	Velocidad (m/sg)	Tiempo (sg)	Velocidad (m/sg)	Tiempo (sg)	Velocidad (m/sg)
0.0013	-0.0001	9.6001	0.0017	19.1999	0.0018
0.2001	0.0012	9.8003	0.0012	19.4001	0.0012
0.4003	0.0017	10.0004	0.0009	19.6002	0.0010
0.6004	0.0017	10.2006	0.0012	19.8003	0.0015
0.8005	0.0015	10.3994	0.0018	20.0005	0.0019
0.9994	0.0014	10.5995	0.0019		
1.1995	0.0014	10.7996	0.0014		
1.3997	0.0015	10.9998	0.0009		
1.5998	0.0015	11.1999	0.0012		
1.7999	0.0016	11.4000	0.0018		
2.0001	0.0016	11.6001	0.0020		
2.2002	0.0014	11.8003	0.0015		
2.4004	0.0012	12.0005	0.0010		
2.6005	0.0012	12.2006	0.0011		
2.7994	0.0015	12.3994	0.0017		
2.9995	0.0018	12.5995	0.0019		
3.1996	0.0016	12.7997	0.0015		
3.3998	0.0011	12.9998	0.0010		
3.5999	0.0011	13.1999	0.0011		
3.8000	0.0016	13.4001	0.0017		
4.0001	0.0021	13.6002	0.0019		
4.2003	0.0019	13.8003	0.0016		
4.4005	0.0012	14.0004	0.0012		
4.6006	0.0009	14.2006	0.0013		
4.7994	0.0013	14.3994	0.0016		
4.9996	0.0019	14.5995	0.0017		
5.1997	0.0019	14.7997	0.0014		
5.3998	0.0013	14.9998	0.0012		
5.6000	0.0010	15.1999	0.0013		
5.8001	0.0014	15.4001	0.0014		
6.0003	0.0019	15.6002	0.0015		
6.2004	0.0018	15.8004	0.0016		
6.4005	0.0012	16.0005	0.0016		
6.5994	0.0010	16.2006	0.0015		
6.7995	0.0015	16.3994	0.0012		
6.9996	0.0019	16.5996	0.0012		
7.1998	0.0018	16.7997	0.0016		
7.3999	0.0013	16.9998	0.0019		
7.6001	0.0011	17.1999	0.0017		
7.8002	0.0013	17.4001	0.0012		
8.0004	0.0014	17.6002	0.0010		
8.2005	0.0015	17.8004	0.0015		
8.4006	0.0015	18.0005	0.0019		
8.5994	0.0016	18.2006	0.0017		
8.7996	0.0015	18.3994	0.0011		
8.9997	0.0014	18.5996	0.0010		
9.1999	0.0015	18.7997	0.0015		
9.4000	0.0017	18.9998	0.0021		

Fuente: Autores

Tabla A.95: Resultados (Modelo Construido) de la Industria Láctea FS2 PARMALAT

Tiempo (sg)	Velocidad (m/sg)	Tiempo (sg)	Velocidad (m/sg)	Tiempo (sg)	Velocidad (m/sg)
0.0013	-0.0001	9.6001	0.0011	19.1999	0.0008
0.2001	0.0013	9.8003	0.0022	19.4001	-0.0002
0.4003	0.0018	10.0004	0.0009	19.6002	0.0000
0.6004	0.0005	10.2006	-0.0008	19.8003	0.0014
0.8005	-0.0008	10.3994	-0.0004	20.0005	0.0014
0.9994	-0.0003	10.5995	0.0012		
1.1995	0.0015	10.7996	0.0016		
1.3997	0.0022	10.9998	0.0002		
1.5998	0.0005	11.1999	-0.0003		
1.7999	-0.0014	11.4000	0.0007		
2.0001	-0.0004	11.6001	0.0011		
2.2002	0.0020	11.8003	0.0005		
2.4004	0.0020	12.0005	0.0001		
2.6005	-0.0001	12.2006	0.0005		
2.7994	-0.0011	12.3994	0.0011		
2.9995	0.0002	12.5995	0.0009		
3.1996	0.0020	12.7997	-0.0003		
3.3998	0.0013	12.9998	-0.0003		
3.5999	-0.0002	13.1999	0.0012		
3.8000	-0.0005	13.4001	0.0017		
4.0001	0.0006	13.6002	0.0003		
4.2003	0.0017	13.8003	-0.0008		
4.4005	0.0004	14.0004	-0.0001		
4.6006	0.0000	14.2006	0.0016		
4.7994	0.0006	14.3994	0.0017		
4.9996	0.0008	14.5995	0.0002		
5.1997	0.0007	14.7997	-0.0009		
5.3998	-0.0001	14.9998	-0.0001		
5.6000	0.0002	15.1999	0.0017		
5.8001	0.0016	15.4001	0.0019		
6.0003	0.0009	15.6002	0.0003		
6.2004	-0.0002	15.8004	-0.0010		
6.4005	-0.0002	16.0005	-0.0002		
6.5994	0.0004	16.2006	0.0017		
6.7995	0.0017	16.3994	0.0020		
6.9996	0.0013	16.5996	0.0002		
7.1998	-0.0006	16.7997	-0.0012		
7.3999	-0.0006	16.9998	0.0002		
7.6001	0.0006	17.1999	0.0018		
7.8002	0.0019	17.4001	0.0016		
8.0004	0.0015	17.6002	-0.0002		
8.2005	-0.0007	17.8004	-0.0008		
8.4006	-0.0009	18.0005	0.0007		
8.5994	0.0008	18.2006	0.0018		
8.7996	0.0020	18.3994	0.0005		
8.9997	0.0015	18.5996	-0.0003		
9.1999	-0.0007	18.7997	0.0005		
9.4000	-0.0011	18.9998	0.0012		

Fuente: Autores

Tabla A.96: Resultados (Modelo Construido) de la Industria Láctea FS3 PARMALAT

Tiempo (sg)	Velocidad (m/sg)	Tiempo (sg)	Velocidad (m/sg)	Tiempo (sg)	Velocidad (m/sg)
0.0013	-0.0005	9.6001	0.0014	19.1999	0.0022
0.2001	-0.0001	9.8003	0.0010	19.4001	-0.0003
0.4003	0.0010	10.0004	-0.0001	19.6002	-0.0011
0.6004	0.0017	10.2006	-0.0005	19.8003	0.0005
0.8005	0.0009	10.3994	0.0011	20.0005	0.0025
0.9994	-0.0001	10.5995	0.0020		
1.1995	0.0008	10.7996	0.0011		
1.3997	0.0009	10.9998	-0.0004		
1.5998	0.0008	11.1999	-0.0007		
1.7999	0.0009	11.4000	0.0013		
2.0001	0.0005	11.6001	0.0028		
2.2002	0.0011	11.8003	0.0011		
2.4004	0.0008	12.0005	-0.0011		
2.6005	-0.0002	12.2006	-0.0006		
2.7994	0.0004	12.3994	0.0016		
2.9995	0.0012	12.5995	0.0024		
3.1996	0.0017	12.7997	0.0005		
3.3998	0.0008	12.9998	-0.0008		
3.5999	-0.0009	13.1999	0.0002		
3.8000	0.0002	13.4001	0.0012		
4.0001	0.0025	13.6002	0.0017		
4.2003	0.0017	13.8003	0.0010		
4.4005	-0.0001	14.0004	0.0000		
4.6006	-0.0007	14.2006	0.0001		
4.7994	0.0002	14.3994	0.0009		
4.9996	0.0024	14.5995	0.0014		
5.1997	0.0017	14.7997	0.0009		
5.3998	0.0000	14.9998	0.0004		
5.6000	-0.0007	15.1999	0.0006		
5.8001	0.0003	15.4001	0.0005		
6.0003	0.0021	15.6002	0.0007		
6.2004	0.0017	15.8004	0.0008		
6.4005	0.0003	16.0005	0.0008		
6.5994	-0.0004	16.2006	0.0008		
6.7995	0.0005	16.3994	0.0010		
6.9996	0.0014	16.5996	0.0000		
7.1998	0.0014	16.7997	0.0002		
7.3999	0.0005	16.9998	0.0019		
7.6001	0.0000	17.1999	0.0012		
7.8002	0.0004	17.4001	0.0004		
8.0004	0.0011	17.6002	-0.0005		
8.2005	0.0008	17.8004	0.0000		
8.4006	0.0009	18.0005	0.0021		
8.5994	0.0006	18.2006	0.0019		
8.7996	0.0008	18.3994	0.0001		
8.9997	0.0007	18.5996	-0.0008		
9.1999	0.0003	18.7997	-0.0001		
9.4000	0.0008	18.9998	0.0026		

Fuente: Autores

Tabla A.97: Resultados (Modelo Construido) de la Industria Láctea P INTERNO1

Tiempo (sg)	Velocidad (m/sg)
0.0000	-0.0359
0.9994	-0.0357
2.0001	-0.0358
2.9995	-0.0357
4.0001	-0.0354
4.9996	-0.0354
6.0003	-0.0353
6.9996	-0.0354
8.0004	-0.0356
8.9997	-0.0356
10.0004	-0.0359
10.9998	-0.0359
12.0005	-0.0359
12.9998	-0.0359
14.0004	-0.0357
14.9998	-0.0357
16.0005	-0.0356
16.9998	-0.0355
18.0005	-0.0354
18.9998	-0.0352
20.0005	-0.0352

Fuente: Autores

Tabla A.98: Resultados de la Industria Láctea con parámetros recomendados P INTERNO1NP

Tiempo (sg)	Velocidad (m/sg)
0.0000	-0.0096
0.9997	-0.0097
1.9993	-0.0082
3.0003	-0.0078
4.0010	-0.0086
4.9982	-0.0081
5.9992	-0.0074
7.0006	-0.0086
7.9987	-0.0092
8.9975	-0.0085
9.9982	-0.0094
10.9977	-0.0104
12.0005	-0.0100
13.0021	-0.0097
14.0020	-0.0104
15.0006	-0.0103
15.9992	-0.0092
17.0004	-0.0093
17.9992	-0.0095
18.9982	-0.0084
20.0042	-0.0080

Fuente: Autores

Tabla A.99: Resultados (Modelo Construido) de la Industria Láctea P INTERNO2

Tiempo (sg)	Velocidad (m/sg)
0.0000	-0.0380
0.9994	-0.0379
2.0001	-0.0379
2.9995	-0.0377
4.0001	-0.0374
4.9996	-0.0373
6.0003	-0.0372
6.9996	-0.0373
8.0004	-0.0375
8.9997	-0.0376
10.0004	-0.0380
10.9998	-0.0381
12.0005	-0.0382
12.9998	-0.0381
14.0004	-0.0379
14.9998	-0.0379
16.0005	-0.0377
16.9998	-0.0376
18.0005	-0.0374
18.9998	-0.0372
20.0005	-0.0372

Fuente: Autores

Tabla A.100: Resultados de la Industria Láctea con parámetros recomendados P INTERNO2NP

Tiempo (sg)	Velocidad (m/sg)
0.0000	-0.0091
0.9997	-0.0094
1.9993	-0.0078
3.0003	-0.0076
4.0010	-0.0089
4.9982	-0.0080
5.9992	-0.0072
7.0006	-0.0085
7.9987	-0.0090
8.9975	-0.0078
9.9982	-0.0085
10.9977	-0.0098
12.0005	-0.0090
13.0021	-0.0085
14.0020	-0.0098
15.0006	-0.0096
15.9992	-0.0082
17.0004	-0.0090
17.9992	-0.0094
18.9982	-0.0082
20.0042	-0.0080

Fuente: Autores

Tabla A.101: Resultados (Modelo Construido) de la Industria Láctea P INTERNOS

Tiempo (sg)	Velocidad (m/sg)
0.0000	0.0120
0.9994	0.0130
2.0001	0.0190
2.9995	0.0195
4.0001	0.0161
4.9996	0.0160
6.0003	0.0150
6.9996	0.0124
8.0004	0.0137
8.9997	0.0167
10.0004	0.0204
10.9998	0.0190
12.0005	0.0229
12.9998	0.0217
14.0004	0.0175
14.9998	0.0183
16.0005	0.0158
16.9998	0.0208
18.0005	0.0173
18.9998	0.0190
20.0005	0.0144

Fuente: Autores

Tabla A.102: Resultados de la Industria Láctea con parámetros recomendados P INTERNO3NP

Tiempo (sg)	Velocidad (m/sg)
0.0000	-0.0349
0.9997	-0.0344
1.9993	-0.0270
3.0003	-0.0258
4.0010	-0.0309
4.9982	-0.0268
5.9992	-0.0227
7.0006	-0.0300
7.9987	-0.0316
8.9975	-0.0271
9.9982	-0.0317
10.9977	-0.0369
12.0005	-0.0338
13.0021	-0.0320
14.0020	-0.0373
15.0006	-0.0364
15.9992	-0.0295
17.0004	-0.0328
17.9992	-0.0334
18.9982	-0.0275
20.0042	-0.0267

Fuente: Autores

Tabla A.103: Resultados (Modelo Construido) de la Industria Láctea P INTERNO4

Tiempo (sg)	Velocidad (m/sg)
0.0000	0.0266
0.9994	0.0265
2.0001	0.0265
2.9995	0.0289
4.0001	0.0259
4.9996	0.0282
6.0003	0.0294
6.9996	0.0313
8.0004	0.0290
8.9997	0.0228
10.0004	0.0239
10.9998	0.0225
12.0005	0.0273
12.9998	0.0211
14.0004	0.0218
14.9998	0.0240
16.0005	0.0236
16.9998	0.0279
18.0005	0.0295
18.9998	0.0289
20.0005	0.0262

Fuente: Autores

Tabla A.104: Resultados de la Industria Láctea con parámetros recomendados P INTERNO4NP

Tiempo (sg)	Velocidad (m/sg)
0.0000	-0.0103
0.9997	-0.0132
1.9993	-0.0128
3.0003	-0.0132
4.0010	-0.0195
4.9982	-0.0169
5.9992	-0.0142
7.0006	-0.0175
7.9987	-0.0158
8.9975	-0.0108
9.9982	-0.0107
10.9977	-0.0119
12.0005	-0.0074
13.0021	-0.0066
14.0020	-0.0090
15.0006	-0.0098
15.9992	-0.0080
17.0004	-0.0112
17.9992	-0.0149
18.9982	-0.0133
20.0042	-0.0146

Fuente: Autores

Tabla A.105: Resultados (Modelo Construido) de la Industria Láctea PUNTO1 PARMALAT

Tiempo (sg)	Velocidad (m/sg)
0.0000	0.0032
0.9994	0.0033
2.0001	0.0033
2.9995	0.0033
4.0001	0.0034
4.9996	0.0034
6.0003	0.0034
6.9996	0.0034
8.0004	0.0033
8.9997	0.0033
10.0004	0.0032
10.9998	0.0031
12.0005	0.0032
12.9998	0.0032
14.0004	0.0033
14.9998	0.0034
16.0005	0.0035
16.9998	0.0035
18.0005	0.0035
18.9998	0.0035
20.0005	0.0035

Fuente: Autores

Tabla A.106: Resultados (Modelo Construido) de la Industria Láctea PUNTO2 PARMALAT

Tiempo (sg)	Velocidad (m/sg)
0.0000	-0.0290
0.9994	-0.0299
2.0001	-0.0309
2.9995	-0.0321
4.0001	-0.0337
4.9996	-0.0338
6.0003	-0.0334
6.9996	-0.0333
8.0004	-0.0331
8.9997	-0.0323
10.0004	-0.0310
10.9998	-0.0299
12.0005	-0.0306
12.9998	-0.0311
14.0004	-0.0317
14.9998	-0.0323
16.0005	-0.0327
16.9998	-0.0334
18.0005	-0.0335
18.9998	-0.0336
20.0005	-0.0326

Fuente: Autores

Tabla A.107: Resultados (Modelo Construido) de la Industria Láctea PUNTO3 PARMALAT

Tiempo (sg)	Velocidad (m/sg)
0.0000	-0.0010
0.9994	-0.0012
2.0001	-0.0009
2.9995	-0.0006
4.0001	-0.0009
4.9996	-0.0019
6.0003	-0.0026
6.9996	-0.0031
8.0004	-0.0027
8.9997	-0.0023
10.0004	-0.0020
10.9998	-0.0021
12.0005	-0.0014
12.9998	-0.0006
14.0004	-0.0003
14.9998	0.0001
16.0005	-0.0007
16.9998	-0.0011
18.0005	-0.0011
18.9998	-0.0011
20.0005	-0.0026

Fuente: Autores

Tabla A.108: Resultados (Modelo Construido) de la Industria Láctea PUNTO4 PARMALAT

Tiempo (sg)	Velocidad (m/sg)
0.0000	0.0120
0.9994	0.0130
2.0001	0.0190
2.9995	0.0195
4.0001	0.0161
4.9996	0.0160
6.0003	0.0150
6.9996	0.0124
8.0004	0.0137
8.9997	0.0167
10.0004	0.0204
10.9998	0.0190
12.0005	0.0229
12.9998	0.0217
14.0004	0.0175
14.9998	0.0183
16.0005	0.0158
16.9998	0.0208
18.0005	0.0173
18.9998	0.0190
20.0005	0.0144

Fuente: Autores